

UDC

中华人民共和国行业标准

TB

TB 10433—2023

J 3094—2023

P

铁路工程混凝土实体质量检测技术规程

Technical Specification for Quality Inspection of
In-situ Concrete in Railway Engineering

2023-04-20 发布

2023-08-01 实施

国家铁路局发布

中华人民共和国行业标准

铁路工程混凝土实体质量检测技术规程

Technical Specification for Quality Inspection of
In-situ Concrete in Railway Engineering

TB 10433—2023

J 3094—2023

主编单位：中国铁道科学研究院集团有限公司
中铁二十局集团有限公司

批准部门：国家铁路局

施行日期：2023 年 8 月 1 日

中国铁道出版社有限公司

2023 年·北京

国家铁路局关于发布铁道行业标准的公告

(工程建设标准 2023 年第 3 批)

2023 年 第 5 号

现公布《铁路工程混凝土实体质量检测技术规程》(TB 10433—2023)等 3 项铁路工程建设标准(见表 1),自 2023 年 8 月 1 日起实施。以上标准由中国铁道出版社有限公司出版发行。《铁路工程结构混凝土强度检测规程》(TB 10426—2019)等 3 项铁路工程建设标准(见表 2)同时废止。

表 1 新发布标准目录

序号	标准名称	标准编号
1	铁路工程混凝土实体质量检测技术规程	TB 10433—2023
2	铁路工程岩石试验规程	TB 10115—2023
3	铁路工程土工试验规程	TB 10102—2023

表 2 废止标准目录

序号	标准名称	标准编号
1	铁路工程结构混凝土强度检测规程	TB 10426—2019
2	铁路工程岩石试验规程	TB 10115—2014
3	铁路工程土工试验规程	TB 10102—2010

国家铁路局

2023 年 4 月 20 日

前　　言

随着我国铁路建设的快速发展,铁路工程混凝土的应用范围不断拓展,结构形式更加多样,对实体质量也有更高要求。近年来,混凝土实体质量检测技术取得了长足的发展和进步,超声波、冲击回波、雷达等无损检测技术应用不断成熟,无砟轨道离缝、桥梁预应力管道压浆密实性等缺陷检测技术取得突破,混凝土表面电阻率、氯离子扩散系数等混凝土实体质量耐久性检测技术不断完善,为制定《铁路工程混凝土实体质量检测技术规程》积累了丰富经验,奠定了坚实基础。

本规程为统一铁路工程混凝土实体质量检测方法,规范检测技术要求,提高检测技术水平,在全面总结近年来混凝土实体质量检测实践经验和科研成果的基础上编制而成。本规程贯彻新发展理念,强化质量安全、节约资源、保护环境等要求,系统规定了混凝土实体质量检测方法和技术要求,为铁路工程混凝土质量控制提供技术支撑。根据铁路工程建设标准体系建设要求,将《铁路工程结构混凝土强度检测规程》TB 10426—2019 技术内容纳入本规程。

本规程共分 9 章,包括总则、术语、基本规定、混凝土强度检测、混凝土外观缺陷检测、混凝土内部缺陷检测、混凝土耐久性能检测、混凝土中有害成分检测、混凝土中钢筋检测,另有 22 个附录。

本规程主要内容如下:

1. 统一铁路工程混凝土实体质量检测工作条件、工作程序、检测要求和检测报告等技术内容。

2. 纳入混凝土强度检测方法,包括钻芯法、回弹法、超声回弹综合法、拔出法、同条件养护试件法、射钉法等技术内容。

3. 规定混凝土外观缺陷检测方法,包括裂缝、表层损伤、蜂窝、麻面、表面疏松、孔洞及露筋等检测要求。

4. 规定混凝土结构内部缺陷检测方法,包括混凝土内部空洞、不密实区,无砟轨道充填层离缝、软弱层,预应力管道压浆密实性等检测要求。

5. 规定混凝土耐久性能检测方法,包括碳化深度、气泡间距系数、抗氯离子渗透性能、表面电阻率等检测要求。

6. 规定混凝土中有害成分检测方法,包括氯离子含量、碱含量、骨料中氧化镁含量、碱活性骨料等检测要求。

7. 规定混凝土中钢筋检测方法,包括混凝土保护层厚度、钢筋间距、钢筋直径及锈蚀性状等检测要求。

在执行本规程的过程中,希望各单位结合工程实践,认真总结经验,积累资料。如发现需要修改和补充之处,请及时将意见及有关资料寄交中国铁道科学研究院集团有限公司(北京市海淀区大柳树路2号,邮政编码:100081),并抄送国家铁路局规划与标准研究院(北京市西城区广莲路1号,邮政编码:100055),供今后修订时参考。

本规程由国家铁路局科技与法制司负责解释。

主编单位:中国铁道科学研究院集团有限公司、中铁二十局集团有限公司。

参编单位:中国铁路设计集团有限公司、中铁五局集团有限公司、中铁十二局集团有限公司、东南大学、北京交通大学。

主要起草人:李化建、薛吉岗、易忠来、廖太昌、苏昶、谢永江、黄直久、蒋金洋、任春山、邓小卫、黄法礼、熊昌盛、刘志勇、胡在良、赵年全、仲新华、黄潘、胡晓、王振、靳昊、袁政成、杨文萃、

袁 杰、王凤娟、蔡小平、冯明宇、刘建磊、刘 竞、谭盐宾、李林香、
王月华、苏婉玉、蒋 睿、杨 鲁、温 浩、刘心成、何明峰、李 鹏。

主要审查人：张仁瑜、屠海峰、刘 燕、刘 瑚、杨鹏健、程慧林、
高 策、雷 涛、杨永波、魏周春、李蓉仑、王新国、杨永强、李克非、
郝挺宇、赵尚传、陈改新、章国辉、杨怀玉、袁真秀、曾雪林、杨育红。

目 次

1 总 则	1
2 术 语	2
3 基本规定	4
3.1 一般规定	4
3.2 检测工作的程序和要求	5
3.3 检测报告	6
4 混凝土强度检测	8
4.1 钻 芯 法	8
4.2 回 弹 法	13
4.3 超声回弹综合法	20
4.4 拔 出 法	24
4.5 同条件养护试件法	33
4.6 射 钉 法	34
5 混凝土外观缺陷检测	37
5.1 一般规定	37
5.2 裂 缝	38
5.3 表层损伤	45
5.4 蜂窝、麻面及表面疏松	49
5.5 孔 洞	49
5.6 露 筋	49
6 混凝土内部缺陷检测	51
6.1 一般规定	51
6.2 混凝土内部空洞、不密实区	51
6.3 无砟轨道充填层离缝、软弱层	65

6.4 预应力管道压浆密实性	67
7 混凝土耐久性能检测	73
7.1 一般规定	73
7.2 碳化深度	73
7.3 气泡间距系数	74
7.4 抗氯离子渗透性能	77
7.5 表面电阻率	78
8 混凝土中有害成分检测	80
8.1 一般规定	80
8.2 混凝土中氯离子含量	80
8.3 混凝土中碱含量	83
8.4 骨料中氧化镁含量	85
8.5 碱活性骨料	86
9 混凝土中钢筋检测	88
9.1 一般规定	88
9.2 混凝土保护层厚度及钢筋间距	88
9.3 混凝土中钢筋直径	91
9.4 混凝土中钢筋锈蚀性状	92
附录 A 钻芯法检测现场操作记录	95
附录 B 钻芯法检测推定区间系数	96
附录 C 回弹法非水平方向及不同浇筑面检测的修正值	98
附录 D 回弹法专用测强曲线的制定方法(回弹仪标称 动能 2.207 J)	101
附录 E 回弹法混凝土测区强度换算(回弹仪标称动能 2.207 J)	103
附录 F 回弹法泵送混凝土测区强度换算(回弹仪标称 动能 2.207 J)	112
附录 G 回弹法混凝土测区强度换算(回弹仪标称动能 4.5 J 和 5.5 J)	120

附录 H 回弹法混凝土强度检测记录和报告	122
附录 J 回弹法测强曲线的验证方法(回弹仪标称动能 4.5 J 和 5.5 J)	125
附录 K 空气中超声波声速测试方法	126
附录 L 超声回弹综合法专用或地区测强曲线的制定方法.....	127
附录 M 超声回弹综合法测强曲线的验证方法	130
附录 N 超声回弹综合法测区混凝土强度换算	131
附录 P 后装拔出法测强曲线的制定方法	178
附录 Q 同条件养护试件法养护温度记录	180
附录 R 射钉法专用测强曲线的制定方法	181
附录 S 射钉法混凝土强度检测记录和报告	183
附录 T 非金属超声波检测仪	185
附录 U 地质雷达仪	187
附录 V 冲击回波测试仪	190
附录 W 钢筋探测仪	192
附录 Y 钢筋锈蚀检测仪	194
本规程用词说明	196
《铁路工程混凝土实体质量检测技术规程》条文说明	197

1 总 则

- 1.0.1** 为统一铁路工程混凝土实体质量检测方法,规范检测技术要求,提高检测技术水平,保证工程质量,制定本规程。
- 1.0.2** 本规程适用于铁路路基、桥涵、隧道、轨道等工程混凝土实体质量的检测。
- 1.0.3** 铁路工程混凝土实体质量检测应根据检测目的、结构类型、结构状态、结构所处环境条件等选用相应的检测方法。
- 1.0.4** 铁路工程混凝土实体质量检测应避免或减少对被检测结构或构件的损伤。
- 1.0.5** 铁路工程混凝土实体质量检测应满足安全防护和环境保护等相关要求。
- 1.0.6** 铁路工程混凝土实体质量检测除应符合本规程外,尚应符合国家现行有关标准的规定。

2 术 语

2.0.1 实体质量检测 quality inspection of in-situ concrete

对混凝土结构或构件实施的原位或取样的检查、测量和测试分析。

2.0.2 结构混凝土强度 compressive strength of structure concrete

对现浇混凝土结构或预制混凝土构件实体按规定的方法进行检测所得出的混凝土强度值。

2.0.3 批量检测 batch inspection

将混凝土强度等级、配合比、生产工艺、养护条件等相同的一定量的结构或构件作为批量进行检测。

2.0.4 标准芯样试件 standard core specimen

抗压芯样试件的取芯质量符合要求,且公称直径为 100 mm、高径比(H/d)为 1 的混凝土圆柱体。

2.0.5 混凝土强度换算值 conversion value for compressive strength of concrete

检测值通过某种换算关系换算成相当于被测结构物所处条件及龄期下、边长为 150 mm 混凝土立方体试件的抗压强度值。

2.0.6 混凝土强度推定值 estimation value for compressive strength of concrete

相应于混凝土抗压强度换算值总体分布中保证率不低于 95% 的强度值。

2.0.7 测区 test area

检测结构或构件混凝土实体质量时的一个检测区域。

2.0.8 测点 test point

测区内的检测点。

2.0.9 超声回弹综合法 ultrasonic-rebound combined method

通过测定混凝土的超声波声速值和回弹值综合推定混凝土抗压强度的方法。

2.0.10 拔出法 pullout test

通过拉拔安装在混凝土中的锚固件,测定极限拔出力,并根据预先建立的极限拔出力与混凝土抗压强度之间的关系推定混凝土抗压强度的检测方法,包括后装拔出法和预埋拔出法。

2.0.11 等效养护龄期 equivalent curing age

混凝土同条件养护试件达到标准条件下养护效果所需要的时间。

2.0.12 射钉法 penetration method

在混凝土结构或构件表面射入测钉,根据预先建立的测钉射入深度与混凝土抗压强度之间的关系推定混凝土抗压强度的检测方法。

2.0.13 离缝 gap

无砟道床结构中不同部件之间产生的缝隙。

2.0.14 软弱层 weak layer

无砟轨道充填层混凝土或砂浆中由于气泡上浮、聚集等原因,在充填层上表面形成的松软层。

2.0.15 气泡间距系数 air voids spacing factor

硬化混凝土中相邻气泡边缘之间距离的平均值。

3 基本规定

3.1 一般规定

3.1.1 当遇到下列情况之一时,应进行铁路工程混凝土实体质量检测:

- 1** 混凝土工程验收需要。
- 2** 施工过程抽样检测结果未达到设计要求或施工质量验收标准要求。
- 3** 涉及结构工程质量的试件以及有关材料检验数量不足。
- 4** 对混凝土结构的现有工程质量有争议。
- 5** 发生工程质量事故,需要分析事故原因。
- 6** 开展混凝土结构评估。

3.1.2 实体质量检测时,所用仪器设备的适用范围和检测精度应满足检测项目的要求。检测时,所用仪器设备应在检定或校准周期内,并应处于正常状态。所用仪器设备应在规定的环境中使用。

3.1.3 从事铁路工程混凝土实体质量检测的单位应具备必要的资质。实体质量检测工作应由不少于两名同机构检测人员承担,所有进入现场的检测人员应培训合格。

3.1.4 铁路工程混凝土实体质量检测的数据应真实、有效、准确。

3.1.5 铁路工程混凝土实体质量检测应确保不影响结构安全,宜采用无损检测,必要时可采用钻芯法检测。检测时应考虑钢筋、预埋件、管线等因素的影响。

3.1.6 用钻芯法与其他无损方法综合测定结构混凝土强度时,钻芯部位应在所用无损检测方法的测区内或测区附近。

3.2 检测工作的程序和要求

3.2.1 铁路工程混凝土实体质量检测工作宜按图 3.2.1 的程序进行。

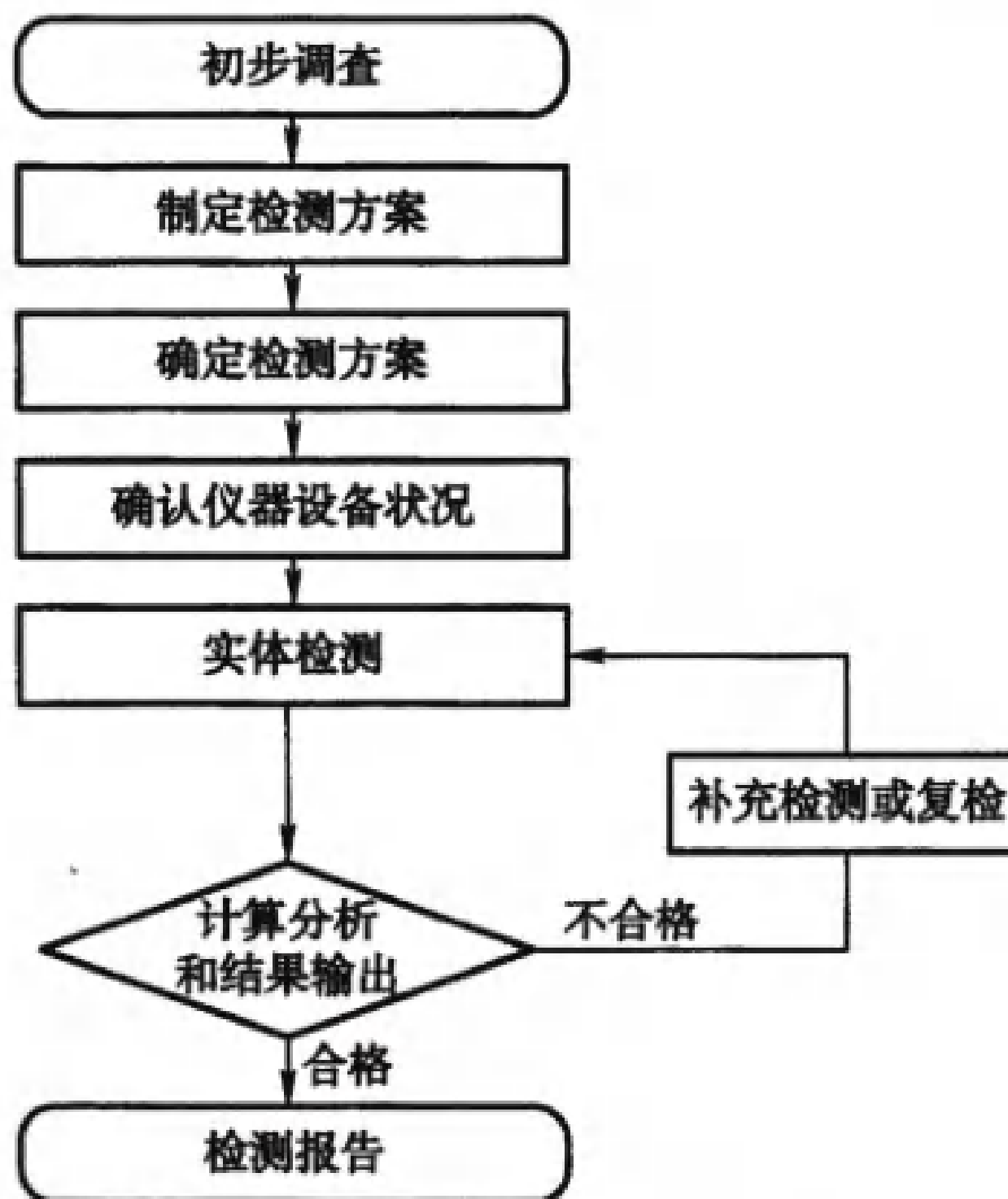


图 3.2.1 铁路工程混凝土实体质量检测工作程序

3.2.2 初步调查应以确认检测要求和制定有针对性的检测方案为目的。初步调查可采取踏勘现场、收集和分析资料以及询问有关人员等方法。

3.2.3 铁路工程混凝土实体质量检测方案宜包括下列内容：

- 1** 工程或结构概况,包括结构类型和混凝土材料概况,设计、施工及监理单位,建设时间等。
- 2** 委托方的检测目的或检测要求。
- 3** 检测依据,包括检测所依据的标准及有关的技术资料等。
- 4** 检测范围、检测项目和选用的检测方法。
- 5** 检测的方式、检验批的划分、抽样方法和检测数量。

6 检测人员和仪器设备情况。

7 检测中的安全与环保措施。

3.2.4 实体检测的测区和测点应有明晰的标注和编号,必要时标注和编号应保留一段时间。

3.2.5 实体检测获取的数据或信息应符合下列要求:

1 人工记录时,应采用专用表格,并应做到数据准确、字迹清晰、信息完整,严禁追记、涂改,当有笔误时,应进行杠改并签字确认。

2 仪器自动记录的数据应妥善保存和备份,并打印输出后经现场检测人员校对确认。

3 图像信息应标明获取信息的时间、位置、环境条件(温度、湿度等),必要时应设置参照物。

3.2.6 从实体中取得的样品应及时标识,并妥善保存和运输。

3.2.7 当发现检测数据出现异常时,应分析原因并进行补充检测或复检,补充检测或复检应有必要的说明。

3.2.8 因混凝土实体质量检测而破损的部位,在检测工作结束后,应根据工程实际需要对破损部位采取措施,进行修补时修补材料应比原混凝土结构提高一个强度等级。

3.3 检测报告

3.3.1 铁路工程混凝土实体质量检测报告宜包括下列内容:

1 委托方信息。

2 铁路工程概况,包括工程名称、地址、类型、规模、施工日期及现状、混凝土材料概况等。

3 设计、施工及监理单位名称。

4 检测原因、检测目的及以往相关检测情况的概述。

5 检测项目、检测方法及检测所依据的标准,主要检测设备名称及编号。

6 抽样方法、检测方式、检测数量、检测位置及检测环境

条件。

7 检测项目的检测数据、检测结果,必要时给出检测结论。

8 检测日期、报告完成日期。

9 相关人员的签名。

10 检测机构的有效印章。

3.3.2 铁路工程混凝土实体质量检测报告应结果明确、用词规范、文字简练,对容易混淆的术语和概念应以文字解释或图例、图像说明。

4 混凝土强度检测

4.1 钻 芯 法

I 一 般 规 定

4.1.1 钻芯法适用于非预应力混凝土结构和经设计单位允许的预应力混凝土结构的强度检测。

4.1.2 钻芯法可确定单个构件或批量检测的混凝土强度推定值，也可用于对其他非破损检测方法进行验证。

4.1.3 钻芯法芯样试件钻取部位应考虑下列因素：

- 1** 结构或构件受力较小的部位。
- 2** 混凝土质量有代表性的部位。
- 3** 便于钻芯机安放与操作的部位。
- 4** 避开主筋、预埋件和管线的位置，并尽量避开其他钢筋。
- 5** 钻孔中心距结构或构件边缘不宜小于 150 mm。
- 6** 隧道衬砌混凝土的芯样钻取不宜破坏防水结构。

4.1.4 芯样试件宜使用标准芯样，骨料最大粒径不宜大于标准芯样直径的 1/3；当无法获得标准芯样时，可采用小直径芯样试件，其公称直径不应小于 70 mm，且不得小于骨料最大粒径的 2 倍。

4.1.5 钻芯法批量检测混凝土强度时，取样应符合下列规定：

1 芯样试件的数量应根据批量检测的容量确定；标准芯样试件的最小样本量不宜少于 15 个，小直径芯样试件的最小样本量不宜少于 20 个。

2 芯样应从受检结构或构件中随机抽取，取芯位置应符合本规程第 4.1.3 条的要求。

4.1.6 确定单个构件或局部的混凝土强度推定值时,结合结构或构件实际情况,有效芯样数量不应少于3个;钻芯对工作性能影响较大的小尺寸构件不应少于2个。

4.1.7 芯样试件内不宜含有钢筋。当不能满足时,每个标准芯样试件内最多只允许有2根直径不大于10mm的钢筋,公称直径小于标准芯样的单个试件内最多只允许有1根直径不大于10mm的钢筋,且钢筋应与芯样轴线垂直并距端面大于10mm。

4.1.8 钻取芯样后的结构或构件应根据工程实际需要采取措施对孔洞进行修补。

II 主要仪器

4.1.9 钻芯机应符合下列规定:

1 钻芯机应具有足够的刚度,操作灵活、移动方便和便于固定,并应有水冷却系统。

2 钻头宜采用金刚石或人造金刚石薄壁钻头。钻头胎体不得有肉眼可见的裂缝、缺边、少角、倾斜及喇叭口变形。

4.1.10 探测钢筋位置的定位仪应适宜现场操作,最大探测深度不应小于60mm,探测位置偏差不宜大于3mm。

4.1.11 锯切机和磨平机应具有冷却系统和夹紧芯样的装置,配套使用的人造金刚石圆锯片应有足够的刚度。

4.1.12 磨平机应保证芯样的端面平整,端面与芯样轴线应垂直。

4.1.13 取芯及加工完成后,应及时对钻芯机和芯样加工设备进行维护保养。

III 芯样钻取及加工

4.1.14 钻芯机应安装平稳,固定牢靠。

4.1.15 钻芯机应在安装钻头前检查主轴旋转方向,并将主轴线调整至与被钻取芯样的混凝土表面垂直。

4.1.16 钻芯机应按使用说明书进行操作,钻芯时冷却水的流量

应满足现场使用要求。

4.1.17 芯样卸取时应采取措施保证芯样完整。

4.1.18 取出的芯样应及时标记,可按附录 A 中表 A.0.1 填写现场操作记录。芯样应包装完好,不得损坏。取芯现场的全部记录应与芯样抗压强度记录一起存档。

4.1.19 采用锯切机加工芯样试件时,应将芯样固定,并使锯切平面垂直于芯样轴线。

4.1.20 锯切后的芯样应进行端面处理,宜采用双端面磨平机磨平。承受轴向压力芯样试件的端面,也可采取下列处理方法修补:

1 用水泥砂浆(水泥净浆)、聚合物水泥砂浆等材料补平,补平厚度不宜大于 4 mm。

2 用环氧胶泥、硫黄胶泥等补平时,补平厚度不宜大于 1.5 mm。

4.1.21 芯样试压前应测量试件的直径、高度、垂直度和平整度,并应符合下列规定:

1 直径测量应用游标卡尺在芯样上部、中部和下部 3 个位置各测 2 次,取算术平均值作为芯样试件的直径,精确至 0.5 mm。

2 高度测量应用钢板尺或游标卡尺在不同方向测量 2 次,取平均值作为芯样试件的高度,精确至 1 mm。

3 垂直度测量应用游标万能量角器测量两个端面与轴线的夹角,取最大值作为芯样试件的垂直度,精确至 0.1°。

4 平整度测量应用钢板尺紧靠在芯样端面上,一面转动钢板尺,一面用塞尺测量钢板尺与芯样端面之间的最大缝隙。

4.1.22 芯样尺寸偏差及外观质量应符合下列规定:

1 加工后芯样试件的高径比(H/d)应大于等于 0.95 且不大于 1.05。

2 沿芯样试件高度任一直径与平均直径相差应小于 2 mm。

3 芯样试件端面平整度允许偏差在直径范围内不应大于 0.05 mm。

4 芯样试件端面与轴线垂直度的允许偏差为 $\pm 1^\circ$ 。

5 芯样应无裂缝、明显的错台和其他较大缺陷。

IV 芯样试件强度试验

4.1.23 芯样试件应在与被检测结构或构件混凝土环境基本一致的条件下进行试验，并符合下列规定：

1 当结构或构件处于干燥环境时，芯样试件应在室内自然风干不少于 24 h 进行试验。

2 当结构或构件处于干湿交替环境、潮湿环境时，芯样试件宜在 20 ℃ ± 5 ℃ 的清水中浸泡 40 h ~ 48 h，从水中取出后擦干表面立即进行试验。

4.1.24 芯样试件抗压强度试验的操作应按现行《混凝土物理力学性能试验方法标准》GB/T 50081 中圆柱体试件抗压强度试验的规定进行。

4.1.25 芯样试件抗压强度换算值应按下式计算：

$$f_{cu,i}^c = \frac{4F_{c,i}}{\pi d_i^2} \quad (4.1.25)$$

式中 $f_{cu,i}^c$ —— 第 i 个芯样试件混凝土抗压强度换算值 (MPa)，精确至 0.1 MPa；

$F_{c,i}$ —— 第 i 个芯样试件抗压试验测得的破坏荷载 (N)；

d_i —— 第 i 个芯样试件的平均直径 (mm)。

V 混凝土强度换算及推定

4.1.26 采用钻芯法确定单个构件或单个构件局部区域的混凝土强度推定值时，应符合下列规定：

1 当芯样试件混凝土抗压强度最小值大于或等于设计混凝土抗压强度标准值的 85% 时，取平均值作为混凝土强度推定值。

2 当芯样试件混凝土抗压强度最小值小于设计混凝土抗压强度标准值的 85% 时，取最小值作为混凝土强度推定值。

4.1.27 批量检测混凝土强度推定值应按下列方法确定：

1 批量检测混凝土强度推定值应计算推定区间的上限值和下限值应按下列公式计算：

$$\text{上限值} \quad f_{cu,e,cl} = m_{f_{cu}^e} - k_1 S_{f_{cu}^e} \quad (4.1.27-1)$$

$$\text{下限值} \quad f_{cu,e,c2} = m_{f_{cu}^e} - k_2 S_{f_{cu}^e} \quad (4.1.27-2)$$

$$\text{平均值} \quad m_{f_{cu}^e} = \frac{\sum_{i=1}^n f_{cu,i}^e}{n} \quad (4.1.27-3)$$

$$\text{标准差} \quad S_{f_{cu}^e} = \sqrt{\frac{\sum_{i=1}^n (f_{cu,i}^e - m_{f_{cu}^e})^2}{n-1}} \quad (4.1.27-4)$$

式中 $f_{cu,e,cl}$ ——混凝土抗压强度推定上限值(MPa),精确至0.1 MPa;

$f_{cu,e,c2}$ ——混凝土抗压强度推定下限值(MPa),精确至0.1 MPa;

k_1, k_2 ——推定区间上限值系数和下限值系数,按附录B中表B.0.1查取;

$S_{f_{cu}^e}$ ——芯样试件混凝土强度换算值的标准差(MPa),精确至0.01 MPa;

$m_{f_{cu}^e}$ ——芯样试件混凝土强度换算值的平均值(MPa),精确至0.1 MPa;

$f_{cu,i}^e$ ——第*i*个芯样试件混凝土强度换算值(MPa),精确至0.1 MPa;

n ——对批量检测的结构或构件,取被抽检构件测区数之和。

2 $f_{cu,e,cl}$ 和 $f_{cu,e,c2}$ 所构成推定区间的置信度宜为0.90;当采用小直径芯样试件时,推定区间的置信度可为0.85。 $f_{cu,e,cl}$ 与 $f_{cu,e,c2}$ 之间的差值不宜大于5.0 MPa 和 $0.10m_{f_{cu}^e}$ 两者中的较大值。

3 $f_{cu,e,cl}$ 与 $f_{cu,e,c2}$ 之间的差值大于5.0 MPa 和 $0.10m_{f_{cu}^e}$ 两者中的较大值时,可适当增加样本容量,或重新划分检测单元,直至

满足本条第 2 款的规定。

4 当不具备本条第 3 款条件时,不宜进行批量推定区间,宜以 $f_{cu,e,cl}$ 作为批量检测混凝土强度的推定值。

4.1.28 钻芯法确定批量检测混凝土强度推定值时,可剔除芯样试件抗压强度样本中的异常值。剔除规则应符合现行《数据的统计处理和解释 正态样本离群值的判断和处理》GB/T 4883 的规定。当确有试验依据时,可对芯样试件抗压强度样本的标准差 S_{f_a} 进行符合实际情况的修正或调整。

4.2 回弹法

I 一般规定

4.2.1 回弹法适用于表面质量无明显缺陷的结构或构件混凝土强度检测。

4.2.2 回弹仪应根据结构或构件混凝土强度合理选用,50 MPa 以下的混凝土宜选用标称动能为 2.207 J 的回弹仪,50 MPa 及以上的混凝土宜选用标称动能为 4.5 J 或 5.5 J 的回弹仪。

4.2.3 结构或构件混凝土强度检测可按单个检测和批量检测。批量检测抽检数量不应少于同批结构或构件总数的 50%,且抽检数量不应少于 2 个。

4.2.4 结构或构件的测区应符合下列规定:

- 1 每一结构或构件测区数不宜少于 10 个。
- 2 相邻两测区的间距应控制在 2 m 以内,测区离构件端部或施工缝边缘的距离宜控制在 0.2 m ~ 0.5 m。

3 检测时回弹仪应与受检测面垂直,测区宜选在混凝土结构或构件浇筑侧面。

4 测区宜选在构件的两个对称可测面上,当不能布置在对称的可测面上时,也可选在一个可测面上,且应均匀分布。在构件的重要部位及薄弱部位应布置测区,并应避开预埋件。

5 测区的面积不宜大于 0.04 m^2 。

6 检测面应为混凝土表面，并应干燥、清洁、平整。检测面不应有疏松层、浮浆、油垢、涂层、蜂窝、麻面，必要时可用砂轮清除并打磨平整，且不应有残留的粉末或碎屑。

4.2.5 结构或构件的测区应标有清晰的编号，必要时应在记录纸上描述测区布置示意图和外观质量情况。

II 主要仪器

4.2.6 回弹仪应符合现行《回弹仪》GB/T 9138 的规定，且应符合下列规定：

1 在配套的洛氏硬度 HRC 为 60 ± 2 的钢砧上，标称动能为 2.207 J、4.5 J 和 5.5 J 的回弹仪的率定值应分别为 80 ± 2 、 88 ± 2 和 83 ± 1 。

2 数字式回弹仪应带有指针直读示值系统，数字显示的回弹值与指针直读示值相差不应超过 1。

4.2.7 回弹仪使用时的环境温度宜为 $-4\text{ }^\circ\text{C} \sim 40\text{ }^\circ\text{C}$ 。

4.2.8 回弹仪遇下列情况之一时应进行检定或校准：

1 新回弹仪启用前。

2 超过检定有效期限。

3 数字式回弹仪数字显示的回弹值与指针直读示值相差大于 1。

4 经常规保养后在钢砧上率定值不合格。

5 遭受严重撞击或其他损害。

4.2.9 回弹仪在工程检测前后，应按规定做率定试验。率定试验宜在干燥、室温为 $5\text{ }^\circ\text{C} \sim 35\text{ }^\circ\text{C}$ 的条件下进行。率定时，钢砧应稳固地平放在坚硬的地面上。弹击杆应分 4 次旋转，每次旋转宜为 90° 。测定回弹值时，取连续向下弹击 3 次回弹值的平均值。

4.2.10 回弹仪遇下列情况之一时应进行常规保养：

1 弹击次数大于 2 000 次。

2 在钢砧上的率定值不合格。

3 对检测结果有怀疑。

4.2.11 回弹仪的常规保养应符合下列规定：

1 拆开维护时应先使弹击锤脱钩后取出机芯，然后卸下弹击杆，取出里面的缓冲压簧，并取出弹击锤、弹击拉簧和拉簧座。

2 机芯各零部件应进行清洗，重点清洗中心导杆、弹击锤、弹击杆的内孔和冲击面。清洗后应在中心导杆上薄薄涂抹钟表油，其他零部件均不应抹油。

3 回弹仪保养不应旋转尾盖上已定位紧固的调零螺丝，不应自制或更换零部件。

4 保养后应按本规程第 4.2.9 条的规定做率定试验。

4.2.12 回弹仪使用完毕后应使弹击杆伸出机壳，清除弹击杆、杆前端球面、刻度尺表面和机壳上的污垢、尘土。回弹仪不用时，应将弹击杆压入机壳内，待弹击后方可按下按钮锁住机芯装入仪器箱，平放在干燥阴凉处。

III 回弹法检测

4.2.13 回弹仪的纵轴线应垂直于结构或构件混凝土的检测面，缓慢施压，准确读数，快速复位。

4.2.14 测点在测区范围内宜均匀分布，相邻两测点的净距不宜小于 20 mm；测点距外露钢筋、预埋件的距离不宜小于 30 mm。测点不应在气孔或外露石子上，同一测点只应弹击一次。每一测区应记取 16 个回弹值，每一测点的回弹值读数读至 1。

4.2.15 回弹值测量完毕后，应在有代表性的位置上测量碳化深度值，测点数不应少于结构或构件测区数的 30%，取其平均值作为该结构或构件每一测区的碳化深度值。当碳化深度值极差大于 2.0 mm 时，应在每一测区测量碳化深度值。

4.2.16 碳化深度值的测量应符合本规程第 7.2 节的规定。

4.2.17 计算测区平均回弹值，应从该测区的 16 个回弹值中剔除

3个最大值和3个最小值,余下的10个回弹值应按下式计算:

$$R_m = \frac{\sum_{i=1}^{10} R_i}{10} \quad (4.2.17)$$

式中 R_m —测区平均回弹值,精确至0.1;

R_i —第*i*个测点的回弹值。

4.2.18 非水平状态检测混凝土浇筑侧面时,应按下式修正:

$$R_m = R_{ma} + R_{ax} \quad (4.2.18)$$

式中 R_{ma} —非水平状态检测时测区的平均回弹值,精确至0.1;

R_{ax} —非水平状态检测时回弹值的修正值,采用本规程附录C中表C.0.1修正。

4.2.19 水平状态检测混凝土浇筑顶面或底面时,应按下列公式修正:

$$R_m = R_m^t + R_a^t \quad (4.2.19-1)$$

$$R_m = R_m^b + R_a^b \quad (4.2.19-2)$$

式中 R_m^t, R_m^b —水平状态检测混凝土浇筑顶面、底面时,测区的平均回弹值,精确至0.1;

R_a^t, R_a^b —混凝土浇筑顶面、底面回弹值的修正值,采用本规程附录C中表C.0.2修正。

4.2.20 当测试面为非混凝土的浇筑侧面,且检测时回弹仪为非水平状态,应先按本规程附录C中表C.0.1对回弹值进行角度修正,再按本规程附录C中表C.0.2对修正后的回弹值进行浇筑面修正。

IV 混凝土强度换算及推定

4.2.21 混凝土强度换算值可采用三类测强曲线计算,并应符合下列规定:

1 统一测强曲线:由全国有代表性的材料、成型养护工艺配制的混凝土试件,通过试验所建立的曲线。其允许的强度平均相

对误差 δ 不应超过 $\pm 15.0\%$, 相对标准差 e_r 不应大于 18.0% 。

2 地区测强曲线:由本地区常用的材料、成型养护工艺配制的混凝土试件,通过试验所建立的曲线。其允许的强度平均相对误差 δ 不应超过 $\pm 14.0\%$, 相对标准差 e_r 不应大于 17.0% 。

3 专用测强曲线:由与结构或构件混凝土相同的材料、成型养护工艺配制的混凝土试件,通过试验所建立的曲线。其允许的强度平均相对误差 δ 不应超过 $\pm 12.0\%$, 相对标准差 e_r 不应大于 14.0% 。

4 平均相对误差 δ 和相对标准差 e_r 的取得和计算过程应符合本规程附录 D 的规定。

5 测强曲线应按专用测强曲线、地区测强曲线、统一测强曲线的次序选用。

4.2.22 地区测强曲线和专用测强曲线应与制定该类测强曲线条件相同的混凝土相适应,不应超出该类测强曲线的适用范围。每半年应抽取一定数量的同条件试件进行校核,当发现有显著差异时,不应继续使用,并及时查找原因。

4.2.23 符合下列条件的混凝土应选用本规程附录 E 至附录 G 进行测区混凝土强度换算:

1 混凝土采用的原材料符合现行铁路行业有关标准。

2 入模混凝土的含气量不大于 5.0% 。

3 采用普通成型工艺。

4 自然养护龄期为 $14 \text{ d} \sim 1000 \text{ d}$ 。

5 蒸汽养护出池后经自然养护 7 d 以上,且混凝土表面为干燥状态。

6 抗压强度为 $10 \text{ MPa} \sim 100 \text{ MPa}$ 。

4.2.24 当有下列情况之一时,测区混凝土强度值不应按本规程附录 E 至附录 G 换算,可制定专用测强曲线或通过试验进行修正,专用测强曲线的制定方法宜符合本规程附录 D 的有关规定:

1 粗骨料最大公称粒径大于 60 mm 的非泵送混凝土,粗骨料最大公称粒径大于 31.5 mm 的泵送混凝土。

2 采用特种成型工艺。

3 检测部位曲率半径小于 250 mm。

4 表面潮湿的混凝土。

4.2.25 结构或构件第 i 个测区混凝土强度换算值 $f_{cu,i}^c$ 的计算应符合下列规定：

1 符合本规程第 4.2.23 条规定的混凝土强度换算值可按本规程附录 E 查表得出。

2 泵送混凝土制作的结构或构件混凝土强度换算值应按本规程附录 F 查表得出。

3 采用 4.5 J 或 5.5 J 的回弹仪检测混凝土强度时, 按本规程附录 J 验证后, 其换算值应按本规程附录 G 中表 G.0.1 或表 G.0.2 查表得出。

4 当有地区测强曲线或专用测强曲线时, 混凝土强度换算值应按地区测强曲线或专用测强曲线换算得出。

4.2.26 结构或构件的测区混凝土强度平均值应根据各测区的混凝土强度换算值计算。当测区数为 10 个及以上时, 应计算强度标准差 $S_{f_{cu}^c}$ 。平均值及标准差应按下列公式计算:

$$m_{f_{cu}^c} = \frac{\sum_{i=1}^n f_{cu,i}^c}{n} \quad (4.2.26-1)$$

$$S_{f_{cu}^c} = \sqrt{\frac{\sum_{i=1}^n (f_{cu,i}^c)^2 - n(m_{f_{cu}^c})^2}{n-1}} \quad (4.2.26-2)$$

式中 $m_{f_{cu}^c}$ —— 结构或构件测区混凝土强度换算值的平均值 (MPa), 精确至 0.1 MPa;

n —— 对于单个检测的构件, 取一个构件的测区数, 对批量检测的构件, 取被抽检构件测区数之和;

$S_{f_{cu}^c}$ —— 结构或构件测区混凝土强度换算值的标准差 (MPa), 精确至 0.01 MPa。

4.2.27 当结构混凝土所用材料与制定测强曲线时混凝土所用材料有较大差异时,应用同条件混凝土立方体试件或从结构或构件钻取的混凝土芯样进行修正,试件或芯样数量不应小于6个。计算时,测区混凝土强度修正量及测区混凝土强度换算值的修正应符合下列规定:

1 修正量应按下式计算:

$$\Delta_{\text{tot}} = \frac{1}{n} \sum_{i=1}^n f_{\text{cu},i} - \frac{1}{n} \sum_{i=1}^n f_{\text{cu},i}^c \quad (4.2.27-1)$$

式中 Δ_{tot} —— 测区混凝土强度修正量,精确至0.1 MPa;

$f_{\text{cu},i}$ —— 第*i*个混凝土立方体试件(以边长为150 mm计)抗压强度值,或第*i*个混凝土芯样试件(以φ100 mm×100 mm计)抗压强度值,精确至0.1 MPa;

$f_{\text{cu},i}^c$ —— 第*i*个混凝土立方体试件或芯样试件抗压强度换算值,精确至0.1 MPa;

n —— 试件或芯样个数。

2 测区混凝土强度换算值应按下式计算:

$$f_{\text{cu},il}^c = f_{\text{cu},i0}^c + \Delta_{\text{tot}} \quad (4.2.27-2)$$

式中 $f_{\text{cu},i0}^c$ —— 第*i*个测区修正前的混凝土强度换算值(MPa),精确到0.1 MPa;

$f_{\text{cu},il}^c$ —— 第*i*个测区修正后的混凝土强度换算值(MPa),精确到0.1 MPa。

4.2.28 结构或构件的混凝土强度推定值 $f_{\text{cu},e}$ 应符合下列规定:

1 当测区数小于10个时,混凝土强度推定值 $f_{\text{cu},e}$ 应按下式确定:

$$f_{\text{cu},e} = f_{\text{cu},\min}^c \quad (4.2.28-1)$$

式中 $f_{\text{cu},\min}^c$ —— 构件中测区混凝土强度换算值中的最小值(MPa),精确至0.1 MPa。

2 当测区数为10个及以上时,混凝土强度推定值 $f_{\text{cu},e}$ 应按下式确定:

$$f_{cu,e} = m_{f_{cu}} - 1.645S_{f_{cu}} \quad (4.2.28-2)$$

4.2.29 对按批检测的构件,当该批构件混凝土强度换算值标准差出现下列情况之一时,则该批构件应全部按单个构件检测:

1 当该批构件混凝土强度换算值的平均值小于 25 MPa,且标准差大于 4.5 MPa。

2 当该批构件混凝土强度换算值的平均值为 25 MPa ~ 50 MPa,且标准差大于 5.5 MPa。

3 当该批构件混凝土强度换算值的平均值大于 50 MPa,且标准差大于 6.5 MPa。

4.2.30 检测记录和检测报告可按本规程附录 H 填写。

4.3 超声回弹综合法

I 一般规定

4.3.1 超声回弹综合法的适用范围应符合本规程第 4.2.1 条的规定。

4.3.2 超声回弹综合法检测数量和测区布置应符合本规程第 4.2.3 条和第 4.2.4 条的规定。当采用平测时,测区尺寸宜为 400 mm × 400 mm。

II 主要仪器

4.3.3 非金属超声波检测仪应符合本规程附录 T 的规定。

4.3.4 回弹仪的标准状态、检定、率定试验及保养应符合本规程第 4.2.6 ~ 第 4.2.12 条的规定。

III 超声回弹综合法检测

4.3.5 结构或构件的每一测区宜先进行回弹测试,后进行超声测试。非同一测区内的回弹值及超声波声速值,在计算混凝土强度换算值时不应混用。

4.3.6 采用回弹仪测试时应按本规程第4.2.13条~第4.2.20条的规定进行。

4.3.7 超声波检测前应先采用本规程附录K规定的方法测试超声波在空气中传播的声速，并与空气声速计算值相比，相差不应超过 $\pm 0.5\%$ 。

4.3.8 超声测试应符合下列规定：

1 超声测试宜选择对测，当被测结构或构件不满足对测的条件时，可采用单面平测。

2 超声测点布置在回弹测试的同一测区内，当采用平测法测定，应以回弹测试的测区为中心安装发射换能器和接收换能器。

3 声时测试时，应保证传感器与混凝土耦合良好。

4 声时值应精确至 $0.1\ \mu s$ ，声速值应精确至 $0.01\ km/s$ ，超声测距的测量允许误差不应超过 $\pm 1\%$ 。

5 对测时，在每个测区的相对测试面上，应对称布置3个测点，且发射换能器和接收换能器的轴线应在同一轴线上。

6 当采用平测法测试时，每个测点重复测试3次。

4.3.9 采用对测法测试时，测区声速值应按下列公式计算：

$$v = l/t_m \quad (4.3.9-1)$$

$$t_m = (t_1 + t_2 + t_3)/3 \quad (4.3.9-2)$$

式中 v ——测区声速值(km/s)；

l ——超声测距(mm)；

t_m ——测区平均声时值(μs)；

t_1, t_2, t_3 ——测区中3个测点的声时值(μs)。

4.3.10 采用平测法测试时，测区声速值应按下式计算：

$$v = l/(t_m - t_0) \quad (4.3.10)$$

式中 v ——测区声速值(km/s)；

l ——超声测距(m)；

t_m ——测区平均声时值(μs)；

t_0 ——系统延迟时间(采用时距曲线法，用与实测相同的布置方式测定，以 μs 计)。

4.3.11 当在混凝土浇筑顶面或底面测试时,测区声速值应按下式修正:

$$v_s = \beta v \quad (4.3.11)$$

式中 v_s —修正后的测区声速值(km/s);

β —超声测试面修正系数:在混凝土浇筑顶面及底面对测时, β 取1.034;在混凝土浇筑顶面平测时, β 取1.05;在混凝土浇筑底面平测时, β 取0.95。

IV 混凝土强度换算及推定

4.3.12 换算和推定结构或构件混凝土强度时,宜采用专用测强曲线或地区测强曲线。

4.3.13 专用测强曲线或地区测强曲线的建立除符合本规程附录L的规定外,尚应符合本规程第4.2.21条和第4.2.22条的规定。

4.3.14 构件第*i*个测区的混凝土强度换算值,应根据修正后的测区回弹值及修正后的测区声速值,宜采用专用测强曲线或地区测强曲线推定;当无该类测强曲线时,按本规程附录M验证后,也可按本规程附录N的规定确定或按下列公式计算:

1 粗骨料采用碎石,强度50 MPa以下混凝土可按下式计算:

$$f_{cu,i}^c = 0.0162 v_{si}^{1.656} \cdot R_{si}^{1.410} \quad (4.3.14-1)$$

2 粗骨料采用卵石,强度50 MPa以下混凝土可按下式计算:

$$f_{cu,i}^c = 0.0056 v_{si}^{1.439} \cdot R_{si}^{1.769} \quad (4.3.14-2)$$

3 强度为50 MPa~100 MPa的混凝土可按下式计算:

$$f_{cu,i}^c = 0.117081 v_{si}^{0.539038} \cdot R_{si}^{1.33947} \quad (4.3.14-3)$$

式中 $f_{cu,i}^c$ —第*i*个测区混凝土强度换算值,精确至0.1 MPa;

v_{si} —第*i*个测区修正后的超声波声速值,精确至0.01 km/s;

R_{si} —第*i*个测区修正后的回弹值,精确至0.1,大于50 MPa的混凝土需使用标称动能4.5 J或5.5 J回弹仪。

4.3.15 当结构或构件混凝土所用材料与制定测强曲线时混凝土所用材料有较大差异时,应用同条件混凝土立方体试件或从结构或构件测区钻取的混凝土芯样进行修正,修正方法应符合本规程第4.2.27条的规定。

4.3.16 结构或构件的混凝土强度推定值 $f_{cu,e}$ 应符合下列规定:

1 当按单个构件检测时,混凝土强度推定值 $f_{cu,e}$ 应按下式计算:

$$f_{cu,e} = f_{cu,min}^c \quad (4.3.16-1)$$

式中 $f_{cu,e}$ ——混凝土强度推定值(MPa),精确至0.1 MPa;

$f_{cu,min}^c$ ——单个构件各测区中的最小混凝土强度换算值(MPa),精确至0.1 MPa。

2 当批量检测时,混凝土强度推定值应按下列公式计算:

$$f_{cu,e} = m_{f_{cu}^e} - 1.645 S_{f_{cu}^e} \quad (4.3.16-2)$$

$$m_{f_{cu}^e} = \frac{\sum_{i=1}^n f_{cu,i}^c}{n} \quad (4.3.16-3)$$

$$S_{f_{cu}^e} = \sqrt{\frac{\sum_{i=1}^n (f_{cu,i}^c)^2 - n(m_{f_{cu}^e})^2}{n-1}} \quad (4.3.16-4)$$

式中 $m_{f_{cu}^e}$ ——结构或构件测区混凝土强度换算值的平均值(MPa),精确至0.1 MPa;

n ——对于单个检测的构件,取一个构件的测区数,对批量检测的构件,取被抽检构件测区数之和;

$S_{f_{cu}^e}$ ——结构或构件测区混凝土强度换算值的标准差(MPa),精确至0.01 MPa。

4.3.17 对批量检测的构件,当该批构件混凝土强度换算值标准差出现下列情况之一时,则该批构件应全部按单个构件检测:

1 当该批构件混凝土强度换算值的平均值小于25 MPa,且标准差大于4.5 MPa。

2 当该批构件混凝土强度换算值的平均值为 $25 \text{ MPa} \sim 50 \text{ MPa}$, 且标准差大于 5.5 MPa 。

3 当该批构件混凝土强度换算值的平均值大于 50 MPa , 且标准差大于 6.5 MPa 。

4.4 拔出法

I 一般规定

4.4.1 拔出法适用于抗压强度 $10 \text{ MPa} \sim 80 \text{ MPa}$ 之间, 表面与内部质量无明显差异的工程结构混凝土强度的检测。

4.4.2 拔出法检测前, 宜通过专门试验按本规程附录 P 的规定建立专用测强曲线, 其允许相对标准差不应大于 12% 。

4.4.3 后装拔出法测点布置应符合下列规定:

1 按单个构件检测时, 应在构件上均匀布置 3 个测点。当 3 个拔出力中的最大值和最小值与中间值之差小于中间值的 15% 时, 可布置 3 个测点。当最大值和最小值与中间值之差大于等于中间值的 15% 时, 应在最小拔出力测点附近再加测 2 个测点。

2 当同批构件按批抽样检测时, 抽检数量应不少于同批结构总数的 50% , 且不少于 2 个, 每个构件不应少于 5 个测点。

3 测点的布置应具有代表性, 应能真实反映整个结构或构件的整体质量情况, 相邻两测点的间距不应小于 250 mm 。当采用圆环式拔出仪时, 测点距构件边缘不应小于 100 mm 。当采用三点式拔出仪时, 测点距构件边缘不应小于 150 mm 。测试部位的混凝土厚度不宜小于 80 mm 。

4 测点宜布置在结构或构件混凝土的浇筑侧面, 如不能满足这一要求时, 可布置在结构或构件混凝土的浇筑顶面或底面。

5 测点应避开接缝、蜂窝、麻面部位和钢筋、预埋件等。

6 测点表面应平整、清洁、干燥, 对饰面层、浮浆、薄弱层等应予清除, 必要时进行磨平处理。

4.4.4 预埋拔出法测点布置应符合下列规定：

1 预埋件的布点数量和位置应预先规划确定。对局部混凝土或单个构件进行强度测试时,应在同一母体混凝土范围内至少设置 5 个预埋点。当用以监控较大批量混凝土的强度时,每浇灌 100 m^3 混凝土至少设置 10 个预埋点。

2 预埋点相互之间间距不应小于 200 mm , 预埋点离混凝土边缘的距离不应小于 100 mm , 预埋点部位的混凝土厚度不宜小于 80 mm , 预埋件与钢筋边缘间的净距离不应小于钢筋的直径。

4.4.5 结构或构件的测点应标明编号,并描绘测点的布置。

II 主要仪器

4.4.6 拔出法检测装置由钻孔机、磨槽机、锚固件及拔出仪等组成。钻孔机宜采用金刚石薄壁空心钻或冲击电锤,钻孔机宜带有控制垂直及深度的装置,金刚石薄壁空心钻应带水冷装置。磨槽机由电钻、金刚石磨头、定位圆盘和冷却水装置组成。

4.4.7 拔出仪由加荷装置、测力装置和反力支承三部分组成,其技术性能应满足下列要求:

1 试验最大拔出力应在拔出仪量程的 $20\% \sim 80\%$ 。

2 圆环式拔出仪的拉杆及胀簧材料极限抗拉强度不应小于 2100 MPa 。

3 圆环式拔出装置工作行程应不小于 4 mm , 三点式拔出装置工作行程应不小于 6 mm 。

4 允许示值误差应控制在仪器量程的 $\pm 2\%$ 以内。

5 测力装置应具有峰值保持功能。

4.4.8 拔出装置可分为圆环式和三点式,圆环式后装拔出装置(图 4.4.8)技术指标应符合下列规定:

1 钻孔直径宜为 18 mm 。

2 反力支承内径宜为 55 mm 。

3 锚固深度宜为 25 mm 。

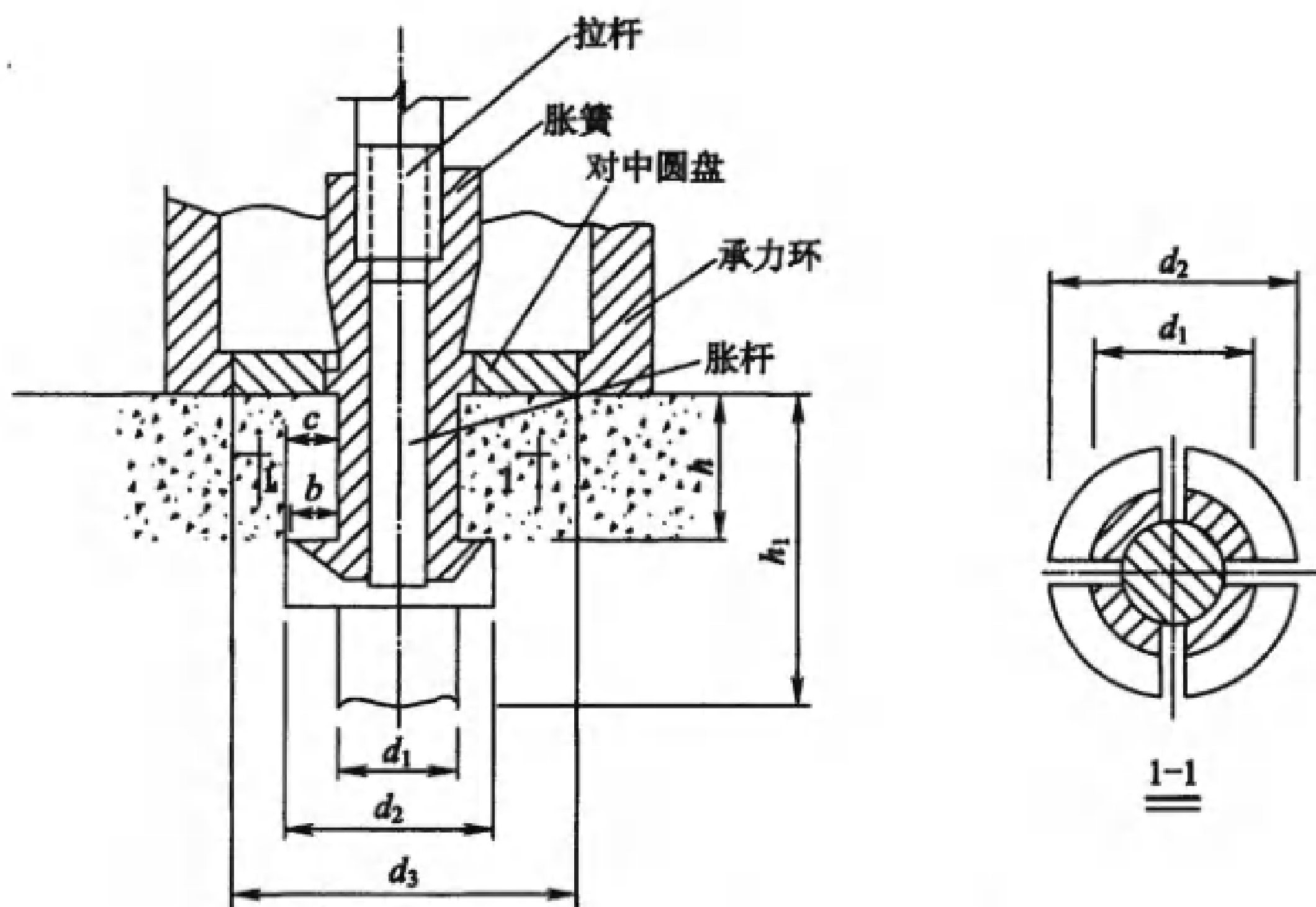


图 4.4.8 圆环式后装拔出装置示意图

d_1 —钻孔直径; d_2 —锚盘直径; d_3 —反力支承内径; h —锚固深度;

h_1 —钻孔深度; c —环形槽深度; b —胀簧锚固台阶宽度

4.4.9 圆环式预埋拔出装置(图 4.4.9)技术指标应符合下列规定:

- 1 反力支承内径宜为 55 mm。
- 2 拉杆直径宜为 10 mm。
- 3 锚盘直径宜为 25 mm。
- 4 锚固件的锚固深度宜为 25 mm。

4.4.10 三点式后装拔出装置(图 4.4.10)技术指标和使用范围应符合下列规定:

- 1 钻孔直径宜为 22 mm。
- 2 反力支承内径宜为 120 mm。
- 3 锚固件锚固深度宜为 35 mm。

4.4.11 拔出仪应每年至少校准一次。遇下列情况时,应重新校准:

- 1 更换液压油后。
- 2 更换测力装置后。

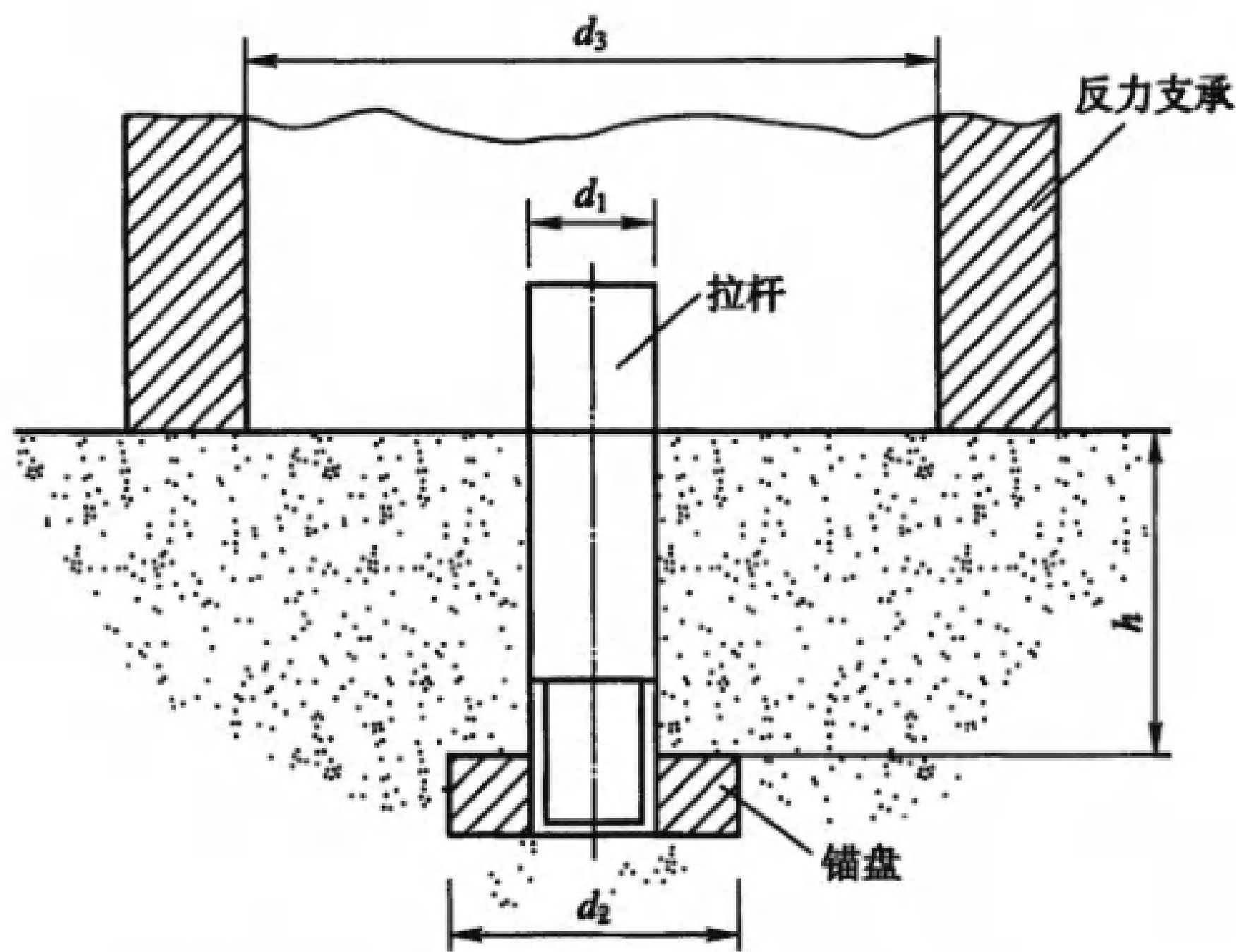


图 4.4.9 圆环式预埋拔出装置示意图

d_1 —钻孔直径; d_2 —锚盘直径; d_3 —反力支承内径; d —锚固深度

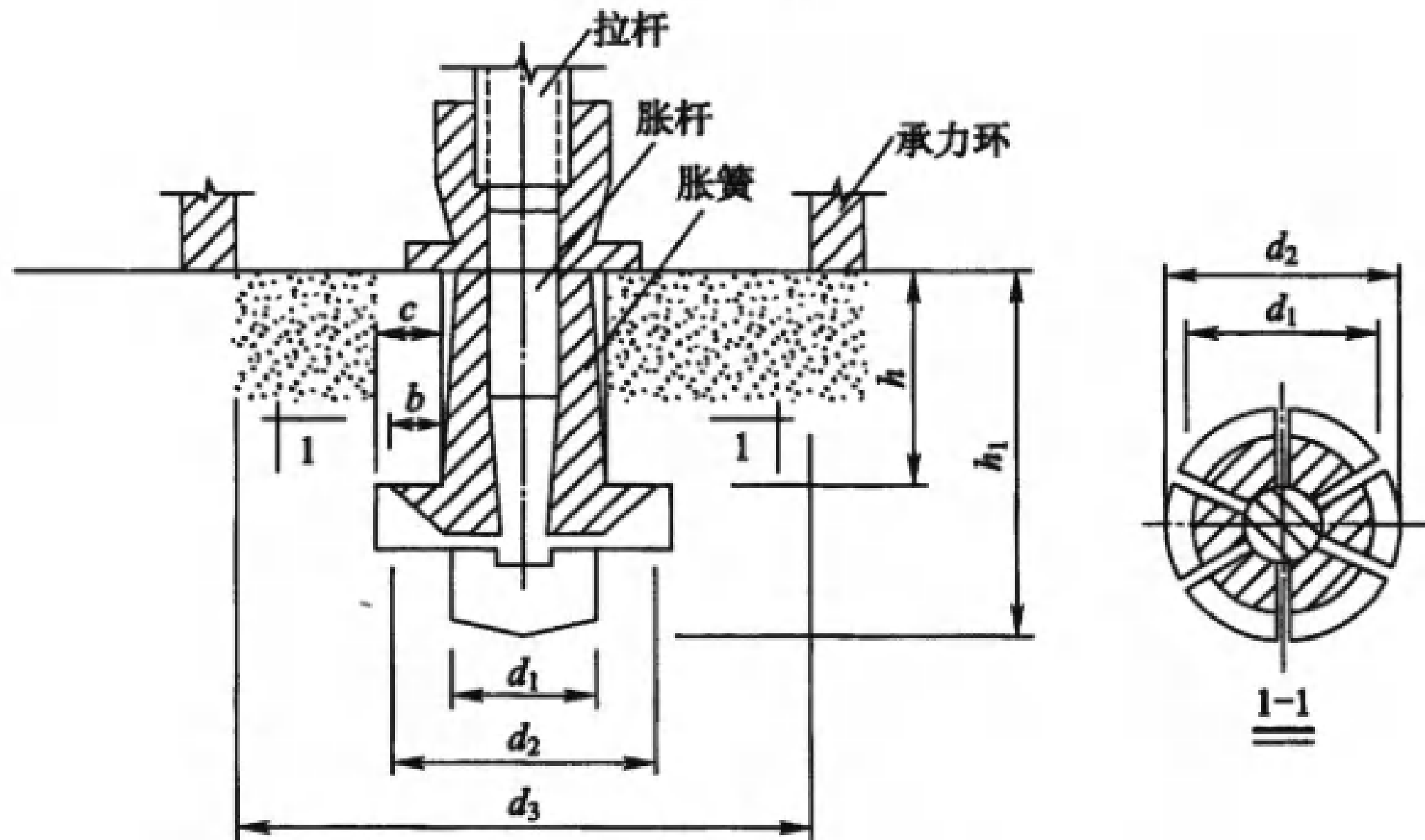


图 4.4.10 三点式后装拔出装置示意图

d_1 —钻孔直径; d_2 —锚盘直径; d_3 —反力支撑内径; h —锚固深度;
 h_1 —钻孔深度; c —环形槽深度; b —胀簧锚固台阶宽度

- 3 经维修后。
- 4 拔出仪出现异常时。

III 后装拔出法检测

4.4.12 钻孔与磨槽应符合下列规定：

1 在钻孔过程中，钻头应始终与混凝土测试面保持垂直，垂度偏差不应大于 3° 。

2 在混凝土钻孔内的孔壁磨环形槽时，磨槽机的定位圆盘应始终紧靠混凝土表面回转，磨出的环形槽形状应规整。

4.4.13 成孔尺寸应符合下列要求：

1 钻孔直径 d_1 的最大允许偏差为 1.0 mm 。

2 钻孔深度 h_1 应较锚固深度 h 深 $20\text{ mm} \sim 30\text{ mm}$ 。

3 圆环式锚固深度 h 宜为 25 mm ，三点式锚固深度 h 宜为 35 mm ，允许误差为 $\pm 0.5\text{ mm}$ 。

4 环形槽深度 c 不应小于胀簧锚固台阶宽度 b 。

4.4.14 安装拔出仪应注意下列事项：

1 将胀簧插入成型孔内，通过胀杆使胀簧锚固台阶完全嵌入环形槽内，保证锚固可靠。

2 将拉杆一端旋入胀簧，另一端与拔出仪连接对中，拔出仪与混凝土检测面应垂直。

4.4.15 拔出检测应符合下列规定：

1 施加拔出力应连续均匀，将拉拔速度控制在 $0.5\text{ kN/s} \sim 1.0\text{ kN/s}$ 。

2 施加拔出力至混凝土开裂破坏、测力显示器读数不再增加为止，记录极限拔出力值，精确至 0.1 kN 。

3 拔出检测时，应采取措施防止拔出仪及机具脱落摔坏或伤人。

4.4.16 当发生下列情况之一时，拔出检测应做详细记录，并将该值舍去，在其附近补测一个测点：

- 1 锚固件在混凝土孔内滑移或断裂。
- 2 被测构件在拔出检测时出现断裂。
- 3 反力支承内的混凝土仅有小部分破损或被拔出,而大部分无损伤。
- 4 在拔出混凝土的破坏面上,有大于 40 mm 的粗骨料颗粒,有蜂窝、空洞、疏松等缺陷或其他异物。
- 5 当采用圆环式拔出法检测装置时,检测后在混凝土测试面上见不到完整的环形压痕或在支承环外出现混凝土裂缝。

IV 预埋拔出法检测

- 4.4.17 预埋拔出法宜采用圆环式拔出仪进行试验。
- 4.4.18 预埋件由锚盘、定位杆和连接圆盘组成,在锚盘和定位杆外表宜涂上一层机油或其他隔离油。
- 4.4.19 在浇筑混凝土之前,预埋件应安装在划定测点部位的模板内侧。当测点在浇筑面时,应将预埋件钉在连接圆盘的木板上,确保木板漂浮在混凝土表面。
- 4.4.20 在模板内浇筑混凝土时,预埋点周围的混凝土应与其他部位同样捣实,且不应损坏预埋件。
- 4.4.21 拆模后应预先将定位杆旋松,进行拔出试验前,应把连接圆盘和定位杆拆除。
- 4.4.22 采用预埋拔出法检测时,应符合下列规定:
 - 1 检测前,应确认预埋件未受损伤,并确认拔出仪的工作状态正常。
 - 2 检测时,应将拉杆一端穿过小孔旋入锚盘中,另一端与拔出仪连接。
 - 3 拔出仪的反力支承应均匀地压紧混凝土测试面,并与拉杆和锚盘处于同一轴线。
 - 4 施加拔出力应连续均匀,其速度应控制在 0.5 kN/s ~ 1.0 kN/s。

5 拔出力应施加至混凝土破坏、测力显示器读数不再增加为止,记录的极限拔出力值应精确至0.1 kN。

6 检测时,应防止拔出仪及机具脱落摔坏或伤人。

4.4.23 当出现下列情况之一时,可按本规程第4.4.3条第1款采用后装拔出法补充检测:

1 单个构件检测时,因预埋件损伤或异常导致有效测试点不足3个。

2 按批抽样检测时,因预埋件损伤或数据异常导致样本容量不足15个,无法按批进行强度推定。

V 混凝土强度换算及推定

4.4.24 混凝土强度换算可按下列公式计算:

1 后装拔出法(圆环式)可按下式计算:

$$f_{cu}^e = 1.55F_d + 2.35 \quad (4.4.24-1)$$

2 后装拔出法(三点式)可按下式计算:

$$f_{cu}^e = 2.76F_d - 11.54 \quad (4.4.24-2)$$

3 预埋拔出法(圆环式)可按下式计算:

$$f_{cu}^e = 1.30F_d - 4.8 \quad (4.4.24-3)$$

式中 f_{cu}^e ——混凝土强度换算值,精确至0.1 MPa;

F_d ——拔出力代表值,精确至0.1 kN。

4.4.25 当有地区测强曲线或专用测强曲线时,应按地区测强曲线或专用测强曲线计算。

4.4.26 后装拔出法单个构件混凝土强度的推定应符合下列规定:

1 当未按本规程第4.4.3条第1款加测时,单个构件的拔出力代表值取3个拔出力中的最小值。

2 当按本规程第4.4.3条第1款加测时,加测的2个拔出力值和最小拔出力值一起取平均值,再与前一次的拔出力中间值比较,取较小值作为该构件拔出力代表值。

3 将单个构件的拔出力代表值根据不同的检测方法对应代入本规程式(4.4.24—1)和式(4.4.24—2)中计算强度换算值,作为单个构件混凝土强度推定值 $f_{cu,e}$ 。

4.4.27 预埋拔出法检测局部混凝土或单个构件混凝土强度时,以5次拔出试验为一组,将同组5次拔出试验的极限拔出力,舍去其中的最大值和最小值后求出算术平均值,再按本规程式(4.4.24—3)计算抗压强度换算值,作为该组试验的混凝土抗压强度推定值。

4.4.28 后装拔出法批量检测结构或构件的混凝土强度推定应符合下列规定:

1 将批量检测的每个拔出力作为拔出力代表值,根据不同的检测方法对应代入本规程式(4.4.24—1)和式(4.4.24—2)中计算强度换算值作为单个构件混凝土强度推定值 $f_{cu,e}$ 。

2 批量检测结构或构件的混凝土抗压强度推定值 $f_{cu,e}$ 应按下列公式计算:

$$f_{cu,e} = m_{f_{cu}} - 1.645 S_{f_{cu}} \quad (4.4.28-1)$$

$$m_{f_{cu}} = \frac{\sum_{i=1}^n f_{cu,i}^e}{n} \quad (4.4.28-2)$$

$$S_{f_{cu}} = \sqrt{\frac{\sum_{i=1}^n (f_{cu,i}^e)^2 - n(m_{f_{cu}})^2}{n-1}} \quad (4.4.28-3)$$

式中 $m_{f_{cu}}$ ——批量检测结构或构件的混凝土抗压强度换算值的平均值(MPa),精确至0.1 MPa;

$f_{cu,i}^e$ ——第*i*个结构或构件混凝土抗压强度换算值(MPa),精确至0.1 MPa;

$S_{f_{cu}}$ ——批量检测结构或构件的混凝土抗压强度换算值的标准差(MPa),精确至0.1 MPa;

n——批量检测结构或构件的混凝土抗压强度换算值的总个数。

4.4.29 预埋拔出法批量检测结构或构件的混凝土强度推定应按下列公式计算：

$$f_{cu,e} = 1.11(m_{fcu} - 1.645S_{fcu}) \quad (4.4.29-1)$$

$$m_{fcu} = \frac{\sum_{i=1}^n f_{cu,i}^e}{n} \quad (4.4.29-2)$$

$$S_{fcu} = \sqrt{\frac{\sum_{i=1}^n (f_{cu,i}^e)^2 - n(m_{fcu})^2}{n-1}} \quad (4.4.29-3)$$

式中 $f_{cu,e}$ ——该批混凝土的抗压强度推定值 (MPa), 精确至 0.1 MPa;

m_{fcu} ——结构或构件测区混凝土强度换算值的平均值 (MPa), 精确至 0.1 MPa;

n ——同批拔出试验次数, $n \geq 10$;

S_{fcu} ——结构或构件测区混凝土强度换算值的标准差 (MPa), 精确至 0.01 MPa。当 $S_{fcu} < 0.06m_{fcu}$ 时, $S_{fcu} = 0.06m_{fcu}$; 当 $S_{fcu} > 0.15m_{fcu}$ 时, $S_{fcu} = 0.15m_{fcu}$ 。

4.4.30 对于批量检测的结构或构件, 当全部批量检测的混凝土强度换算值的标准差出现下列情况时, 则该批结构或构件应全部按单个结构检测:

1 当该批构件混凝土强度换算值的平均值小于 25 MPa, 且标准差大于 4.5 MPa。

2 当该批构件混凝土强度换算值的平均值为 25 MPa ~ 50 MPa, 且标准差大于 5.5 MPa。

3 当混凝土强度换算值的平均值大于 50 MPa 时, 变异系数 δ 大于 0.10。变异系数可按下式计算:

$$\delta = \frac{S_{fcu}}{m_{fcu}} \quad (4.4.30)$$

4.5 同条件养护试件法

I 一般规定

4.5.1 同条件养护试件法适用于涉及混凝土结构安全重要部位结构混凝土强度检测。

4.5.2 同条件养护试件的标准成型方法及强度试验方法均应符合现行《混凝土物理力学性能试验方法标准》GB/T 50081 的有关规定。采用蒸汽养护的结构或构件,其试件应随结构或构件同条件养护至规定龄期。

II 同条件养护试件的留置和养护

4.5.3 同条件养护试件的取样应具有代表性,同一强度等级同条件养护试件的留置组数应根据相关规定确定。

4.5.4 同条件养护试件应在混凝土浇筑地点取样。

4.5.5 同条件养护试件拆模后,应放置在靠近相应结构或构件部位的适当位置,采取与结构或构件部位相同的养护方法,且应采取可靠的保护措施,保证同条件养护试件不丢失和损坏。

III 等效养护龄期

4.5.6 同条件养护试件的等效养护龄期应根据同条件养护试件强度与在标准养护条件下规定龄期试件强度相等的原则确定。

4.5.7 同条件养护试件的等效养护龄期,可根据结构或构件所处环境气温和养护条件按下列规定确定:

1 对于标准条件养护试件试验龄期分别为 28 d、56 d 的,其对应的等效养护龄期分别为其同条件养护试件的逐日累计温度达到 $600^{\circ}\text{C} \cdot \text{d}$ 、 $1200^{\circ}\text{C} \cdot \text{d}$ (不计 0°C 及以下的龄期)或达到设计龄期所对应的温度积。

2 等效养护龄期不应少于 14 d。

4.5.8 冬期施工、蒸汽养护的混凝土结构或构件,其同条件养护试件的等效养护龄期应根据结构或构件的实际养护条件确定。

4.5.9 同条件养护试件的养护温度记录可按附录 Q 填写。

IV 混凝土强度换算

4.5.10 同条件养护试件达到确定的等效养护龄期时,24 h 内应完成抗压强度试验。

4.5.11 同条件养护试件的强度代表值应除以 0.88 系数后,根据强度试验结果按现行《铁路混凝土强度检验评定标准》TB 10425 进行评定。

4.6 射 钉 法

I 一 般 规 定

4.6.1 射钉法适用于检测喷射混凝土 24 h 的抗压强度。

4.6.2 采用射钉法检测前,宜通过专门试验按本规程附录 R 的规定建立专用测强曲线,其允许的强度平均相对误差不应超过 $\pm 12\%$,相对标准差不应大于 14%。

4.6.3 采用射钉法检测时,每次检测不少于 2 个测区,测区面积宜控制在 $0.03 \text{ m}^2 \sim 0.04 \text{ m}^2$,相邻两测区的间距不宜小于 0.3 m,且不宜大于 2 m。测区应避开蜂窝、麻面、钢筋和预埋件等。

4.6.4 测点在测区内宜均匀分布,相邻两测点的净距不宜小于 30 mm;测点距外露钢筋、预埋件的距离不宜小于 50 mm。

4.6.5 检测环境温度应为 $0^\circ\text{C} \sim 40^\circ\text{C}$ 。

II 主 要 仪 器

4.6.6 射钉仪应符合下列规定:

- 1 测钉射入力为 $1000 \text{ N} \pm 8 \text{ N}$,工作冲程为 $20 \text{ mm} \pm 0.1 \text{ mm}$ 。
- 2 测钉直径为 $3.00 \text{ mm} \sim 3.50 \text{ mm}$,精确至 0.01 mm;测钉长

度为 35.0 mm ~ 40.0 mm, 精确至 0.1 mm; 测钉钉尖长度为 5.0 mm \pm 0.01 mm(测钉尖角度 34°), 测钉洛氏硬度(HRC)为 62 ~ 66。

3 深度测量尺精度为 0.01 mm。

4 量规槽长度小于测钉长度 0.5 mm。

4.6.7 射钉仪使用应符合下列规定:

1 射钉仪不应对着自己或他人, 防止发生安全事故。

2 在未装测钉前应避免加力弹射, 防止损坏测钉座。

3 仪器使用后应及时清理表面灰尘。

4 仪器应存放在通风干燥、无腐蚀气体处, 防止锈蚀。

4.6.8 射钉仪应每 12 个月进行校准。

III 射钉法检测

4.6.9 检测前, 应将混凝土表面打磨平整, 并清除表面灰尘。

4.6.10 检测时, 将射钉仪轴线与混凝土测试面垂直, 用力握住把手, 防止反冲。扣动扳机, 使射钉仪自由释放能量。移开射钉仪, 用吹风器吹净测孔, 测量射入深度值, 每一测区应记取 7 个有效射入深度值, 读数精确至 0.01 mm, 可按本规程附录 S 中表 S.0.1 填写记录。

4.6.11 在检测过程中, 应随时检查测钉的磨损情况, 当测钉能通过量规槽时, 应更换测钉。

4.6.12 当发生下列情况之一时, 应将该测量值舍去, 并在其附近重新补测:

1 测钉射入到钢筋或预埋件上时。

2 测钉射入到骨料、蜂窝或孔隙内时。

3 测量值的极差超过 1.6 mm 时, 剔除 7 个测量值中与平均值偏差最大的数据, 至所剩测量值极差满足要求且不少于 7 个。

4.6.13 射钉法检测应在 1 h 内完成。

IV 混凝土强度换算及推定

4.6.14 计算测区平均射入深度值时,应从该测区 7 个射入深度值中剔除 1 个最大值和 1 个最小值后,平均射入深度值应按下式计算:

$$L_a = \frac{\sum_{i=1}^5 L_i}{5} \quad (4.6.14)$$

式中 L_a —— 测区测钉射入深度平均值 (mm), 精确至 0.01 mm;

L_i —— 第 i 个测点的射入深度 (mm)。

4.6.15 根据平均射入深度值利用专用测强曲线推算测区混凝土抗压强度值,精确至 0.1 MPa。

4.6.16 现场检测不具备建立专用测强曲线条件时,可采用测钉直径为 3.10 mm,测钉长度为 35.0 mm,测钉钉尖长度为 5.0 mm 射钉仪进行检测,其混凝土强度检测值按下式计算:

$$f_{cu,e} = 27.48 - 2.51L_a \quad (4.6.16)$$

式中 $f_{cu,e}$ —— 射钉法混凝土强度推定值 (MPa);

L_a —— 测区测钉射入深度平均值 (mm)。

4.6.17 检测报告可按本规程附录 S 中表 S.0.2 填写。

5 混凝土外观缺陷检测

5.1 一般规定

5.1.1 混凝土外观缺陷的分类及检测方法宜按表 5.1.1 确定。

表 5.1.1 混凝土外观缺陷分类及检测方法

序号	缺陷名称	现 象 描 述	检 测 方 法
1	裂缝	结构或构件表面延伸至混凝土内部的缝隙	按本规程第 5.2 节的规定进行检测
2	表层损伤	结构混凝土因为受冻害、腐蚀、碰撞、火灾等外部因素影响导致的表层性状变化	按本规程第 5.3 节的规定进行检测
3	蜂窝	混凝土表面缺少水泥砂浆而形成的局部蜂窝状粗骨料外露	按本规程第 5.4 节的规定进行检测
4	麻面	结构或构件表面呈现出无数的不规则凹点, 直径通常不大于 5 mm	按本规程第 5.4 节的规定进行检测
5	表面疏松	由于振捣不到位或混凝土离析等因素导致的结构或构件表面可见的局部不密实	按本规程第 5.4 节的规定进行检测
6	孔洞	结构或构件表面存在的孔穴, 其深度和最大孔径均超过保护层厚度	按本规程第 5.5 节的规定进行检测
7	露筋	结构或构件内钢筋未被混凝土包裹而形成的外露	按本规程第 5.6 节的规定进行检测

5.1.2 在测量混凝土外观缺陷具体尺寸的同时, 应详细记录缺陷部位、与结构或构件边缘的距离等位置信息, 并留存影像资料。

5.1.3 混凝土的外观缺陷应按类别进行分类汇总, 汇总结果应反映受检范围内外观缺陷的分布特征, 列表或附缺陷分布示意图。

5.1.4 采用超声波法检测混凝土外观缺陷时,发射换能器、接收换能器的连线方向不应与附近主钢筋的轴线平行。

5.2 裂 缝

I 裂缝宽度

5.2.1 裂缝宽度可采用塞尺、比对卡、读数显微镜、刻度放大镜、宽度测量仪、数字摄影成像系统进行检测。

5.2.2 当采用塞尺、比对卡、读数显微镜、刻度放大镜、宽度测量仪时,仪器精度应不低于 0.02 mm, 裂缝宽度测量结果精确到 0.02 mm。

5.2.3 当采用数字摄影成像系统远程测量时,系统精度不宜低于 0.2 mm, 距离定位误差不大于 5%, 裂缝宽度测量结果精确到 0.2 mm。

5.2.4 裂缝宽度检测应满足下列要求:

- 1 裂缝宽度检测时应清除表面污物,让裂缝完全外露。
- 2 在目测最宽处和中部采用仪器分别测量裂缝宽度,每点测量 2 次,取 2 次的平均值作为该点的裂缝宽度,并注明裂缝最大宽度。
- 3 裂缝两侧不平整时应予以注明。

II 裂缝长度

5.2.5 裂缝长度可采用钢尺、卷尺、数字摄影成像系统等进行检测,且应满足下列要求:

- 1 读数精度应不低于 1 mm。
- 2 当使用数字摄影成像系统远程测量时,距离定位误差不大于 5%。

5.2.6 裂缝长度检测应满足下列要求:

- 1 裂缝长度检测前,应先标注出其首端和末端位置,并在记

录中予以注明。

- 2 当裂缝走势为直线时,其长度检测可直接测量首末端距离。
- 3 当裂缝走势非直线时,应分段测量后汇总。
- 4 裂缝长度测量结果精确至 1 mm。

III 裂缝深度

5.2.7 裂缝深度可采用深度尺法、超声波法或钻芯法进行检测,不同方法的适用范围见表 5.2.7。

表 5.2.7 裂缝深度检测方法的适用范围

序号	检测方法	仪器设备	适 用 范 围
1	深度尺法	深度尺	缝深方向与表面垂直,表面缝宽与内部缝宽基本一致,缝内无填充物
2	超声波法	非金属超声波检测仪	被测裂缝中无积水或其他填充物,裂缝表面周围不小于预估裂缝深度范围的混凝土应干燥、清洁、平整且无其他裂缝
3	钻芯法	钻芯机、钢尺、卷尺	需精确测量深度的裂缝,且该部位为可钻孔的混凝土结构

5.2.8 裂缝深度检测应在裂缝长度范围内测量多个测点,详细记录测点位置。

(I) 超声波法

5.2.9 采用非金属超声波检测仪检测裂缝深度时,根据裂缝所处位置及结构形状,可采用单面平测法、双面穿透斜测法或钻孔对测法,不同检测方法适用范围如下:

- 1 当混凝土的裂缝部位只有一个可测表面,裂缝深度不大于 500 mm 时,可采用单面平测法检测。
- 2 当混凝土的裂缝部位具有两个相互平行的测试表面时,应优先采用双面穿透斜测法检测。
- 3 当混凝土的裂缝深度大于 500 mm 以上,不具备双面穿透斜测法所需的一对相互平行的测试面,且被测构件允许在裂缝两

侧钻孔时,可采用钻孔对测法检测。

5.2.10 检测裂缝深度所用的非金属超声波检测仪应符合本规程附录T的相关规定。

5.2.11 采用单面平测法检测裂缝深度应选用频率较低的振动式平面换能器。

5.2.12 采用单面平测法检测裂缝深度,应在裂缝的被测部位以不同的测距按跨缝和不跨缝同时布置测点(布置测点时应避开钢筋的影响)进行声时测量,其测量步骤应符合下列规定:

1 不跨缝的声时测量:将发射换能器和接收换能器置于裂缝同一侧,以两个换能器内边缘间距(l')等于100 mm,150 mm,200 mm,250 mm,…分别读取声时值(t_i),绘制“时-距”坐标图(图5.2.12—1),或用回归分析的方法求出两者的回归直线方程,回归直线方程应按下式计算:

$$l_i = a + bt_i \quad (5.2.12-1)$$

式中 l_i —第*i*点的超声波实际传播距离(mm);

a —“时-距”坐标图中 l' 轴的截距或回归方程的常数项(mm);

b —“时-距”坐标图中回归方程的回归系数(mm/ μ s);

t_i —第*i*点读取的声时值(μ s)。

每测点超声波实际传播距离 l_i 应按下式计算:

$$l_i = l'_i + |a| \quad (5.2.12-2)$$

式中 l_i —第*i*点的超声波实际传播距离(mm);

l'_i —第*i*点的发射换能器、接收换能器内边缘间距(mm);

a —“时-距”坐标图中 l' 轴的截距或回归方程的常数项(mm)。

不跨缝平测的混凝土声速值按下列公式计算:

$$v = \frac{l'_n - l'_1}{t_n - t_1} \quad (5.2.12-3)$$

或

$$v = b \quad (5.2.12-4)$$

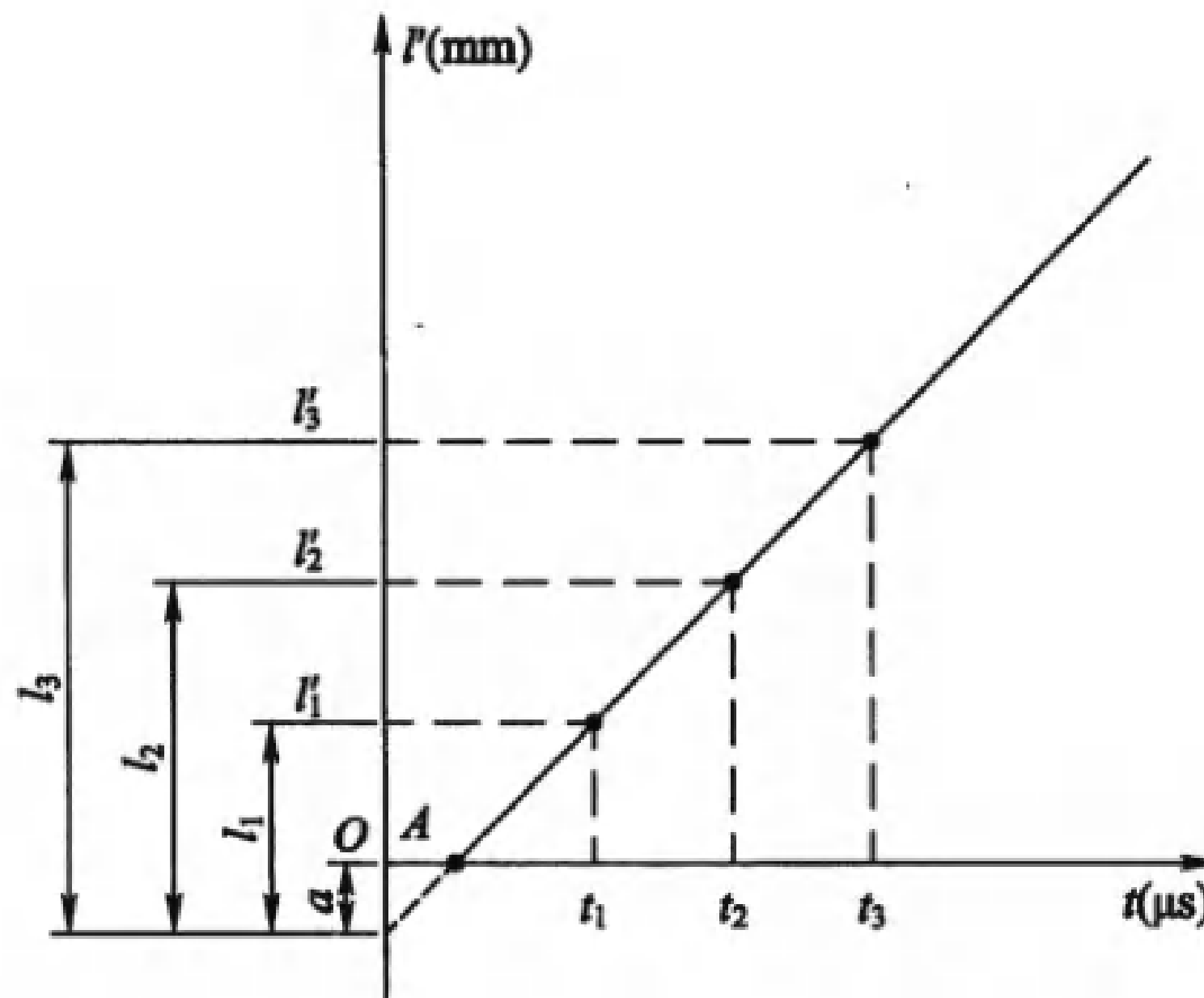


图 5.2.12—1 单面平测法不跨缝测量“时-距”坐标图

l'_i —换能器间内边缘间距,用下标 1、2、3 等表示不同位置;
 t —与 l'_i 所对应的测点声时值,用下标 1、2、3 等表示不同位置;
 l —超声波实际传播距离,用下标 1、2、3 等表示不同位置;
 a —“时-距”坐标图中 l' 轴的截距; A —回归方程拟合直线与 t 轴的交点

式中 v —不跨缝平测的混凝土声速值(km/s);
 l'_n, l'_1 —第 n 点和第 1 点的换能器内边缘间距(mm);
 t_n, t_1 —第 n 点和第 1 点读取的声时值(μs);
 b —“时-距”坐标图中回归方程的回归系数($\text{mm}/\mu\text{s}$)。

2 跨缝的声时测量:跨缝测量时(图 5.2.12—2),将发射换能器、接收换能器对称置于裂缝两侧,两个换能器内边缘间距 l' 取 $100 \text{ mm}, 150 \text{ mm}, 200 \text{ mm}, \dots$ 分别读取声时值 t_i^0 ,同时观察首波相位的变化。

5.2.13 单面平测法检测的裂缝深度应按下列公式计算:

$$h_{ci} = \frac{l_i}{2} \sqrt{\left(\frac{t_i^0 v}{l_i}\right)^2 - 1} \quad (5.2.13-1)$$

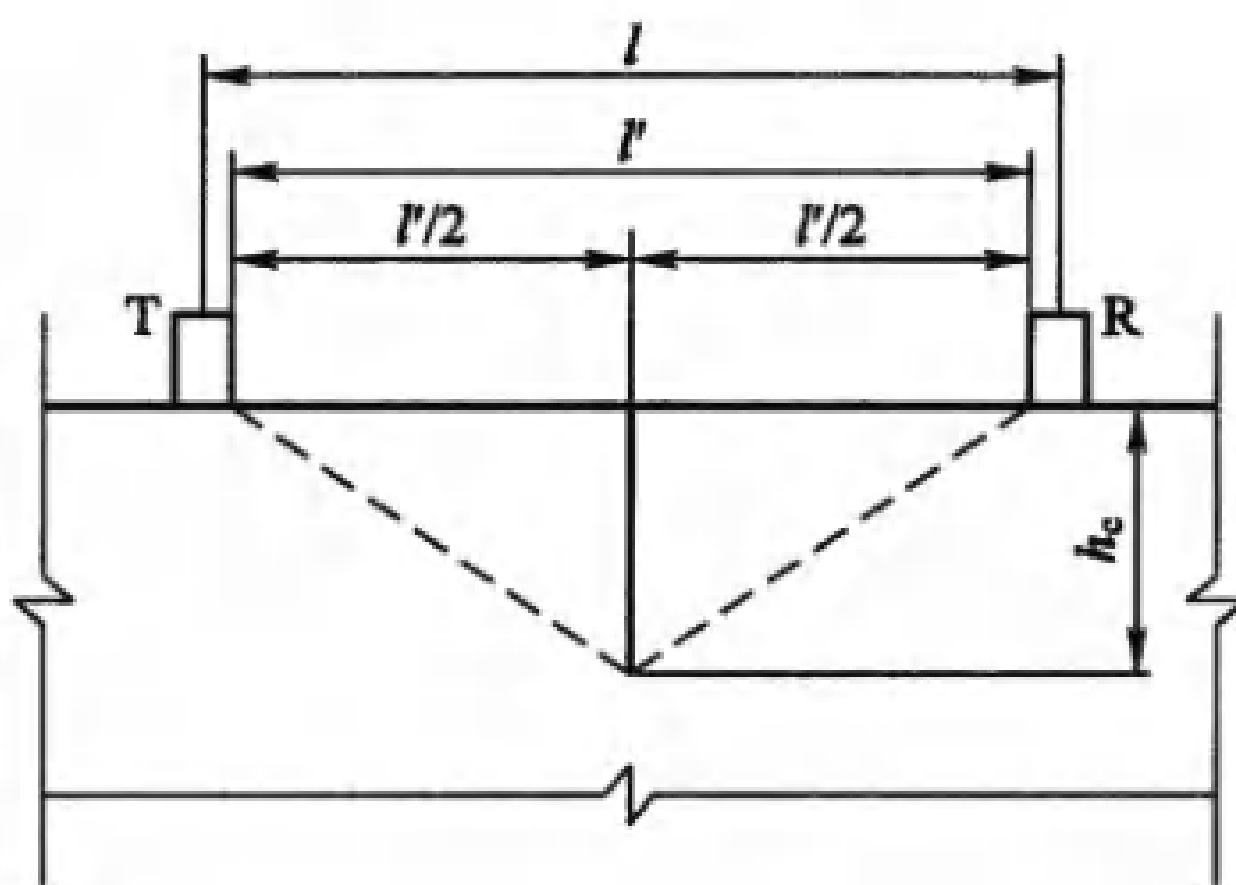


图 5.2.12—2 跨缝测量示意图

T—发射换能器;R—接收换能器;l—换能器中心距;

l' —换能器内边缘间距; h_c —裂缝深度

$$h_m = \frac{1}{n} \sum_{i=1}^n h_{ci} \quad (5.2.13-2)$$

式中 h_{ci} —第 i 点计算的裂缝深度值(mm) ;

l_i —第 i 点的超声波实际传播距离(mm) ;

t_i^0 —第 i 点跨缝平测的声时值(μs) ;

h_m —各测点计算裂缝深度的平均值(mm) ;

n —测点数。

5.2.14 单面平测法检测的裂缝深度计算应符合下列规定:

1 跨缝测量时,当在某测距发现首波反相时,可用该测距及两个相邻测距的测量值按式(5.2.13—1)计算 h_{ci} 值,取此 h_{ci} 的 3 点平均值作为该裂缝的深度值 h_c 。

2 跨缝测量时,如难以发现首波反相,则以不同测距按式(5.2.13—1)、式(5.2.13—2)计算 h_{ci} 及其平均值 h_m 。将各测距与平均值比较,凡测距小于平均值或大于 3 倍平均值,应剔除该组数据,然后取余下 h_{ci} 的平均值,作为该裂缝的深度值 h_c 。

5.2.15 采用双面穿透斜测法检测时测点布置如图 5.2.15 所示,将发射换能器、接收换能器分别置于两测试表面对应测点 1,2,

3, … 的位置, 发射换能器、接收换能器中心连线与换能器中心轴线夹角不得超过 30° , 读取相应声时值 t_i 、波幅值 A_i 及主频值 f_i 。

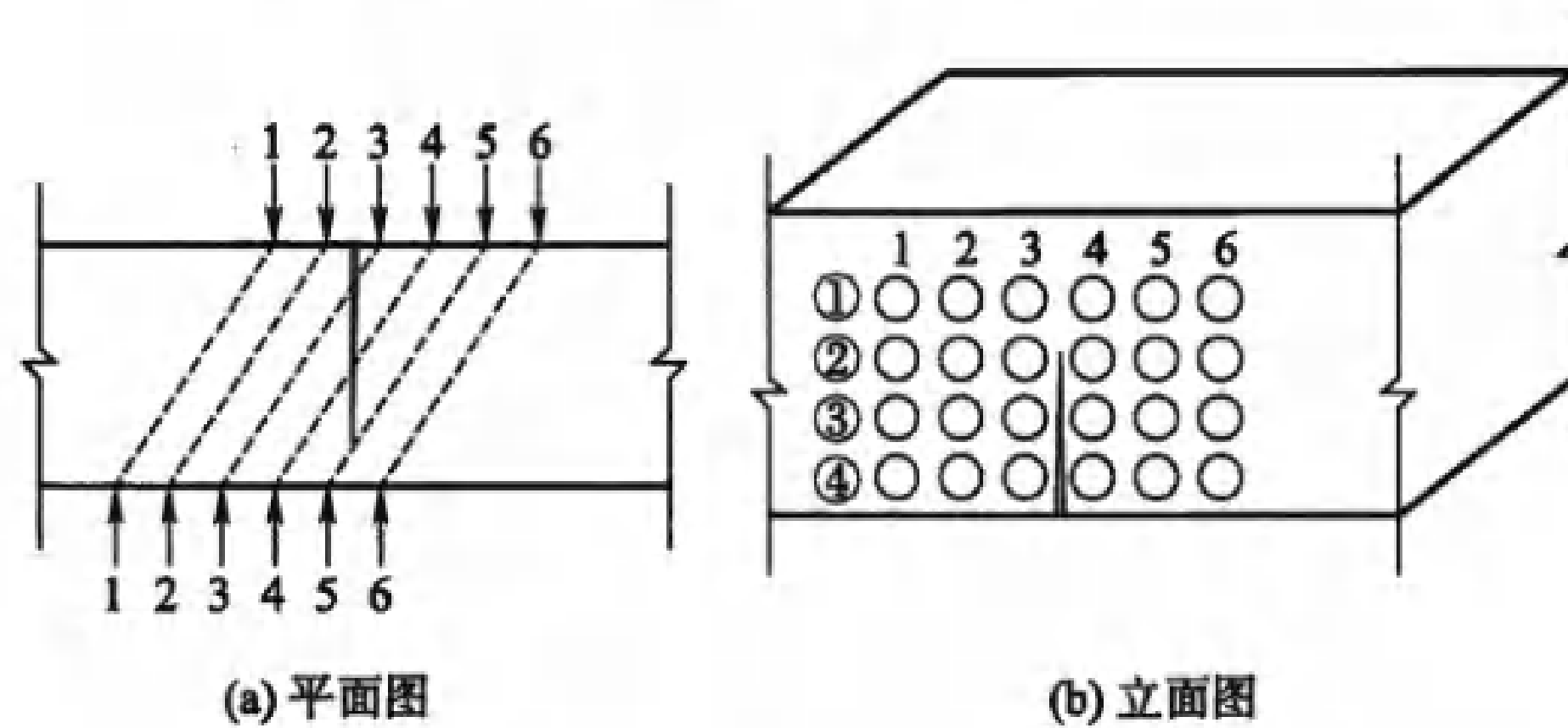
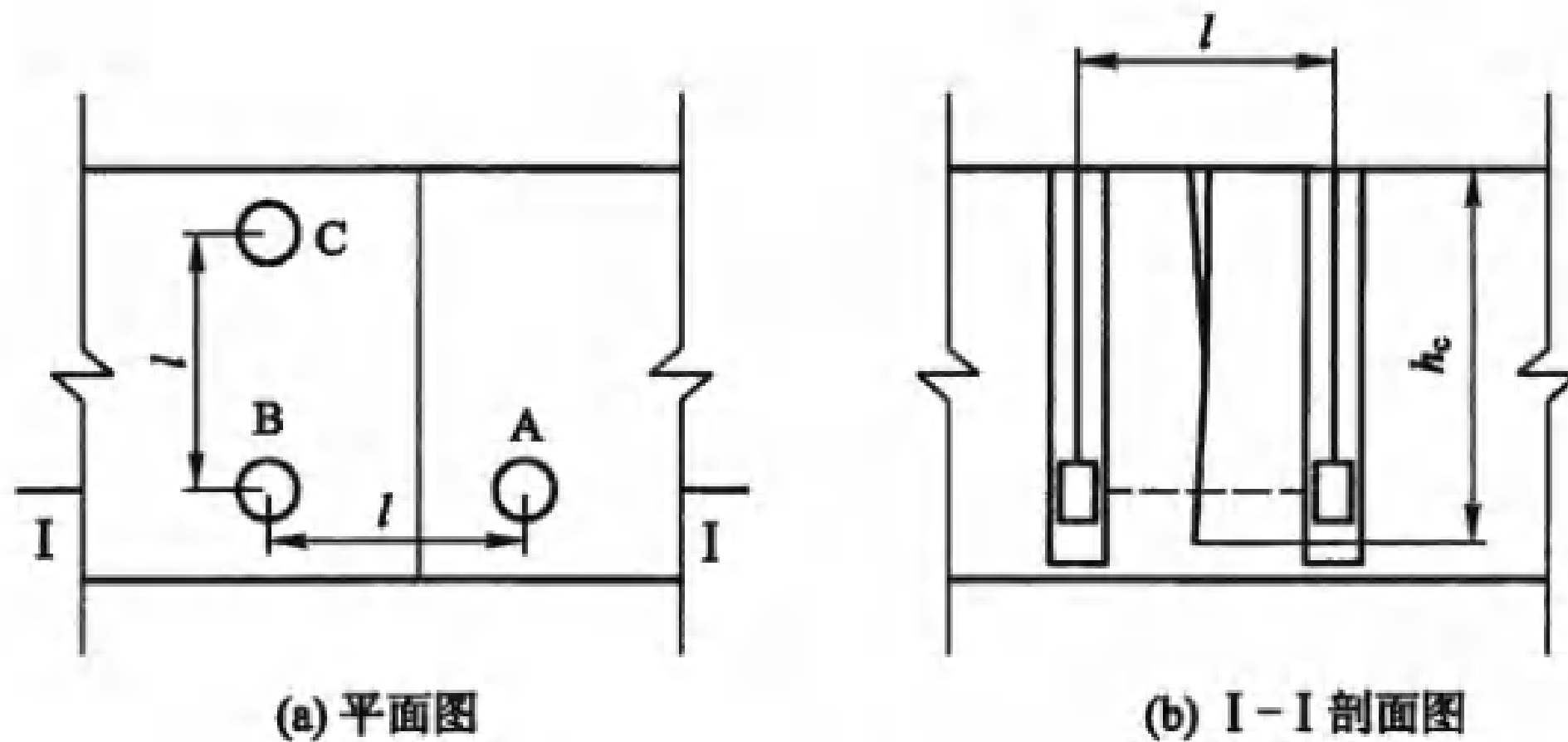


图 5.2.15 双面穿透斜测法测点布置示意图

5.2.16 采用双面穿透斜测法检测时, 应根据波幅、声时和主频的突变, 判定裂缝深度以及是否在所处断面内贯通。

5.2.17 采用钻孔对测法检测裂缝深度时, 所钻测试孔应满足下列要求:

- 1 孔径应比所用换能器直径大 $5 \text{ mm} \sim 10 \text{ mm}$ 。
- 2 钻孔应垂直于混凝土表面。
- 3 孔深应大于裂缝预计深度 500 mm 以上, 经测试如浅于裂缝深度, 则应加深钻孔。
- 4 对应的两个测试孔 A 和 B(图 5.2.17), 必须始终位于裂缝两侧, 其轴线应保持平行。
- 5 两个对应测试孔的间距不宜小于 1000 mm , 同一检测对象各对测试孔间距应保持相同。
- 6 测试孔中粉末碎屑应清理干净。
- 7 宜在其中一个测试孔同侧无裂缝处钻一个孔距相同的比较孔(C孔), 用于测试正常混凝土的声学参数(图 5.2.17), 比较孔深度应保证可获得的正常混凝土声学参数测点不少于 3 个, 一般不应浅于 500 mm 。



(a) 平面图

(b) I - I 剖面图

图 5.2.17 钻孔法测裂缝深度示意图

A, B—测试孔; C—比较孔; l —测试孔中心距; h_c —裂缝深度

5.2.18 钻孔对测法裂缝深度检测应选用频率为 20 kHz ~ 60 kHz 的径向振动式换能器。

5.2.19 测试前应先向测试孔中注满清水,然后将发射和接收换能器分别置于裂缝两侧的测试孔中,以相同高程等间距(100 mm ~ 200 mm)从深至浅同步移动,逐点读取声时、波幅和换能器所处的深度。

5.2.20 钻孔对测法检测的裂缝深度应按下列方法计算:以换能器所处深度(h)与对应的波幅值(A)绘制 h - A 坐标图(图 5.2.20),并依据 h - A 坐标图判断裂缝深度 h_c 。在 h - A 坐标图上,波幅突变点所对应的深度便是裂缝深度 h_c 。

(Ⅱ) 钻 芯 法

5.2.21 钻芯应避开受力钢筋、混凝土内部预埋件等。

5.2.22 钻芯法检测应符合下列规定:

1 钻芯机应采用金刚石或人造金刚石薄壁钻头,钻头不应有可能导致芯样破坏的缺陷。

2 根据裂缝宽度、走向,选择钻芯直径与位置。

3 钻芯深度的选取应根据检测目的进行确认,当需要确认裂缝是否贯穿混凝土结构时,应钻透结构体。

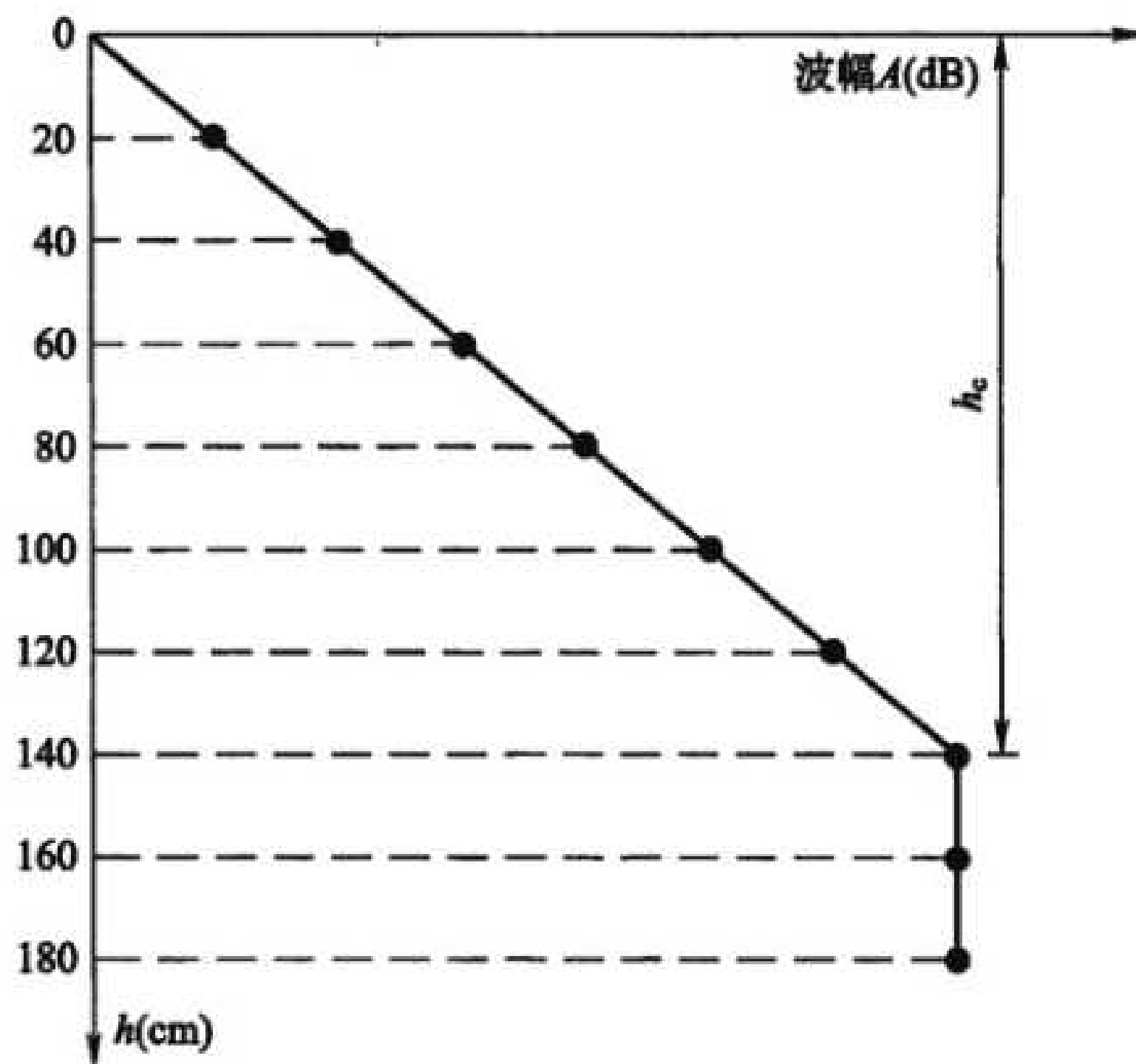


图 5.2.20 h - A 坐标图
 h —孔深; h_e —裂缝深度; A —波幅

4 可取得完整芯样时,采用测量精度不低于 1 mm 的钢尺或卷尺直接从芯样上测量裂缝垂直深度值,结果精确至 1 mm。

5 当钻孔法无法取得完整芯样时,可采用其他合适的方法进行测量。

5.3 表层伤损

5.3.1 表层伤损宜以伤损层厚度来表征。

5.3.2 被测结构允许钻芯时,可采用钻芯法对伤损层厚度进行检测。采用钻芯法检测时应符合下列规定:

1 钻芯位置应具有代表性,一般不少于 3 处,每处钻取 1 个芯样。

2 钻芯深度应穿透伤损层。

3 芯样伤损层厚度测量时,宜先将芯样完全浸入洁净水中,

4 h 后取出芯样, 放置在室内自然风干, 采用钢尺测量其浸润分界线至芯样外表面最大厚度值作为该芯样对应部位伤损层厚度值, 精确至 1 mm。

4 构件伤损层厚度采用所有芯样伤损层厚度的最大值进行表示, 精确至 1 mm。

5 钻芯处的修补宜与伤损层的整体处置同步进行。

5.3.3 当被测构件不适用钻芯法时, 宜采用超声波法对伤损层厚度进行检测, 所采用的非金属超声波检测仪应符合本规程附录 T 的规定。

5.3.4 采用超声波法检测表面伤损层厚度时, 被测部位和测点的确定应满足下列要求:

1 根据混凝土结构的损伤情况和外观质量选取有代表性的部位布置测区, 不少于 3 个。

2 混凝土结构被测表面应平整并处于自然干燥状态, 且无接缝和饰面层。

5.3.5 现场检测应符合下列规定:

1 检测宜选用频率较低的厚度振动式平面换能器。

2 测试时发射换能器应耦合好并保持不动, 然后将接收换能器依次耦合在测点位置上(图 5.3.5), 读取相应的声时值 t_i , 并测量每次发射换能器、接收换能器之间的内边缘间距 l'_i 。接收换能器每次移动的距离宜为 30 mm ~ 100 mm, 每一测区的测点数不应少于 6 个, 损伤区段和未损伤区段的测点各不少于 3 个, 当伤损层较厚时, 应适当增加测点数。

3 当混凝土的伤损层厚度不均匀时, 应适当增加测区数量。

5.3.6 数据处理及判定应符合下列规定:

1 以各测点的声时值 t_i 和相应换能器内边缘间距值 l'_i 绘制“时-距”坐标图(图 5.3.6), 由图可得到声速改变所形成的拐点(l_0), 拐点前后分别表示伤损和未伤损混凝土的换能器内边缘间距与声时相关直线。

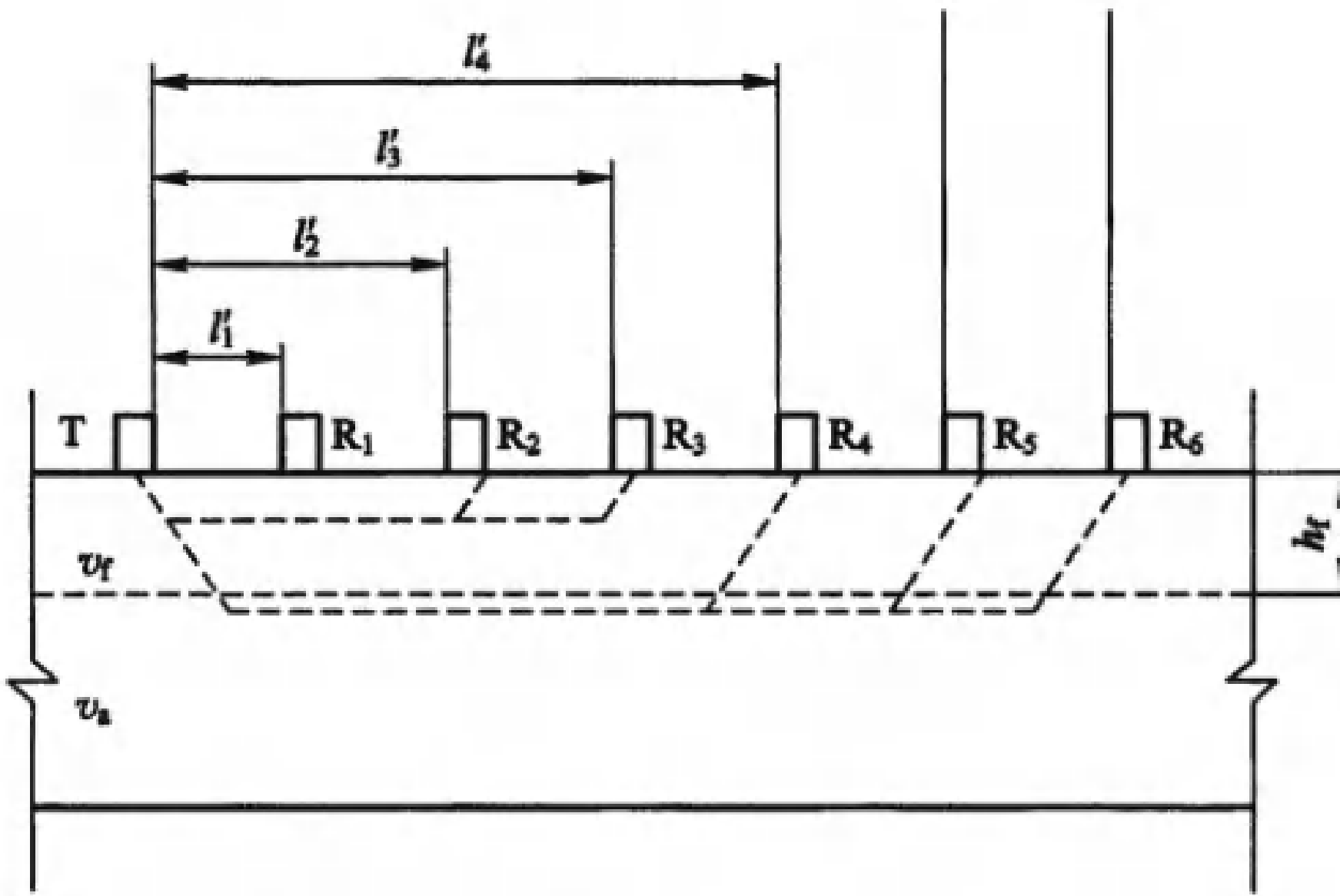


图 5.3.5 超声波法检测表层损伤厚度示意图

T—发射换能器;R_i—接收换能器,下标*i*用1、2、3等表示不同的位置;
l_i—换能器间内边缘间距,下标*i*用1、2、3等表示接收换能器处于不同位置时的
 内边缘间距;*v_f*—伤损层波速;*v_s*—未伤损层波速;*h_f*—伤损层厚度

2 伤损与未伤损混凝土换能器内边缘间距与声时的回归直线方程应按下列公式计算:

$$\text{伤损混凝土} \quad l_f = a_1 + b_1 t_f \quad (5.3.6-1)$$

$$\text{未伤损混凝土} \quad l_s = a_2 + b_2 t_s \quad (5.3.6-2)$$

式中 *l_f*—拐点前各测点的换能器内边缘间距(mm),精确至
 1 mm;

l_s—拐点后各测点的换能器内边缘间距(mm),精确至
 1 mm;

t_f—拐点前各测点的声时值(μs),精确至0.1 μs;

t_s—拐点后各测点的声时值(μs),精确至0.1 μs;

a₁, b₁—回归系数,图5.3.6的伤损混凝土回归直线的截距和
 斜率;

a₂, b₂—回归系数,图5.3.6的未伤损混凝土回归直线的截距
 和斜率。

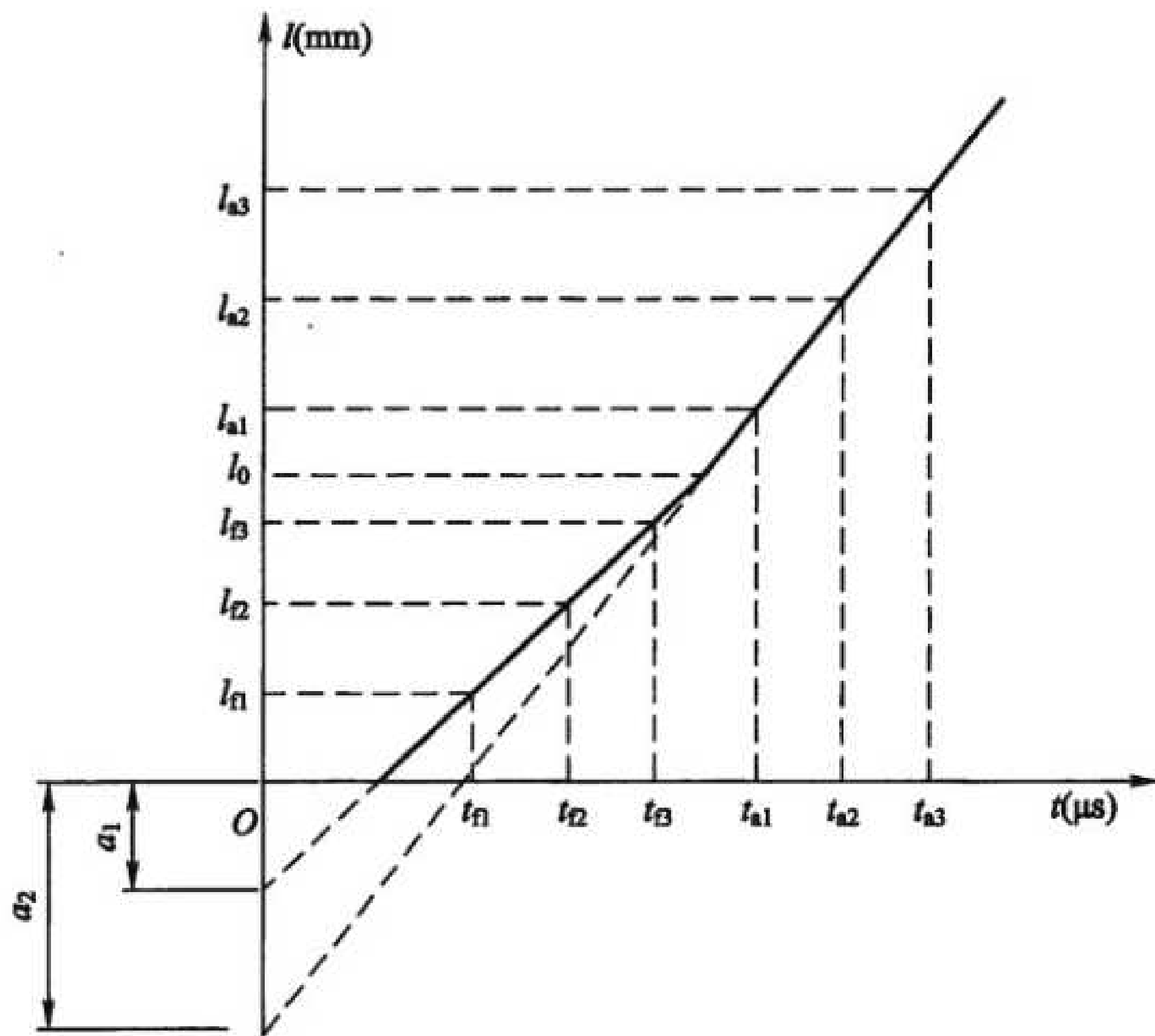


图 5.3.6 表层伤损层厚度检测“时-距”坐标图

l_0 —拐点; t_f —拐点前各测点的声时,下标序号 1、2、3 等表示不同测点位置得到的值;

t_a —拐点后各测点的声时,下标序号 1、2、3 等表示不同测点位置得到的值;

l_f —拐点前各测点的换能器内边缘间距,下标序号 1、2、3 等

表示不同测点的换能器内边缘间距; l_a —拐点后各测点的

换能器内边缘间距,下标序号 1、2、3 等表示不同测点的内边缘间距;

a_1 —伤损混凝土回归直线的截距; a_2 —未伤损混凝土回归直线的截距

3 单个测区伤损层厚度应按下式计算:

$$h_f = \frac{l_0}{2} \sqrt{\frac{b_2 - b_1}{b_2 + b_1}} \quad (5.3.6-3)$$

式中 h_f —伤损层厚度(mm),精确至 1 mm;

l_0 —声速发生突变时的换能器内边缘间距(mm),精确至 1 mm,按式(5.3.6-4)计算。

$$l_0 = \frac{a_1 b_2 - a_2 b_1}{b_2 - b_1} \quad (5.3.6-4)$$

4 混凝土伤损层厚度应取测区伤损层厚度的最大值,精确至1 mm。

5.4 蜂窝、麻面及表面疏松

5.4.1 蜂窝、麻面及表面疏松应采用缺陷面积来表征。

5.4.2 蜂窝、麻面及表面疏松的范围可采用钢尺或卷尺进行测量,也可采用数字摄影成像系统进行远程测量,所采用仪器设备应符合本规程第5.2.2条、第5.2.3条的规定。

5.4.3 测量时应读取蜂窝、麻面及表面疏松范围的最大直径及其垂直方向最外边直径,读数精确至1 mm,并以此计算蜂窝、麻面及表面疏松面积,精确到1 mm²。

5.5 孔洞

5.5.1 孔洞应以单孔孔深和表面最大孔径来表征。

5.5.2 孔洞的孔深宜采用深度尺或深度游标卡尺测量,表面孔径可采用游标卡尺进行测量。

5.5.3 孔深测量时,应读取最大孔深,精确至1 mm;表面孔径测量时,应分别读取最大孔径及其垂直方向的直径,精确至1 mm,并在报告中分别注明相应数值。

5.6 露筋

5.6.1 露筋应以外露钢筋的长度来表征,条件允许时,宜检测外露钢筋的规格。

5.6.2 露筋规格宜采用游标卡尺测量,露筋长度可用钢尺或卷尺进行测量,也可采用数字摄影成像系统进行远程测量,仪器应满足下列要求:

- 1 露筋规格用游标卡尺精度应不低于0.02 mm。

2 露筋长度用钢尺或卷尺精度应不低于1 mm。

3 当使用数字摄影成像系统时,距离定位误差应不大于5%。

5.6.3 露筋检测时应详细记录受检结构或构件露筋的规格、根数、长度、位置、锈蚀状态等信息,并应留取影像资料。

6 混凝土内部缺陷检测

6.1 一般规定

6.1.1 本章规定的检测方法可适用于混凝土内部空洞、不密实区,无砟轨道充填层离缝、软弱层,预应力管道压浆不密实等内部缺陷的检测。

6.1.2 被检测部位混凝土的表面应清洁平整,不宜有影响检测的外观缺陷。

6.1.3 非金属超声波检测仪应符合本规程附录T的规定。

6.1.4 地质雷达仪应符合本规程附录U的规定。

6.1.5 冲击回波仪应符合本规程附录V的规定。

6.1.6 铁路工程混凝土内部缺陷检测报告除应满足本规程第3.3节的要求外,还应提供关于检测部位的选择方式、位置、外观质量描述以及缺陷的性质和分布特征等信息。

6.2 混凝土内部空洞、不密实区

6.2.1 检测混凝土内部空洞、不密实区前应依据检测对象、检测条件、检测效率和检测目的综合选择合适的检测方法,并制定相应的检测方案。

6.2.2 混凝土内部缺陷检测宜采用超声波法、地质雷达法或冲击回波法。超声波法和冲击回波法适用于检测混凝土内部空洞或不密实区的位置,地质雷达法适用于大面积快速检测混凝土结构内部空洞或不密实区的位置。

6.2.3 对判定为混凝土内部存在不密实区、空洞的区域,必要时应结合钻芯(孔)法或剔凿法进行验证。

I 超声波法

6.2.4 超声波法检测混凝土内部空洞、不密实区时,被测部位应满足下列要求:

- 1 被测部位应具有可进行检测的测试面或测试孔。
 - 2 测试范围应大于有怀疑的区域,并具有同条件的正常混凝土。
 - 3 总测点数不应少于 30 个,且其中同条件的正常混凝土的对比用测点数不应少于总测点数的 60%,且不少于 20 个。
- 6.2.5** 根据被测混凝土实际情况,应选择下列方式之一布置换能器:
- 1 当混凝土具有两对相互平行的测试面时,宜采用对测法(图 6.2.5—1)。在测试部位相互平行的测试面对应位置宜分别按等间距的网格布设测点,对应测点连线垂直于测试面,测点间距不宜大于 100 mm。

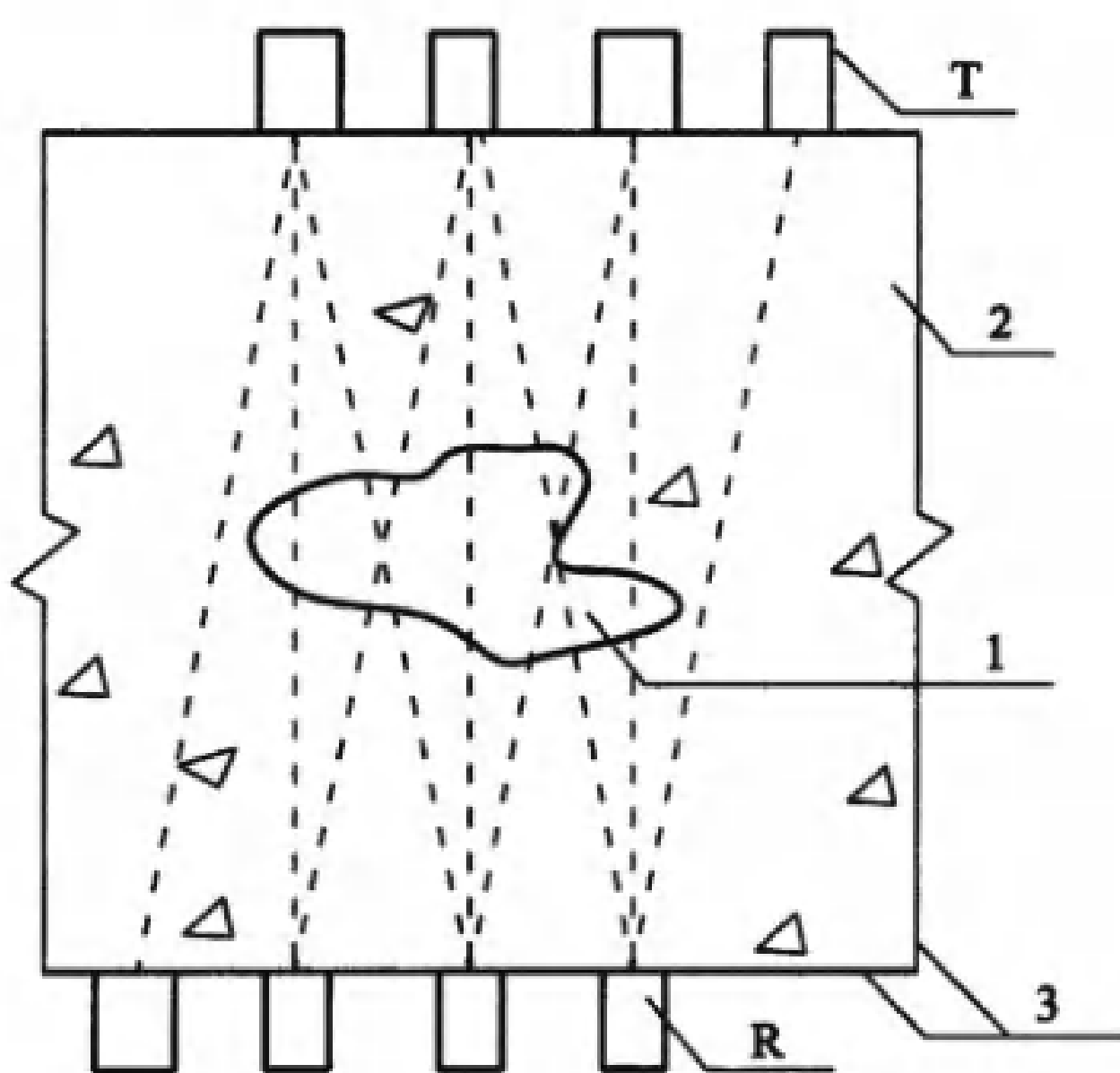


图 6.2.5—1 对测法示意图

T—发射换能器;R—接收换能器;1—空洞;2—混凝土;3—混凝土表面

2 当构件只具有一对相互平行的测试面时,在测试部位相互平行的测试面对应位置宜分别按等间距的网格布设测点,检测范围应大于有怀疑的区域,测点间距不宜大于 100 mm,在对测的基础上进行交叉斜测(图 6.2.5—2),采用斜测法时,两个换能器中点连线与换能器中心轴线夹角不宜大于 40°。

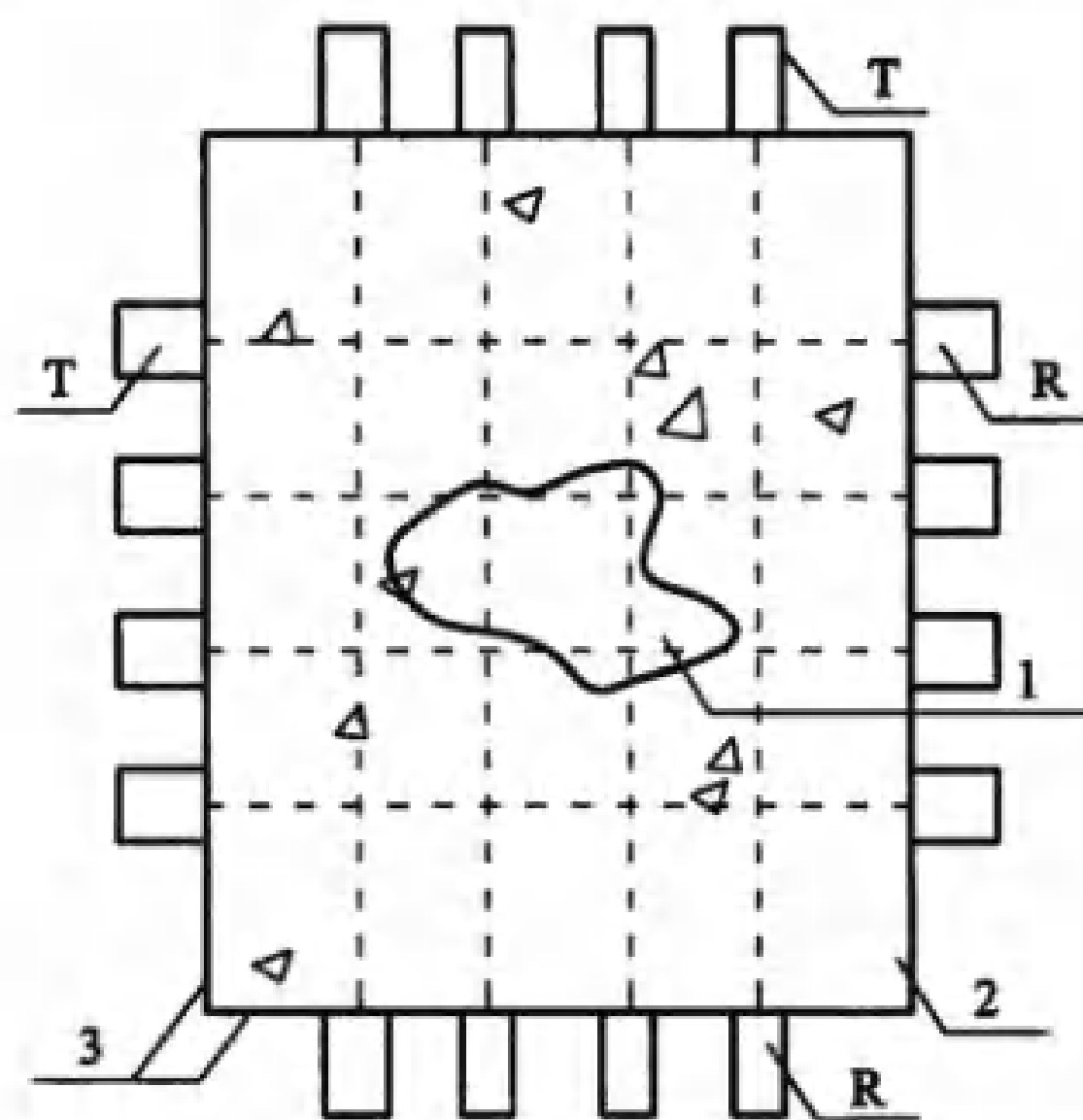


图 6.2.5—2 交叉斜测法示意图

T—发射换能器;R—接收换能器;1—空洞;2—混凝土;3—混凝土表面

6.2.6 当测距较大或不具备本规程第 6.2.5 条换能器布置条件时,可采用钻孔法检测。测孔应布置在异常点附近区域,其深度可根据测试需要确定,且不应钻穿结构或构件,并应符合下列规定:

- 1** 钻取测孔时,测孔应与混凝土表面垂直,测孔孔径应大于径向换能器直径 5 mm ~ 10 mm,并清理干净测孔内粉末碎屑等。
- 2** 检测前,应在测孔内注满清水。
- 3** 当钻取一个测孔时,可将一个径向换能器和一个平面换能器分别置于测孔中和垂直于测孔的测试面进行测试(图 6.2.6—1)。
- 4** 当钻取两个测孔时,可将两个径向换能器分别置于两测孔中进行测试,或将一个径向换能器和一个平面换能器分别置于测孔中和平行于测孔的侧面进行测试(图 6.2.6—2)。

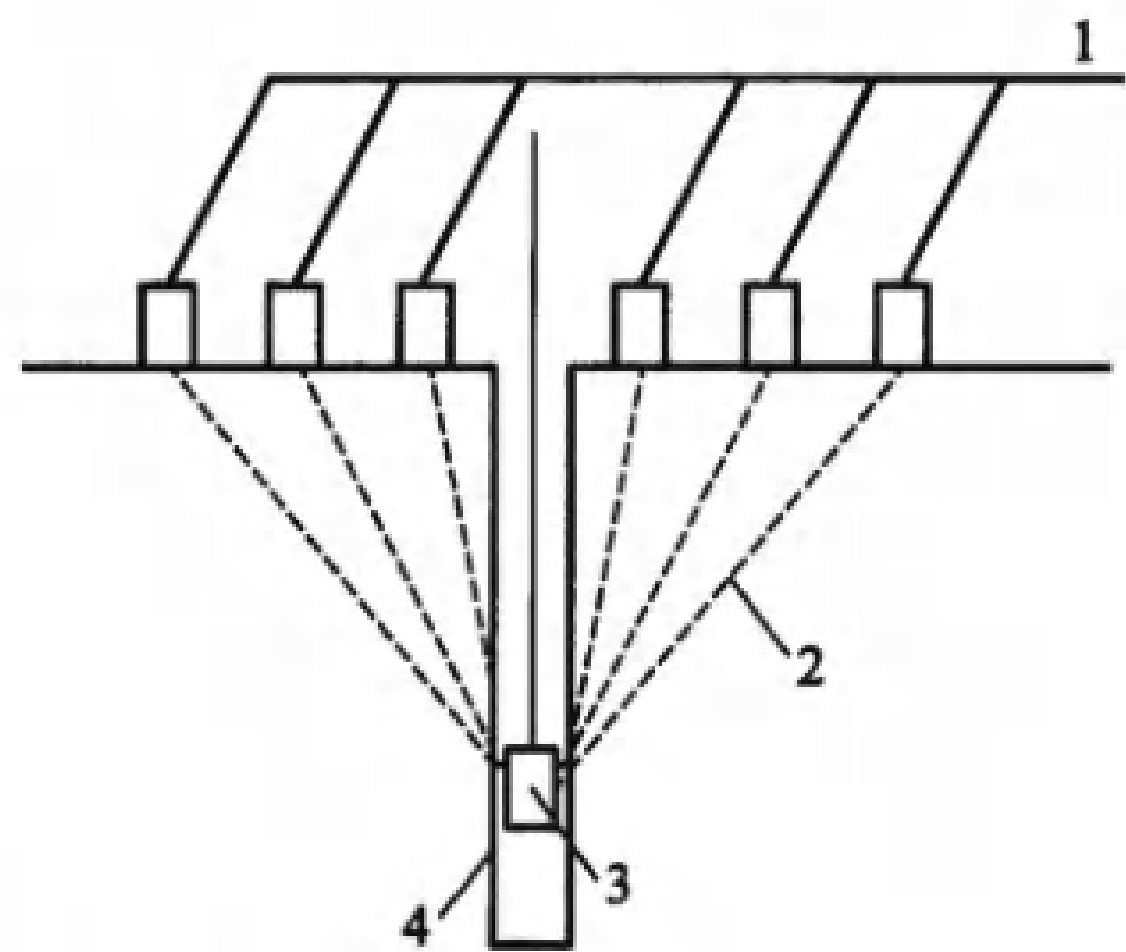


图 6.2.6—1 单测孔检测示意图

1—平面换能器;2—声波传播路径;3—径向换能器;4—测孔

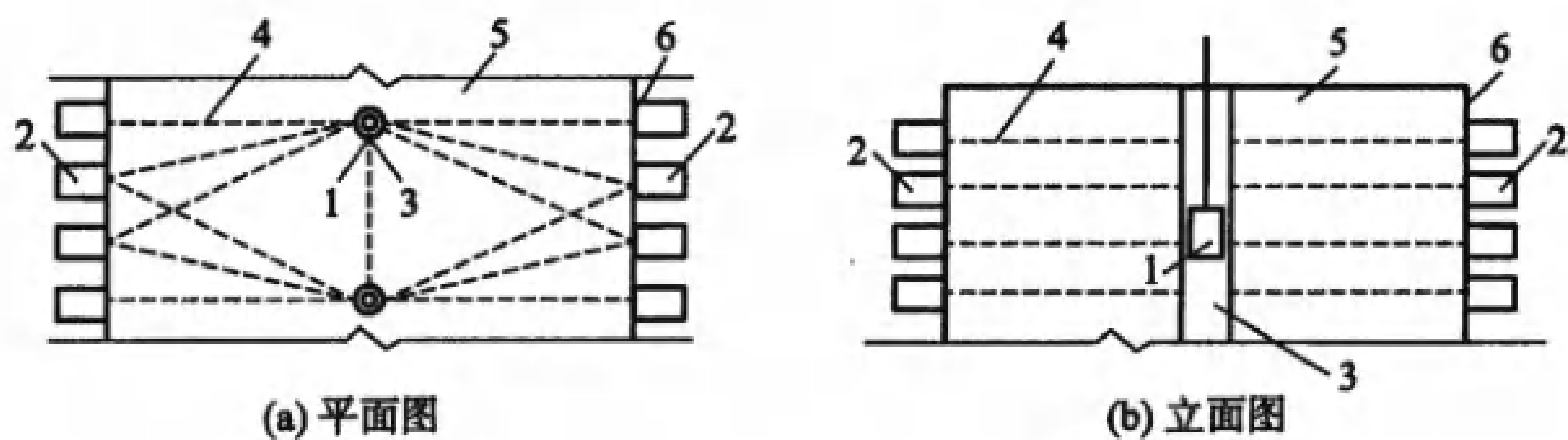


图 6.2.6—2 双测孔检测示意图

1—径向换能器;2—平面换能器;3—测孔;
4—声波传播路径;5—混凝土;6—混凝土表面

6.2.7 超声波法检测应符合下列规定:

- 1 缺陷检测部位应根据检测要求和现场操作条件确定。
- 2 在满足首波幅度测读精度的条件下,应选择较高频率的换能器。
- 3 平面换能器应通过耦合剂与混凝土测试表面保持紧密结合,耦合层内不应夹杂杂质或空气;径向换能器应通过在测试孔中注满清水进行耦合。
- 4 检测时应避免超声传播路径与内部钢筋轴线平行,当无法避免时,应使测线与该钢筋的最小距离不小于超声测距的 1/6。

5 根据测距大小和混凝土外观质量,设置仪器发射电压、采样频率等参数,检测同一部位时,仪器参数宜保持不变。

6 读取并记录声时值,必要时记录波幅和主频值,并存储波形。

7 检测中出现可疑数据时,应及时查找原因,必要时应进行复测校核或加密测点补测。

6.2.8 超声波检测时,测距的测量应符合下列规定:

1 当采用平面换能器对测时,宜用钢卷尺测量发射和接收换能器辐射面之间的距离。

2 当采用平面换能器平测时,宜用钢卷尺测量发射和接收换能器内边缘之间的距离。

3 当采用径向换能器在钻孔或预埋管中检测时,宜用钢卷尺测量放置发射和接收换能器的钻孔孔壁或预埋管外壁之间的最短距离。

4 当采用平面上的平面换能器和与平面相垂直钻孔中的径向换能器结合检测时,宜用钢卷尺测量平面换能器与放置径向换能器的钻孔孔壁之间的最短距离,同时记录径向换能器深度位置,计算平面换能器与径向换能器之间的最短距离。

5 测距应精确至 1 mm。

6.2.9 检测过程应符合下列规定:

1 检测应按测量测距、换能器经耦合剂与测点紧密接触、触发采集的步骤进行。

2 在测试过程中,当出现相邻两对测点声时值的相对误差大于 15%、首波振幅值小于 30 dB 或接收信号的波形不规则情况之一时,应在原测点进行二次检测。

3 当重复测量声时值与第一次测量值的相对误差不大于 15% 时,将三次测量值的平均值用于计算分析;若重复测量声时值与第一次测量值的相对误差大于 15% 时,将重复两次测量平均值用于计算分析。

6.2.10 声速值的计算应符合下列规定:

1 混凝土声速值可按下式计算:

$$v = \frac{l}{t - t_0} \quad (6.2.10-1)$$

式中 v —混凝土声速(km/s),精确至0.01 km/s;

l —测距(mm),精确至1 mm;

t —声时值(μs),精确至0.1 μs;

t_0 —系统延迟时间(μs),精确至0.1 μs。

2 声速值的平均值及标准差可按下列公式计算:

$$m_x = \frac{\sum_{i=1}^n v_i}{n} \quad (6.2.10-2)$$

$$S_x = \sqrt{\frac{\sum_{i=1}^n (v_i - m_x)^2}{n - 1}} \quad (6.2.10-3)$$

式中 m_x —参与统计测点的声速平均值(km/s),精确至0.01 km/s;

v_i —参与统计第*i*点的声速测量值(km/s),精确至0.01 km/s;

n —参与统计的测点数;

S_x —参与统计测点的声速值标准差(km/s),精确至0.01 km/s。

6.2.11 声速值异常点的判定应符合下列规定:

1 将各测点的声速值由大至小按顺序依次排列,即 $v_1 \geq v_2 \geq \dots v_k \dots v_{n-k} \geq \dots v_{n-1} \geq v_n$,逐一去掉排序中*k*个最小数值和*k'*个最大数值后的其余数据,可按下列公式进行计算:

$$v_{01} = m_x - \lambda_1 \cdot S_x \quad (6.2.11-1)$$

$$v_{02} = m_x + \lambda_1 \cdot S_x \quad (6.2.11-2)$$

式中 v_{01} —声速异常小值判断值(km/s),精确至0.01 km/s;

v_{02} ——声速异常大值判断值(km/s),精确至0.01 km/s;
 m_x ——参与统计测点的声速平均值(km/s),精确至0.01 km/s;
 λ_1 ——参与统计数据个数对应的系数,按照表6.2.11取值;
 S_x ——参与统计测点的声速值标准差(km/s),精确至0.01 km/s。

2 按照 $k=0,k'=0,k=1,k'=1,k=2,k'=2,\cdots$ 的顺序,将参与统计的数列最小数据 v_{n-k} 与异常小值判断值 v_{01} 进行比较,当 v_{n-k} 小于等于 v_{01} 时剔除最小数据;将最大数据 $v_{k'+1}$ 与异常大值判断值 v_{02} 进行比较,当 $v_{k'+1}$ 大于等于 v_{02} 时剔除最大数据。每剔除一个数据对剩余数据构成的数列,重复式(6.2.11—1)和式(6.2.11—2)的计算步骤,直到下列两式成立:

$$v_{n-k} > v_{01} \quad (6.2.11-3)$$

$$v_{k'+1} < v_{02} \quad (6.2.11-4)$$

3 测区内测点混凝土声速值不大于 v_{01} 时,可判定两测点之间混凝土声速值异常,存在缺陷。

4 当测区内某测点声速值被判为异常时,进一步判别其相邻测点是否异常,凡小于等于相邻点声速异常判断值都可判定为异常值。相邻点声速异常判断值按下列公式计算:

$$v_{03} = m_x - \lambda_2 S_x \quad (6.2.11-5)$$

$$v_{03} = m_x - \lambda_3 S_x \quad (6.2.11-6)$$

式中 v_{03} ——相邻点声速异常判断值(km/s),精确至0.01 km/s;

λ_2 ——当测点网格状布置时所取的系数,按照表6.2.11取值;

λ_3 ——当测点单排布置时所取的系数,按照表6.2.11取值。

5 当被测混凝土内部有怀疑的空洞、不密实区范围较大,在同一结构或构件中不能满足本规程第6.2.4条的要求时,可选择

同条件的正常结构或构件进行检测,按正常结构或构件声速值的平均值和标准差以及被测结构或构件的测点数,依据上述公式分别计算声速异常值与相邻点声速异常判断值,以此对被测结构或构件声速值进行判断,确定声速值异常点。

表 6.2.11 参与统计数据的个数 n 与系数 $\lambda_1, \lambda_2, \lambda_3$ 统计表

n	20	22	24	26	28	30	32	34	36	38
λ_1	1.65	1.69	1.73	1.77	1.80	1.83	1.86	1.89	1.92	1.94
λ_2	1.25	1.27	1.29	1.31	1.33	1.34	1.36	1.39	1.38	1.39
λ_3	1.05	1.07	1.09	1.11	1.12	1.14	1.16	1.17	1.18	1.19
n	40	42	44	46	48	50	52	54	56	58
λ_1	1.96	1.98	2.00	2.02	2.04	2.05	2.07	2.09	2.10	2.12
λ_2	1.41	1.42	1.43	1.44	1.45	1.46	1.47	1.48	1.49	1.40
λ_3	1.20	1.22	1.23	1.25	1.26	1.27	1.28	1.29	1.30	1.31
n	60	62	64	66	68	70	72	74	76	78
λ_1	2.13	2.14	2.15	1.17	1.18	2.19	2.20	2.21	2.11	2.23
λ_2	1.50	1.51	1.52	1.53	1.53	1.54	1.55	1.56	1.56	1.57
λ_3	1.31	1.32	1.33	1.34	1.35	1.36	1.36	1.37	1.38	1.39
n	80	82	84	86	88	90	92	94	96	98
λ_1	2.24	2.25	2.26	2.27	2.28	2.29	2.30	2.30	2.31	2.31
λ_2	1.58	1.58	1.59	1.60	1.61	1.61	1.62	1.62	1.63	1.63
λ_3	1.39	1.40	1.41	1.42	1.42	1.43	1.44	1.45	1.45	1.45
n	100	105	110	115	120	125	130	140	150	160
λ_1	2.32	2.35	2.36	2.38	2.40	2.41	2.43	2.45	2.48	2.50
λ_2	1.64	1.65	1.66	1.67	1.68	1.69	1.71	1.73	1.75	1.77
λ_3	1.46	1.47	1.48	1.49	1.51	1.53	1.54	1.56	1.58	1.59

6 当被测混凝土计算出的异常数据判断值与经验值相比明显偏低时,可采用声速值的经验判断值进行判断,确定声速值异常点。

7 当测点的测距和倾斜角度不一致、声速值不具有可比性时,可将有怀疑测点的声速值与同条件的正常混凝土区域测点的声速值进行比较。

6.2.12 判定混凝土空洞、不密实区的位置和范围时,应按声速值异常点的分布及波形状况确定,必要时结合其他声学参数异常点分布状况综合确定。

6.2.13 当判定缺陷是空洞时,混凝土空洞半径可按下式估算:

$$r = \frac{l}{2} \sqrt{\left(\frac{t_{\max}}{t_m}\right)^2 - 1} \quad (6.2.13)$$

式中 r —空洞半径(mm),精确至 1 mm ;

l —测距值(mm),精确至 1 mm ;

t_{\max} —缺陷区的最大声时值(μs),精确至 0.1 μs ;

t_m —无缺陷区的平均声时值(μs),精确至 0.1 μs 。

II 地质雷达法

6.2.14 地质雷达法检测混凝土内部空洞、不密实区时,检测部位应符合下列规定:

1 被检部位应具有可进行检测的测试面,在检测区域内不能有杂物妨碍正常检测。

2 检测部位应避开能使电磁波强反射或强吸收的介质,且附近不能有影响检测的设备运行。

3 测试范围应大于有怀疑的区域。

6.2.15 地质雷达法检测测线布置应符合下列规定:

1 应以纵向布线为主,横向布线为辅。

2 结合检测内容、要求及结构物大小布置测线间距,一般间距为 0.5 m ~ 5 m ,检测中发现不合格地段时应加密测线。

3 在施工薄弱环节处及有病害记录的部位宜增加测线。

6.2.16 地质雷达法检测信号采集应符合下列规定：

1 根据被检混凝土结构物厚度及环境条件,选择适宜的天线,并设置仪器采样频率、采样点数等参数。

2 距离触发或时间触发的采样间隔、重叠次数的设置应与天线移动速率匹配。

3 检测中应实时观察采集信号,若发现异常应及时查找原因,必要时应进行复测。

6.2.17 地质雷达法检测应符合下列规定：

1 测量前应检查主机、天线以及其他设备,使之均处于正常状态。

2 测量时应确保天线与检测表面密贴(空气耦合天线除外)。

3 检测天线应移动平稳、速度均匀,移动速度宜为3 km/h ~ 5 km/h。

4 记录应包括记录测线号、测线方向、标记间隔以及天线类型等。

5 当需要分段测量时,相邻测量段接头重复长度不应小于1 m。

6 随时记录可能对测量产生电磁影响的物体(如渗水、电缆、铁架等)及其位置。

7 准确标记测量位置。

8 数据记录应完整、信号清晰,里程标记准确。

6.2.18 地质雷达法检测结果计算应符合下列规定：

1 混凝土内部缺陷上沿距测试面的深度应按下式计算:

$$d = \frac{0.3t}{2\sqrt{\epsilon_r}} \quad (6.2.18)$$

式中 d ——混凝土内部缺陷上沿距测试面的深度(m),精确至0.01 m;

ϵ_r ——相对介电常数;

t ——双程走时(ns)；

0.3——电磁波的传播速度(m/ns)。

2 当信号幅度较弱或无明显界面反射信号时,判定为密实;当界面的强反射信号同相轴呈绕射弧度,且不连续、较分散时,判定为不密实;当界面反射信号强,三振相明显,在其下部仍有强反射界面信号,两组信号时程差较大时,判定为空洞。

III 冲击回波法

6.2.19 冲击回波法检测混凝土内部空洞、不密实区时,检测部位选择应符合下列规定:

1 受检测区外缘距构件的变截面或侧表面的最小距离应大于沿冲击方向的构件厚度。

2 测区范围应大于预估缺陷的区域,并应有进行对比的同条件正常混凝土部位。

6.2.20 当所测区域厚度可以测量时,可采用一个接收传感器进行表观波速测试,测试步骤应符合下列规定:

1 在平整混凝土表面进行检测,观察数据采集系统中时域图和振幅谱图的波形变动情况,当出现与厚度值 H 对应的一个有效波形的振幅谱只有单个主峰值时,读取频域曲线图中主频值 f 。

2 混凝土表观波速值可按下式计算:

$$v_p = 2Hf \quad (6.2.20)$$

式中 v_p ——混凝土表观波速(m/s);

H ——混凝土结构、构件直接测量的实际厚度(m);

f ——振幅谱中构件厚度对应的频率值(Hz)。

3 混凝土表观波速测试不宜少于3个测点,测试结果与平均值的差不超过平均值的5%,取测试值的平均值作为混凝土表观波速值。

6.2.21 当所测区域厚度不能测量时,可采用两个接收传感器进行表观波速测试,测试步骤应符合下列规定:

1 将冲击回波仪的两个接收传感器置于构件表面,两传感器中心间距不小于300 mm,在两个传感器中心连线外侧140 mm~160 mm范围内激发冲击弹性波(图6.2.21)。

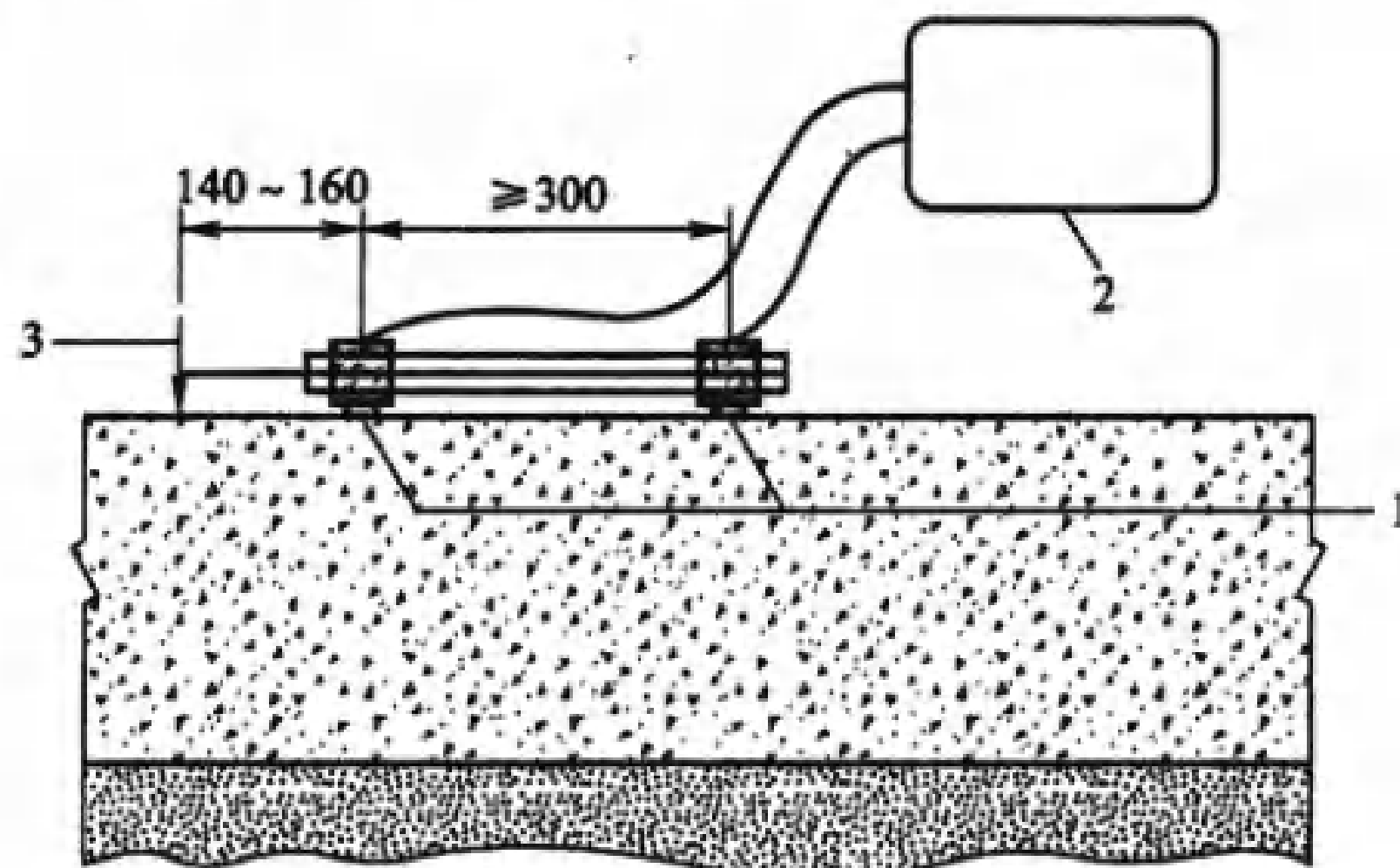


图6.2.21 冲击回波法测试结构混凝土表观波速示意图(单位:mm)

1—接收传感器;2—数据采集和分析系统;3—冲击器

- 2 当传感器获取的波形都有效时,可存储波形,进行分析。
- 3 两个传感器的时域波形在同一时间坐标中显示。
- 4 分别读取并记录第一个和第二个传感器接收信号在电压基准线数值开始变化点的时间值 t_1 和 t_2 。计算纵波在两传感器之间传播时间差 $\Delta t = t_1 - t_2$ 。
- 5 混凝土结构纵波传播的表观波速值可按下式计算:

$$v_p = k \frac{L}{\Delta t} \quad (6.2.21)$$

式中 v_p —混凝土表观波速(m/s);

L —两个接收传感器中心之间的距离(m);

Δt —两个接收传感器所接收到信号的时间差(s);

k —截面形状系数,可通过现场试验确定,也可按下列规定取值:板类(长、宽大于厚度的6倍)可取0.96,圆柱类可取0.92,方形梁可取0.87,长方形梁或柱可取0.90,空心圆筒类可取0.96。

6 通过改变采样时间间隔对同一测点重复进行两次试验,当该点两次测得传播时间明显不同时,应进行第三次测试,取与前两次值相同的值作为传播时间测试值。当三个数据都不同时应检查原因,排除故障后再进行测试。

7 混凝土表观波速测试不宜少于3个测点,测试结果与平均值的差不超过平均值的5%,取测试值的平均值作为混凝土表观波速值。

6.2.22 单点式冲击回波法检测应符合下列规定:

1 每个测区的测点应按等间距网格状布置,且不应少于20个测点。

2 应标明测点的编号和位置。

3 传感器和混凝土测试表面应处于良好的耦合状态。

4 冲击点位置与传感器的间距应小于设计厚度的0.4倍。

5 当检测面有沟槽或表面裂纹时,传感器和冲击器应位于沟槽或表面裂纹同侧。

6.2.23 扫描式冲击回波仪检测应符合下列规定:

1 测线位置和测线网格的疏密应根据预估缺陷的位置和大小确定。测线的布置不应横跨沟槽或表面裂纹。

2 扫描器应紧贴混凝土表面匀速滚动,移动速率不宜大于0.1 m/s。

3 对于隧道衬砌背后缺陷,宜沿隧道纵向与环向分别布置测线进行检测。

6.2.24 检测时,应观察时域和频域的波形变化,可选择低通或高通等滤波方式进行波形处理。当无法获得有效波形时应进行复测。

6.2.25 混凝土内部缺陷可根据实测频域曲线的主频和主频漂移情况判定。

6.2.26 当结构或构件厚度已知时,应采用已知厚度对表观波速进行标定。

6.2.27 混凝土结构或构件厚度检测应符合下列规定：

1 每测点应取3个有效波形，并应分析各有效的主频 f 。主频 f 与平均值的差不应超过 $2\Delta f$ (Δf 为频率采样间隔)，测点的振幅谱图中构件厚度对应的主频 f 应为3个有效主频的平均值。

2 结构或构件厚度应按下式计算：

$$T = \frac{v_p}{2f} \quad (6.2.27)$$

式中 T —结构、构件的厚度计算值(m)；

v_p —混凝土表观波速(m/s)；

f —振幅谱中构件厚度对应的主频(Hz)。

6.2.28 混凝土结构或构件内部缺陷判定应符合下列规定：

1 频域曲线主频 f_0 应根据对应的无缺陷构件厚度进行计算。

2 根据实测的波形频谱图，找出主频 f ，与计算主频 f_0 进行比较。对于主频 f 之外的频率应结合被检测结构或构件形状、钢筋直径、保护层厚度、管线布设、预埋件位置等情况进行综合分析判断，确定内部缺陷位置。

6.2.29 当冲击回波仪具备厚度-距离图分析功能时，可根据下列情况进行缺陷分析：

1 当振幅谱图中只有单峰形态且主频 f 与计算主频 f_0 差值不超过 $2\Delta f$ ，厚度-距离图显示构件厚度值随测试的距离无明显变化时，可判定混凝土密实。

2 当振幅谱图中主频 f 与计算主频 f_0 相差较大，振幅谱中频率峰呈多峰形态，且向低频漂移时，可判定混凝土内部有缺陷。

3 实测波形信号复杂、振幅衰减缓慢、无法准确分析与评价时，宜结合其他检测方法进行综合测试。对于判别困难的区域可采取钻芯或剔凿法进行核实。

4 内部缺陷位置估算值可按式(6.2.27)计算确定，其中主频 f 值应取振幅谱缺陷波峰对应的频率值。

6.3 无砟轨道充填层离缝、软弱层

6.3.1 无砟轨道充填层离缝、软弱层检测应包括水泥乳化沥青砂浆充填层、自密实混凝土充填层质量检测。

6.3.2 无砟轨道充填层质量检测应采用超声波反射法或冲击回波法。

6.3.3 重点地段或病害多发地段应采用两种检测方法进行比对验证。

I 超声波反射法

6.3.4 超声波反射法主要检测设备包括超声波发射换能器、超声波接收传感器和检测主机等,设备技术指标应符合下列规定:

- 1 超声波换能器频率范围 20 kHz ~ 100 kHz。
- 2 检测主机 A/D 采集精度不低于 16 位。
- 3 主机最高采样频率大于 5 MHz。
- 4 主机连续检测能力不少于 6 h。
- 5 超声波传感器探头应具备较高的硬度和良好的耐磨性能,洛氏硬度 HRA 不低于 85。
- 6 检测仪器应具备定位功能。

6.3.5 测试剖面的布置宜以每块轨道板为一个单位,沿轨道纵向方向每隔 200 mm ~ 600 mm 布置一个,每个测试剖面至少布置 6 个测点。

6.3.6 超声波反射法检测应符合下列规定:

- 1 记录检测轨道板板号和测点位置。
- 2 检测区的混凝土表面应平整、清洁;换能器、传感器应与混凝土表面保持紧密贴合。
- 3 检测时应保证检测信号的稳定性和一致性。

6.3.7 数据采集和处理应符合下列规定:

- 1 数据采集应能显示每次测试的波形图和检测参数。

2 数据采集可对检测信息(单位、人员、时间、线路名、上下行、里程等)进行记录、回放、转存。

3 根据发射超声波能量和接收超声波能量的比值计算出每一个测点的波阻抗反射系数来评价无砟轨道充填层的缺陷程度。

4 数据处理结果应反映每块轨道板的充填层状态示意图和粘结状态百分比。

6.3.8 波阻抗反射系数应按下式计算:

$$R = \frac{Z_2 - Z_1}{Z_1 + Z_2} \quad (6.3.8)$$

式中 R —波阻抗的反射系数;

Z_1 —轨道板混凝土波阻抗($N \cdot s/m$);

Z_2 —充填层波阻抗($N \cdot s/m$)。

6.3.9 超声波反射法检测结果分析与判定应符合下列规定:

1 在测试信号中仅可见直达波和一次反射波,而后信号呈指数衰减,没有明显的多次反射现象,没有形成共振。波阻抗反射系数小于0.3,或在其频率域特征反映为信号主频明显,其共振频率较为微弱,约为主频幅值的0.5倍以下,可判定充填层粘结良好。

2 时间域测试信号第一次反射波较完整时振幅更大,并可发现明显的多次反射波,衰减较快。波阻抗反射系数大于等于0.3且小于等于0.6,或在频率域中共振频率增大,其共振频率的振幅值为粘结良好时的0.6倍~2.5倍,可判定充填层粘结较差或存在软弱层。

3 当可以明显观察到从充填层反射的反射波,波阻抗反射系数大于0.6,或在频率域中共振频率幅值也较大,为粘结良好时的2.6倍以上,可判定充填层离缝。

II 冲击回波法

6.3.10 冲击回波法检测前,应进行预测试并符合下列规定:

1 在均匀、密实、无缺陷的无砟轨道上进行预测试。

2 先进行无砟轨道无缺陷部位的纵波波速测试,其波速值作为缺陷深度计算的基本参数。

3 冲击操作时,有足够的能力产生表面位移响应,其冲击持续时间宜为 $30 \mu\text{s} \pm 10 \mu\text{s}$ 。

6.3.11 冲击回波法检测时,应根据无砟轨道结构,布置纵横向测线,其中每块轨道板的纵向测线不少于 6 条,横向测线应间隔 $300 \text{ mm} \sim 600 \text{ mm}$ 。

6.3.12 冲击回波法检测应符合下列规定:

1 冲击点位置与传感器的距离应小于预估缺陷深度的 0.4 倍。

2 敲击到轨道板面浮浆、石子等异常位置或测试波形异常时应清理表面或查明原因后重新敲击。

3 测点宜按纵向测线布置,逐点从小里程方向往大里程方向敲击测试。

4 存在缺陷的充填层部位可加密测点。

6.3.13 数据采集和处理应符合下列规定:

1 接收的波形应全面完整,波幅大小适宜,不应有削波现象。

2 应记录测试系统所采用的采集参数,包括采样间隔、采样点数以及在振幅谱中的频率间隔。

3 数据处理时应对目标深度进行频谱峰值分析,给出目标深度频率振幅值的统计值及其分布。

4 根据在充填层界面上的反射信号与入射信号的比率,通过与正常部位同样测试值的比较,来判断充填层是否存在离缝、软弱层。

5 应根据测试结果所确定的缺陷位置绘制整块轨道板充填层的缺陷平面图。

6.4 预应力管道压浆密实性

6.4.1 预应力管道压浆密实性检测包括定位检测和定性检测,应

符合下列规定：

1 定位检测可选用冲击回波法,定量判定预应力孔道各位置处压浆密实性。

2 定性检测可选用冲击弹性波法,定性判定预应力孔道整体压浆密实性。

6.4.2 预应力管道压浆不密实检测方法应根据检测目的、检测条件等合理选用。在定位检测适用的条件下,应采用定位检测方法,当需要定性排查压浆事故或者无法进行定位检测时,可采用定性检测。

6.4.3 预应力管道压浆密实性检测应在压浆 7 d 后或材料强度达到设计抗压强度的 80% 后进行。

6.4.4 预应力管道压浆密实性检测抽样应具有代表性,定位检测可优先选择孔道高程相对较高的位置。

I 冲击回波法定位检测

6.4.5 定位检测宜采用冲击回波法,并应满足下列要求:

- 1 在冲击回波传播方向只有一条预应力孔道。
- 2 当有多条孔道时,应结合其他方法、测点、测面综合判定存在缺陷的孔道及缺陷位置。

3 依据设计、施工资料或采用孔道定位设备,描绘出被测预应力孔道走向,并标识出孔道中心线。

4 测试表面规则平整或可打磨成规则平整构件内的预应力孔道。

5 预应力孔道到构件表面厚度不超过 800 mm。

6.4.6 冲击回波法现场检测应符合下列规定:

1 定位检测前,应选择待测构件正常混凝土区域无预应力孔道位置处及预应力孔道未注浆位置处进行标定。

2 冲击回波法定位检测时,应沿预应力孔道走向逐点检测,测点间距不宜大于 300 mm,测试按某一方向逐点进行。

3 冲击点位置与传感器的间距不应大于被测构件厚度的1/4。

4 检测时应采用瞬态激振的方式进行激振,根据被测构件厚度选择适宜的激振锤进行敲击。

5 每次保存数据前,应对测试信号进行判断,当自动采集波形起振明显、无毛刺时,方可保存。

6 存在缺陷的混凝土部位应加密测点,其间距不宜大于原测点间距的1/2。

6.4.7 冲击回波定位检测结果采用冲击回波实际传播时间 t 与正常混凝土区域无预应力孔道位置处及预应力孔道未注浆位置处冲击回波的标定传播时间 t_s 、 t_w 间的相对关系进行判定,判定结果应符合下列规定:

1 若 $t < t_s$,则测试结果存在较大偏差,应重新检测分析,并对 t_s 进行复核。

2 若 $t_s \leq t < \frac{t_w + 3t_s}{4}$,则预应力孔道测点处压浆密实或基本密实。

3 若 $\frac{t_w + 3t_s}{4} \leq t < \frac{t_w + t_s}{2}$,则预应力孔道测点处压浆存在缺陷。

4 若 $t \geq \frac{t_w + t_s}{2}$,则预应力孔道测点处压浆存在严重缺陷。

6.4.8 冲击回波法定位检测应根据各点位判定结果,统计出各测区压浆缺陷长度和累计压浆缺陷长度。

II 冲击弹性波法定性检测

6.4.9 冲击弹性波法定性检测可用于对预应力孔道整体注浆密实性的定性判定,适用于孔道两端裸露出预应力锚具和钢束端部的预应力孔道,不可用于检测小范围缺陷和确定缺陷位置,预应力束长度一般不宜大于50 m,特殊情况下不应大于120 m。

6.4.10 冲击弹性波法现场定性检测应符合下列规定：

- 1 根据现场实际情况选择合适的放大器、传感器及激振器，连接检测设备并进行设备自检，确认整个检测系统处于正常工作状态。
- 2 定性检测应在预应力孔道两端选取同一根钢绞线分别激振检测。
- 3 定性检测应记录预应力孔道编号、孔道长度、梁体长度、激振端等，做好现场检测记录。
- 4 外露钢束长度宜为 30 mm ~ 50 mm，测试传感器宜采用强磁或机械方式固定，并保持钢束、传感器的轴线方向与激振方向一致。
- 5 有效采集信号信噪比应大于 20 dB，否则应分析原因，排除人为和检测仪器等干扰因素，重新进行检测。
- 6 检测时应保存起振明显的激振波形，每端保存有效波形不应少于 3 个，且一致性较好。
- 7 条件允许时应对同场同类型混凝土构件和钢绞线波速进行标定，并对预应力孔道压浆前后振幅特征和频率特征进行标定。现场无法标定时，可参考表 6.4.10 取基准值。

表 6.4.10 压浆指数的基准值

压浆指数	方法	项目	全压浆时值	无压浆时值
波速压浆指数 I_{PV}	全长波速法	波速(km/s)	混凝土标定波速	5.01
振幅压浆指数 I_{EA}	全长衰减法	能量比	0.02	0.20
频率压浆指数 I_{TF}	传递函数法	受信频率 F_r 与激振频率 F_s 的频率比(F_r/F_s)	1.00	3.00
		受信频率 F_r (kHz)	2.0	6.0

6.4.11 检测数据分析及评价指数确定应符合下列规定：

1 冲击弹性波定性检测采用综合压浆指数 I_f 作为定性检测的评定指标,当压浆饱满时 $I_f = 1$,完全未灌时 $I_f = 0$ 。

2 采用表 6.4.10 的基准值或标定的基准值进行线性插值,按下列公式分别量化波速分项压浆指数 I_{PV} 、振幅分项压浆指数 I_{EA} 、频率分项压浆指数 I_{TF} :

$$I_{PV} = 1 - \frac{V - V_0}{V_1 - V_0} \quad (6.4.11-1)$$

$$I_{EA} = 1 - \frac{\gamma_a - \gamma_{a0}}{\gamma_{a1} - \gamma_{a0}} \quad (6.4.11-2)$$

$$I_{TF} = 1 - \frac{F_r - F_{r0}}{F_{rl} - F_{r0}} \quad (6.4.11-3)$$

式中 I_{PV} ——波速分项压浆指数;

V ——测试波速(km/s),一般 $V_0 \leq V \leq V_1$,若 $V < V_0$ 时 I_{PV} 取 1,若 $V > V_1$ 时 I_{PV} 取 0;

V_0 ——混凝土标定波速(km/s);

V_1 ——钢绞线标定波速(km/s),无标定时取 5.01 km/s;

I_{EA} ——振幅分项压浆指数;

γ_a ——测试振幅比,一般 $\gamma_{a0} \leq \gamma_a \leq \gamma_{a1}$,若 $\gamma_a < \gamma_{a0}$ 时 I_{EA} 取 1,若 $\gamma_a > \gamma_{a1}$ 时 I_{EA} 取 0;

γ_{a0} ——压浆饱满时标定振幅比,无标定时取 0.02;

γ_{a1} ——无压浆时标定振幅比,无标定时取 0.2;

I_{TF} ——频率分项压浆指数;

F_r ——测试受信频率(kHz),一般 $F_{r0} \leq F_r \leq F_{rl}$,若 $F_r < F_{r0}$ 时 I_{TF} 取 1,若 $F_r > F_{rl}$ 时 I_{TF} 取 0;

F_{r0} ——压浆饱满时标定受信频率(kHz),无标定时取 2;

F_{rl} ——无压浆时标定受信频率(kHz),无标定时取 6。

3 测试预应力孔道大于 50 m,宜采用波速分项压浆指数 I_{PV} 作为压浆评价指数,且应按下式计算:

$$I_f = I_{PV} \quad (6.4.11-4)$$

4 测试预应力孔道不大于 50 m, 测试条件不利于激振, 或测试频率异常时, 宜采用 I_{EA} 、 I_{PV} 两个分项计算综合压浆指数, 且应按下式计算:

$$I_f = (I_{EA} \cdot I_{PV})^{1/2} \quad (6.4.11-5)$$

5 测试预应力孔道不大于 50 m, 测试条件和测试频率正常, 应采用 I_{EA} 、 I_{PV} 、 I_{TF} 三个分项计算综合压浆指数, 且应按下式计算:

$$I_f = (I_{EA} \cdot I_{PV} \cdot I_{TF})^{1/3} \quad (6.4.11-6)$$

6.4.12 冲击弹性波法定性检测结果采用综合压浆指数 I_f 进行判定, 应符合下列规定:

- 1** 若综合压浆指数 $I_f \geq 0.95$ 时, 则预应力孔道压浆密实。
- 2** 若综合压浆指数 $0.80 \leq I_f < 0.95$ 时, 则预应力孔道压浆基本密实或存在缺陷的可能性较小。
- 3** 若综合压浆指数 $I_f < 0.80$ 时, 则预应力孔道压浆存在压浆缺陷或存在缺陷的可能性较大。

7 混凝土耐久性能检测

7.1 一般规定

- 7.1.1 本章规定的检测方法可适用于碳化深度、气泡间距系数、抗氯离子渗透性能、表面电阻率等混凝土耐久性能的检测。
- 7.1.2 混凝土气泡间距系数应采用钻取芯样法进行检测。碳化深度、表面电阻率等性能可在结构实体表面进行检测。
- 7.1.3 混凝土耐久性能现场钻取芯样检测时,芯样直径不应小于70 mm。
- 7.1.4 检测位置应在受检区域内随机选取,检测点应布置在有代表性的区域。

7.2 碳化深度

- 7.2.1 混凝土碳化深度检测宜采用酚酞酒精测试法。
- 7.2.2 当测量碳化深度时,在混凝土结构的表面上选取至少3个测区,在每个测区中选取至少3个测点。测区应有代表性,应避开混凝土表面上的裂缝和空洞,并应清洁、平整,不应有疏松层、浮浆、油垢、涂层以及蜂窝、麻面。
- 7.2.3 碳化深度检测所使用的仪器和试剂应符合下列规定:
 - 1 碳化深度测量工具可选碳化深度测量专用卡尺,精度为0.25 mm。
 - 2 指示剂溶液宜选浓度为1%~2%的酚酞酒精溶液,酒精溶液含20%的蒸馏水。
- 7.2.4 碳化深度检测应按下列步骤进行:
 - 1 采用适当的工具在测点表面形成直径约15 mm的具有新

生表面的测坑或测孔,其深度应大于混凝土的碳化深度。

2 立即清除测坑或测孔中的粉末和碎屑,不得使用打磨工具清理,不得用水擦洗,未碳化的混凝土粉末和碎屑不应污染已碳化的混凝土表面。

3 在测坑或测孔的新生表面上喷洒足够的酚酞酒精溶液,保证表面充分润湿且溶液不会流出。当已碳化区与未碳化区的界线清晰时,立即用深度测量工具测量已碳化与未碳化混凝土交界面到混凝土表面的垂直距离,测量时应避开混凝土中粗骨料,选取碳化深度最大的位置量测一次,在距离该测点 5 mm 的两侧各测量一次,每次读数精确至 0.25 mm。

7.2.5 测点的碳化深度值应为每个测坑或测孔的三个数据的平均值,并精确至 0.5 mm。

7.2.6 测区的碳化深度值应为每个测区的至少三个测点的平均值,并精确至 0.5 mm。

7.3 气泡间距系数

7.3.1 混凝土气泡间距系数测试宜采用直线导线法。

7.3.2 混凝土气泡间距系数测试所用设备及技术指标应符合下列规定:

1 测量显微镜应具有目镜测微尺和物镜测微尺,放大倍数为 80 倍 ~ 128 倍。目镜测微尺最小读数为 10 μm。载物台能纵向和横向移动,移动范围分别不宜小于 50 mm 和 100 mm。

2 显微镜照明灯应为聚光型灯。

3 制样可采用切片机、磨片机、抛光机、烘箱等设备。

7.3.3 气泡间距系数测试应每组至少三个试件,每组试件的观测总面积和导线总长度应符合表 7.3.3 的规定。

7.3.4 气泡间距系数测试试件加工应按下列步骤进行:

1 从待测混凝土结构上钻取直径不小于 70 mm 的芯样,洗刷干净。

表 7.3.3 观测总面积和导线总长度要求

骨料最大粒径 (mm)	最小观测总面积 (mm ²)	最小导线总长度 (mm)
80	50 000	3 000
40	17 000	2 600
30	11 000	2 500
20	7 000	2 300
10	6 000	1 900

注:1 如混凝土内骨料或大气泡分布很不均匀,应适当增大观测面积。

2 当在一个混凝土试样中取几个加工表面时,两加工表面的间距应大于骨料最大粒径的 1/2。

2 分别采用 400 号和 800 号金刚砂将试样观测面仔细研磨,每次磨完后应洗刷干净,再进行下次研磨。

3 在抛光机转盘的呢料上涂刷氧化铬进行抛光,并再次洗刷干净后,在 105 °C ± 5 °C 的烘箱中烘干,然后置于显微镜下试测。

4 当强光低入射角照射在观测面上时,若观测到表面上除了气泡截面和骨料孔隙外,视域基本平整,气泡边缘清晰,并能测出尺寸为 10 μm 的气泡截面,即可认为该观测截面加工合格。

7.3.5 气泡间距系数测试应符合下列规定:

1 正式测试前,应采用物镜测微尺校准目镜测微尺刻度,并在测试面两端附贴导线间距标志,使选定的导线长度均匀地分布在观测面范围内。

2 测试时,应调整测试面的位置,使十字丝的横线与导线重合,然后用目镜测微尺进行定量测量。从第一条导线起点开始观测,分别测量并记录视域中气泡个数及测微尺所截取的每个气泡的弦长刻度值。

3 根据需要,可增加测试气泡截面直径。第一条导线测试完后再按顺序对其余导线进行观测,直至测完规定的导线长度。

7.3.6 气泡间距系数测试结果计算应根据直线导线法观测的数

据进行处理，并应按式(7.3.6—1)~式(7.3.6—8)计算各参数，计算结果取三位有效数字，并应符合下列规定：

1 气泡平均弦长应按下式计算：

$$\bar{l} = \frac{\sum l}{N} \quad (7.3.6-1)$$

式中 \bar{l} —气泡平均弦长(cm)；

$\sum l$ —全导线所切割气泡弦长总和(cm)；

N —全导线所切割的气泡总个数。

2 气泡比表面积应按下式计算：

$$\bar{\alpha} = \frac{4}{\bar{l}} \quad (7.3.6-2)$$

式中 α —气泡比表面积(cm^2/cm^3)。

3 气泡平均半径应按下式计算：

$$r = \frac{3}{4}\bar{l} \quad (7.3.6-3)$$

式中 r —气泡平均半径(cm)。

4 硬化混凝土中的空气含量应按下式计算：

$$A = \frac{\sum l}{T} \quad (7.3.6-4)$$

式中 A —硬化混凝土中的空气含量(%)，按体积比计算，用百分数表示；

T —全导线总长(cm)。

5 每立方厘米混凝土中气泡个数应按下式计算：

$$n_v = \frac{3A}{4\pi r^3} \quad (7.3.6-5)$$

式中 n_v —平均 1 cm^3 混凝土中的气泡个数。

6 每厘米导线切割的气泡个数应按下式计算：

$$n_1 = \frac{N}{T} \quad (7.3.6-6)$$

式中 n_1 ——平均每厘米导线切割的气泡个数。

7 气泡间距系数应按下列公式计算：

1) 当混凝土中浆气比 P/A 大于 4.33 时：

$$\bar{L} = \frac{3A}{4n_1} \left[1.4 \left(\frac{P}{A} + 1 \right)^{\frac{1}{3}} - 1 \right] \quad (7.3.6-7)$$

式中 \bar{L} ——气泡间距系数(cm)；

P ——混凝土中胶凝材料浆体含量,按体积比计算,不包含空气含量,用百分数表示(%)。

2) 当混凝土中浆气比 P/A 小于或等于 4.33 时：

$$\bar{L} = \frac{P}{4n_1} \quad (7.3.6-8)$$

7.4 抗氯离子渗透性能

7.4.1 混凝土抗氯离子渗透性能可采用快速氯离子迁移系数法和电通量法检测。

7.4.2 采用快速氯离子迁移系数法时,取样与测试应符合下列规定:

1 在受检区域随机布置测区,每个测区取样不应少于 1 组;每组应由不少于 3 个直径 100 mm 且长度不小于 120 mm 的芯样组成。

2 测试前,每组应选取 3 个无明显缺陷的芯样,从中间切成两半,加工成 2 个高度为 $50 \text{ mm} \pm 2 \text{ mm}$ 的试件,根据芯样在结构或构件中的位置,分别标记为内部试件和外部试件;将 3 个内部试件作为一组,对应的 3 个外部试件作为另一组。

3 测试应按现行《普通混凝土长期性能和耐久性能试验方法标准》GB/T 50082 的有关规定进行,试验面为中间切割面。

4 测试结果应按规定进行数据取舍,并分别确定两组试件的氯离子迁移系数测定值。

5 当两组氯离子迁移系数测定值相差不超过较大值的 15%

时,应以两组平均值作为结构混凝土在检测龄期氯离子迁移系数推定值。

6 当两组氯离子迁移系数测定值相差超过较大值的 15% 时,应分别给出两组氯离子迁移系数测定值,作为混凝土内部和外部在检测龄期氯离子迁移系数推定值。

7.4.3 采用电通量法时,取样与测试应符合下列规定:

1 在受检区域随机布置测区,每个测区取样不应少于 1 组;每组应由不少于 3 个直径 100 mm 且长度不小于 120 mm 的芯样组成。

2 测试前,每组应选取 3 个无明显缺陷且无钢筋、无钢纤维的芯样,从中间切成两半,加工成 2 个高度为 $50 \text{ mm} \pm 2 \text{ mm}$ 的试件,根据芯样在结构或构件中的位置,分别标记为内部试件和外部试件;将 3 个内部试件作为一组,对应的 3 个外部试件作为另一组。

3 测试应按现行《普通混凝土长期性能和耐久性能试验方法标准》GB/T 50082 的有关规定进行,试验面为中间切割面。

4 测试结果应按规定进行数据取舍,并分别确定两组试件的电通量测定值。

5 当两组电通量测定值之差不超过较大值的 15% 时,应以两组平均值作为混凝土在检测龄期电通量推定值。

6 当两组电通量测定值之差超过较大值的 15% 时,应分别给出两组电通量测定值,作为混凝土内部和外部在检测龄期电通量推定值。

7.4.4 当不具备钻芯取样条件时,可采用表面电迁移等无损方法进行混凝土氯离子扩散系数测试,试验仪器设备测试原理应明确,测试结果应稳定可靠,并应符合相关规定。

7.5 表面电阻率

7.5.1 表面电阻率法适用于通过直接或者间接检测混凝土的电

导率来评价混凝土的渗透能力,不适用于钢纤维混凝土及聚合物水泥混凝土。

7.5.2 混凝土表面电阻率测试时,被测构件或部位的测区数量不宜少于30个,测区大小宜为200 mm×200 mm ~ 600 mm×600 mm。

7.5.3 混凝土电阻率宜采用四电极法进行检测,检测所用表面电阻率测试仪的探头应包含四个电极,总长150 mm,每个电极之间距离可调,间距可为50 mm。

7.5.4 表面电阻率检测应符合下列规定:

1 测试前,应清洁混凝土表面,混凝土表面不应有隔离层,测区混凝土内部的钢筋网格应利用钢筋探测仪标记出来。

2 测试前,应先将表面电阻率测试仪电极浸入水中多次,以保证测试仪与混凝土表面之间良好连接。

3 测试时,钢筋不应位于探头正下方且不应与探头保持平行;最佳方向是与钢筋成对角线进行测量;如钢筋间距过小无法避开,可与钢筋成直角进行测量。

4 测试时,应将电阻率测试仪探头放置于待测混凝土表面,向下按压测试仪,确保测试仪的四个探头与混凝土表面接触良好,表面电阻率测试仪读数稳定后,记录测量值。

7.5.5 混凝土表面电阻率检测结果应按下式计算:

$$\rho = 2\pi a \frac{U}{I} \quad (7.5.5)$$

式中 ρ ——混凝土电阻率($k\Omega \cdot \text{cm}$);

a ——相邻探头间距(cm);

U ——两个内侧探头之间的电压(V);

I ——两个外侧探头之间的电流(A)。

7.5.6 混凝土表面电阻率测试结果应取所有测区的表面电阻率最小值。

8 混凝土中有害成分检测

8.1 一般规定

8.1.1 本章规定的检测方法可适用于氯离子含量、碱含量、膨胀性骨料中氧化镁含量、碱活性骨料等混凝土中有害成分的检测。

8.1.2 用化学分析方法检测混凝土中有害成分含量时,未加特殊说明所用水应为去离子水。

8.1.3 对受检区域混凝土中有害物质含量进行总体评价时,取样位置应在受检区域混凝土中随机确定,应避开主筋、预埋件和管线,尽量避开其他钢筋,钻孔中心距结构或构件边缘不宜小于150 mm。每个区域混凝土钻取芯样不应少于3个,芯样直径不应小于70 mm,芯样长度不应小于100 mm。

8.1.4 当需要确定受检区域不同深度混凝土中有害物质含量时,可将钻取的芯样从外到里分层切割,同一受检区域中的所有芯样分层切割规则应保持一致。

8.2 混凝土中氯离子含量

8.2.1 混凝土中氯离子含量的测定宜采用硝酸银电位滴定法。

8.2.2 混凝土中氯离子含量检测样品制备应符合下列规定:

1 按本规程第8.1.3条的规定从受检区域混凝土中钻取芯样,应剔除粗骨料,破碎磨细成粉末备用。

2 将粉末缩分至30 g,应研磨至全部通过0.08 mm的筛。

3 研磨后的粉末应采用磁铁吸出其中的金属铁屑。

4 粉末应置于烘箱中105 ℃~110 ℃烘至恒重,取出后放入干燥器中冷却至室温。

8.2.3 混凝土中氯离子含量测定应具备精度不低于2 mV的电位计,银电极,双盐桥饱和甘汞电极,磁力搅拌器,电振荡器,精度不小于0.1 mL的25 mL滴定管,10 mL移液管,感量为0.000 1 g的天平及箱式电阻炉等仪器设备。

8.2.4 0.01 mol/L 硝酸银标准溶液的配制应称取1.7 g 硝酸银(精确至0.000 1 g),用水溶解后稀释至1 L,混匀后贮于棕色瓶中。

8.2.5 硝酸银标准溶液标定方法应按下列步骤进行:

1 称取于500 ℃~600 ℃烧至恒重的氯化钠基准试剂0.6 g(精确至0.000 1 g),置于烧杯中,用水溶解,移入1 000 mL容量瓶中,稀释至刻度并摇匀。

2 分别吸取25.0 mL氯化钠溶液和25.0 mL水置于100 mL烧杯中,加10 mL淀粉溶液(10 g/L),以银电极作指示电极,双盐桥饱和甘汞电极作参比电极,用配制好的硝酸银溶液滴定,按《化学试剂 电位滴定法通则》GB/T 9725—2007 中第6.2.2条进行,以二次微商法确定硝酸银溶液所用体积。同时进行空白试验。

3 硝酸银溶液的浓度应按下式计算:

$$C_{\text{AgNO}_3} = \frac{m_{\text{NaCl}} \times 25.00 / 1\ 000.00}{(V_1 - V_2) \times 0.058\ 44} \quad (8.2.5)$$

式中 C_{AgNO_3} ——硝酸银标准溶液的摩尔浓度(mol/L),计算结果保留两位小数;

m_{NaCl} ——氯化钠的质量(g);

V_1 ——硝酸银标准溶液的用量(mL);

V_2 ——空白试验硝酸银标准溶液的用量(mL);

0.058 44 ——氯化钠的毫摩尔质量(g/mmol)。

8.2.6 混凝土中氯离子含量测定应具备硝酸溶液(1+3)、酚酞指示剂(10 g/L)、淀粉溶液(10 g/L)以及硝酸银标准溶液(0.01 mol/L)等试剂及材料。

8.2.7 混凝土中氯离子含量的测定宜同时采用水溶法和酸溶法

提取混凝土中的氯离子。

8.2.8 水溶法提取混凝土中的氯离子时,应首先称取 5 g 粉末样品(精确至 0.000 1 g),置于具塞磨口锥形瓶中,加入 250.0 mL 水,密塞后剧烈振摇 3 min ~ 4 min,置于电振荡器上振荡 6 h 或静止放置 24 h,并采用快速定量滤纸过滤。

8.2.9 酸溶法提取混凝土中的氯离子时,应首先称取 5 g 粉末样品(精确至 0.000 1 g),置于具塞磨口锥形瓶中,加入 50 mL 硝酸溶液(1+3),密塞后剧烈振摇 3 min ~ 4 min,置于电振荡器上振荡 6 h 或静止放置 24 h,采用快速定量滤纸过滤,并应准确移取滤液 20.0 mL 于 300 mL 烧杯中,加 200.0 mL 水。

8.2.10 混凝土中氯离子含量检测应符合下列规定:

1 吸取 50.0 mL 滤液于烧杯中,滴加酚酞指示剂 2 滴,以硝酸溶液(1+3)滴至红色刚好褪去,再加 10 mL 淀粉溶液(10 g/L),以银电极作指示电极,双盐桥饱和甘汞电极作参比电极,用标准硝酸银溶液滴定,应按《化学试剂 电位滴定法通则》GB/T 9725—2007 中第 6.2.2 条进行,以二次微商法确定硝酸银溶液所用体积。同时进行空白试验。

2 氯离子含量应按下式计算:

$$w_{\text{Cl}^-} = \frac{C_{\text{AgNO}_3} (V_1 - V_2) \times 0.035\ 45}{m_s \times 50.0 / 250.0} \times 100\% \quad (8.2.10)$$

式中 w_{Cl^-} ——砂浆中氯离子的质量分数,计算结果保留两位小数;

C_{AgNO_3} ——硝酸银标准溶液的摩尔浓度(mol/L);

V_1 ——硝酸银标准溶液的用量(mL);

V_2 ——空白试验硝酸银标准溶液的用量(mL);

0.035 45 ——氯离子的毫摩尔质量(g/mmol);

m_s ——砂浆粉末的质量(g)。

3 每个芯样混凝土的氯离子含量应为两次试验测定值的算术平均值。

8.3 混凝土中碱含量

8.3.1 混凝土中碱含量应以混凝土中等效氧化钠($\text{Na}_2\text{O} + 0.658\text{K}_2\text{O}$)含量表示,可分为总碱含量和可溶性碱含量。

8.3.2 混凝土中碱含量测定所用样品的制备应符合下列规定:

1 按本规程第8.1.3条的规定从受检区域混凝土中钻取芯样,剔除粗骨料,破碎磨细成粉末后备用。

2 将粉末缩分至100 g,应研磨至全部通过0.08 mm的筛。

3 研磨后的粉末应采用磁铁吸出其中的金属铁屑。

4 粉末应置于烘箱中105 °C ~ 110 °C烘至恒重,取出后放入干燥器中冷却至室温。

8.3.3 混凝土中总碱含量的检测应符合下列规定:

1 混凝土中总碱含量的检测操作应符合现行《水泥化学分析方法》GB/T 176的有关规定。

2 样品中氧化钾质量分数、氧化钠质量分数和总碱含量应按下列公式计算:

$$w_{\text{K}_2\text{O}} = \frac{m_{\text{K}_2\text{O}}}{m_s \times 1000} \times 100\% \quad (8.3.3-1)$$

$$w_{\text{Na}_2\text{O}} = \frac{m_{\text{Na}_2\text{O}}}{m_s \times 1000} \times 100\% \quad (8.3.3-2)$$

$$w_{\text{Na}_2\text{O},\text{eq}} = w_{\text{Na}_2\text{O}} + 0.658w_{\text{K}_2\text{O}} \quad (8.3.3-3)$$

式中 $w_{\text{K}_2\text{O}}$ —样品中氧化钾的质量分数;

$w_{\text{Na}_2\text{O}}$ —样品中氧化钠的质量分数;

$w_{\text{Na}_2\text{O},\text{eq}}$ —样品的总碱含量;

$m_{\text{K}_2\text{O}}$ —被检测溶液中氧化钾的质量(mg);

$m_{\text{Na}_2\text{O}}$ —被检测溶液中氧化钠的质量(mg);

m_s —砂浆粉末样品的质量(g)。

3 样品总碱含量应取3次测试结果的平均值。

4 单位体积混凝土中总碱含量应按下式计算：

$$m_{a,t} = \frac{\rho(m_{cor} - m_c)}{m_{cor}} \times \bar{w}_{Na_2O, eq} \quad (8.3.3-4)$$

式中 $m_{a,t}$ ——单位体积混凝土中总碱含量(kg)；

ρ ——芯样的密度(kg/m^3)，按实测值；无实测值时取 $2\ 500\ kg/m^3$ ；

m_{cor} ——芯样的质量(g)；

m_c ——芯样的骨料的质量(g)；

$\bar{w}_{Na_2O, eq}$ ——样品中氧化钠当量的质量分数的检测值。

8.3.4 混凝土中可溶性碱含量的检测应符合下列规定：

1 准确称取 $25\ g$ (精确至 $0.01\ g$)样品放入 $500\ mL$ 锥形瓶中，加入 $300\ mL$ 蒸馏水，宜采用振荡器振荡 $3\ h$ 或 $80\ ^\circ C$ 水浴锅中用磁力搅拌器搅拌 $2\ h$ ，再用布式漏斗过滤，然后将滤液转移到一个 $500\ mL$ 的容量瓶中，稀释至刻度。

2 混凝土中可溶性碱含量的检测操作应符合现行《水泥化学分析方法》GB/T 176 的相关规定。

3 样品中可溶性氯化钾质量分数、可溶性氯化钠质量分数和可溶性碱含量应按下列公式计算，计算结果保留两位小数：

$$w_{K_2O}^S = \frac{m_{K_2O}}{m_s \times 1\ 000} \times 100\% \quad (8.3.4-1)$$

$$w_{Na_2O}^S = \frac{m_{Na_2O}}{m_s \times 1\ 000} \times 100\% \quad (8.3.4-2)$$

$$w_{Na_2O, eq}^S = w_{Na_2O}^S + 0.658w_{K_2O}^S \quad (8.3.4-3)$$

式中 $w_{K_2O}^S$ ——样品中可溶性氯化钾的质量分数；

$w_{Na_2O}^S$ ——样品中可溶性氯化钠的质量分数；

$w_{Na_2O, eq}^S$ ——样品中可溶性碱含量。

4 样品中可溶性碱含量的检测值应取 3 次测试结果的平均值。

5 单位体积混凝土中可溶性碱含量应按下式计算：

$$m_{\text{a},v} = \frac{\rho(m_{\text{cor}} - m_c)}{m_{\text{cor}}} \times \bar{w}_{\text{Na}_2\text{O}_{\text{eq}}}^S \quad (8.3.4-4)$$

式中 $m_{\text{a},v}$ ——单位体积混凝土中的可溶性碱含量(kg)。

8.4 骨料中氧化镁含量

8.4.1 骨料中氧化镁含量测试宜采用原子吸收分光光度法。

8.4.2 骨料中氧化镁含量测试所用样品的制备应按下列步骤进行：

1 按照本规程第 8.1.3 条的规定钻取芯样，将钻取的芯样破碎后，去除粘结在粗骨料上的砂浆，挑出粗骨料。

2 用水将粗骨料表面浆体冲洗干净后再风干或在 105 ℃ ± 5 ℃ 烘箱中烘干。

3 将 3 个芯样的粗骨料充分混合后破碎，筛取 0.15 mm ~ 0.63 mm 的部分作试验用料。

8.4.3 骨料中氧化镁含量测试应具备聚四氟乙烯坩埚、低温电热板、250 mL 容量瓶、原子吸收分光光度计(带有镁元素空心阴极灯)、天平(感量 0.000 1 g)等仪器设备。

8.4.4 骨料中氧化镁含量测试应具备盐酸(1 + 1)、氢氟酸(质量分数 40%)、高氯酸(质量分数 70% ~ 72%)和氯化锶溶液(50 g/L)等试剂。

8.4.5 骨料中氧化镁含量检测应按下列步骤进行：

1 称取约 0.1 g 样品(精确至 0.000 1 g)，记录重量为 m_1 ，置于坩埚中，加入 0.5 mL ~ 1 mL 水润湿，加入 5 mL ~ 7 mL 氢氟酸和 0.5 mL 高氯酸，放入通风橱内低温电热板上加热，近干时摇动坩埚以防溅失，待白色浓烟完全驱尽后，取下冷却。

2 加入 20 mL 盐酸(1 + 1)，加热至溶液澄清，冷却后，移入 250 mL 容量瓶中，加入 5 mL 氯化锶溶液，用水稀释至刻度后摇匀。

3 从容量瓶中吸取 5 mL 溶液放入 100 mL 容量瓶中, 加入 12 mL 盐酸(1+1) 及 2 mL 氯化锶溶液(测定溶液中盐酸的体积分数为 6%, 锶的浓度为 1 mg/mL), 用水稀释至刻度后摇匀。

4 按《水泥化学分析方法》GB/T 176—2017 第 6.1.74.2 条的规定绘制用于测定氧化镁浓度的工作曲线。

5 用原子吸收分光光度计, 在空气—乙炔火焰中, 用镁元素空心阴极灯于波长 285.2 nm 处测定溶液的吸光度, 并在工作曲线上求出氧化镁的浓度, 记录为 c_1 。

8.4.6 骨料中氧化镁含量应按下式计算:

$$w_{\text{MgO}} = \frac{(c_1 - c_0) \times 100 \times 50}{m_2 \times 10^6} \times 100\% \quad (8.4.6)$$

式中 w_{MgO} —— 氧化镁的质量分数, 计算结果保留两位小数;

c_0 —— 空白试验测得的氧化镁浓度($\mu\text{g}/\text{mL}$);

c_1 —— 试验测得的氧化镁浓度($\mu\text{g}/\text{mL}$);

m_2 —— 称取的试验样品质量(g);

100 —— 测定溶液的体积(mL);

50 —— 全部样品溶液与所分取样品溶液的体积比。

8.5 碱活性骨料

8.5.1 检测骨料的碱活性类别和定量评定骨料的碱活性宜采用岩相法、快速砂浆棒法和混凝土棱柱体法。

8.5.2 确定骨料的碱活性类别和定性评定骨料的碱活性应先按照岩相法对骨料进行分类和岩相分析, 若骨料样品中含有碱骨料反应活性矿物时, 应对其碱活性进行进一步检验。

8.5.3 岩相法分析碱活性骨料检测样品制备应符合下列规定:

1 在待检区域钻取直径至少为 75 mm、高度至少为 275 mm 的芯样不少于 5 个, 并破碎至粒径 20 mm 及以下, 筛去粒径小于 5 mm 的骨料及粉末, 挑出剩余粗骨料, 剩余粗骨料质量应大于 10 kg。

2 粗骨料表面浆体应用水冲洗干净后再风干或在 105 ℃ ± 5 ℃ 烘箱中烘干。

8.5.4 岩相法评定骨料碱活性所需材料和设备及试验步骤应符合现行《铁路混凝土》TB/T 3275 的规定。

8.5.5 经岩相法分析后,应将可能存在碱骨料反应活性的骨料样品破碎至 5 mm 以下,用清水将破碎后的样品冲洗干净,并置于 105 ℃ ± 5 ℃ 的烘箱中烘干(3 h ~ 4 h),然后将烘干的样品进行筛分,并置于干燥器中备用。

8.5.6 骨料样品中含有碱-硅酸反应活性矿物时,可按照快速砂浆棒法或混凝土棱柱体法对其碱活性进行检验。快速砂浆棒法检测应符合现行《铁路混凝土》TB/T 3275 的规定,混凝土棱柱体法检测应符合现行《普通混凝土长期性能和耐久性能试验方法标准》GB/T 50082 的规定。

8.5.7 骨料样品中含有碱-碳酸盐反应活性矿物时,可采用混凝土棱柱体法对其碱活性进行检验,混凝土棱柱体法检测应符合现行《普通混凝土长期性能和耐久性能试验方法标准》GB/T 50082 的规定。

8.5.8 快速砂浆棒法和混凝土棱柱体法试验中的试件长度膨胀率应符合下列规定:

1 试件长度膨胀率应按下式计算:

$$\varepsilon_t = \frac{L_t - L_0}{L_0 - 2\Delta} \times 100\% \quad (8.5.8)$$

式中 ε_t ——试件在测试龄期时的膨胀率,精确至 0.01%;

L_t ——试件在测试龄期时的长度(mm);

L_0 ——试件的基准长度(mm);

Δ ——测头的长度(mm)。

2 试件长度膨胀率的测定值应取 3 个试件测值的平均值。

9 混凝土中钢筋检测

9.1 一般规定

9.1.1 混凝土中钢筋检测时,应根据设计资料确定受检区域内钢筋可能分布的状况,选择适当的测区。测区表面应清洁、平整,并应避开金属预埋件。

9.1.2 当检测具有饰面层的结构及构件中钢筋时,应先清除饰面层,再在混凝土表面上进行检测。

9.1.3 采用电磁感应法钢筋探测仪(简称钢筋探测仪)和地质雷达仪检测时,宜通过原位实测法进行验证,并根据验证结果进行修正。

9.1.4 本章规定的检测方法不适用于含有铁磁性物质的混凝土,当混凝土含有铁磁性物质时,可采用原位实测法检测。

9.2 混凝土保护层厚度及钢筋间距

9.2.1 混凝土保护层厚度及钢筋间距宜采用钢筋探测仪或地质雷达仪进行检测。

9.2.2 钢筋探测仪检测混凝土保护层厚度及钢筋间距应符合下列规定:

1 钢筋探测仪应符合本规程附录 W 的规定。

2 检测前,应对钢筋探测仪进行预热和调零,调零时探头应远离金属物体。

3 检测时,应避开钢筋接头和绑丝,钢筋间距应满足钢筋探测仪的检测要求。探头在检测面上移动,直到钢筋探测仪保护层厚度示值最小,此时探头中心线与钢筋轴线应重合,在相应位置做

好标记。按上述步骤将相邻的其他钢筋位置逐一标出，并逐个量测钢筋的间距。

4 钢筋位置确定后，应设定钢筋探测仪量程范围及钢筋公称直径，沿被测钢筋轴线选择相邻钢筋影响较小的位置，并应避开钢筋接头和绑丝，同一位置读取2次混凝土保护层厚度检测值，检测值相差大于1mm时，该组检测数据应无效，并查明原因，在该处应重新进行检测。仍不满足要求时，应更换钢筋探测仪或采用原位实测法钻孔、剔凿的方法验证。

5 当实际混凝土保护层厚度小于钢筋探测仪最小量程时，应采用在探头下附加垫块的方法进行检测。垫块对检测结果不应产生干扰，表面应光滑平整，其各方向厚度值偏差应不大于0.1mm。所加垫块厚度在计算时应予扣除。

9.2.3 采用钢筋探测仪检测混凝土保护层厚度及钢筋间距遇到下列情况之一时，应选取不少于30%的已测钢筋，且不应少于6处（不到6处时应全部选取），用钻孔、剔凿等原位实测法进行验证：

- 1 认为相邻钢筋对检测结果有影响。
- 2 钢筋公称直径未知或有异议。
- 3 钢筋实际根数、位置与设计有较大偏差。
- 4 钢筋以及混凝土材质与校准试件有显著差异。

9.2.4 地质雷达仪检测混凝土保护层厚度及钢筋间距应符合下列规定：

- 1 地质雷达仪应符合本规程附录U的规定。
- 2 地质雷达法宜用于结构及构件中钢筋间距的大面积扫描检测；当检测精度满足要求时，也可用于钢筋的混凝土保护层厚度检测；当混凝土保护层厚度超过钢筋探测仪量程时，亦可采用此法检测保护层厚度。
- 3 根据被测结构及构件中钢筋的排列方向，地质雷达仪探头或天线应沿垂直于选定的被测钢筋轴线方向扫描，应根据钢筋的反射波顶面位置来测定混凝土保护层厚度。

9.2.5 采用地质雷达仪检测混凝土保护层厚度及钢筋间距遇到下列情况之一时,应选取不少于30%的已测钢筋,且不应少于6处(不到6处时应全部选取),用钻孔、剔凿等原位实测等方法验证:

1 认为相邻钢筋对检测结果有影响。
2 钢筋实际根数、位置与设计有较大偏差或无资料可供参考。

- 3 混凝土含水率较高。
4 钢筋以及混凝土材质与校准试件有显著差异。

9.2.6 原位实测法检测混凝土保护层厚度应符合下列规定:

- 1 检测前,应采用钢筋探测仪确定钢筋的位置并检测混凝土保护层厚度。
2 在钢筋位置上方垂直于混凝土表面钻孔,验证点数不应少于3个;能直接测量混凝土保护层厚度的点可计为验证点。

3 测点的保护层厚度测试值应取钢筋表面至混凝土表面的垂直距离,测试值与检测值之差不超过2 mm时,判定两个测试结果无明显差异。

9.2.7 钢筋探测仪和地质雷达仪检测混凝土保护层厚度平均检测值应按下式计算:

$$c_m^t = (c_1^t + c_2^t + 2c_e - 2c_0) / 2 \quad (9.2.7)$$

式中 c_m^t ——混凝土保护层厚度平均检测值(mm),精确至1 mm;

c_1^t, c_2^t ——第1次、第2次检测的混凝土保护层厚度检测值(mm),精确至1 mm;

c_e ——混凝土保护层厚度修正值(mm),当没有钻孔或剔凿验证时取0;

c_0 ——探头垫块厚度(mm),精确至0.1 mm;不加垫块时取0。

9.2.8 检测钢筋间距时,可根据实际需要采用绘图方式给出结果。当同一构件检测钢筋不少于7根钢筋(6个间隔)时,也可给出被测钢筋的最大间距和最小间距,钢筋平均间距应按下式计算:

$$S_m = \frac{\sum_{i=1}^{n-1} S_i}{n - 1} \quad (9.2.8)$$

式中 S_m ——钢筋的平均间距(mm), 精确至 1 mm;

S_i ——第 i 个钢筋间距(mm), 精确至 1 mm;

n ——构件中同层位钢筋的数量。

9.3 混凝土中钢筋直径

9.3.1 钢筋的公称直径检测应采用钢筋探测仪检测和原位实测法综合进行。

9.3.2 钢筋探测仪检测的准备和操作应按本规程第 9.2.2 条的规定进行。

9.3.3 对需根据钢筋混凝土保护层厚度值来检测钢筋公称直径的仪器, 应事先确定钢筋的混凝土保护层厚度。

9.3.4 钢筋直径检测时应根据设计图纸等资料, 确定被测结构及构件中钢筋的排列方向, 并采用钢筋探测仪按本规程第 9.2.2 条的规定对被测结构及构件中钢筋及其相邻钢筋进行准确定位并做标记。

9.3.5 钢筋探测仪检测时, 被测钢筋与相邻钢筋的间距应大于 100 mm, 且其周边的其他钢筋不应影响检测结果, 并应避开钢筋接头及绑丝。在定位的标记上, 应采用钢筋探测仪进行检测, 并记录钢筋探测仪显示的钢筋公称直径。每根钢筋重复检测 2 次, 第 2 次检测时探头应旋转 180°, 每次读数应一致。

9.3.6 采用钻孔、剔凿等原位实测法检测钢筋的数量不应少于该规格已测钢筋的 30% 且不应少于 3 处, 当实际检测数量不到 3 处时应全部选取。原位实测法钻孔、剔凿时, 不得损坏钢筋, 实测应采用游标卡尺, 量测精度应为 0.1 mm。

9.3.7 原位实测时, 根据游标卡尺的测量结果, 可通过相关的钢筋产品标准核查对应的钢筋公称直径。

9.3.8 当钢筋探测仪测得的钢筋公称直径与钢筋实际公称直径之差大于 1 mm 时,应以实测结果为准。

9.4 混凝土中钢筋锈蚀性状

9.4.1 混凝土中钢筋锈蚀性状宜采用半电池电位法检测,该方法不适用于带涂层的钢筋以及已饱水或接近饱水的混凝土中钢筋检测。

9.4.2 检测设备应为半电池电位法钢筋锈蚀检测仪(简称钢筋锈蚀检测仪),钢筋锈蚀检测仪应符合本规程附录 Y 的规定。

9.4.3 在混凝土结构及构件上可布置若干测区,测区面积不宜大于 $5\text{ m} \times 5\text{ m}$,并按确定的位置编号。每个测区应采用矩阵式(行、列)布置测点,依据被测结构及构件的尺寸,宜用 $100\text{ mm} \times 100\text{ mm} \sim 500\text{ mm} \times 500\text{ mm}$ 划分网格,网格的节点应为电位测点。每个构件的半电池电位法测点数不应少于 30 个。

9.4.4 当测区混凝土有涂层介质隔离时,应清除涂层介质。测点处混凝土表面应平整、清洁。必要时应采用砂轮或钢丝刷打磨,并应将粉尘等杂物清除。

9.4.5 导线与钢筋的连接应按下列步骤进行:

1 采用钢筋探测仪检测钢筋的分布情况,并在适当位置剔凿出钢筋。

2 导线一端应连接于电压仪的负输入端,另一端应接于混凝土中钢筋上。

3 连接处的钢筋表面应除锈或清除污物,以保证导线与钢筋有效连接。

4 测区内的钢筋(钢筋网)必须与连接点的钢筋形成电通路。

9.4.6 导线与半电池连接前应检查各种接口,确保接触良好,连接时导线一端连接到半电池接线插座上,另一端连接到电压仪的正输入端。

9.4.7 测区混凝土应预先充分浸湿。可在饮用水中加入适量(约2%)家用液态洗涤剂配制成导电溶液,在测区混凝土表面喷洒,半电池的电连接垫与混凝土表面测点应耦合良好。

9.4.8 半电池检测系统稳定性应符合下列规定:

1 在同一测点,用相同半电池重复2次测得该点的电位差值应小于10 mV。

2 在同一测点,用两只不同的半电池重复2次测得该点的电位差值应小于20 mV。

9.4.9 半电池电位的检测应符合下列规定:

1 检测前,应测量并记录环境温度。

2 检测时,应按测区编号,将半电池依次放在各电位测点上,检测并记录各测点的电位值。

3 检测时,应及时清除电连接垫表面的吸附物,半电池多孔塞与混凝土表面应形成电通路。

4 在水平方向和垂直方向上检测时,应保证半电池刚性管中的饱和硫酸铜溶液同时与多孔塞和铜棒保持完全接触。

5 检测时,应避免外界各种因素产生的电流影响。

9.4.10 当检测环境温度在 $22^{\circ}\text{C} \pm 5^{\circ}\text{C}$ 之外时,测点的电位值应按下列公式进行温度修正:

当 $T \geq 27^{\circ}\text{C}$ 时:

$$V = k \times (T - 27.0) + V_R \quad (9.4.10-1)$$

当 $T \leq 17^{\circ}\text{C}$ 时:

$$V = k \times (T - 17.0) + V_R \quad (9.4.10-2)$$

式中 V ——温度修正后电位值(mV),精确至1 mV;

V_R ——温度修正前电位值(mV),精确至1 mV;

T ——检测环境温度($^{\circ}\text{C}$),精确至 1°C ;

k ——系数,取值为 $0.9\text{ mV}/^{\circ}\text{C}$ 。

9.4.11 半电池电位法检测结果评判应符合下列规定:

1 半电池电位法检测结果可采用电位等值线图表示被测结

构及构件中钢筋的锈蚀性状。

2 绘制电位等值线图时,宜按合适比例在结构及构件图上标出各测点的半电池电位值,可通过数值相等的各点或内插等值的各点绘出电位等值线。电位等值线的最大间隔宜为 100 mV,如图 9.4.11 所示。

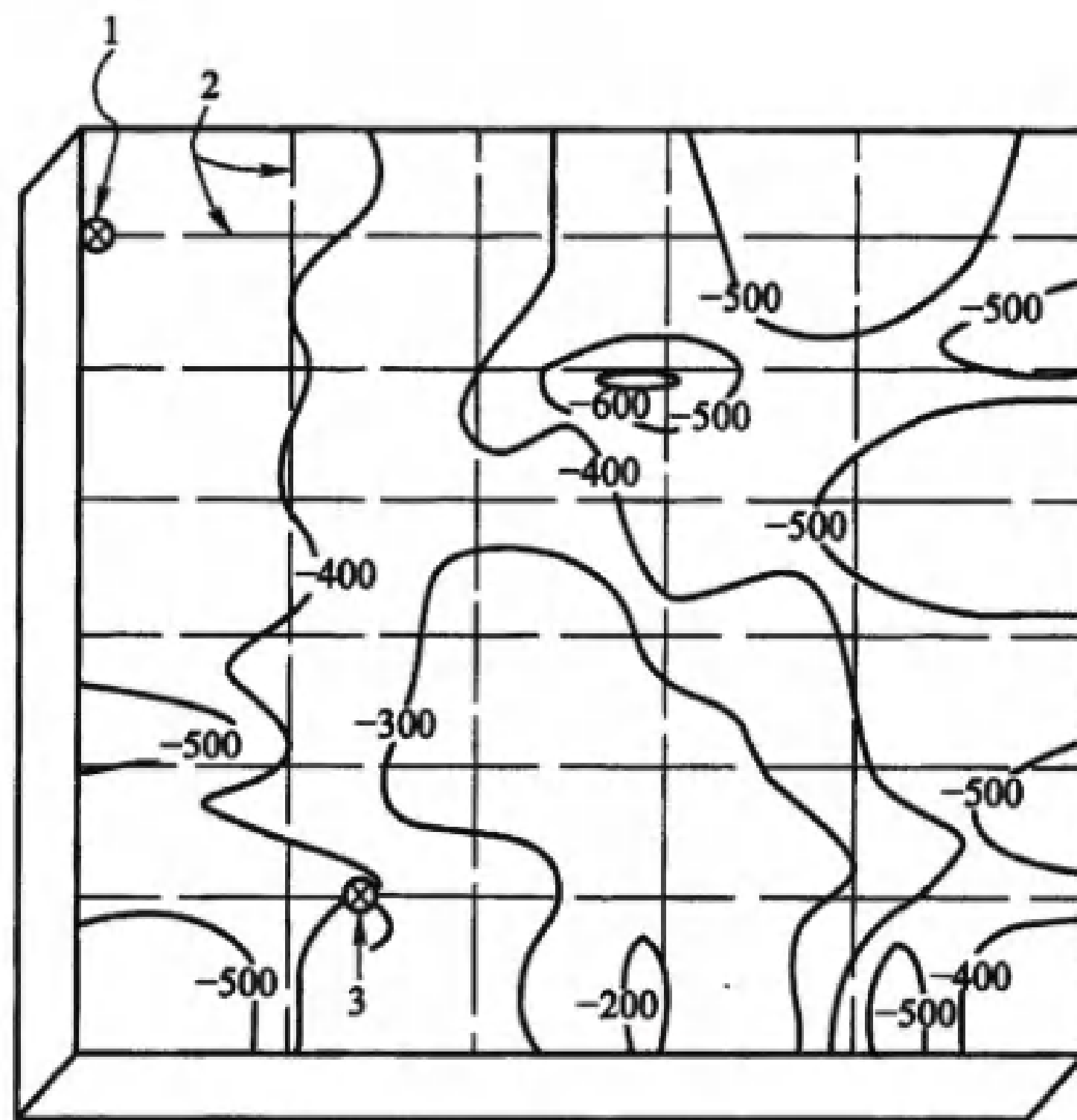


图 9.4.11 电位等值线示意图

1—钢筋锈蚀检测仪与钢筋连接点;2—钢筋;3—铜-硫酸铜半电池

3 采用半电池电位值评价钢筋锈蚀性状时,应根据表 9.4.11 进行判断。

表 9.4.11 半电池电位值评价钢筋锈蚀性状的判据

电位水平(mV)	钢筋锈蚀性状
> -200	不发生锈蚀的概率 > 90%
-200 ~ -350	锈蚀性状不确定
< -350	发生锈蚀的概率 > 90%

附录 A 钻芯法检测现场操作记录

A.0.1 钻芯法检测现场操作记录表可按表 A.0.1 填写。

表 A.0.1 钻芯法检测现场操作记录

委托单位：

构件名称：

工程名称：

施工日期：

取芯部位：

取芯日期：

钻进起止时间	钻进深度(m)	芯样编号	芯样直径(mm)	芯样长度(mm)	芯样外观质量描述
备 注					
附图或照片					

记录：

复核：

附录 B 钻芯法检测推定区间系数

B.0.1 试件数与上限值系数 k_1 、下限值系数 k_2 的关系可按表 B.0.1 取值。

表 B.0.1 上、下限值系数表

试件数 n	$k_1(0.05)$	$k_2(0.05)$	$k_2(0.10)$	试件数 n	$k_1(0.05)$	$k_2(0.05)$	$k_2(0.10)$
10	1.017 30	2.910 96	2.568 37	29	1.243 95	2.232 41	2.089 03
11	1.041 27	2.814 99	2.502 62	30	1.249 81	2.219 84	2.079 82
12	1.062 47	2.736 34	2.448 25	31	1.255 40	2.208 00	2.071 13
13	1.081 41	2.670 50	2.402 40	32	1.260 75	2.196 82	2.062 92
14	1.098 48	2.614 43	2.363 11	33	1.265 88	2.186 25	2.055 14
15	1.113 97	2.566 00	2.328 98	34	1.270 79	2.176 23	2.047 76
16	1.128 12	2.523 66	2.299 00	35	1.275 51	2.166 72	2.040 75
17	1.141 12	2.486 26	2.272 40	36	1.280 04	2.157 68	2.034 07
18	1.153 11	2.452 95	2.248 62	37	1.284 41	2.149 06	2.027 71
19	1.164 23	2.423 04	2.227 20	38	1.288 61	2.140 85	2.021 64
20	1.174 58	2.396 00	2.207 78	39	1.292 66	2.133 00	2.015 83
21	1.184 25	2.371 42	2.190 07	40	1.296 57	2.125 49	2.010 27
22	1.193 30	2.348 96	2.173 85	41	1.300 35	2.118 31	2.004 94
23	1.201 81	2.328 32	2.158 91	42	1.303 99	2.111 42	1.999 83
24	1.209 82	2.309 29	2.145 10	43	1.307 52	2.104 81	1.994 93
25	1.217 39	2.291 67	2.132 29	44	1.310 94	2.098 46	1.990 21
26	1.224 55	2.275 30	2.120 37	45	1.314 25	2.092 35	1.985 67
27	1.231 35	2.260 05	2.109 24	46	1.317 46	2.086 48	1.981 30
28	1.237 80	2.245 78	2.098 81	47	1.320 58	2.080 81	1.977 08

续表 B. 0. 1

试件数 n	$k_1(0.05)$	$k_2(0.05)$	$k_2(0.10)$	试件数 n	$k_1(0.05)$	$k_2(0.05)$	$k_2(0.10)$
48	1. 323 60	2. 075 35	1. 973 02	140	1. 447 50	1. 878 52	1. 824 81
49	1. 326 53	2. 070 08	1. 969 09	150	1. 453 72	1. 869 84	1. 818 20
50	1. 329 39	2. 064 99	1. 965 29	160	1. 459 38	1. 862 03	1. 812 25
60	1. 354 12	2. 022 16	1. 933 27	170	1. 464 56	1. 854 97	1. 806 86
70	1. 373 64	1. 989 87	1. 909 03	180	1. 469 31	1. 848 54	1. 801 96
80	1. 389 59	1. 964 44	1. 889 88	190	1. 473 70	1. 842 65	1. 797 46
90	1. 402 94	1. 943 76	1. 874 28	200	1. 477 77	1. 837 24	1. 793 32
100	1. 414 33	1. 926 54	1. 861 25	250	1. 494 43	1. 815 47	1. 776 67
110	1. 424 21	1. 911 91	1. 850 17	300	1. 506 87	1. 799 64	1. 764 54
120	1. 432 89	1. 899 29	1. 840 59	400	1. 524 53	1. 777 76	1. 747 73
130	1. 440 60	1. 888 27	1. 832 22	500	1. 536 71	1. 763 05	1. 736 41

注:1 k_1 宜为置信度为 0.90、错判概率为 0.05 条件下的限值系数; k_2 宜为置信度为 0.90、漏判概率为 0.05 条件下的限值系数。

2 当采用小直径芯样试件时, k_1 可为置信度为 0.85、错判概率为 0.05 条件下的限值系数; k_2 可为置信度为 0.85、漏判概率为 0.10 条件下的限值系数。

附录 C 回弹法非水平方向及不同浇筑面 检测的修正值

C. 0.1 回弹法非水平方向检测回弹值的修正值应按表 C. 0.1 取值。

表 C. 0.1 回弹法非水平方向检测回弹值的修正值

R_{\max}	检测角度							
	向上				向下			
	90°	60°	45°	30°	-30°	-45°	-60°	-90°
20	-6.0	-5.0	-4.0	-3.0	+2.5	+3.0	+3.5	+4.0
21	-5.9	-4.9	-4.0	-3.0	+2.5	+3.0	+3.5	+4.0
22	-5.8	-4.8	-3.9	-2.9	+2.4	+2.9	+3.4	+3.9
23	-5.7	-4.7	-3.9	-2.9	+2.4	+2.9	+3.4	+3.9
24	-5.6	-4.6	-3.8	-2.8	+2.3	+2.8	+3.3	+3.8
25	-5.5	-4.5	-3.8	-2.8	+2.3	+2.8	+3.3	+3.8
26	-5.4	-4.4	-3.7	-2.7	+2.2	+2.7	+3.2	+3.7
27	-5.3	-4.3	-3.7	-2.7	+2.2	+2.7	+3.2	+3.7
28	-5.2	-4.2	-3.6	-2.6	+2.1	+2.6	+3.1	+3.6
29	-5.1	-4.1	-3.6	-2.6	+2.1	+2.6	+3.1	+3.6
30	-5.0	-4.0	-3.5	-2.5	+2.0	+2.5	+3.0	+3.5
31	-4.9	-4.0	-3.5	-2.5	+2.0	+2.5	+3.0	+3.5
32	-4.8	-3.9	-3.4	-2.4	+1.9	+2.4	+2.9	+3.4
33	-4.7	-3.9	-3.4	-2.4	+1.9	+2.4	+2.9	+3.4
34	-4.6	-3.8	-3.3	-2.3	+1.8	+2.3	+2.8	+3.3
35	-4.5	-3.8	-3.3	-2.3	+1.8	+2.3	+2.8	+3.3
36	-4.4	-3.7	-3.2	-2.2	+1.7	+2.2	+2.7	+3.2
37	-4.3	-3.7	-3.2	-2.2	+1.7	+2.2	+2.7	+3.2
38	-4.2	-3.6	-3.1	-2.1	+1.6	+2.1	+2.6	+3.1
39	-4.1	-3.6	-3.1	-2.1	+1.6	+2.1	+2.6	+3.1

续表 C. 0.1

R_{\max}	检测角度							
	向上				向下			
	90°	60°	45°	30°	-30°	-45°	-60°	-90°
40	-4.0	-3.5	-3.0	-2.0	+1.5	+2.0	+2.5	+3.0
41	-4.0	-3.5	-3.0	-2.0	+1.5	+2.0	+2.5	+3.0
42	-3.9	-3.4	-2.9	-1.9	+1.4	+1.9	+2.4	+2.9
43	-3.9	-3.4	-2.9	-1.9	+1.4	+1.9	+2.4	+2.9
44	-3.8	-3.3	-2.8	-1.8	+1.3	+1.8	+2.3	+2.8
45	-3.8	-3.3	-2.8	-1.8	+1.3	+1.8	+2.3	+2.8
46	-3.7	-3.2	-2.7	-1.7	+1.2	+1.7	+2.2	+2.7
47	-3.7	-3.2	-2.7	-1.7	+1.2	+1.7	+2.2	+2.7
48	-3.6	-3.1	-2.6	-1.6	+1.1	+1.6	+2.1	+2.6
49	-3.6	-3.1	-2.6	-1.6	+1.1	+1.6	+2.1	+2.6
50	-3.5	-3.0	-2.5	-1.5	+1.0	+1.5	+2.0	+2.5

注:1 R_{\max} 小于 20 或大于 50 时,应分别按 20 或 50 查表。

2 表中未列入的相应于 R_{\max} 的修正值 R_{cor} , 可用内插法求得, 精确至 0.1 MPa。

C. 0.2 回弹法不同浇筑面检测回弹值的修正值应按表 C. 0.2 取值。

表 C. 0.2 回弹法不同浇筑面检测回弹值的修正值

R_m^t 或 R_m^b	顶面修正值 R_s^t	底面修正值 R_s^b	R_m^t 或 R_m^b	顶面修正值 R_s^t	底面修正值 R_s^b
20	+2.5	-3.0	28	+1.7	-2.2
21	+2.4	-2.9	29	+1.6	-2.1
22	+2.3	-2.8	30	+1.5	-2.0
23	+2.2	-2.7	31	+1.4	-1.9
24	+2.1	-2.6	32	+1.3	-1.8
25	+2.0	-2.5	33	+1.2	-1.7
26	+1.9	-2.4	34	+1.1	-1.6
27	+1.8	-2.3	35	+1.0	-1.5

续表 C. 0.2

R_m^t 或 R_m^b	顶面修正值 R_s^t	底面修正值 R_s^b	R_m^t 或 R_m^b	顶面修正值 R_s^t	底面修正值 R_s^b
36	+0.9	-1.4	44	+0.1	-0.6
37	+0.8	-1.3	45	0	-0.5
38	+0.7	-1.2	46	0	-0.4
39	+0.6	-1.1	47	0	-0.3
40	+0.5	-1.0	48	0	-0.2
41	+0.4	-0.9	49	0	-0.1
42	+0.3	-0.8	50	0	0
43	+0.2	-0.7			

- 注: 1 R_m^t 或 R_m^b 小于 20 或大于 50 时, 应分别按 20 或 50 查表。
 2. 表中有关混凝土浇筑顶面的修正值, 是指一般原浆抹面的修正值。
 3 表中有关混凝土浇筑底面的修正值, 是指构件底面与侧面采用同一类模板
 在正常浇筑情况下的修正值。
 4 表中未列入的相应于 R_m^t 或 R_m^b 的 R_s^t 或 R_s^b 值, 可用内插法得, 精确至 0.1。

附录 D 回弹法专用测强曲线的制定方法 (回弹仪标称动能 2.207 J)

D.0.1 制定专用测强曲线的试件应与受检结构或构件的原材料(含品种、规格)、成型工艺和养护方法等基本相同。

D.0.2 试件的制作、养护应符合下列规定：

1 按 5 个强度等级分别设计最佳配合比,每一强度等级每一龄期制作 6 个边长为 150 mm 的立方体试件,同一龄期试件宜在同一天内成型完毕。

2 在成型后的第 2 天,应将试件移至与被测结构或构件相同的条件下养护,试件拆模日期宜与结构或构件的拆模日期相同。

D.0.3 试件的测试应按下列步骤进行：

1 到达龄期的试件表面应擦净,以浇筑侧面的两个相对面置于压力机的上下承压板之间,加压 30 kN ~ 80 kN(低强度试件取低值加压)。

2 在试件保持 30 kN ~ 80 kN 的压力下,用符合本规程第 4.2.6 条规定的标准状态的回弹仪和本规程第 4.2.13 条规定的操作方法,在试件的另外两个相对侧面上分别选择均匀分布的 8 个点按本规程第 4.2.14 条的要求进行弹击。

3 从每一试件的 16 个回弹值中分别剔除 3 个最大值和 3 个最小值,然后再求余下 10 个回弹值的平均值,计算精确至 0.1,即得该试件的平均回弹值 R_m 。

4 将试件加载直至破坏,然后计算试件的抗压强度值 $f_{cu,i}$,精确至 0.1 MPa。

5 按本规程第 4.2.15 条的规定在破坏的试件边缘测量该试件的平均碳化深度 d_m 。

D. 0.4 专用测强曲线的计算应符合下列规定：

1 专用测强曲线的回归方程式应按每一试件求得的平均回弹值 R_m 和抗压强度值 $f_{cu,i}$ 数据,采用最小二乘法原理计算。

2 回归方程宜采用下式计算:

$$f_{cu,i}^c = aR_m^b \cdot 10^{cd_m} \quad (\text{D. 0.4-1})$$

式中 $f_{cu,i}^c$ ——混凝土试件的强度换算值;

R_m ——混凝土试件的平均回弹值;

a, b, c ——回归方程的回归系数;

d_m ——平均碳化深度值。

3 回归方程式的强度平均相对误差 δ 和强度相对标准差 e_r , 均应符合本规程第 4.2.21 条的规定,并按下列公式计算:

$$\delta = \pm \frac{1}{n} \sum_{i=1}^n \left| \frac{f_{cu,i}}{f_{cu,i}^c} - 1 \right| \times 100\% \quad (\text{D. 0.4-2})$$

$$e_r = \sqrt{\frac{1}{n-1} \sum_{i=1}^n \left(\frac{f_{cu,i}}{f_{cu,i}^c} - 1 \right)^2} \times 100\% \quad (\text{D. 0.4-3})$$

式中 δ ——回归方程式的强度平均相对误差,精确至 0.1%;

e_r ——回归方程式的强度相对标准差,精确至 0.1%;

$f_{cu,i}$ ——由第 i 个试件抗压试验得出的混凝土抗压强度值 (MPa),精确至 0.1 MPa;

$f_{cu,i}^c$ ——由同一试件的平均回弹值 R_m 按回归方程式算出的混凝土的强度换算值(MPa),精确至 0.1 MPa;

n ——制定回归方程式的试件数。

D. 0.5 当需制定具有较长龄期范围的专用测强曲线时,应在试验及回归分析时引入碳化深度变量。

D. 0.6 强度换算标准与所试验的范围不得外推。

附录 E 回弹法混凝土测区强度换算 (回弹仪标称动能 2.207 J)

E. 0.1 回弹法混凝土测区强度换算(回弹仪标称动能 2.207 J)
宜按表 E. 0.1 取值。

表 E. 0.1 回弹法混凝土测区强度换算表

平均回弹值 <i>R_m</i>	测区混凝土强度换算值 $f_{cu,i}^o$ (MPa)												
	平均碳化深度值 d_m (mm)												
	0	0.5	1.0	1.5	2.0	2.5	3.0	3.5	4.0	4.5	5.0	5.5	≥6
20.0	10.3	10.1	—	—	—	—	—	—	—	—	—	—	—
20.2	10.5	10.3	10.0	—	—	—	—	—	—	—	—	—	—
20.4	10.7	10.5	10.2	—	—	—	—	—	—	—	—	—	—
20.6	11.0	10.8	10.4	10.1	—	—	—	—	—	—	—	—	—
20.8	11.2	11.0	10.6	10.3	—	—	—	—	—	—	—	—	—
21.0	11.4	11.2	10.8	10.5	10.0	—	—	—	—	—	—	—	—
21.2	11.6	11.4	11.0	10.7	10.2	—	—	—	—	—	—	—	—
21.4	11.8	11.6	11.2	10.9	10.4	10.0	—	—	—	—	—	—	—
21.6	12.0	11.8	11.4	11.0	10.6	10.2	—	—	—	—	—	—	—
21.8	12.3	12.1	11.7	11.3	10.8	10.5	10.1	—	—	—	—	—	—
22.0	12.5	12.2	11.9	11.5	11.0	10.6	10.2	—	—	—	—	—	—
22.2	12.7	12.4	12.1	11.7	11.2	10.8	10.4	10.0	—	—	—	—	—
22.4	13.0	12.7	12.4	12.0	11.4	11.0	10.7	10.3	10.0	—	—	—	—
22.6	13.2	12.9	12.5	12.1	11.6	11.2	10.8	10.4	10.2	—	—	—	—
22.8	13.4	13.1	12.7	12.3	11.8	11.4	11.0	10.6	10.3	—	—	—	—
23.0	13.7	13.4	13.0	12.6	12.1	11.6	11.2	10.8	10.5	10.1	—	—	—

续表 E. 0.1

平均回弹值 <i>R_e</i>	测区混凝土强度换算值 $f_{cu,i}^e$ (MPa)												
	平均碳化深度值 d_m (mm)												
	0	0.5	1.0	1.5	2.0	2.5	3.0	3.5	4.0	4.5	5.0	5.5	≥ 6
23.2	13.9	13.6	13.2	12.8	12.2	11.8	11.4	11.0	10.7	10.3	10.0	—	—
23.4	14.1	13.8	13.4	13.0	12.4	12.0	11.6	11.2	10.9	10.4	10.2	—	—
23.6	14.4	14.1	13.7	13.2	12.7	12.2	11.8	11.4	11.1	10.7	10.4	10.1	—
23.8	14.6	14.3	13.9	13.4	12.8	12.4	12.0	11.5	11.2	10.8	10.5	10.2	—
24.0	14.9	14.6	14.2	13.7	13.1	12.7	12.2	11.8	11.5	11.0	10.7	10.4	10.1
24.2	15.1	14.8	14.3	13.9	13.3	12.8	12.4	11.9	11.6	11.2	10.9	10.6	10.3
24.4	15.4	15.1	14.6	14.2	13.6	13.1	12.6	12.2	11.9	11.4	11.1	10.8	10.4
24.6	15.6	15.3	14.8	14.4	13.7	13.3	12.8	12.3	12.0	11.5	11.2	10.9	10.6
24.8	15.9	15.6	15.1	14.6	14.0	13.5	13.0	12.6	12.2	11.8	11.4	11.1	10.7
25.0	16.2	15.9	15.4	14.9	14.3	13.8	13.3	12.8	12.5	12.0	11.7	11.3	10.9
25.2	16.4	16.1	15.6	15.1	14.4	13.9	13.4	13.0	12.6	12.1	11.8	11.5	11.0
25.4	16.7	16.4	15.9	15.4	14.7	14.2	13.7	13.2	12.9	12.4	12.0	11.7	11.2
25.6	16.9	16.6	16.1	15.7	14.9	14.4	13.9	13.4	13.0	12.5	12.2	11.8	11.3
25.8	17.2	16.9	16.3	15.8	15.1	14.6	14.1	13.6	13.2	12.7	12.4	12.0	11.5
26.0	17.5	17.2	16.6	16.1	15.4	14.9	14.4	13.8	13.5	13.0	12.6	12.2	11.6
26.2	17.8	17.4	16.9	16.4	15.7	15.1	14.6	14.0	13.7	13.2	12.8	12.4	11.8
26.4	18.0	17.6	17.1	16.6	15.8	15.3	14.8	14.2	13.9	13.3	13.0	12.6	12.0
26.6	18.3	17.9	17.4	16.8	16.1	15.6	15.0	14.4	14.1	13.5	13.2	12.8	12.1
26.8	18.6	18.2	17.7	17.1	16.4	15.8	15.3	14.6	14.3	13.8	13.4	12.9	12.3
27.0	18.9	18.5	18.0	17.4	16.6	16.1	15.5	14.8	14.6	14.0	13.6	13.1	12.4
27.2	19.1	18.7	18.1	17.6	16.8	16.2	15.7	15.0	14.7	14.1	13.8	13.3	12.6
27.4	19.4	19.0	18.4	17.8	17.0	16.4	15.9	15.2	14.9	14.3	14.0	13.4	12.7
27.6	19.7	19.3	18.7	18.0	17.2	16.6	16.1	15.4	15.1	14.5	14.1	13.6	12.9
27.8	20.0	19.6	19.0	18.2	17.4	16.8	16.3	15.6	15.3	14.7	14.2	13.7	13.0

续表 E. 0.1

平均 回弹值 R_m	测区混凝土强度换算值 $f_{cu,i}^e$ (MPa)												
	平均碳化深度值 d_m (mm)												
	0	0.5	1.0	1.5	2.0	2.5	3.0	3.5	4.0	4.5	5.0	5.5	≥ 6
28.0	20.3	19.7	19.2	18.4	17.6	17.0	16.5	15.8	15.4	14.8	14.4	13.9	13.2
28.2	20.6	20.0	19.5	18.6	17.8	17.2	16.7	16.0	15.6	15.0	14.6	14.0	13.3
28.4	20.9	20.3	19.7	18.8	18.0	17.4	16.9	16.2	15.8	15.2	14.8	14.2	13.5
28.6	21.2	20.6	20.0	19.1	18.2	17.6	17.1	16.4	16.0	15.4	15.0	14.3	13.6
28.8	21.5	20.9	20.2	19.4	18.5	17.8	17.3	16.6	16.2	15.6	15.2	14.5	13.8
29.0	21.8	21.1	20.5	19.6	18.7	18.1	17.5	16.8	16.4	15.8	15.4	14.6	13.9
29.2	22.1	21.4	20.8	19.9	19.0	18.3	17.7	17.0	16.6	16.0	15.6	14.8	14.1
29.4	22.4	21.7	21.1	20.2	19.3	18.6	17.9	17.2	16.8	16.2	15.8	15.0	14.2
29.6	22.7	22.0	21.3	20.4	19.5	18.8	18.2	17.5	17.0	16.4	16.0	15.1	14.4
29.8	23.0	22.3	21.6	20.7	19.8	19.1	18.4	17.7	17.2	16.6	16.2	15.3	14.5
30.0	23.3	22.6	21.9	21.0	20.0	19.3	18.6	17.9	17.4	16.8	16.4	15.4	14.7
30.2	23.6	22.9	22.2	21.2	20.3	19.6	18.9	18.2	17.6	17.0	16.6	15.6	14.9
30.4	23.9	23.2	22.5	21.5	20.6	19.8	19.1	18.4	17.8	17.2	16.8	15.8	15.1
30.6	24.3	23.6	22.8	21.9	20.9	20.2	19.4	18.7	18.0	17.5	17.0	16.0	15.2
30.8	24.6	23.9	23.1	22.1	21.2	20.4	19.7	18.9	18.2	17.7	17.2	16.2	15.4
31.0	24.9	24.2	23.4	22.4	21.4	20.7	19.9	19.2	18.4	17.9	17.4	16.4	15.5
31.2	25.2	24.4	23.7	22.7	21.7	20.9	20.2	19.4	18.6	18.1	17.6	16.6	15.7
31.4	25.6	24.8	24.1	23.0	22.0	21.2	20.5	19.7	18.9	18.4	17.8	16.9	15.8
31.6	25.9	25.1	24.3	23.3	22.3	21.5	20.7	19.9	19.2	18.6	18.0	17.1	16.0
31.8	26.2	25.4	24.6	23.6	22.5	21.7	21.0	20.2	19.4	18.9	18.2	17.3	16.2
32.0	26.5	25.7	24.9	23.9	22.8	22.0	21.2	20.4	19.6	19.1	18.4	17.5	16.4
32.2	26.9	26.1	25.3	24.2	23.1	22.3	21.5	20.7	19.9	19.4	18.6	17.7	16.6
32.4	27.2	26.4	25.6	24.5	23.4	22.6	21.8	20.9	20.1	19.6	18.8	17.9	16.8
32.6	27.6	26.8	25.9	24.8	23.7	22.9	22.1	21.3	20.4	19.9	19.0	18.1	17.0

续表 E. 0.1

平均 回弹值 R_m	测区混凝土强度换算值 $f_{cu,i}^e$ (MPa)													
	平均碳化深度值 d_m (mm)													
	0	0.5	1.0	1.5	2.0	2.5	3.0	3.5	4.0	4.5	5.0	5.5	≥ 6	
32.8	27.9	27.1	26.2	25.1	24.0	23.2	22.3	21.5	20.6	20.1	19.2	18.3	17.2	
33.0	28.2	27.4	26.5	25.4	24.3	23.4	22.6	21.7	20.9	20.3	19.4	18.5	17.4	
33.2	28.6	27.7	26.8	25.7	24.6	23.7	22.9	22.0	21.2	20.5	19.6	18.7	17.6	
33.4	28.9	28.0	27.1	26.0	24.9	24.0	23.1	22.3	21.4	20.7	19.8	18.9	17.8	
33.6	29.3	28.4	27.4	26.4	25.2	24.2	23.3	22.6	21.7	20.9	20.0	19.1	18.0	
33.8	29.6	28.7	27.7	26.6	25.4	24.4	23.5	22.8	21.9	21.1	20.2	19.3	18.2	
34.0	30.0	29.1	28.0	26.8	25.6	24.6	23.7	23.0	22.1	21.3	20.4	19.5	18.3	
34.2	30.3	29.4	28.3	27.0	25.8	24.8	23.9	23.2	22.3	21.5	20.6	19.7	18.4	
34.4	30.7	29.8	28.6	27.2	26.0	25.0	24.1	23.4	22.5	21.7	20.8	19.8	18.6	
34.6	31.1	30.2	28.9	27.4	26.2	25.2	24.3	23.6	22.7	21.9	21.0	20.0	18.8	
34.8	31.4	30.5	29.2	27.6	26.4	25.4	24.5	23.8	22.9	22.1	21.2	20.2	19.0	
35.0	31.8	30.8	29.6	28.0	26.7	25.8	24.8	24.0	23.2	22.3	21.4	20.4	19.2	
35.2	32.1	31.1	29.9	28.2	27.0	26.0	25.0	24.2	23.4	22.5	21.6	20.6	19.4	
35.4	32.5	31.5	30.2	28.6	27.3	26.3	25.4	24.4	23.7	22.8	21.8	20.8	19.6	
35.6	32.9	31.9	30.6	29.0	27.6	26.6	25.7	24.7	24.0	23.0	22.0	21.0	19.8	
35.8	33.3	32.3	31.0	29.3	28.0	27.0	26.0	25.0	24.3	23.3	22.2	21.2	20.0	
36.0	33.6	32.6	31.2	29.6	28.2	27.2	26.2	25.2	24.5	23.5	22.4	21.4	20.2	
36.2	34.0	33.0	31.6	29.9	28.6	27.5	26.5	25.5	24.8	23.8	22.6	21.6	20.4	
36.4	34.4	33.4	32.0	30.3	28.9	27.9	26.8	25.8	25.1	24.1	22.8	21.8	20.6	
36.6	34.8	33.8	32.4	30.6	29.2	28.2	27.1	26.1	25.4	24.4	23.0	22.0	20.9	
36.8	35.2	34.1	32.7	31.0	29.6	28.5	27.5	26.4	25.7	24.6	23.2	22.2	21.1	
37.0	35.5	34.4	33.0	31.2	29.8	28.8	27.7	26.6	25.9	24.8	23.4	22.4	21.3	
37.2	35.9	34.8	33.4	31.6	30.2	29.1	28.0	26.9	26.2	25.1	23.7	22.6	21.5	
37.4	36.3	35.2	33.8	31.9	30.5	29.4	28.3	27.2	26.6	25.4	24.0	22.9	21.8	

续表 E. 0.1

平均回弹值 <i>R_m</i>	测区混凝土强度换算值 $f_{cu,i}^e$ (MPa)												
	平均碳化深度值 d_m (mm)												
	0	0.5	1.0	1.5	2.0	2.5	3.0	3.5	4.0	4.5	5.0	5.5	≥ 6
37.6	36.7	35.6	34.1	32.3	30.8	29.7	28.6	27.5	26.8	25.7	24.2	23.1	22.0
37.8	37.1	36.0	34.5	32.6	31.2	30.0	28.9	27.8	27.1	26.0	24.5	23.4	22.3
38.0	37.5	36.4	34.9	33.0	31.5	30.3	29.2	28.1	27.4	26.2	24.8	23.6	22.5
38.2	37.9	36.8	35.2	33.4	31.8	30.6	29.5	28.4	27.7	26.5	25.0	23.9	22.7
38.4	38.3	37.2	35.6	33.7	32.1	30.9	29.8	28.7	28.0	26.8	25.3	24.1	23.0
38.6	38.7	37.5	36.0	34.1	32.4	31.2	30.1	29.0	28.3	27.0	25.5	24.4	23.2
38.8	39.1	37.9	36.4	34.4	32.7	31.5	30.4	29.3	28.5	27.2	25.8	24.6	23.5
39.0	39.5	38.2	36.7	34.7	33.0	31.8	30.6	29.6	28.8	27.4	26.0	24.8	23.7
39.2	39.9	38.5	37.0	35.0	33.3	32.1	30.8	29.8	29.0	27.6	26.2	25.0	24.0
39.4	40.3	38.8	37.3	35.3	33.6	32.4	31.0	30.0	29.2	27.8	26.4	25.2	24.2
39.6	40.7	39.1	37.6	35.6	33.9	32.7	31.2	30.2	29.4	28.0	26.6	25.4	24.4
39.8	41.2	39.6	38.0	35.9	34.2	33.0	31.4	30.5	29.7	28.2	26.8	25.6	24.7
40.0	41.6	39.9	38.3	36.2	34.5	33.3	31.7	30.8	30.0	28.4	27.0	25.8	25.0
40.2	42.0	40.3	38.6	36.5	34.8	33.6	32.0	31.1	30.2	28.6	27.3	26.0	25.2
40.4	42.4	40.7	39.0	36.9	35.1	33.9	32.3	31.4	30.5	28.8	27.6	26.2	25.4
40.6	42.8	41.1	39.4	37.2	35.4	34.2	32.6	31.7	30.8	29.1	27.8	26.5	25.7
40.8	43.3	41.6	39.8	37.7	35.7	34.5	32.9	32.0	31.2	29.4	28.1	26.8	26.0
41.0	43.7	42.0	40.2	38.0	36.0	34.8	33.2	32.3	31.5	29.7	28.4	27.1	26.2
41.2	44.1	42.3	40.6	38.4	36.3	35.1	33.5	32.6	31.8	30.0	28.7	27.3	26.5
41.4	44.5	42.7	40.9	38.7	36.6	35.4	33.8	32.9	32.0	30.3	28.9	27.6	26.7
41.6	45.0	43.2	41.4	39.2	36.9	35.7	34.2	33.3	32.4	30.6	29.2	27.9	27.0
41.8	45.4	43.6	41.8	39.5	37.2	36.0	34.5	33.6	32.7	30.9	29.5	28.1	27.2
42.0	45.9	44.1	42.2	39.9	37.6	36.3	34.9	34.0	33.0	31.2	29.8	28.5	27.5
42.2	46.3	44.4	42.6	40.3	38.0	36.6	35.2	34.3	33.3	31.5	30.1	28.7	27.8

续表 E. 0.1

平均回弹值 <i>R_m</i>	测区混凝土强度换算值 $f_{cu,i}^c$ (MPa)												
	平均碳化深度值 d_m (mm)												
	0	0.5	1.0	1.5	2.0	2.5	3.0	3.5	4.0	4.5	5.0	5.5	≥6
42.4	46.7	44.8	43.0	40.6	38.3	36.9	35.5	34.6	33.6	31.8	30.4	29.0	28.0
42.6	47.2	45.3	43.4	41.1	38.7	37.3	35.9	34.9	34.0	32.1	30.7	29.3	28.3
42.8	47.6	45.7	43.8	41.4	39.0	37.6	36.2	35.2	34.3	32.4	30.9	29.5	28.6
43.0	48.1	46.2	44.2	41.8	39.4	38.0	36.6	35.6	34.6	32.7	31.3	29.8	28.9
43.2	48.5	46.6	44.6	42.2	39.8	38.3	36.9	35.9	34.9	33.0	31.5	30.1	29.1
43.4	49.0	47.0	45.1	42.6	40.2	38.7	37.2	36.3	35.3	33.3	31.8	30.4	29.4
43.6	49.4	47.4	45.4	43.0	40.5	39.0	37.5	36.6	35.6	33.6	32.1	30.6	29.6
43.8	49.9	47.9	45.9	43.4	40.9	39.4	37.9	36.9	35.9	33.9	32.4	30.9	29.9
44.0	50.4	48.4	46.4	43.8	41.3	39.8	38.3	37.3	36.3	34.3	32.8	31.2	30.2
44.2	50.8	48.8	46.7	44.2	41.7	40.1	38.6	37.6	36.6	34.5	33.0	31.5	30.5
44.4	51.3	49.2	47.2	44.6	42.1	40.5	39.0	38.0	36.9	34.9	33.3	31.8	30.8
44.6	51.7	49.6	47.6	45.0	42.4	40.8	39.3	38.3	37.2	35.2	33.6	32.1	31.0
44.8	52.2	50.1	48.0	45.4	42.8	41.2	39.7	38.6	37.6	35.5	33.9	32.4	31.3
45.0	52.7	50.6	48.5	45.8	43.2	41.6	40.1	39.0	37.9	35.8	34.3	32.7	31.6
45.2	53.2	51.1	48.9	46.3	43.6	42.0	40.4	39.4	38.3	36.2	34.6	33.0	31.9
45.4	53.6	51.5	49.4	46.6	44.0	42.3	40.7	39.7	38.6	36.4	34.8	33.2	32.2
45.6	54.1	51.9	49.8	47.1	44.4	42.7	41.1	40.0	39.0	36.8	35.2	33.5	32.5
45.8	54.6	52.4	50.2	47.5	44.8	43.1	41.5	40.4	39.3	37.1	35.5	33.9	32.8
46.0	55.0	52.8	50.6	47.9	45.2	43.5	41.9	40.8	39.7	37.5	35.8	34.2	33.1
46.2	55.5	53.3	51.1	48.3	45.5	43.8	42.2	41.1	40.0	37.7	36.1	34.4	33.3
46.4	56.0	53.8	51.5	48.7	45.9	44.2	42.6	41.4	40.3	38.1	36.4	34.7	33.6
46.6	56.5	54.2	52.0	49.2	46.3	44.6	42.9	41.8	40.7	38.4	36.7	35.0	33.9
46.8	57.0	54.7	52.4	49.6	46.7	45.0	43.3	42.2	41.0	38.8	37.0	35.3	34.2
47.0	57.5	55.2	52.9	50.0	47.2	45.2	43.7	42.6	41.4	39.1	37.4	35.6	34.5

续表 E. 0.1

平均 回弹值 R_m	测区混凝土强度换算值 $f_{cu,i}^e$ (MPa)													
	平均碳化深度值 d_m (mm)													
	0	0.5	1.0	1.5	2.0	2.5	3.0	3.5	4.0	4.5	5.0	5.5	≥ 6	
47.2	58.0	55.7	53.4	50.5	47.6	45.8	44.1	42.9	41.8	39.4	37.7	36.0	34.8	
47.4	58.5	56.2	53.8	50.9	48.0	46.2	44.5	43.3	42.1	39.8	38.0	36.3	35.1	
47.6	59.0	56.6	54.3	51.3	48.4	46.6	44.8	43.7	42.5	40.1	38.4	36.6	35.4	
47.8	59.5	57.1	54.7	51.8	48.8	47.0	45.2	44.0	42.8	40.5	38.7	36.9	35.7	
48.0	60.0	57.6	55.2	52.2	49.2	47.4	45.6	44.4	43.2	40.8	39.0	37.2	36.0	
48.2	—	58.0	55.7	52.6	49.6	47.8	46.0	44.8	43.6	41.1	39.3	37.5	36.3	
48.4	—	58.6	56.1	53.1	50.0	48.2	46.4	45.1	43.9	41.5	39.6	37.8	36.6	
48.6	—	59.0	56.6	53.5	50.4	48.6	46.7	45.5	44.3	41.8	40.0	38.1	36.9	
48.8	—	59.5	57.1	54.0	50.9	49.0	47.1	45.9	44.6	42.2	40.3	38.4	37.2	
49.0	—	60.0	57.5	54.4	51.3	49.4	47.5	46.2	45.0	42.5	40.6	38.8	37.5	
49.2	—	—	58.0	54.8	51.7	49.8	47.9	46.6	45.4	42.8	41.0	39.1	37.8	
49.4	—	—	58.5	55.3	52.1	50.2	48.3	47.1	45.8	43.2	41.3	39.4	38.2	
49.6	—	—	58.9	55.7	52.5	50.6	48.7	47.4	46.2	43.6	41.7	39.7	38.5	
49.8	—	—	59.4	56.2	53.0	51.0	49.1	47.8	46.5	43.9	42.0	40.1	38.8	
50.0	—	—	59.9	56.7	53.4	51.4	49.5	48.2	46.9	44.3	42.3	40.4	39.1	
50.2	—	—	60.0	57.1	53.8	51.9	49.9	48.5	47.2	44.6	42.6	40.7	39.4	
50.4	—	—	—	57.6	54.3	52.3	50.3	49.0	47.7	45.0	43.0	41.0	39.7	
50.6	—	—	—	58.0	54.7	52.7	50.7	49.4	48.0	45.4	43.4	41.4	40.0	
50.8	—	—	—	58.5	55.1	53.1	51.1	49.8	48.4	45.7	43.7	41.7	40.3	
51.0	—	—	—	59.0	55.6	53.5	51.5	50.1	48.8	46.1	44.1	42.0	40.7	
51.2	—	—	—	59.4	56.0	54.0	51.9	50.5	49.2	46.4	44.4	42.3	41.0	
51.4	—	—	—	59.9	56.4	54.4	52.3	50.9	49.6	46.8	44.7	42.7	41.3	
51.6	—	—	—	60.0	56.9	54.8	52.7	51.3	50.0	47.2	45.1	43.0	41.6	
51.8	—	—	—	—	57.3	55.2	53.1	51.7	50.3	47.5	45.4	43.3	41.8	

续表 E.0.1

平均回弹值 <i>R_m</i>	测区混凝土强度换算值 $f_{cu,i}^c$ (MPa)												
	平均碳化深度值 d_m (mm)												
	0	0.5	1.0	1.5	2.0	2.5	3.0	3.5	4.0	4.5	5.0	5.5	≥ 6
52.0	—	—	—	—	57.8	55.7	53.6	52.1	50.7	47.9	45.8	43.7	42.3
52.2	—	—	—	—	58.2	56.1	54.0	52.5	51.1	48.3	46.2	44.0	42.6
52.4	—	—	—	—	58.7	56.5	54.4	53.0	51.5	48.7	46.5	44.4	43.0
52.6	—	—	—	—	59.1	57.0	54.8	53.4	51.9	49.0	46.9	44.7	43.3
52.8	—	—	—	—	59.6	57.4	55.2	53.8	52.3	49.4	47.3	45.1	43.6
53.0	—	—	—	—	60.0	57.8	55.6	54.2	52.7	49.8	47.6	45.4	43.9
53.2	—	—	—	—	—	58.3	56.1	54.6	53.1	50.2	48.0	45.8	44.3
53.4	—	—	—	—	—	58.7	56.5	55.0	53.5	50.5	48.3	46.1	44.6
53.6	—	—	—	—	—	59.2	56.9	55.4	53.9	50.9	48.7	46.4	44.9
53.8	—	—	—	—	—	59.6	57.3	55.8	54.3	51.3	49.0	46.8	45.3
54.0	—	—	—	—	—	60.0	57.8	56.3	54.7	51.7	49.4	47.1	45.6
54.2	—	—	—	—	—	—	58.2	56.7	55.1	52.1	49.8	47.5	46.0
54.4	—	—	—	—	—	—	58.6	57.1	55.6	52.5	50.2	47.9	46.3
54.6	—	—	—	—	—	—	59.1	57.5	56.0	52.9	50.5	48.2	46.6
54.8	—	—	—	—	—	—	59.5	57.9	56.4	53.2	50.9	48.5	47.0
55.0	—	—	—	—	—	—	59.9	58.4	56.8	53.6	51.3	48.9	47.3
55.2	—	—	—	—	—	—	60.0	58.8	57.2	54.0	51.6	49.3	47.7
55.4	—	—	—	—	—	—	—	59.2	57.6	54.4	52.0	49.6	48.0
55.6	—	—	—	—	—	—	—	59.7	58.0	54.8	52.4	50.0	48.4
55.8	—	—	—	—	—	—	—	60.0	58.5	55.2	52.8	50.3	48.7
56.0	—	—	—	—	—	—	—	—	58.9	55.6	53.2	50.7	49.1
56.2	—	—	—	—	—	—	—	—	59.3	56.0	53.5	51.1	49.4
56.4	—	—	—	—	—	—	—	—	59.7	56.4	53.9	51.4	49.8
56.6	—	—	—	—	—	—	—	—	60.0	56.8	54.3	51.8	50.1

续表 E. 0.1

平均 回弹值 R_m	测区混凝土强度换算值 $f_{cu,i}^e$ (MPa)												
	平均碳化深度值 d_m (mm)												
	0	0.5	1.0	1.5	2.0	2.5	3.0	3.5	4.0	4.5	5.0	5.5	≥ 6
56.8	—	—	—	—	—	—	—	—	—	57.2	54.7	52.2	50.5
57.0	—	—	—	—	—	—	—	—	—	57.6	55.1	52.5	50.8
57.2	—	—	—	—	—	—	—	—	—	58.0	55.5	52.9	51.2
57.4	—	—	—	—	—	—	—	—	—	58.4	55.9	53.3	51.6
57.6	—	—	—	—	—	—	—	—	—	58.9	56.3	53.7	51.9
57.8	—	—	—	—	—	—	—	—	—	59.3	56.7	54.0	52.3
58.0	—	—	—	—	—	—	—	—	—	59.7	57.0	54.4	52.7
58.2	—	—	—	—	—	—	—	—	—	60.0	57.4	54.8	53.0
58.4	—	—	—	—	—	—	—	—	—	—	57.8	55.2	53.4
58.6	—	—	—	—	—	—	—	—	—	—	58.2	55.6	53.8
58.8	—	—	—	—	—	—	—	—	—	—	58.6	55.9	54.1
59.0	—	—	—	—	—	—	—	—	—	—	59.0	56.3	54.5
59.2	—	—	—	—	—	—	—	—	—	—	59.4	56.7	54.9
59.4	—	—	—	—	—	—	—	—	—	—	59.8	57.1	55.2
59.6	—	—	—	—	—	—	—	—	—	—	60.0	57.5	55.6
59.8	—	—	—	—	—	—	—	—	—	—	—	57.9	56.0
60.0	—	—	—	—	—	—	—	—	—	—	—	58.3	56.4

注:表中未注明的测区混凝土强度换算值为小于 10 MPa 或大于 60 MPa。

附录 F 回弹法泵送混凝土测区强度换算 (回弹仪标称动能 2.207 J)

F.0.1 回弹法泵送混凝土测区强度换算(回弹仪标称动能 2.207 J)
宜按表 F.0.1 取值。

表 F.0.1 回弹法泵送混凝土测区强度换算表

平均回弹值 <i>R_m</i>	测区混凝土强度换算值 $f_{cu,i}^e$ (MPa)												
	平均碳化深度值 d_m (mm)												
	0	0.5	1.0	1.5	2.0	2.5	3.0	3.5	4.0	4.5	5.0	5.5	≥6
18.6	10.0	—	—	—	—	—	—	—	—	—	—	—	—
18.8	10.2	10.0	—	—	—	—	—	—	—	—	—	—	—
19.0	10.4	10.2	10.0	—	—	—	—	—	—	—	—	—	—
19.2	10.6	10.4	10.2	10.0	—	—	—	—	—	—	—	—	—
19.4	10.9	10.7	10.4	10.2	10.0	—	—	—	—	—	—	—	—
19.6	11.1	10.9	10.6	10.4	10.2	10.0	—	—	—	—	—	—	—
19.8	11.3	11.1	10.9	10.6	10.4	10.2	10.0	—	—	—	—	—	—
20.0	11.5	11.3	11.1	10.9	10.6	10.4	10.2	10.0	—	—	—	—	—
20.2	11.8	11.5	11.3	11.1	10.9	10.6	10.4	10.2	10.0	—	—	—	—
20.4	12.0	11.7	11.5	11.3	11.1	10.8	10.6	10.4	10.2	10.0	—	—	—
20.6	12.2	12.0	11.7	11.5	11.3	11.0	10.8	10.6	10.4	10.2	10.0	—	—
20.8	12.4	12.2	12.0	11.7	11.5	11.3	11.0	10.8	10.6	10.4	10.2	10.0	—
21.0	12.7	12.4	12.2	11.9	11.7	11.5	11.2	11.0	10.8	10.6	10.4	10.2	10.0
21.2	12.9	12.7	12.4	12.2	11.9	11.7	11.5	11.2	11.0	10.8	10.6	10.4	10.2
21.4	13.1	12.9	12.6	12.4	12.1	11.9	11.7	11.4	11.2	11.0	10.8	10.6	10.3
21.6	13.4	13.1	12.9	12.6	12.4	12.1	11.9	11.6	11.4	11.2	11.0	10.7	10.5

续表 F.0.1

平均 回弹值 R_m	测区混凝土强度换算值 $f_{cu,i}^e$ (MPa)													
	平均碳化深度值 d_m (mm)													
	0	0.5	1.0	1.5	2.0	2.5	3.0	3.5	4.0	4.5	5.0	5.5	≥ 6	
21.8	13.6	13.4	13.1	12.8	12.6	12.3	12.1	11.9	11.6	11.4	11.2	10.9	10.7	
22.0	13.9	13.6	13.3	13.1	12.8	12.6	12.3	12.1	11.8	11.6	11.4	11.1	10.9	
22.2	14.1	13.8	13.6	13.3	13.0	12.8	12.5	12.3	12.0	11.8	11.6	11.3	11.1	
22.4	14.4	14.1	13.8	13.5	13.3	13.0	12.7	12.5	12.2	12.0	11.8	11.5	11.3	
22.6	14.6	14.3	14.0	13.8	13.5	13.2	13.0	12.7	12.5	12.2	12.0	11.7	11.5	
22.8	14.9	14.6	14.3	14.0	13.7	13.5	13.2	12.9	12.7	12.4	12.2	11.9	11.7	
23.0	15.1	14.8	14.5	14.2	14.0	13.7	13.4	13.1	12.9	12.6	12.4	12.1	11.9	
23.2	15.4	15.1	14.8	14.5	14.2	13.9	13.6	13.4	13.1	12.8	12.6	12.3	12.1	
23.4	15.6	15.3	15.0	14.7	14.4	14.1	13.9	13.6	13.3	13.1	12.8	12.6	12.3	
23.6	15.9	15.6	15.3	15.0	14.7	14.4	14.1	13.8	13.5	13.3	13.0	12.8	12.5	
23.8	16.2	15.8	15.5	15.2	14.9	14.6	14.3	14.1	13.8	13.5	13.2	13.0	12.7	
24.0	16.4	16.1	15.8	15.5	15.2	14.9	14.6	14.3	14.0	13.7	13.5	13.2	12.9	
24.2	16.7	16.4	16.0	15.7	15.4	15.1	14.8	14.5	14.2	13.9	13.7	13.4	13.1	
24.4	17.0	16.6	16.3	16.0	15.7	15.3	15.0	14.7	14.5	14.2	13.9	13.6	13.3	
24.6	17.2	16.9	16.5	16.2	15.9	15.6	15.3	15.0	14.7	14.4	14.1	13.8	13.6	
24.8	17.5	17.1	16.8	16.5	16.2	15.8	15.5	15.2	14.9	14.6	14.3	14.1	13.8	
25.0	17.8	17.4	17.1	16.7	16.4	16.1	15.8	15.5	15.2	14.9	14.6	14.3	14.0	
25.2	18.0	17.7	17.3	17.0	16.7	16.3	16.0	15.7	15.4	15.1	14.8	14.5	14.2	
25.4	18.3	18.0	17.6	17.3	16.9	16.6	16.3	15.9	15.6	15.3	15.0	14.7	14.4	
25.6	18.6	18.2	17.9	17.5	17.2	16.8	16.5	16.2	15.9	15.6	15.2	14.9	14.7	
25.8	18.9	18.5	18.2	17.8	17.4	17.1	16.8	16.4	16.1	15.8	15.5	15.2	14.9	
26.0	19.2	18.8	18.4	18.1	17.7	17.4	17.0	16.7	16.3	16.0	15.7	15.4	15.1	
26.2	19.5	19.1	18.7	18.3	18.0	17.6	17.3	16.9	16.6	16.3	15.9	15.6	15.3	
26.4	19.8	19.4	19.0	18.6	18.2	17.9	17.5	17.2	16.8	16.5	16.2	15.9	15.6	

续表 F. 0.1

平均 回弹值 R_m	测区混凝土强度换算值 $f_{cu,i}^e$ (MPa)												
	平均碳化深度值 d_m (mm)												
	0	0.5	1.0	1.5	2.0	2.5	3.0	3.5	4.0	4.5	5.0	5.5	≥ 6
26.6	20.0	19.6	19.3	18.9	18.5	18.1	17.8	17.4	17.1	16.8	16.4	16.1	15.8
26.8	20.3	19.9	19.5	19.2	18.8	18.4	18.0	17.7	17.3	17.0	16.7	16.3	16.0
27.0	20.6	20.2	19.8	19.4	19.1	18.7	18.3	17.9	17.6	17.2	16.9	16.6	16.2
27.2	20.9	20.5	20.1	19.7	19.3	18.9	18.6	18.2	17.8	17.5	17.1	16.8	16.5
27.4	21.2	20.8	20.4	20.0	19.6	19.2	18.8	18.5	18.1	17.7	17.4	17.1	16.7
27.6	21.5	21.1	20.7	20.3	19.9	19.5	19.1	18.7	18.4	18.0	17.6	17.3	17.0
27.8	21.8	21.4	21.0	20.6	20.2	19.8	19.4	19.0	18.6	18.3	17.9	17.5	17.2
28.0	22.1	21.7	21.3	20.9	20.4	20.0	19.6	19.3	18.9	18.5	18.1	17.8	17.4
28.2	22.4	22.0	21.6	21.1	20.7	20.3	19.9	19.5	19.1	18.8	18.4	18.0	17.7
28.4	22.8	22.3	21.9	21.4	21.0	20.6	20.2	19.8	19.4	19.0	18.6	18.3	17.9
28.6	23.1	22.6	22.2	21.7	21.3	20.9	20.5	20.1	19.7	19.3	18.9	18.5	18.2
28.8	23.4	22.9	22.5	22.0	21.6	21.2	20.7	20.3	19.9	19.5	19.2	18.8	18.4
29.0	23.7	23.2	22.8	22.3	21.9	21.5	21.0	20.6	20.2	19.8	19.4	19.0	18.7
29.2	24.0	23.5	23.1	22.6	22.2	21.7	21.3	20.9	20.5	20.1	19.7	19.3	18.9
29.4	24.3	23.9	23.4	22.9	22.5	22.0	21.6	21.2	20.8	20.3	19.9	19.5	19.2
29.6	24.7	24.2	23.7	23.2	22.8	22.3	21.9	21.4	21.0	20.6	20.2	19.8	19.4
29.8	25.0	24.5	24.0	23.5	23.1	22.6	22.2	21.7	21.3	20.9	20.5	20.1	19.7
30.0	25.3	24.8	24.3	23.8	23.4	22.9	22.5	22.0	21.6	21.2	20.7	20.3	19.9
30.2	25.6	25.1	24.6	24.2	23.7	23.2	22.8	22.3	21.9	21.4	21.0	20.6	20.2
30.4	26.0	25.5	25.0	24.5	24.0	23.5	23.0	22.6	22.1	21.7	21.3	20.9	20.4
30.6	26.3	25.8	25.3	24.8	24.3	23.8	23.3	22.9	22.4	22.0	21.6	21.1	20.7
30.8	26.6	26.1	25.6	25.1	24.6	24.1	23.6	23.2	22.7	22.3	21.8	21.4	21.0
31.0	27.0	26.4	25.9	25.4	24.9	24.4	23.9	23.5	23.0	22.5	22.1	21.7	21.2
31.2	27.3	26.8	26.2	25.7	25.2	24.7	24.2	23.8	23.3	22.8	22.4	21.9	21.5

续表 F. 0.1

平均 回弹值 R_m	测区混凝土强度换算值 $f_{cu,i}^e$ (MPa)													
	平均碳化深度值 d_m (mm)													
	0	0.5	1.0	1.5	2.0	2.5	3.0	3.5	4.0	4.5	5.0	5.5	≥ 6	
31.4	27.7	27.1	26.6	26.0	25.5	25.0	24.5	24.1	23.6	23.1	22.7	22.2	21.8	
31.6	28.0	27.4	26.9	26.4	25.9	25.3	24.8	24.4	23.9	23.4	22.9	22.5	22.0	
31.8	28.3	27.8	27.2	26.7	26.2	25.7	25.1	24.7	24.2	23.7	23.2	22.8	22.3	
32.0	28.7	28.1	27.6	27.0	26.5	26.0	25.5	25.0	24.5	24.0	23.5	23.0	22.6	
32.2	29.0	28.5	27.9	27.4	26.8	26.3	25.8	25.3	24.8	24.3	23.8	23.3	22.9	
32.4	29.4	28.8	28.2	27.7	27.1	26.6	26.1	25.6	25.1	24.6	24.1	23.6	23.1	
32.6	29.7	29.2	28.6	28.0	27.5	26.9	26.4	25.9	25.4	24.9	24.4	23.9	23.4	
32.8	30.1	29.5	28.9	28.3	27.8	27.2	26.7	26.2	25.7	25.2	24.7	24.2	23.7	
33.0	30.4	29.8	29.3	28.7	28.1	27.6	27.0	26.5	26.0	25.5	25.0	24.5	24.0	
33.2	30.8	30.2	29.6	29.0	28.4	27.9	27.3	26.8	26.3	25.8	25.2	24.7	24.3	
33.4	31.2	30.6	30.0	29.4	28.8	28.2	27.7	27.1	26.6	26.1	25.5	25.0	24.5	
33.6	31.5	30.9	30.3	29.7	29.1	28.5	28.0	27.4	26.9	26.4	25.8	25.3	24.8	
33.8	31.9	31.3	30.7	30.0	29.5	28.9	28.3	27.7	27.2	26.7	26.1	25.6	25.1	
34.0	32.3	31.6	31.0	30.4	29.8	29.2	28.6	28.1	27.5	27.0	26.4	25.9	25.4	
34.2	32.6	32.0	31.4	30.7	30.1	29.5	29.0	28.4	27.8	27.3	26.7	26.2	25.7	
34.4	33.0	32.4	31.7	31.1	30.5	29.9	29.3	28.7	28.1	27.6	27.0	26.5	26.0	
34.6	33.4	32.7	32.1	31.4	30.8	30.2	29.6	29.0	28.5	27.9	27.4	26.8	26.3	
34.8	33.8	33.1	32.4	31.8	31.2	30.6	30.0	29.4	28.8	28.2	27.7	27.1	26.6	
35.0	34.1	33.5	32.8	32.2	31.5	30.9	30.3	29.7	29.1	28.5	28.0	27.4	26.9	
35.2	34.5	33.8	33.2	32.5	31.9	31.2	30.6	30.0	29.4	28.8	28.3	27.7	27.2	
35.4	34.9	34.2	33.5	32.9	32.2	31.6	31.0	30.4	29.8	29.2	28.6	28.0	27.5	
35.6	35.3	34.6	33.9	33.2	32.6	31.9	31.3	30.7	30.1	29.5	28.9	28.3	27.8	
35.8	35.7	35.0	34.3	33.6	32.9	32.3	31.6	31.0	30.4	29.8	29.2	28.6	28.1	
36.0	36.0	35.3	34.6	34.0	33.3	32.6	32.0	31.4	30.7	30.1	29.5	29.0	28.4	

续表 F.0.1

平均 回弹值 <i>R_m</i>	测区混凝土强度换算值 $f_{cu,i}^e$ (MPa)												
	平均碳化深度值 d_m (mm)												
	0	0.5	1.0	1.5	2.0	2.5	3.0	3.5	4.0	4.5	5.0	5.5	≥ 6
36.2	36.4	35.7	35.0	34.3	33.6	33.0	32.3	31.7	31.1	30.5	29.9	29.3	28.7
36.4	36.8	36.1	35.4	34.7	34.0	33.3	32.7	32.0	31.4	30.8	30.2	29.6	29.0
36.6	37.2	36.5	35.8	35.1	34.4	33.7	33.0	32.4	31.7	31.1	30.5	29.9	29.3
36.8	37.6	36.9	36.2	35.4	34.7	34.1	33.4	32.7	32.1	31.4	30.8	30.2	29.6
37.0	38.0	37.3	36.5	35.8	35.1	34.4	33.7	33.1	32.4	31.8	31.2	30.5	29.9
37.2	38.4	37.7	36.9	36.2	35.5	34.8	34.1	33.4	32.8	32.1	31.5	30.9	30.2
37.4	38.8	38.1	37.3	36.6	35.8	35.1	34.4	33.8	33.1	32.4	31.8	31.2	30.6
37.6	39.2	38.4	37.7	36.9	36.2	35.5	34.8	34.1	33.4	32.8	32.1	31.5	30.9
37.8	39.6	38.8	38.1	37.3	36.6	35.9	35.2	34.5	33.8	33.1	32.5	31.8	31.2
38.0	40.0	39.2	38.5	37.7	37.0	36.2	35.5	34.8	34.1	33.5	32.8	32.2	31.5
38.2	40.4	39.6	38.9	38.1	37.3	36.6	35.9	35.2	34.5	33.8	33.1	32.5	31.8
38.4	40.9	40.1	39.3	38.5	37.7	37.0	36.3	35.5	34.8	34.2	33.5	32.8	32.2
38.6	41.3	40.5	39.7	38.9	38.1	37.4	36.6	35.9	35.2	34.5	33.8	33.2	32.5
38.8	41.7	40.9	40.1	39.3	38.5	37.7	37.0	36.3	35.5	34.8	34.2	33.5	32.8
39.0	42.1	41.3	40.5	39.7	38.9	38.1	37.4	36.6	35.9	35.2	34.5	33.8	33.2
39.2	42.5	41.7	40.9	40.1	39.3	38.5	37.7	37.0	36.3	35.5	34.8	34.2	33.5
39.4	42.9	42.1	41.3	40.5	39.7	38.9	38.1	37.4	36.6	35.9	35.2	34.5	33.8
39.6	43.4	42.5	41.7	40.9	40.0	39.3	38.5	37.7	37.0	36.3	35.5	34.8	34.2
39.8	43.8	42.9	42.1	41.3	40.4	39.6	38.9	38.1	37.3	36.6	35.9	35.2	34.5
40.0	44.2	43.4	42.5	41.7	40.8	40.0	39.2	38.5	37.7	37.0	36.2	35.5	34.8
40.2	44.7	43.8	42.9	42.1	41.2	40.4	39.6	38.8	38.1	37.3	36.6	35.9	35.2
40.4	45.1	44.2	43.3	42.5	41.6	40.8	40.0	39.2	38.4	37.7	36.9	36.2	35.5
40.6	45.5	44.6	43.7	42.9	42.0	41.2	40.4	39.6	38.8	38.1	37.3	36.6	35.8
40.8	46.0	45.1	44.2	43.3	42.4	41.6	40.8	40.0	39.2	38.4	37.7	36.9	36.2

续表 F. 0.1

平均 回弹值 <i>R_m</i>	测区混凝土强度换算值 $f_{cu,i}^e$ (MPa)													
	平均碳化深度值 d_m (mm)													
	0	0.5	1.0	1.5	2.0	2.5	3.0	3.5	4.0	4.5	5.0	5.5	≥6	
41.0	46.4	45.5	44.6	43.7	42.8	42.0	41.2	40.4	39.6	38.8	38.0	37.3	36.5	
41.2	46.8	45.9	45.0	44.1	43.2	42.4	41.6	40.7	39.9	39.1	38.4	37.6	36.9	
41.4	47.3	46.3	45.4	44.5	43.7	42.8	42.0	41.1	40.3	39.5	38.7	38.0	37.2	
41.6	47.7	46.8	45.9	45.0	44.1	43.2	42.3	41.5	40.7	39.9	39.1	38.3	37.6	
41.8	48.2	47.2	46.3	45.4	44.5	43.6	42.7	41.9	41.1	40.3	39.5	38.7	37.9	
42.0	48.6	47.7	46.7	45.8	44.9	44.0	43.1	42.3	41.5	40.6	39.8	39.1	38.3	
42.2	49.1	48.1	47.1	46.2	45.3	44.4	43.5	42.7	41.8	41.0	40.2	39.4	38.6	
42.4	49.5	48.5	47.6	46.6	45.7	44.8	43.9	43.1	42.2	41.4	40.6	39.8	39.0	
42.6	50.0	49.0	48.0	47.1	46.1	45.2	44.3	43.5	42.6	41.8	40.9	40.1	39.3	
42.8	50.4	49.4	48.5	47.5	46.6	45.6	44.7	43.9	43.0	42.2	41.3	40.5	39.7	
43.0	50.9	49.9	48.9	47.9	47.0	46.1	45.2	44.3	43.4	42.5	41.7	40.9	40.1	
43.2	51.3	50.3	49.3	48.4	47.4	46.5	45.6	44.7	43.8	42.9	42.1	41.2	40.4	
43.4	51.8	50.8	49.8	48.8	47.8	46.9	46.0	45.1	44.2	43.3	42.5	41.6	40.8	
43.6	52.3	51.2	50.2	49.2	48.3	47.3	46.4	45.5	44.6	43.7	42.8	42.0	41.2	
43.8	52.7	51.7	50.7	49.7	48.7	47.7	46.8	45.9	45.0	44.1	43.2	42.4	41.5	
44.0	53.2	52.2	51.1	50.1	49.1	48.2	47.2	46.3	45.4	44.5	43.6	42.7	41.9	
44.2	53.7	52.6	51.6	50.6	49.6	48.6	47.6	46.7	45.8	44.9	44.0	43.1	42.3	
44.4	54.1	53.1	52.0	51.0	50.0	49.0	48.0	47.1	46.2	45.3	44.4	43.5	42.6	
44.6	54.6	53.5	52.5	51.5	50.4	49.4	48.5	47.5	46.6	45.7	44.8	43.9	43.0	
44.8	55.1	54.0	52.9	51.9	50.9	49.9	48.9	47.9	47.0	46.1	45.1	44.3	43.4	
45.0	55.6	54.5	53.4	52.4	51.3	50.3	49.3	48.3	47.4	46.5	45.5	44.6	43.8	
45.2	56.1	55.0	53.9	52.8	51.8	50.7	49.7	48.8	47.8	46.9	45.9	45.0	44.1	
45.4	56.5	55.4	54.3	53.3	52.2	51.2	50.2	49.2	48.2	47.3	46.3	45.4	44.5	
45.6	57.0	55.9	54.8	53.7	52.7	51.6	50.6	49.6	48.6	47.7	46.7	45.8	44.9	

续表 F. 0.1

平均 回弹值 R_m	测区混凝土强度换算值 $f_{con,i}^c$ (MPa)												
	平均碳化深度值 d_m (mm)												
	0	0.5	1.0	1.5	2.0	2.5	3.0	3.5	4.0	4.5	5.0	5.5	≥ 6
45.8	57.5	56.4	55.3	54.2	53.1	52.1	51.0	50.0	49.0	48.1	47.1	46.2	45.3
46.0	58.0	56.9	55.7	54.6	53.6	52.5	51.5	50.5	49.5	48.5	47.5	46.6	45.7
46.2	58.5	57.3	56.2	55.1	54.0	52.9	51.9	50.9	49.9	48.9	47.9	47.0	46.1
46.4	59.0	57.8	56.7	55.6	54.5	53.4	52.3	51.3	50.3	49.3	48.3	47.4	46.4
46.6	59.5	58.3	57.2	56.0	54.9	53.8	52.8	51.7	50.7	49.7	48.7	47.8	46.8
46.8	60.0	58.8	57.6	56.5	55.4	54.3	53.2	52.2	51.1	50.1	49.1	48.2	47.2
47.0	—	59.3	58.1	57.0	55.8	54.7	53.7	52.6	51.6	50.5	49.5	48.6	47.6
47.2	—	59.8	58.6	57.4	56.3	55.2	54.1	53.0	52.0	51.0	50.0	49.0	48.0
47.4	—	60.0	59.1	57.9	56.8	55.6	54.5	53.5	52.4	51.4	50.4	49.4	48.4
47.6	—	—	59.6	58.4	57.2	56.1	55.0	53.9	52.8	51.8	50.8	49.8	48.8
47.8	—	—	60.0	58.9	57.7	56.6	55.4	54.4	53.3	52.2	51.2	50.2	49.2
48.0	—	—	—	59.3	58.2	57.0	55.9	54.8	53.7	52.7	51.6	50.6	49.6
48.2	—	—	—	59.8	58.6	57.5	56.3	55.2	54.1	53.1	52.0	51.0	50.0
48.4	—	—	—	60.0	59.1	57.9	56.8	55.7	54.6	53.5	52.5	51.4	50.4
48.6	—	—	—	—	59.6	58.4	57.3	56.1	55.0	53.9	52.9	51.8	50.8
48.8	—	—	—	—	60.0	58.9	57.7	56.6	55.5	54.4	53.3	52.2	51.2
49.0	—	—	—	—	—	59.3	58.2	57.0	55.9	54.8	53.7	52.7	51.6
49.2	—	—	—	—	—	59.8	58.6	57.5	56.3	55.2	54.1	53.1	52.0
49.4	—	—	—	—	—	60.0	59.1	57.9	56.8	55.7	54.6	53.5	52.4
49.6	—	—	—	—	—	—	59.6	58.4	57.2	56.1	55.0	53.9	52.9
49.8	—	—	—	—	—	—	60.0	58.8	57.7	56.6	55.4	54.3	53.3
50.0	—	—	—	—	—	—	—	59.3	58.1	57.0	55.9	54.8	53.7
50.2	—	—	—	—	—	—	—	59.8	58.6	57.4	56.3	55.2	54.1
50.4	—	—	—	—	—	—	—	60.0	59.0	57.9	56.7	55.6	54.5

续表 F. 0.1

平均 回弹值 R_m	测区混凝土强度换算值 $f_{cu,i}^e$ (MPa)												
	平均碳化深度值 d_m (mm)												
	0	0.5	1.0	1.5	2.0	2.5	3.0	3.5	4.0	4.5	5.0	5.5	≥ 6
50.6	—	—	—	—	—	—	—	—	59.5	58.3	57.2	56.0	54.9
50.8	—	—	—	—	—	—	—	—	60.0	58.8	57.6	56.5	55.4
51.0	—	—	—	—	—	—	—	—	—	59.2	58.1	56.9	55.8
51.2	—	—	—	—	—	—	—	—	—	59.7	58.5	57.3	56.2
51.4	—	—	—	—	—	—	—	—	—	60.0	58.9	57.8	56.6
51.6	—	—	—	—	—	—	—	—	—	—	59.4	58.2	57.1
51.8	—	—	—	—	—	—	—	—	—	—	59.8	58.7	57.5
52.0	—	—	—	—	—	—	—	—	—	—	60.0	59.1	57.9
52.2	—	—	—	—	—	—	—	—	—	—	—	59.5	58.4
52.4	—	—	—	—	—	—	—	—	—	—	—	60.0	58.8
52.6	—	—	—	—	—	—	—	—	—	—	—	—	59.2
52.8	—	—	—	—	—	—	—	—	—	—	—	—	59.7

注:1 表中未注明的测区混凝土强度换算值为小于 10 MPa 或大于 60 MPa。

2 表中数值根据曲线公式 $f = 0.034488 R_m^{1.9400} \cdot 10^{(-0.0173d_m)}$ 计算。

附录 G 回弹法混凝土测区强度换算 (回弹仪标称动能 4.5 J 和 5.5 J)

G. 0.1 回弹法混凝土测区强度换算(回弹仪标称动能为 4.5 J)
宜按表 G. 0.1 取值。

表 G. 0.1 回弹法混凝土测区强度换算表(回弹仪标称动能为 4.5 J)

R_m	$f_{cu,i}^c$	R_m	$f_{cu,i}^c$	R_m	$f_{cu,i}^c$	R_m	$f_{cu,i}^c$
28.0	—	42.0	37.6	56.0	58.9	70.0	83.4
29.0	20.6	43.0	39.0	57.0	60.6	71.0	85.2
30.0	21.8	44.0	40.5	58.0	62.2	72.0	87.1
31.0	23.0	45.0	41.9	59.0	63.9	73.0	89.0
32.0	24.3	46.0	43.4	60.0	65.6	74.0	90.9
33.0	25.5	47.0	44.9	61.0	67.3	75.0	92.9
34.0	26.8	48.0	46.4	62.0	69.0	76.0	94.8
35.0	28.1	49.0	47.9	63.0	70.8	77.0	96.8
36.0	29.4	50.0	49.4	64.0	72.5	78.0	98.7
37.0	30.7	51.0	51.0	65.0	74.3	79.0	100.7
38.0	32.1	52.0	52.5	66.0	76.1	80.0	102.7
39.0	33.4	53.0	54.1	67.0	77.9	81.0	104.8
40.0	34.8	54.0	55.7	68.0	79.7	82.0	106.8
41.0	36.2	55.0	57.3	69.0	81.5	83.0	108.8

注:1 表内未列数值可用内插法求得,精确至 0.1 MPa。

2 表中 R_m 为测区平均回弹值, $f_{cu,i}^c$ 为测区混凝土强度换算值(MPa)。

3 表中数值是根据曲线公式 $f_{cu,i}^c = -7.83 + 0.75R_m + 0.0079R_m^2$ 计算得出。

G. 0.2 回弹法混凝土测区强度换算(回弹仪标称动能为 5.5 J)宜按表 G. 0.2 取值。

表 G. 0.2 回弹法混凝土测区强度换算表(回弹仪标称动能为 5.5 J)

R_m	$f_{cu,i}^e$	R_m	$f_{cu,i}^e$	R_m	$f_{cu,i}^e$	R_m	$f_{cu,i}^e$
35.6	60.2	39.0	65.2	42.4	70.3	45.8	75.3
35.8	60.5	39.2	65.5	42.6	70.6	46.0	75.6
36.0	60.8	39.4	65.8	42.8	70.9	46.2	75.9
36.2	61.1	39.6	66.1	43.0	71.2	46.4	76.1
36.4	61.4	39.8	66.4	43.2	71.5	46.6	76.4
36.6	61.7	40.0	66.7	43.4	71.8	46.8	76.7
36.8	62.0	40.2	67.0	43.6	72.0	47.0	77.0
37.0	62.3	40.4	67.3	43.8	72.3	47.2	77.3
37.2	62.6	40.6	67.6	44.0	72.6	47.4	77.6
37.4	62.9	40.8	67.9	44.2	72.9	47.6	77.9
37.6	63.2	41.0	68.2	44.4	73.2	47.8	78.2
37.8	63.5	41.2	68.5	44.6	73.5	48.0	78.5
38.0	63.8	41.4	68.8	44.8	73.8	48.2	78.8
38.2	64.1	41.6	69.1	45.0	74.1	48.4	79.1
38.4	64.4	41.8	69.4	45.2	74.4	48.6	79.3
38.6	64.7	42.0	69.7	45.4	74.7	48.8	79.6
38.8	64.9	42.2	70.0	45.6	75.0	49.0	79.9

注:1 表内未列数值可用内插法求得,精确至 0.1 MPa。

2 表中 R_m 为测区平均回弹值, $f_{cu,i}^e$ 为测区混凝土强度换算值(MPa)。

3 表中数值根据曲线公式 $f_{cu,i}^e = 2.51246R_m^{0.889}$ 计算。

附录 H 回弹法混凝土强度检测记录和报告

H. 0.1 回弹法混凝土强度检测记录可按表 H. 0. 1 填写。

表 H.0.1 回弹法混凝土强度检测记录

工程名称： 检测依据：
委托单位： 施工单位：

续表 H.0.1

复核：计算：记录：共页第页要页

H.0.2 回弹法混凝土强度检测报告可按表 H.0.2 填写。

表 H.0.2 回弹法混凝土强度检测报告

委托单位:

报告编号:

施工单位:

施工日期:

工程名称:

报告日期:

构件名称						记录编号	
测区 编号	混凝土抗压强度换算值(MPa)				现龄期混凝土 强度推定值 $f_{cu,e}$ (MPa)	强度推定公式	
	测区换算 强度 $f_{cu,i}^c$	平均值 $m_{f_{cu}}$	标准差 $S_{f_{cu}}$	最小值 $f_{cu,min}^c$			
						按单个检测 测区小于 10 个时: $f_{cu,e} = f_{cu,min}^c$ 单个检测测 区大于 10 个时 或按批检测: $f_{cu,e} = m_{f_{cu}} -$ 1.645S _{f_{cu}}	
按批检测计算结果							
说明	回弹仪	型号/编号					
		率定值					
	测试资质	回弹仪检定证号					
		测试人员上岗证号					
		测强曲线类别					
	其他	混凝土设计强度等级					
		检测时环境温度(℃)					
		检测时混凝土龄期(d)					
		检测日期					
检测评定依据:			试验结论:				

测试:

计算:

复核:

批准:

单位(章)

附录 J 回弹法测强曲线的验证方法 (回弹仪标称动能 4.5 J 和 5.5 J)

- J. 0. 1** 采用本规程测强曲线前应进行验证。
- J. 0. 2** 回弹仪应符合本规程第 4.2.6 条~第 4.2.12 条的规定。
- J. 0. 3** 测强曲线可按下列步骤进行验证：
- 1 根据本地区具体情况,选用混凝土的原材料和配合比,制作强度等级 C50~C100,边长为 150 mm 混凝土立方体标准试件各 5 组,每组 6 块,并自然养护。
 - 2 按 7 d、14 d、28 d、60 d 和 90 d 进行待验证测强曲线对应方法的测试和试件抗压试验。
 - 3 根据每个试件测得的回弹值计算出换算强度。
 - 4 根据实测试件抗压强度和换算强度,按下式计算相对标准差 e_r :

$$e_r = \sqrt{\frac{1}{n-1} \sum_{i=1}^n \left(\frac{f_{cu,i}^c}{f_{cu,i}} - 1 \right)^2} \times 100\% \quad (\text{J. 0. 3})$$

式中 e_r ——相对标准差;

$f_{cu,i}$ ——第 i 个立方体标准试件的抗压强度实测值 (MPa), 精确至 0.1 MPa;

$f_{cu,i}^c$ ——第 i 个立方体标准试件按相应的检测方法测强曲线公式计算的抗压强度换算值 (MPa), 精确至 0.1 MPa。

5 当相对标准差小于等于 15% 时,可使用本规程测强曲线;当相对标准差大于 15%,应采用钻取混凝土芯样或同条件标准试件对检测结果进行修正或另建立测强曲线。

附录 K 空气中超声波声速测试方法

K.0.1 空气中超声波声速测试应按下列步骤进行：

1 取平面换能器一对，接于非金属超声波检测仪上，开机预热 30 min，在空气中将两换能器辐射面对准，在变动两辐射面相隔距离的情况下（如 100 mm, 150 mm, 200 mm, …），将接收信号尽可能放大，测出相应于各间距的声时读数，同时测量空气温度（T）（精确至 0.2 ℃）。

2 测量时，换能器间距的测量误差应小于或等于 0.5%，换能器宜悬空相对，若置于地板或桌上时，应在换能器下面垫海绵块。

K.0.2 空气声速计算应以换能器距离为纵坐标，声时读数为横坐标，将各组数据点绘在直角坐标图上，各点应在一直线上。在坐标纸上画出该直线，并算出直线斜率，即为空气声速实测值 v^o 。

K.0.3 空气声速计算值应按下式计算：

$$v^c = 331.4 \sqrt{1 + 0.00367T} \quad (\text{K.0.3})$$

式中 v^c —— 空气声速计算值（m/s）；

T —— 空气温度（℃）。

K.0.4 空气声速计算值 v^c 与空气声速实测值 v^o 之间相对误差 e 应按下式计算：

$$e = \frac{v^c - v^o}{v^c} \times 100\% \quad (\text{K.0.4})$$

附录 L 超声回弹综合法专用或地区测强曲线的制定方法

- L. 0. 1** 采用的回弹仪应符合本规程第 4. 3. 4 条的各项规定。
- L. 0. 2** 采用的非金属超声波检测仪应符合本规程附录 T 的各项规定。
- L. 0. 3** 混凝土材料应符合现行《铁路混凝土工程施工质量验收标准》TB 10424 的相关规定。
- L. 0. 4** 选用本项目或地区常用胶凝材料、粗骨料、细骨料、外加剂等原材料, 应按最佳配合比制作混凝土强度等级为 C10 ~ C100 的边长为 150 mm 立方体试件。
- L. 0. 5** 试件试验应按下列步骤进行:
- 1 分别按龄期为 7 d、14 d、28 d、60 d、90 d、180 d 和 365 d 进行立方体试件强度试验。
 - 2 每一龄期的每组试件由 3 个或 6 个试件组成。
 - 3 每种强度等级的试件数不应少于 30 个, 并宜在同一天成型。
 - 4 试件采用振动台成型, 成型后的第 2 天拆模。
 - 5 自然养护时, 应将试件移至不受日晒雨淋处, 按品字形堆放, 盖上草袋并洒水养护。蒸汽养护时, 试件静停时间和养护条件应与构件相同。
- L. 0. 6** 试件声时值测试时, 应按下列规定进行:
- 1 试件声时测量应取试件浇筑方向的侧面为测试面, 宜采用黄油为耦合剂。
 - 2 声时测量应采用对测法, 在一个相对测试面上测 3 点(测点布置如图 L. 0. 7 所示), 发射和接收换能器轴线应在一条直线

上,试件声时值 t_m 为 3 点平均值,保留小数点后一位数字。试件边长测量精确至 1 mm,测量允许误差为 $\pm 1\%$ 。

3 试件的声速值应按下式计算:

$$v_a = l/t_m \quad (\text{L. 0. 6})$$

式中 v_a —试件声速值(km/s),精确至 0.01 km/s;

l —超声测距(mm)。

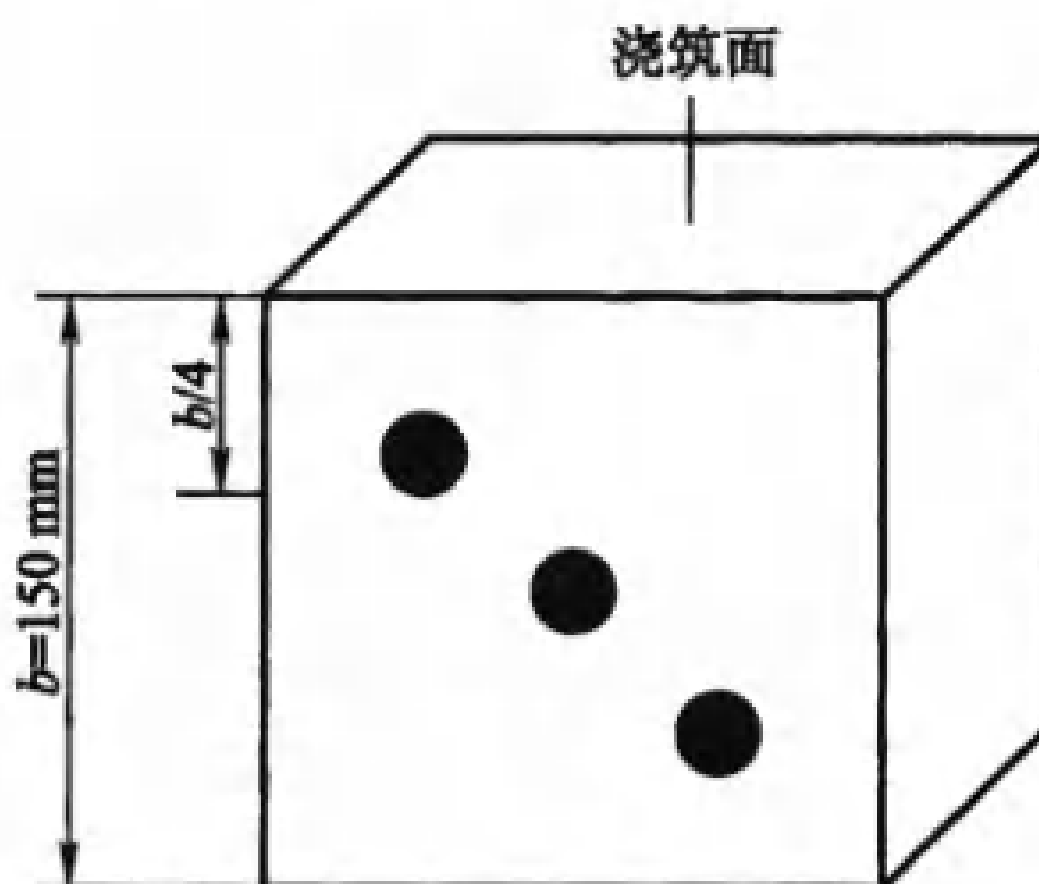


图 L. 0. 6 声时测量测点布置示意图

L. 0. 7 试件回弹值应按下列规定进行测试:

1 回弹值测试应选用不同于声时测量的另一相对侧面,将试件油污擦净放置在压力机上下承压板之间,加压至 30 kN ~ 80 kN,并在此压力下,在试件相对测试面上按本规程第 4.2.14 条的规定各弹击 8 次,从 16 个回弹值中剔除 3 个最大值和 3 个最小值,将余下 10 个回弹值的平均值作为该试件的回弹值 R_m ,计算精确至 0.1。

2 回弹值测试完毕后卸荷,将回弹面放置在压力机承压板间,按现行《混凝土物理力学性能试验方法标准》GB/T 50081 规定的加载速度连续均匀加载至破坏,抗压强度值 $f_{cu,i}$ 精确至 0.1 MPa。

L. 0. 8 测强曲线应按上述步骤进行计算:

1 将各试件测试所得的声速值 v_a 、回弹值 R_m 及试件抗压强

度 $f_{cu,i}$ 汇总, 进行多元回归分析和误差分析。

2 回归分析时, 可采用下列回归方程式:

$$f_{cu,i}^c = a(v_s)^b(R_m)^c \quad (\text{L. 0.8—1})$$

式中 a —常数项系数;

b, c —回归系数;

$f_{cu,i}^c$ —混凝土强度换算值(MPa);

v_s —声速值;

R_m —回弹值。

3 回归曲线的相对标准差 e_r 可按下式计算:

$$e_r = \sqrt{\frac{1}{n-1} \sum_{i=1}^n \left(\frac{f_{cu,i}^c}{f_{cu,i}} - 1 \right)^2} \times 100\% \quad (\text{L. 0.8—2})$$

式中 e_r —相对标准差, 精确至 0.1%;

$f_{cu,i}$ —第 i 个立方体试件抗压强度(MPa), 精确至 0.1 MPa;

$f_{cu,i}^c$ —对应第 i 个立方体试件按式(L. 0.8—1)计算的强度换算值(MPa), 精确至 0.1 MPa。

L. 0.9 经式(L. 0.8—1)和式(L. 0.8—2)计算, 如回归方程式的误差符合本规程第 4.3.13 条的规定, 则可作为专用或地区测强曲线。

L. 0.10 强度换算标准与所试验的范围不得外推。

附录 M 超声回弹综合法测强曲线的验证方法

M. 0. 1 如缺少专用或地区测强曲线时,在采用本规程统一测强曲线前,应进行验证。

M. 0. 2 测强曲线应按下列方法进行验证:

1 选用该地区常用混凝土的原材料按最佳配合比配制强度等级为 C10 ~ C100 的混凝土,制作边长为 150 mm 立方体试件。C50 以下混凝土试件各 3 组,C50 及以上混凝土试件各 6 组,采用自然养护。

2 使用符合本规程第 4.3.3 条要求的回弹仪和非金属超声波检测仪。

3 C50 以下混凝土按龄期为 28 d、60 d 和 90 d 进行综合法测试和试件抗压试验,C50 及以上混凝土按龄期为 3 d、7 d、14 d、28 d、60 d 和 90 d 进行综合法测试和试件抗压试验。

4 根据每个试件测得的回弹值 R_m 、超声声速值 v_s ,由表 N. 0. 1 和表 N. 0. 2 查出强度换算值 $f_{cu,i}^e$ 。

5 将实测试件抗压强度 $f_{cu,i}$ 和查表所得强度换算值 $f_{cu,i}^e$,按式(L. 0. 8—1)和式(L. 0. 8—2)进行计算,如相对标准差 $e_r \leq 15\%$,可使用本规程附录 N 取值计算测强曲线,如相对标准差 $e_r > 15\%$,应另建立专用或地区测强曲线。

附录 N 超声回弹综合法测区混凝土强度换算

N.0.1 超声回弹综合法测区混凝土强度换算(卵石)应按表 N.0.1 取值。

表 N.0.1 超声回弹综合法测区混凝土强度换算表(卵石)

平均 回弹值 R_m	测区混凝土强度换算值 $f_{cu,i}^e$ (MPa)												
	超声声速 v_s (km/s)												
	3.80	3.82	3.84	3.86	3.88	3.90	3.92	3.94	3.96	3.98	4.00	4.02	4.04
23.0	—	—	10.0	10.0	10.1	10.2	10.3	10.3	10.4	10.5	10.6	10.6	10.7
24.0	10.6	10.6	10.7	10.8	10.9	11.0	11.1	11.1	11.2	11.3	11.4	11.5	11.5
25.0	11.4	11.4	11.5	11.6	11.7	11.8	11.9	12.0	12.1	12.1	12.2	12.3	12.4
26.0	12.2	12.3	12.4	12.5	12.5	12.6	12.7	12.8	12.9	13.0	13.1	13.2	13.3
27.0	13.0	13.1	13.2	13.3	13.4	13.5	13.6	13.7	13.8	13.9	14.0	14.1	14.2
28.0	13.9	14.0	14.1	14.2	14.3	14.4	14.5	14.6	14.7	14.8	14.9	15.1	15.2
29.0	14.8	14.9	15.0	15.1	15.2	15.3	15.4	15.6	15.7	15.8	15.9	16.0	16.1
30.0	15.7	15.8	15.9	16.0	16.2	16.3	16.4	16.5	16.6	16.8	16.9	17.0	17.1
31.0	16.6	16.7	16.9	17.0	17.1	17.3	17.4	17.5	17.6	17.8	17.9	18.0	18.2
32.0	17.6	17.7	17.8	18.0	18.1	18.2	18.4	18.5	18.7	18.8	18.9	19.1	19.2
33.0	18.6	18.7	18.8	19.0	19.1	19.3	19.4	19.6	19.7	19.8	20.0	20.1	20.3
34.0	19.6	19.7	19.9	20.0	20.2	20.3	20.5	20.6	20.8	20.9	21.1	21.2	21.4
35.0	20.6	20.8	20.9	21.1	21.2	21.4	21.5	21.7	21.9	22.0	22.2	22.3	22.5
36.0	21.7	21.8	22.0	22.1	22.3	22.5	22.6	22.8	23.0	23.1	23.3	23.5	23.6
37.0	22.7	22.9	23.1	23.2	23.4	23.6	23.8	23.9	24.1	24.3	24.5	24.6	24.8
38.0	23.8	24.0	24.2	24.4	24.6	24.7	24.9	25.1	25.3	25.5	25.7	25.8	26.0
39.0	24.9	25.1	25.3	25.5	25.7	25.9	26.1	26.3	26.5	26.7	26.9	27.1	27.2

续表 N. 0. 1

平均 回弹值 R_m	测区混凝土强度换算值 $f_{cu,i}^c$ (MPa)												
	超声波速 v_s (km/s)												
	3.80	3.82	3.84	3.86	3.88	3.90	3.92	3.94	3.96	3.98	4.00	4.02	4.04
40.0	26.1	26.3	26.5	26.7	26.9	27.1	27.3	27.5	27.7	27.9	28.1	28.3	28.5
41.0	27.3	27.5	27.7	27.9	28.1	28.3	28.5	28.7	28.9	29.1	29.3	29.6	29.8
42.0	28.4	28.7	28.9	29.1	29.3	29.5	29.7	30.0	30.2	30.4	30.6	30.8	31.1
43.0	29.7	29.9	30.1	30.3	30.6	30.8	31.0	31.2	31.5	31.7	31.9	32.2	32.4
44.0	30.9	31.1	31.3	31.6	31.8	32.1	32.3	32.5	32.8	33.0	33.2	33.5	33.7
45.0	32.1	32.4	32.6	32.9	33.1	33.4	33.6	33.9	34.1	34.3	34.6	34.8	35.1
46.0	33.4	33.7	33.9	34.2	34.4	34.7	34.9	35.2	35.4	35.7	36.0	36.2	36.5
47.0	34.7	35.0	35.2	35.5	35.8	36.0	36.3	36.6	36.8	37.1	37.4	37.6	37.9
48.0	36.0	36.3	36.6	36.8	37.1	37.4	37.7	37.9	38.2	38.5	38.8	39.1	39.3
49.0	37.4	37.6	37.9	38.2	38.5	38.8	39.1	39.4	39.6	39.9	40.2	40.5	40.8
50.0	38.7	39.0	39.3	39.6	39.9	40.2	40.5	40.8	41.1	41.4	41.7	42.0	42.3
51.0	40.1	40.4	40.7	41.0	41.3	41.6	41.9	42.2	42.5	42.9	43.2	43.5	43.8
52.0	41.5	41.8	42.1	42.4	42.8	43.1	43.4	43.7	44.0	44.4	44.7	45.0	45.3
53.0	42.9	43.2	43.6	43.9	44.2	44.6	44.9	45.2	45.5	45.9	46.2	46.5	46.9
54.0	44.4	44.7	45.0	45.4	45.7	46.1	46.4	46.7	47.1	47.4	47.8	48.1	48.5
55.0	45.8	46.2	46.5	46.9	47.2	47.6	47.9	48.3	48.6	49.0	49.3	49.7	50.0
平均 回弹值 R_m	测区混凝土强度换算值 $f_{cu,i}^c$ (MPa)												
	超声波速 v_s (km/s)												
	4.06	4.08	4.10	4.12	4.14	4.16	4.18	4.20	4.22	4.24	4.26	4.28	4.30
21.0	—	—	—	—	—	—	—	—	—	—	—	—	10.0
22.0	10.0	10.0	10.1	10.2	10.2	10.3	10.4	10.5	10.5	10.6	10.7	10.8	10.8
23.0	10.8	10.9	10.9	11.0	11.1	11.2	11.2	11.3	11.4	11.5	11.6	11.6	11.7
24.0	11.6	11.7	11.8	11.9	12.0	12.0	12.1	12.2	12.3	12.4	12.5	12.5	12.6
25.0	12.5	12.6	12.7	12.8	12.9	12.9	13.0	13.1	13.2	13.3	13.4	13.5	13.6

续表 N. 0. 1

平均 回弹值 R_m	测区混凝土强度换算值 $f_{cu,i}^c$ (MPa)												
	超声声速 v_s (km/s)												
	4.06	4.08	4.10	4.12	4.14	4.16	4.18	4.20	4.22	4.24	4.26	4.28	4.30
26.0	13.4	13.5	13.6	13.7	13.8	13.9	14.0	14.1	14.2	14.3	14.4	14.4	14.5
27.0	14.3	14.4	14.5	14.6	14.7	14.8	14.9	15.0	15.1	15.2	15.3	15.4	15.6
28.0	15.3	15.4	15.5	15.6	15.7	15.8	15.9	16.0	16.1	16.3	16.4	16.5	16.6
29.0	16.2	16.4	16.5	16.6	16.7	16.8	16.9	17.1	17.2	17.3	17.4	17.5	17.6
30.0	17.3	17.4	17.5	17.6	17.7	17.9	18.0	18.1	18.2	18.4	18.5	18.6	18.7
31.0	18.3	18.4	18.5	18.7	18.8	18.9	19.1	19.2	19.3	19.5	19.6	19.7	19.9
32.0	19.3	19.5	19.6	19.7	19.9	20.0	20.2	20.3	20.4	20.6	20.7	20.9	21.0
33.0	20.4	20.6	20.7	20.9	21.0	21.1	21.3	21.4	21.6	21.7	21.9	22.0	22.2
34.0	21.5	21.7	21.8	22.0	22.1	22.3	22.4	22.6	22.8	22.9	23.1	23.2	23.4
35.0	22.7	22.8	23.0	23.1	23.3	23.5	23.6	23.8	24.0	24.1	24.3	24.4	24.6
36.0	23.8	24.0	24.2	24.3	24.5	24.7	24.8	25.0	25.2	25.4	25.5	25.7	25.9
37.0	25.0	25.2	25.4	25.5	25.7	25.9	26.1	26.2	26.4	26.6	26.8	27.0	27.2
38.0	26.2	26.4	26.6	26.8	27.0	27.1	27.3	27.5	27.7	27.9	28.1	28.3	28.5
39.0	27.4	27.6	27.8	28.0	28.2	28.4	28.6	28.8	29.0	29.2	29.4	29.6	29.8
40.0	28.7	28.9	29.1	29.3	29.5	29.7	29.9	30.1	30.3	30.5	30.8	31.0	31.2
41.0	30.0	30.2	30.4	30.6	30.8	31.0	31.3	31.5	31.7	31.9	32.1	32.3	32.6
42.0	31.3	31.5	31.7	32.0	32.2	32.4	32.6	32.8	33.1	33.3	33.5	33.8	34.0
43.0	32.6	32.8	33.1	33.3	33.5	33.8	34.0	34.2	34.5	34.7	34.9	35.2	35.4
44.0	34.0	34.2	34.4	34.7	34.9	35.2	35.4	35.7	35.9	36.2	36.4	36.6	36.9
45.0	35.3	35.6	35.8	36.1	36.4	36.6	36.9	37.1	37.4	37.6	37.9	38.1	38.4
46.0	36.7	37.0	37.3	37.5	37.8	38.1	38.3	38.6	38.8	39.1	39.4	39.6	39.9
47.0	38.2	38.4	38.7	39.0	39.3	39.5	39.8	40.1	40.4	40.6	40.9	41.2	41.5
48.0	39.6	39.9	40.2	40.5	40.7	41.0	41.3	41.6	41.9	42.2	42.5	42.7	43.0
49.0	41.1	41.4	41.7	42.0	42.3	42.6	42.8	43.1	43.4	43.7	44.0	44.3	44.6

续表 N. 0.1

平均 回弹值 R_m	测区混凝土强度换算值 $f_{cu,i}^c$ (MPa)													
	超声声速 v_s (km/s)													
	4.06	4.08	4.10	4.12	4.14	4.16	4.18	4.20	4.22	4.24	4.26	4.28	4.30	
50.0	42.6	42.9	43.2	43.5	43.8	44.1	44.4	44.7	45.0	45.3	45.6	45.9	46.3	
51.0	44.1	44.4	44.7	45.0	45.4	45.7	46.0	46.3	46.6	46.9	47.3	47.6	47.9	
52.0	45.6	46.0	46.3	46.6	46.9	47.3	47.6	47.9	48.3	48.6	48.9	49.2	49.6	
53.0	47.2	47.5	47.9	48.2	48.6	48.9	49.2	49.6	49.9	50.2	50.6	50.9	51.3	
54.0	48.8	49.1	49.5	49.8	50.2	50.5	50.9	51.2	51.6	51.9	52.3	52.6	53.0	
55.0	50.4	50.8	51.1	51.5	51.8	52.2	52.6	52.9	53.3	53.7	54.0	54.4	54.7	
平均 回弹值 R_m	测区混凝土强度换算值 $f_{cu,i}^c$ (MPa)													
	超声声速 v_s (km/s)													
	4.32	4.34	4.36	4.38	4.40	4.42	4.44	4.46	4.48	4.50	4.52	4.54	4.56	
20.0	—	—	—	—	—	—	—	—	—	—	—	—	—	10.0
21.0	10.0	10.1	10.2	10.2	10.3	10.4	10.4	10.5	10.6	10.6	10.7	10.8	10.8	
22.0	10.9	11.0	11.0	11.1	11.2	11.3	11.3	11.4	11.5	11.6	11.6	11.7	11.8	
23.0	11.8	11.9	11.9	12.0	12.1	12.2	12.3	12.3	12.4	12.5	12.6	12.7	12.7	
24.0	12.7	12.8	12.9	13.0	13.1	13.1	13.2	13.3	13.4	13.5	13.6	13.7	13.7	
25.0	13.7	13.8	13.8	13.9	14.0	14.1	14.2	14.3	14.4	14.5	14.6	14.7	14.8	
26.0	14.6	14.7	14.8	14.9	15.0	15.1	15.2	15.3	15.4	15.5	15.6	15.7	15.8	
27.0	15.7	15.8	15.9	16.0	16.1	16.2	16.3	16.4	16.5	16.6	16.7	16.8	16.9	
28.0	16.7	16.8	16.9	17.0	17.1	17.3	17.4	17.5	17.6	17.7	17.8	17.9	18.0	
29.0	17.8	17.9	18.0	18.1	18.2	18.4	18.5	18.6	18.7	18.8	19.0	19.1	19.2	
30.0	18.9	19.0	19.1	19.2	19.4	19.5	19.6	19.7	19.9	20.0	20.1	20.3	20.4	
31.0	20.0	20.1	20.3	20.4	20.5	20.7	20.8	20.9	21.1	21.2	21.3	21.5	21.6	
32.0	21.1	21.3	21.4	21.6	21.7	21.9	22.0	22.1	22.3	22.4	22.6	22.7	22.9	
33.0	22.3	22.5	22.6	22.8	22.9	23.1	23.2	23.4	23.5	23.7	23.8	24.0	24.1	
34.0	23.5	23.7	23.9	24.0	24.2	24.3	24.5	24.6	24.8	25.0	25.1	25.3	25.4	

续表 N. 0.1

平均 回弹值 R_m	测区混凝土强度换算值 $f_{cu,i}^c$ (MPa)													
	超声声速 v_s (km/s)													
	4.32	4.34	4.36	4.38	4.40	4.42	4.44	4.46	4.48	4.50	4.52	4.54	4.56	
35.0	24.8	24.9	25.1	25.3	25.4	25.6	25.8	25.9	26.1	26.3	26.4	26.6	26.8	
36.0	26.0	26.2	26.4	26.6	26.7	26.9	27.1	27.3	27.4	27.6	27.8	28.0	28.1	
37.0	27.3	27.5	27.7	27.9	28.1	28.3	28.4	28.6	28.8	29.0	29.2	29.4	29.5	
38.0	28.7	28.8	29.0	29.2	29.4	29.6	29.8	30.0	30.2	30.4	30.6	30.8	31.0	
39.0	30.0	30.2	30.4	30.6	30.8	31.0	31.2	31.4	31.6	31.8	32.0	32.2	32.4	
40.0	31.4	31.6	31.8	32.0	32.2	32.4	32.6	32.9	33.1	33.3	33.5	33.7	33.9	
41.0	32.8	33.0	33.2	33.4	33.7	33.9	34.1	34.3	34.5	34.8	35.0	35.2	35.4	
42.0	34.2	34.4	34.7	34.9	35.1	35.4	35.6	35.8	36.0	36.3	36.5	36.7	37.0	
43.0	35.7	35.9	36.1	36.4	36.6	36.9	37.1	37.3	37.6	37.8	38.1	38.3	38.5	
44.0	37.1	37.4	37.6	37.9	38.1	38.4	38.6	38.9	39.1	39.4	39.6	39.9	40.1	
45.0	38.6	38.9	39.2	39.4	39.7	39.9	40.2	40.5	40.7	41.0	41.2	41.5	41.8	
46.0	40.2	40.4	40.7	41.0	41.3	41.5	41.8	42.1	42.3	42.6	42.9	43.2	43.4	
47.0	41.7	42.0	42.3	42.6	42.9	43.1	43.4	43.7	44.0	44.3	44.5	44.8	45.1	
48.0	43.3	43.6	43.9	44.2	44.5	44.8	45.1	45.4	45.6	45.9	46.2	46.5	46.8	
49.0	44.9	45.2	45.5	45.8	46.1	46.4	46.7	47.0	47.3	47.6	48.0	48.3	48.6	
50.0	46.6	46.9	47.2	47.5	47.8	48.1	48.4	48.8	49.1	49.4	49.7	50.0	50.3	
51.0	48.2	48.5	48.9	49.2	49.5	49.8	50.2	50.5	50.8	51.1	51.5	51.8	52.1	
52.0	49.9	50.2	50.6	50.9	51.2	51.6	51.9	52.3	52.6	52.9	53.3	53.6	53.9	
53.0	51.6	52.0	52.3	52.7	53.0	53.3	53.7	54.0	54.4	54.7	55.1	55.4	55.8	
54.0	53.4	53.7	54.1	54.4	54.8	55.1	55.5	55.9	56.2	56.6	56.9	57.3	57.7	
55.0	55.1	55.5	55.9	56.2	56.6	57.0	57.3	57.7	58.1	58.5	58.8	59.2	59.6	
平均 回弹值 R_m	测区混凝土强度换算值 $f_{cu,i}^c$ (MPa)													
	超声声速 v_s (km/s)													
	4.58	4.60	4.62	4.64	4.66	4.68	4.70	4.72	4.74	4.76	4.78	4.80	4.82	
20.0	10.0	10.1	10.1	10.2	10.3	10.3	10.4	10.5	10.5	10.6	10.6	10.7	10.8	

续表 N. 0.1

平均 回弹值 R_m	测区混凝土强度换算值 $f_{cu,i}^e$ (MPa)													
	超声波速 v_s (km/s)													
	4.58	4.60	4.62	4.64	4.66	4.68	4.70	4.72	4.74	4.76	4.78	4.80	4.82	
21.0	10.9	11.0	11.1	11.1	11.2	11.3	11.3	11.4	11.5	11.5	11.6	11.7	11.7	
22.0	11.9	11.9	12.0	12.1	12.2	12.2	12.3	12.4	12.5	12.5	12.6	12.7	12.8	
23.0	12.8	12.9	13.0	13.1	13.1	13.2	13.3	13.4	13.5	13.6	13.6	13.7	13.8	
24.0	13.8	13.9	14.0	14.1	14.2	14.3	14.4	14.4	14.5	14.6	14.7	14.8	14.9	
25.0	14.9	15.0	15.0	15.1	15.2	15.3	15.4	15.5	15.6	15.7	15.8	15.9	16.0	
26.0	15.9	16.0	16.1	16.2	16.3	16.4	16.5	16.6	16.7	16.8	16.9	17.0	17.1	
27.0	17.0	17.1	17.2	17.4	17.5	17.6	17.7	17.8	17.9	18.0	18.1	18.2	18.3	
28.0	18.2	18.3	18.4	18.5	18.6	18.7	18.8	19.0	19.1	19.2	19.3	19.4	19.5	
29.0	19.3	19.4	19.6	19.7	19.8	19.9	20.1	20.2	20.3	20.4	20.5	20.7	20.8	
30.0	20.5	20.6	20.8	20.9	21.0	21.2	21.3	21.4	21.6	21.7	21.8	22.0	22.1	
31.0	21.7	21.9	22.0	22.2	22.3	22.4	22.6	22.7	22.8	23.0	23.1	23.3	23.4	
32.0	23.0	23.1	23.3	23.4	23.6	23.7	23.9	24.0	24.2	24.3	24.5	24.6	24.8	
33.0	24.3	24.4	24.6	24.7	24.9	25.1	25.2	25.4	25.5	25.7	25.8	26.0	26.1	
34.0	25.6	25.8	25.9	26.1	26.2	26.4	26.6	26.7	26.9	27.1	27.2	27.4	27.6	
35.0	26.9	27.1	27.3	27.5	27.6	27.8	28.0	28.1	28.3	28.5	28.7	28.8	29.0	
36.0	28.3	28.5	28.7	28.9	29.0	29.2	29.4	29.6	29.8	29.9	30.1	30.3	30.5	
37.0	29.7	29.9	30.1	30.3	30.5	30.7	30.9	31.1	31.2	31.4	31.6	31.8	32.0	
38.0	31.2	31.4	31.6	31.8	32.0	32.2	32.4	32.5	32.7	32.9	33.1	33.3	33.5	
39.0	32.6	32.8	33.0	33.3	33.5	33.7	33.9	34.1	34.3	34.5	34.7	34.9	35.1	
40.0	34.1	34.3	34.6	34.8	35.0	35.2	35.4	35.6	35.9	36.1	36.3	36.5	36.7	
41.0	35.7	35.9	36.1	36.3	36.6	36.8	37.0	37.2	37.5	37.7	37.9	38.1	38.4	
42.0	37.2	37.4	37.7	37.9	38.1	38.4	38.6	38.9	39.1	39.3	39.6	39.8	40.0	
43.0	38.8	39.0	39.3	39.5	39.8	40.0	40.3	40.5	40.8	41.0	41.2	41.5	41.7	
44.0	40.4	40.7	40.9	41.2	41.4	41.7	41.9	42.2	42.4	42.7	43.0	43.2	43.5	

续表 N. 0. 1

平均 回弹值 R_m	测区混凝土强度换算值 $f_{cu,i}^e$ (MPa)												
	超声波速 v_s (km/s)												
	4.58	4.60	4.62	4.64	4.66	4.68	4.70	4.72	4.74	4.76	4.78	4.80	4.82
45.0	42.0	42.3	42.6	42.8	43.1	43.4	43.6	43.9	44.2	44.4	44.7	45.0	45.2
46.0	43.7	44.0	44.3	44.5	44.8	45.1	45.4	45.6	45.9	46.2	46.5	46.8	47.0
47.0	45.4	45.7	46.0	46.3	46.5	46.8	47.1	47.4	47.7	48.0	48.3	48.6	48.9
48.0	47.1	47.4	47.7	48.0	48.3	48.6	48.9	49.2	49.5	49.8	50.1	50.4	50.7
49.0	48.9	49.2	49.5	49.8	50.1	50.4	50.7	51.0	51.3	51.7	52.0	52.3	52.6
50.0	50.6	51.0	51.3	51.6	51.9	52.2	52.6	52.9	53.2	53.5	53.9	54.2	54.5
51.0	52.5	52.8	53.1	53.4	53.8	54.1	54.4	54.8	55.4	55.8	56.1	56.5	
52.0	54.3	54.6	55.0	55.3	55.7	56.0	56.3	56.7	57.0	57.4	57.7	58.1	58.4
53.0	56.1	56.5	56.9	57.2	57.6	57.9	58.3	58.6	59.0	59.4	59.7	60.1	60.4
54.0	58.0	58.4	58.8	59.1	59.5	59.9	60.2	60.6	61.0	61.3	61.7	62.1	62.5
55.0	60.0	60.3	60.7	61.1	61.5	61.8	62.2	62.6	63.0	63.4	63.8	64.1	64.5
平均 回弹值 R_m	测区混凝土强度换算值 $f_{cu,i}^e$ (MPa)												
	超声波速 v_s (km/s)												
	4.84	4.86	4.88	4.90	4.92	4.94	4.96	4.98	5.00	5.02	5.04	5.06	5.08
20.0	10.8	10.9	11.0	11.0	11.1	11.2	11.2	11.3	11.4	11.4	11.5	11.6	11.6
21.0	11.8	11.9	12.0	12.0	12.1	12.2	12.2	12.3	12.4	12.5	12.5	12.6	12.7
22.0	12.8	12.9	13.0	13.1	13.1	13.2	13.3	13.4	13.4	13.5	13.6	13.7	13.8
23.0	13.9	14.0	14.0	14.1	14.2	14.3	14.4	14.5	14.5	14.6	14.7	14.8	14.9
24.0	15.0	15.1	15.1	15.2	15.3	15.4	15.5	15.6	15.7	15.8	15.9	16.0	16.0
25.0	16.1	16.2	16.3	16.4	16.5	16.6	16.7	16.8	16.9	17.0	17.1	17.2	17.3
26.0	17.2	17.3	17.5	17.6	17.7	17.8	17.9	18.0	18.1	18.2	18.3	18.4	18.5
27.0	18.4	18.5	18.7	18.8	18.9	19.0	19.1	19.2	19.3	19.4	19.4	19.7	19.8
28.0	19.7	19.8	19.9	20.0	20.1	20.2	20.4	20.5	20.6	20.7	20.8	21.0	21.1
29.0	20.9	21.0	21.2	21.3	21.4	21.5	21.7	21.8	21.9	22.0	22.2	22.3	22.4

续表 N. 0.1

平均 回弹值 R_m	测区混凝土强度换算值 $f_{cu,i}^c$ (MPa)													
	超声波速 v_s (km/s)													
	4.84	4.86	4.88	4.90	4.92	4.94	4.96	4.98	5.00	5.02	5.04	5.06	5.08	
30.0	22.2	22.3	22.5	22.6	22.7	22.9	23.0	23.1	23.3	23.4	23.5	23.7	23.8	
31.0	23.5	23.7	23.8	24.0	24.1	24.2	24.4	24.5	24.7	24.8	25.0	25.1	25.2	
32.0	24.9	25.0	25.2	25.3	25.5	25.6	25.8	25.9	26.1	26.2	26.4	26.5	26.7	
33.0	26.3	26.5	26.6	26.8	26.9	27.1	27.2	27.4	27.6	27.7	27.9	28.0	28.2	
34.0	27.7	27.9	28.0	28.2	28.4	28.5	28.7	28.9	29.0	29.2	29.4	29.6	29.7	
35.0	29.2	29.4	29.5	29.7	29.9	30.0	30.2	30.4	30.6	30.8	30.9	31.1	31.3	
36.0	30.7	30.9	31.0	31.2	31.4	31.6	31.8	32.0	32.1	32.3	32.5	32.7	32.9	
37.0	32.2	32.4	32.6	32.8	33.0	33.2	33.3	33.5	33.7	33.9	34.1	34.3	34.5	
38.0	33.7	33.9	34.1	34.4	34.6	34.8	35.0	35.2	35.4	35.6	35.8	36.0	36.2	
39.0	35.3	35.5	35.8	36.0	36.2	36.4	36.6	36.8	37.0	37.2	37.5	37.7	37.9	
40.0	37.0	37.2	37.4	37.6	37.8	38.1	38.3	38.5	38.7	38.9	39.2	39.4	39.6	
41.0	38.6	38.8	39.1	39.3	39.5	39.8	40.0	40.2	40.5	40.7	40.9	41.2	41.4	
42.0	40.3	40.5	40.8	41.0	41.2	41.5	41.7	42.0	42.2	42.5	42.7	42.9	43.2	
43.0	42.0	42.2	42.5	42.7	43.0	43.3	43.5	43.8	44.0	44.3	44.5	44.8	45.0	
44.0	43.7	44.0	44.3	44.5	44.8	45.0	45.3	45.6	45.8	46.1	46.4	46.6	46.9	
45.0	45.5	45.8	46.1	46.3	46.6	46.9	47.1	47.4	47.7	48.0	48.2	48.5	48.8	
46.0	47.3	47.6	47.9	48.2	48.4	48.7	49.0	49.3	49.6	49.9	50.2	50.4	50.7	
47.0	49.2	49.4	49.7	50.0	50.3	50.6	50.9	51.2	51.5	51.8	52.1	52.4	52.7	
48.0	51.0	51.3	51.6	51.9	52.2	52.5	52.8	53.2	53.5	53.8	54.1	54.4	54.7	
49.0	52.9	53.2	53.5	53.9	54.2	54.5	54.8	55.1	55.4	55.8	56.1	56.4	56.7	
50.0	54.8	55.2	55.5	55.8	56.1	56.5	56.8	57.1	57.5	57.8	58.1	58.5	58.8	
51.0	56.8	57.1	57.5	57.8	58.1	58.5	58.8	59.2	59.4	59.9	60.2	60.5	60.9	
52.0	58.8	59.1	59.5	59.8	60.2	60.5	60.9	61.2	61.6	61.9	62.3	62.7	63.0	
53.0	60.8	61.2	61.5	61.9	62.2	62.6	63.0	63.3	63.7	64.1	64.4	64.8	65.2	

续表 N. 0. 1

平均 回弹值 R_m	测区混凝土强度换算值 $f_{cu,i}^c$ (MPa)												
	超声波速 v_s (km/s)												
4.84	4.86	4.88	4.90	4.92	4.94	4.96	4.98	5.00	5.02	5.04	5.06	5.08	
54.0	62.8	63.2	63.6	64.0	64.3	64.7	65.1	65.5	65.8	66.2	66.6	67.0	67.4
55.0	64.9	65.3	65.7	66.1	66.5	66.8	67.2	67.6	68.0	68.4	68.8	69.2	69.6
平均 回弹值 R_m	测区混凝土强度换算值 $f_{cu,i}^c$ (MPa)												
	超声波速 v_s (km/s)												
5.10	5.12	5.14	5.16	5.18	5.20	5.22	5.24	5.26	5.28	5.30	5.32	5.34	
20.0	11.7	11.8	11.8	11.9	12.0	12.0	12.1	12.2	12.2	12.3	12.4	12.4	12.5
21.0	12.7	12.8	12.9	13.0	13.0	13.1	13.2	13.3	13.3	13.4	13.5	13.5	13.6
22.0	13.8	13.9	14.0	14.1	14.2	14.2	14.3	14.4	14.5	14.5	14.6	14.7	14.8
23.0	15.0	15.1	15.1	15.2	15.3	15.4	15.5	15.6	15.6	15.7	15.8	15.9	16.0
24.0	16.1	16.2	16.3	16.4	16.2	16.6	16.7	16.8	16.9	17.0	17.1	17.2	17.2
25.0	17.3	17.4	17.5	17.6	17.7	17.8	17.9	18.0	18.1	18.2	18.3	18.4	18.5
26.0	18.6	18.7	18.8	18.9	19.0	19.1	19.2	19.3	19.4	19.5	19.7	19.8	19.9
27.0	19.9	20.0	20.1	20.2	20.3	20.4	20.6	20.7	20.8	20.9	21.0	21.1	21.2
28.0	21.2	21.3	21.4	21.6	21.7	21.8	21.9	22.0	22.2	22.3	22.4	22.5	22.6
29.0	22.6	22.7	22.8	22.9	23.1	23.2	23.2	23.5	23.6	23.7	23.8	24.0	24.1
30.0	24.0	24.1	24.2	24.4	24.5	24.6	24.8	24.9	25.0	25.2	25.3	25.5	25.6
31.0	25.4	25.5	25.7	25.8	26.0	26.1	26.2	26.4	26.5	26.7	26.8	27.0	27.1
32.0	26.8	27.0	27.2	27.3	27.5	27.6	27.8	27.9	28.1	28.2	28.4	28.5	28.7
33.0	28.4	28.5	28.7	28.8	29.0	29.2	29.3	29.5	29.6	29.8	30.0	30.1	30.3
34.0	29.9	30.1	30.2	30.4	30.6	30.7	30.9	31.1	31.2	31.4	31.6	31.8	31.9
35.0	31.5	31.6	31.8	32.0	32.2	32.4	32.5	32.7	32.9	33.1	33.3	33.4	33.6
36.0	33.1	33.3	33.4	33.6	33.8	34.0	34.2	34.4	34.6	34.8	34.9	35.1	35.3
37.0	34.7	34.9	35.1	35.3	35.5	35.7	35.9	36.1	36.3	36.5	36.7	36.9	37.1
38.0	36.4	36.6	36.8	37.0	37.2	37.4	37.6	37.8	38.0	38.2	38.5	38.7	38.9

续表 N. 0. 1

平均 回弹值 R_m	测区混凝土强度换算值 $f_{cu,i}^e$ (MPa)												
	超声声速 v_s (km/s)												
	5.10	5.12	5.14	5.16	5.18	5.20	5.22	5.24	5.26	5.28	5.30	5.32	5.34
39.0	38.1	38.3	38.5	38.7	39.0	39.2	39.4	39.6	39.8	40.0	40.3	40.5	40.7
40.0	39.8	40.1	40.3	40.5	40.7	41.0	41.2	41.4	41.7	41.9	42.1	42.3	42.6
41.0	41.6	41.9	42.1	42.3	42.6	42.8	43.0	43.3	43.5	43.8	44.0	44.2	44.5
42.0	43.4	43.7	43.9	44.2	44.4	44.7	44.9	45.2	45.4	45.7	45.9	46.2	46.4
43.0	45.3	45.5	45.8	46.0	46.3	46.6	46.8	47.1	47.3	47.6	47.9	48.1	48.4
44.0	47.2	47.4	47.7	48.0	48.2	48.5	48.8	49.0	49.3	49.6	49.8	50.1	50.4
45.0	49.1	49.3	49.6	49.9	50.2	50.5	50.7	51.0	51.3	51.6	51.9	52.1	52.4
46.0	51.0	51.3	51.6	51.9	52.2	52.5	52.8	53.0	53.3	53.6	53.9	54.2	54.5
47.0	53.0	53.3	53.6	53.9	54.2	54.5	54.8	55.1	55.4	55.7	56.0	56.3	56.6
48.0	55.0	55.3	55.6	55.9	56.3	56.6	56.9	57.2	57.5	57.8	58.1	58.5	58.8
49.0	57.1	57.4	57.7	58.0	58.3	58.7	59.0	59.3	59.6	60.0	60.3	60.6	61.0
50.0	59.1	59.5	59.8	60.1	60.5	60.8	61.1	61.5	61.8	62.2	62.5	62.8	63.2
51.0	61.2	61.6	61.9	62.3	62.6	63.0	63.3	63.7	64.0	64.4	64.7	65.1	65.4
52.0	63.4	63.7	64.1	64.5	64.8	65.2	65.5	65.9	66.3	66.6	67.0	67.3	67.7
53.0	65.5	65.9	66.3	66.7	67.0	67.4	67.8	68.2	68.5	68.9	69.3	69.7	70.0
54.0	67.7	68.1	68.5	68.9	69.0	69.7	—	—	—	—	—	—	—
55.0	70.0	—	—	—	—	—	—	—	—	—	—	—	—

注:1 表内未列数值要用内插法求得,精确至 0.1 MPa。

2 表中 R_m 为修正后的测区回弹值, v_s 为修正后的超声声速值(km/s)。

3 $f_{cu,i}^e$ 为测区混凝土强度换算值(MPa),也可按式(4.3.14—2)计算。

N. 0. 2 超声回弹综合法测区混凝土强度换算(碎石)应按表 N. 0. 2 取值。

表 N.0.2 超声回弹综合法测区混凝土强度换算表(碎石)

平均 回弹值 R_m	测区混凝土强度换算值 $f_{cu,t}^c$ (MPa)												
	超声声速 v_s (km/s)												
	3.80	3.82	3.84	3.86	3.88	3.90	3.92	3.94	3.96	3.98	4.00	4.02	4.04
20.0	10.1	10.2	10.3	10.3	10.4	10.5	10.6	10.7	10.8	10.9	11.0	11.1	11.2
21.0	10.8	10.9	11.0	11.1	11.2	11.3	11.4	11.5	11.6	11.7	11.8	11.9	12.0
22.0	11.5	11.6	11.7	11.8	11.9	12.0	12.1	12.1	12.3	12.5	12.6	12.7	12.8
23.0	12.3	12.4	12.5	12.6	12.7	12.8	12.9	13.0	13.1	13.3	13.4	13.5	13.6
24.0	13.0	13.2	13.3	13.4	13.5	13.6	13.7	13.8	14.0	14.1	14.2	14.3	14.4
25.0	13.8	13.9	14.1	14.2	14.3	14.4	14.5	14.7	14.8	14.9	15.0	15.2	15.3
26.0	14.6	14.7	14.9	15.0	15.1	15.2	15.4	15.5	15.6	15.8	15.9	16.0	16.2
27.0	15.4	15.5	15.7	15.8	15.9	16.1	16.2	16.3	16.5	16.6	16.8	16.9	17.0
28.0	16.2	16.3	16.5	16.6	16.8	16.9	17.1	17.2	17.4	17.5	17.6	17.8	17.9
29.0	17.0	17.2	17.3	17.5	17.6	17.8	17.9	18.1	18.2	18.4	18.5	18.7	18.8
30.0	17.9	18.0	18.2	18.3	18.5	18.6	18.8	19.0	19.1	19.3	19.4	19.6	19.8
31.0	18.7	18.9	19.0	19.2	19.4	19.5	19.7	19.9	20.0	20.2	20.4	20.5	20.7
32.0	19.6	19.7	19.9	20.1	20.3	20.4	20.6	20.8	20.9	21.1	21.3	21.5	21.7
33.0	20.4	20.6	20.8	21.0	21.1	21.3	21.5	21.7	21.9	22.1	22.2	22.4	22.6
34.0	21.3	21.5	21.7	21.9	22.1	22.2	22.4	22.9	22.8	23.0	23.2	23.4	23.6
35.0	22.2	22.4	22.6	22.8	23.0	23.2	23.4	23.6	23.8	24.0	24.2	24.4	24.6
36.0	23.1	23.2	23.5	23.7	23.9	24.1	24.3	24.5	24.7	24.9	25.1	25.4	25.6
37.0	24.0	24.2	24.4	24.6	24.9	25.1	25.3	25.5	25.7	25.9	26.1	26.4	26.6
38.0	24.9	25.1	25.4	25.6	25.8	26.0	26.2	26.5	26.7	26.9	27.1	27.4	27.6
39.0	25.9	26.1	26.3	26.5	26.8	27.0	27.2	27.5	27.7	27.9	28.1	28.4	28.6
40.0	26.8	27.0	27.3	27.5	27.7	28.0	28.2	28.5	28.7	28.9	29.2	29.4	29.7
41.0	27.7	28.0	28.2	28.5	28.7	29.0	29.2	29.5	29.7	30.0	30.2	30.5	30.7
42.0	28.7	29.0	29.2	29.5	29.7	30.0	30.2	30.5	30.7	31.0	31.3	31.5	31.8
43.0	29.7	29.9	30.2	30.5	30.7	31.0	31.0	31.5	31.8	32.0	32.3	32.6	32.8

续表 N. 0.2

平均 回弹值 R_m	测区混凝土强度换算值 $f_{cu,i}^c$ (MPa)												
	超声声速 v_s (km/s)												
	3.80	3.82	3.84	3.86	3.88	3.90	3.92	3.94	3.96	3.98	4.00	4.02	4.04
44.0	30.7	30.9	31.2	31.5	21.7	32.0	32.3	32.5	32.8	33.1	33.4	33.6	33.9
45.0	31.6	31.9	32.2	32.5	32.7	33.0	33.3	33.6	33.9	34.2	34.4	34.7	35.0
46.0	32.6	32.9	33.2	33.5	33.8	34.1	34.4	34.6	34.9	35.2	35.5	35.8	36.1
47.0	33.6	33.9	34.2	34.5	34.8	35.1	35.4	35.7	36.0	36.3	36.6	36.9	37.2
48.0	34.7	35.0	35.3	35.6	35.9	36.2	36.5	36.8	37.1	37.4	37.7	38.0	38.4
49.0	35.7	36.0	36.3	36.6	36.9	37.2	37.6	37.9	38.2	38.5	38.8	39.2	39.5
50.0	36.7	37.0	37.3	37.7	38.0	38.3	38.6	39.0	39.3	39.6	40.0	40.3	40.6
51.0	37.7	38.1	38.4	38.7	39.1	39.4	39.7	40.1	40.4	40.8	41.1	41.4	41.8
52.0	38.8	39.1	39.5	39.8	40.2	40.5	40.8	41.2	41.5	41.9	42.2	42.6	42.9
53.0	39.8	40.2	40.5	40.9	41.2	41.6	42.0	42.3	42.7	43.0	43.4	43.7	44.1
54.0	40.9	41.3	41.6	42.0	42.3	42.7	43.1	43.4	43.8	44.2	44.5	44.9	45.3
55.0	42.0	42.4	42.7	43.1	43.5	43.8	44.2	44.6	45.0	45.3	45.7	46.1	46.5
平均 回弹值 R_m	测区混凝土强度换算值 $f_{cu,i}^c$ (MPa)												
	超声声速 v_s (km/s)												
	4.06	4.08	4.10	4.12	4.14	4.16	4.18	4.20	4.22	4.24	4.26	4.28	4.30
20.0	11.3	11.3	11.4	11.5	11.6	11.7	11.8	11.9	12.0	12.1	12.2	12.3	12.4
21.0	12.1	12.2	12.3	12.3	12.4	12.5	12.6	12.7	12.9	13.0	13.1	13.2	13.3
22.0	12.9	13.0	13.1	13.2	13.3	13.4	13.5	13.6	13.7	13.8	13.9	14.0	14.2
23.0	13.7	13.8	13.9	14.0	14.2	14.3	14.4	14.5	14.6	14.7	14.8	15.0	15.1
24.0	14.6	14.7	14.8	14.9	15.0	15.1	15.3	15.4	15.5	15.6	15.8	15.9	16.0
25.0	15.4	15.5	15.7	15.8	15.9	16.0	16.2	16.3	16.4	16.6	16.7	16.8	17.0
26.0	16.3	16.4	16.6	16.7	16.8	17.0	17.1	17.2	17.4	17.5	17.6	17.8	17.9
27.0	17.2	17.3	17.5	17.6	17.7	17.9	18.0	18.2	18.3	18.5	18.6	18.7	18.9
28.0	18.1	18.2	18.4	18.5	18.7	18.8	19.0	19.1	19.3	19.4	19.6	19.7	19.9

续表 N. 0.2

平均 回弹值 R_m	测区混凝土强度换算值 $f_{cu,i}^o$ (MPa)													
	超声波速 v_s (km/s)													
	4.06	4.08	4.10	4.12	4.14	4.16	4.18	4.20	4.22	4.24	4.26	4.28	4.30	
29.0	19.0	19.2	19.3	19.5	19.6	19.8	19.9	20.1	20.3	20.4	20.6	20.7	20.9	
30.0	19.9	20.1	20.3	20.4	20.6	20.8	20.9	21.1	21.2	21.4	21.6	21.8	21.9	
31.0	20.9	21.0	21.2	21.4	21.6	21.7	21.9	22.1	22.3	22.4	22.6	22.8	23.0	
32.0	21.8	22.0	22.2	22.4	22.5	22.7	22.9	23.1	23.3	23.5	23.6	23.8	24.0	
33.0	22.8	23.0	23.2	23.4	23.5	23.7	23.9	24.1	24.3	24.5	24.7	24.9	25.1	
34.0	23.8	24.0	24.2	24.4	24.6	24.8	25.0	25.2	25.3	25.5	25.7	25.9	26.1	
35.0	24.8	25.0	25.2	25.4	25.6	25.8	26.0	26.2	26.4	26.6	26.8	27.0	27.2	
36.0	25.8	26.0	26.2	26.4	26.6	26.8	27.0	27.3	27.5	27.7	27.9	28.1	28.3	
37.0	26.8	27.0	27.2	27.4	27.7	27.9	28.1	28.3	28.6	28.8	29.0	29.2	29.5	
38.0	27.8	28.0	28.3	28.5	28.7	29.0	29.2	29.4	29.7	29.9	30.1	30.4	30.6	
39.0	28.9	29.1	29.3	29.6	29.8	30.0	30.3	30.5	30.8	31.0	31.2	31.5	31.7	
40.0	29.9	30.1	30.4	30.6	30.9	31.1	31.4	31.6	31.9	32.1	32.4	32.6	32.9	
41.0	31.0	31.2	31.5	31.7	32.0	32.2	32.5	32.7	33.0	33.3	33.5	33.8	34.0	
42.0	32.0	32.3	32.6	32.8	33.1	33.3	33.6	33.9	34.1	34.4	34.7	35.0	35.2	
43.0	33.1	33.4	33.7	33.9	34.2	34.5	34.7	35.0	35.3	35.6	35.9	36.0	36.4	
44.0	34.2	34.5	34.8	35.0	35.3	35.6	35.9	36.2	36.5	36.7	37.0	37.3	37.6	
45.0	35.3	35.6	35.9	36.2	36.5	36.8	37.0	37.3	37.6	37.9	38.2	38.5	38.8	
46.0	36.4	36.7	37.0	37.3	37.6	37.9	38.2	38.5	38.8	39.1	39.4	39.7	40.0	
47.0	37.5	37.8	38.1	38.5	38.8	39.1	39.4	39.7	40.0	40.3	40.6	41.0	41.3	
48.0	38.7	39.0	39.3	39.6	39.9	40.3	40.6	40.9	41.2	41.5	41.9	42.2	42.5	
49.0	39.8	40.1	40.5	40.8	41.1	41.4	41.8	42.1	42.4	42.8	43.1	43.4	43.8	
50.0	41.0	41.3	41.6	42.0	42.3	42.6	43.0	43.3	43.7	44.0	44.4	44.7	45.0	
51.0	42.1	42.5	42.8	43.2	43.5	43.8	44.2	44.5	44.9	45.3	45.6	46.0	46.3	
52.0	43.3	43.6	44.0	44.3	44.7	45.1	45.4	45.8	46.1	46.5	46.9	47.2	47.6	

续表 N. 0.2

平均 回弹值 R_m	测区混凝土强度换算值 $f_{cu,i}^e$ (MPa)													
	超声波速 v_s (km/s)													
	4.06	4.08	4.10	4.12	4.14	4.16	4.18	4.20	4.22	4.24	4.26	4.28	4.30	
53.0	44.5	44.8	45.2	45.6	45.9	46.3	46.7	47.0	47.4	47.8	48.1	48.5	48.9	
54.0	45.7	46.0	46.4	46.8	47.2	47.5	47.9	48.3	48.7	49.1	49.4	49.8	50.2	
55.0	46.8	47.2	47.6	48.0	48.4	48.8	49.2	49.6	49.9	50.3	50.7	51.1	51.5	
平均 回弹值 R_m	测区混凝土强度换算值 $f_{cu,i}^e$ (MPa)													
	超声波速 v_s (km/s)													
	4.32	4.34	4.36	4.38	4.40	4.42	4.44	4.46	4.48	4.50	4.52	4.54	4.56	
20.0	12.5	12.6	12.7	12.8	12.9	13.0	13.0	13.1	13.2	13.3	13.4	13.5	13.6	
21.0	13.4	13.5	13.6	13.7	13.8	13.9	14.0	14.1	14.2	14.3	14.4	14.5	14.6	
22.0	14.3	14.4	14.5	14.6	14.7	14.8	14.9	15.0	15.1	15.3	15.4	15.5	15.6	
23.0	15.2	15.3	15.4	15.5	15.7	15.8	15.9	16.0	16.1	16.2	16.4	16.5	16.6	
24.0	16.1	16.2	16.4	16.5	16.6	16.7	16.9	17.0	17.1	17.3	17.4	17.5	17.6	
25.0	17.1	17.2	17.3	17.5	17.6	17.7	17.9	18.0	18.1	18.3	18.4	18.5	18.7	
26.0	18.1	18.2	18.3	18.5	18.6	18.7	18.9	19.0	19.2	19.3	19.5	19.6	19.7	
27.0	19.0	19.2	19.3	19.5	19.6	19.8	19.9	20.1	20.2	20.4	20.5	20.7	20.8	
28.0	20.0	20.2	20.3	20.5	20.7	20.8	21.0	21.1	21.3	21.4	21.6	21.8	21.9	
29.0	21.1	21.2	21.4	21.5	21.7	21.9	22.0	22.2	22.4	22.5	22.7	22.9	23.0	
30.0	22.1	22.3	22.4	22.6	22.8	22.9	23.1	23.3	23.5	23.6	23.8	24.0	24.2	
31.0	23.1	23.3	23.5	23.7	23.8	24.0	24.2	24.4	24.6	24.8	24.9	25.1	25.3	
32.0	24.2	24.4	24.6	24.8	24.9	25.1	25.3	25.5	25.7	25.9	26.1	26.3	26.5	
33.0	25.3	25.5	25.7	25.8	26.0	26.2	26.4	26.6	26.8	27.0	27.2	27.4	27.6	
34.0	26.4	26.6	26.8	27.0	27.2	27.4	27.6	27.8	28.0	28.2	28.4	28.6	28.8	
35.0	27.5	27.7	27.9	28.1	28.3	28.5	28.7	28.9	29.2	29.4	29.6	29.8	30.0	
36.0	28.6	28.8	29.0	29.2	29.4	29.7	29.9	30.1	30.3	30.6	30.8	31.0	31.2	
37.0	29.7	29.9	30.1	30.4	30.6	30.8	31.1	31.3	31.5	31.8	32.0	32.2	32.5	

续表 N. 0.2

平均 回弹值 R_m	测区混凝土强度换算值 $f_{cu,i}^e$ (MPa)												
	超声声速 v_s (km/s)												
	4.32	4.34	4.36	4.38	4.40	4.42	4.44	4.46	4.48	4.50	4.52	4.54	4.56
38.0	30.8	31.1	31.3	31.5	31.8	32.0	32.3	32.5	32.7	33.0	33.2	33.5	33.7
39.0	32.0	32.2	32.5	32.7	33.0	33.2	33.5	33.7	34.0	34.2	34.5	34.7	35.0
40.0	33.1	33.4	33.6	33.9	34.2	34.4	34.7	34.9	35.2	35.5	35.7	36.0	36.2
41.0	34.3	34.6	34.8	35.1	35.4	35.6	35.9	36.2	36.4	36.7	37.0	37.3	37.5
42.0	35.5	35.8	36.0	36.3	36.6	36.9	37.1	37.4	37.7	38.0	38.3	38.5	38.8
43.0	36.7	37.0	37.3	37.5	37.8	38.1	38.4	38.7	39.0	39.3	39.6	39.8	40.1
44.0	37.9	38.2	38.5	38.8	39.1	39.4	39.7	40.0	40.3	40.6	40.9	41.2	41.5
45.0	39.1	39.4	39.7	40.0	40.3	40.6	40.9	41.2	41.6	41.9	42.2	42.5	42.8
46.0	40.4	40.7	41.0	41.3	41.6	41.9	42.2	42.5	42.9	43.2	43.5	43.8	44.1
47.0	41.6	41.9	42.2	42.6	42.9	43.2	43.5	43.9	44.2	44.5	44.8	45.2	45.5
48.0	42.9	43.2	43.5	43.8	44.2	44.5	44.8	45.2	45.5	45.8	46.2	46.5	46.9
49.0	44.1	44.5	44.8	45.1	45.5	45.8	46.2	46.5	46.9	47.2	47.5	47.9	48.2
50.0	45.4	45.7	46.1	46.4	46.8	47.1	47.5	47.9	48.2	48.6	48.9	49.3	49.6
51.0	46.7	47.0	47.4	47.8	48.1	48.5	48.8	49.2	49.6	49.9	50.3	50.7	51.0
52.0	48.0	48.3	48.7	49.1	49.5	49.8	50.2	50.6	50.9	51.3	51.7	52.1	52.5
53.0	49.3	49.7	50.0	50.4	50.8	51.2	51.6	52.0	52.3	52.7	53.1	53.5	53.9
54.0	50.6	51.0	51.4	51.8	52.2	52.5	52.9	53.3	53.7	54.1	54.5	54.9	55.3
55.0	51.9	52.3	52.7	53.1	53.5	53.9	54.3	54.7	55.1	55.6	56.0	56.4	56.8
平均 回弹值 R_m	测区混凝土强度换算值 $f_{cu,i}^e$ (MPa)												
	超声声速 v_s (km/s)												
	4.58	4.60	4.62	4.64	4.66	4.68	4.70	4.72	4.74	4.76	4.78	4.80	4.82
20.0	13.7	13.8	13.9	14.0	14.1	14.2	14.3	14.4	14.5	14.6	14.7	14.8	14.9
21.0	14.7	14.8	14.9	15.0	15.1	15.3	15.4	15.5	15.6	15.7	15.8	15.9	16.0
22.0	15.7	15.8	15.9	16.1	16.2	16.3	16.4	16.5	16.6	16.7	16.9	17.0	17.1

续表 N. 0.2

平均 回弹值 R_m	测区混凝土强度换算值 $f_{cm,i}^c$ (MPa)													
	超声声速 v_s (km/s)													
	4.58	4.60	4.62	4.64	4.66	4.68	4.70	4.72	4.74	4.76	4.78	4.80	4.82	
23.0	16.7	16.9	17.0	17.1	17.2	17.3	17.5	17.6	17.7	17.8	18.0	18.1	18.2	
24.0	17.8	17.9	18.0	18.2	18.3	18.4	18.5	18.7	18.8	18.9	19.1	19.2	19.3	
25.0	18.8	19.0	19.1	19.2	19.4	19.5	19.6	19.8	19.9	20.1	20.2	20.3	20.5	
26.0	19.9	20.0	20.2	20.3	20.5	20.6	20.8	20.9	21.1	21.2	21.3	21.5	21.6	
27.0	21.0	21.1	21.3	21.4	21.6	21.7	21.9	22.0	22.2	22.4	22.5	22.7	22.8	
28.0	22.1	22.2	22.4	22.6	22.7	22.9	23.0	23.2	23.4	23.5	23.7	23.9	24.0	
29.0	23.2	23.4	23.5	23.7	23.9	24.0	24.2	24.4	24.6	24.7	24.9	25.1	25.2	
30.0	24.3	24.5	24.7	24.9	25.0	25.2	25.4	25.6	25.8	25.9	26.1	26.3	26.5	
31.0	25.5	25.7	25.9	26.0	26.2	26.4	26.6	26.8	27.0	27.2	27.4	27.5	27.7	
32.0	26.7	26.8	27.0	27.2	27.4	27.6	27.8	28.0	28.2	28.4	28.6	28.8	29.0	
33.0	27.8	28.0	28.2	28.4	28.6	28.8	29.1	29.3	29.5	29.7	29.9	30.1	30.3	
34.0	29.0	29.2	29.5	29.7	29.9	30.0	30.3	30.5	30.7	30.9	31.2	31.4	31.6	
35.0	30.2	30.5	30.7	30.9	31.1	31.3	31.6	31.8	32.0	32.2	32.5	32.7	32.9	
36.0	31.5	31.7	31.9	32.2	32.4	32.6	32.8	33.1	33.3	33.5	33.8	34.0	34.2	
37.0	32.7	32.9	33.2	33.4	33.7	33.9	34.1	34.4	34.6	34.9	35.1	35.3	35.6	
38.0	34.0	34.2	34.5	34.7	34.9	35.2	35.4	35.7	35.9	36.2	36.4	36.7	37.0	
39.0	35.2	35.5	35.7	36.0	36.2	36.5	36.8	37.0	37.3	37.5	37.8	38.1	38.3	
40.0	36.5	36.8	37.0	37.3	37.6	37.8	38.1	38.4	38.6	38.9	39.2	39.5	39.7	
41.0	37.8	38.1	38.3	38.6	38.9	39.3	39.5	39.7	40.0	40.3	40.6	40.9	41.1	
42.0	39.1	39.4	39.7	40.0	40.2	40.5	40.8	41.1	41.4	41.7	42.0	42.3	42.6	
43.0	40.4	40.7	41.0	41.3	41.6	41.9	42.2	42.5	42.8	43.1	43.4	43.7	44.0	
44.0	41.8	42.1	42.4	42.7	43.0	43.3	43.6	43.9	44.2	44.5	44.8	45.1	45.4	
45.0	43.1	43.4	43.7	44.0	44.4	44.7	45.0	45.3	45.6	45.9	46.3	46.6	46.9	
46.0	44.5	44.8	45.1	45.4	45.8	46.1	46.4	46.7	47.1	47.4	47.7	48.0	48.4	

续表 N. 0.2

平均 回弹值 R_m	测区混凝土强度换算值 $f_{cu,i}^e$ (MPa)													
	超声波速 v_s (km/s)													
4.58	4.60	4.62	4.64	4.66	4.68	4.70	4.72	4.74	4.76	4.78	4.80	4.82		
47.0	45.8	46.2	46.5	46.8	47.2	47.5	47.8	48.2	48.5	48.8	49.2	49.5	49.9	
48.0	47.2	47.5	47.9	48.2	48.6	48.9	49.3	49.6	50.0	50.3	50.7	51.0	51.4	
49.0	48.6	49.0	49.3	49.7	50.0	50.4	50.7	51.1	51.4	51.8	52.2	52.5	52.9	
50.0	50.0	50.4	50.7	51.1	51.5	51.8	52.2	52.6	52.9	53.3	53.7	54.0	54.4	
51.0	51.4	51.8	52.2	52.5	52.9	53.3	53.7	54.0	54.4	54.8	55.2	55.6	56.0	
52.0	52.8	53.2	53.6	54.0	54.4	54.8	55.2	55.5	55.9	56.3	56.7	57.1	57.5	
53.0	54.3	54.7	55.1	55.5	55.9	56.3	56.7	57.1	57.5	57.9	58.3	58.7	59.1	
54.0	55.7	56.1	56.5	56.9	57.4	57.8	58.2	58.6	59.0	59.4	59.8	60.2	60.7	
55.0	57.2	57.6	58.0	58.4	58.9	59.3	59.7	60.1	60.5	61.0	61.4	61.8	62.2	
平均 回弹值 R_m	测区混凝土强度换算值 $f_{cu,i}^e$ (MPa)													
	超声波速 v_s (km/s)													
4.84	4.86	4.88	4.90	4.92	4.94	4.96	4.98	5.00	5.02	5.04	5.06	5.08		
20.0	15.1	15.2	15.3	15.4	15.5	15.6	15.7	15.8	15.9	16.0	16.1	16.2	16.3	
21.0	16.1	16.2	16.3	16.5	16.6	16.7	16.8	16.9	17.0	17.1	17.2	17.4	17.5	
22.0	17.2	17.3	17.5	17.6	17.7	17.8	17.9	18.1	18.2	18.3	18.4	18.5	18.7	
23.0	18.3	18.5	18.6	18.7	18.8	19.0	19.1	19.2	19.3	19.5	19.6	19.7	19.9	
24.0	19.5	19.6	19.7	19.9	20.0	20.1	20.3	20.4	20.5	20.7	20.8	21.0	21.1	
25.0	20.6	20.8	20.9	21.0	21.2	21.3	21.5	21.6	21.8	21.9	22.0	22.2	22.3	
26.0	21.8	21.9	22.1	22.2	22.4	22.5	22.7	22.8	23.0	23.1	23.3	23.5	23.6	
27.0	23.0	23.1	23.3	23.5	23.6	23.8	23.9	24.1	24.3	24.4	24.6	24.7	24.9	
28.0	24.2	24.4	24.5	24.7	24.9	25.0	25.2	25.4	25.5	25.7	25.9	26.0	26.2	
29.0	25.4	25.6	25.8	25.9	26.1	26.3	26.5	26.6	26.8	27.0	27.2	27.4	27.5	
30.0	26.7	26.8	27.0	37.2	27.4	27.6	27.8	28.0	28.1	28.3	28.5	28.7	28.9	
31.0	27.9	28.1	28.3	28.5	28.7	28.9	29.1	29.3	29.5	29.7	29.9	30.1	30.3	

续表 N. 0.2

平均 回弹值 R_m	测区混凝土强度换算值 $f_{cu,i}^c$ (MPa)												
	超声波速 v_s (km/s)												
	4.84	4.86	4.88	4.90	4.92	4.94	4.96	4.98	5.00	5.02	5.04	5.06	5.08
32.0	29.2	29.4	29.6	29.8	30.0	30.2	30.4	30.6	30.8	31.0	31.2	31.4	31.6
33.0	30.5	30.7	30.9	31.1	31.3	31.5	31.8	32.0	32.2	32.4	32.6	32.8	33.0
34.0	31.8	32.0	32.2	32.5	32.7	32.9	33.1	33.3	33.6	33.8	34.0	34.2	34.5
35.0	33.1	33.4	33.6	33.8	34.0	34.3	34.5	34.7	35.0	35.2	35.4	35.7	35.9
36.0	34.5	34.7	35.0	35.2	35.4	35.7	35.9	36.1	36.4	36.6	36.9	37.1	37.4
37.0	35.8	36.1	36.3	36.6	36.8	37.1	37.3	37.6	37.8	38.1	38.3	38.6	38.8
38.0	37.2	37.5	37.7	38.0	38.2	38.5	38.7	39.0	39.3	39.5	39.8	40.1	40.3
39.0	38.6	38.9	39.1	39.4	39.7	39.9	40.2	40.5	40.7	41.0	41.3	41.5	41.8
40.0	40.0	40.3	40.5	40.8	41.1	41.4	41.7	41.9	42.2	42.5	42.8	43.1	43.3
41.0	41.4	41.7	42.0	42.3	42.6	42.8	43.1	43.4	43.7	44.0	44.3	44.6	44.9
42.0	42.8	43.1	43.4	43.7	44.0	44.3	44.6	44.9	45.2	45.5	45.8	46.1	46.4
43.0	44.3	44.6	44.9	45.2	45.5	45.8	46.1	46.4	46.7	47.1	47.4	47.7	48.0
44.0	45.8	46.1	46.4	46.7	47.0	47.3	47.6	48.0	48.3	48.6	48.9	49.2	49.6
45.0	47.2	47.6	47.9	48.2	48.5	48.9	49.2	49.5	49.8	50.2	50.5	50.8	51.2
46.0	48.7	49.0	49.4	49.7	50.1	50.4	50.7	51.1	51.4	51.8	52.1	52.4	52.8
47.0	50.2	50.6	50.9	51.2	51.6	51.9	52.3	52.6	53.0	53.3	53.7	54.0	54.4
48.0	51.7	52.1	52.4	52.8	53.2	53.5	53.9	54.2	54.6	55.0	55.3	55.7	56.0
49.0	53.3	53.6	54.0	54.4	54.7	55.1	55.5	55.8	56.2	56.6	56.9	57.3	57.7
50.0	54.8	55.2	55.5	55.9	56.3	56.7	57.1	57.4	57.8	58.2	58.6	59.0	59.4
51.0	56.3	56.7	57.1	57.5	57.9	58.3	58.7	59.1	59.5	59.9	60.3	60.6	61.0
52.0	57.9	58.3	58.7	59.1	59.5	59.9	60.3	60.7	61.1	61.5	61.9	62.3	62.7
53.0	59.5	59.9	60.3	60.7	61.1	61.5	61.9	62.4	62.8	63.2	63.6	64.0	64.4
54.0	61.1	61.5	61.9	62.3	62.8	63.2	63.6	64.0	64.5	64.9	65.3	65.7	66.2
55.0	62.7	63.1	63.5	64.0	64.4	64.8	65.3	65.7	66.1	66.6	67.0	67.5	67.9

续表 N.0.2

平均 回弹值 R_m	测区混凝土强度换算值 $f_{cu,i}^o$ (MPa)												
	超声波速 v_s (km/s)												
	5.10	5.12	5.14	5.16	5.18	5.20	5.22	5.24	5.26	5.28	5.30	5.32	5.34
20.0	16.4	16.5	16.6	16.7	16.8	17.0	17.1	17.2	17.3	17.4	17.5	17.6	17.7
21.0	17.6	17.7	17.8	17.9	18.0	18.2	18.3	18.4	18.5	18.6	18.7	18.9	19.0
22.0	18.8	18.9	19.0	19.1	19.3	19.4	19.5	19.6	19.8	19.9	20.0	20.1	20.3
23.0	20.0	20.1	20.3	20.4	20.5	20.6	20.8	20.9	21.0	21.2	21.3	21.4	21.6
24.0	21.2	21.4	21.5	21.6	21.8	21.9	22.1	22.2	22.3	22.5	22.6	22.8	22.9
25.0	22.5	22.6	22.8	22.9	23.1	23.2	23.4	23.5	23.7	23.8	24.0	24.1	24.3
26.0	23.8	23.9	24.1	24.2	24.4	24.5	24.7	24.9	25.0	25.2	25.3	25.5	25.6
27.0	25.1	25.2	25.4	25.6	25.7	25.9	26.0	26.2	26.4	26.5	26.7	26.9	27.0
28.0	26.4	26.6	26.7	26.9	27.1	27.2	27.4	27.6	27.8	27.9	28.1	28.3	28.5
29.0	27.7	27.9	28.1	28.3	28.4	28.6	28.8	29.0	29.2	29.4	29.5	29.7	29.9
30.0	29.1	29.3	29.5	29.6	29.8	30.0	30.2	30.4	30.6	30.8	31.0	31.2	31.4
31.0	30.5	30.6	30.8	31.0	31.2	31.4	31.6	31.8	32.1	32.3	32.5	32.7	32.9
32.0	31.8	32.1	32.3	32.5	32.7	32.9	33.1	33.3	33.5	33.7	33.9	34.2	34.4
33.0	33.3	33.5	33.7	33.9	34.1	34.3	34.6	34.8	35.0	35.2	35.4	35.7	35.9
34.0	34.7	34.9	35.1	35.4	35.6	35.8	36.1	36.3	36.5	36.7	37.0	37.2	37.4
35.0	36.1	36.4	36.6	36.8	37.1	37.3	37.6	37.8	38.0	38.3	38.5	38.8	39.0
36.0	37.6	37.8	38.1	38.3	38.6	38.8	39.1	39.3	39.6	39.8	40.1	40.3	40.6
37.0	39.1	39.3	39.6	39.8	40.1	40.4	40.6	40.9	41.1	41.4	41.7	41.9	42.2
38.0	40.6	40.8	41.1	41.4	41.6	41.9	42.2	42.4	42.7	43.0	43.2	43.5	43.8
39.0	42.1	42.4	42.6	42.9	43.2	43.5	43.7	44.0	44.3	44.6	44.9	45.1	45.4
40.0	43.6	43.9	44.2	44.5	44.8	45.0	45.3	45.6	45.9	46.2	46.5	46.8	47.1
41.0	45.2	45.5	45.8	46.1	46.3	46.6	46.9	47.2	47.5	47.8	48.1	48.4	48.7
42.0	46.7	47.0	47.3	47.6	47.9	48.3	48.6	48.9	49.2	49.5	49.8	50.1	50.4
43.0	48.3	48.6	48.9	49.2	49.6	49.9	50.2	50.5	50.8	51.2	51.5	51.8	52.1

续表 N. 0.2

平均 回弹值 R_m	测区混凝土强度换算值 $f_{cu,i}^e$ (MPa)												
	超声声速 v_s (km/s)												
	5.10	5.12	5.14	5.16	5.18	5.20	5.22	5.24	5.26	5.28	5.30	5.32	5.34
44.0	49.9	50.2	50.5	50.9	51.2	51.5	51.9	52.2	52.5	52.8	53.2	53.5	53.8
45.0	51.5	51.8	52.2	52.5	52.8	53.2	53.5	53.9	54.2	54.5	54.9	55.2	55.6
46.0	53.1	53.5	53.8	54.2	54.5	54.9	55.2	55.6	55.9	56.3	56.6	57.0	57.3
47.0	54.8	55.1	55.5	55.8	56.2	56.5	56.9	57.3	57.6	58.0	58.4	58.7	59.1
48.0	56.4	56.8	57.1	57.5	57.9	58.3	58.6	59.0	59.4	59.7	60.1	60.5	60.9
49.0	58.1	58.5	58.8	59.2	59.6	60.0	60.4	60.7	61.1	61.5	61.9	62.3	62.7
50.0	59.8	60.1	60.5	60.9	61.3	61.7	62.1	62.5	62.9	63.3	63.7	64.1	64.5
51.0	61.4	61.8	62.2	62.6	63.0	63.5	63.9	64.3	64.7	65.1	65.5	65.9	66.3
52.0	63.1	63.6	64.0	64.4	64.8	65.2	65.6	66.0	66.5	66.9	67.3	67.7	68.1
53.0	64.9	65.3	65.7	66.1	66.6	67.0	67.4	67.8	68.3	68.7	69.1	69.6	70.0
54.0	66.6	67.0	67.5	67.9	68.3	68.8	69.2	69.7	—	—	—	—	—
55.0	68.3	68.8	69.2	69.7	—	—	—	—	—	—	—	—	—

注:1 表内未列数值要用内插法求得,精确至 0.1 MPa。

2 表中 R_m 为修正后的测区回弹值, v_s 为修正后的超声声速值(km/s)。

3 $f_{cu,i}^e$ 为测区混凝土强度换算值,也可按式(4.3.14—1)计算。

N. 0.3 超声回弹综合法测区混凝土强度换算(回弹仪标称动能 4.5 J 和 5.5 J)应按表 N. 0.3 取值。

表 N. 0.3 超声回弹综合法测区混凝土强度换算表

(回弹仪标称动能 4.5 J 和 5.5 J)

平均 回弹值 R_m	测区混凝土强度换算值 $f_{cu,i}^e$ (MPa)												
	超声声速 v_s (km/s)												
	3.18	3.20	3.22	3.24	3.26	3.28	3.30	3.32	3.34	3.36	3.38	3.40	3.42
28.0	—	—	—	—	—	—	—	—	—	—	—	—	—
29.0	—	—	20.0	20.1	20.1	20.2	20.3	20.3	20.4	20.5	20.5	20.6	20.7

续表 N. 0.3

平均 回弹值 R_e	测区混凝土强度换算值 $f_{cu,i}^e$ (MPa)												
	超声声速 v_s (km/s)												
	3.18	3.20	3.22	3.24	3.26	3.28	3.30	3.32	3.34	3.36	3.38	3.40	3.42
30.0	20.8	20.9	20.9	21.0	21.1	21.2	21.2	21.3	21.4	21.4	21.5	21.6	21.6
31.0	21.7	21.8	21.9	22.0	22.0	22.1	22.2	22.2	22.3	22.4	22.5	22.5	22.6
32.0	22.7	22.8	22.8	22.9	23.0	23.1	23.1	23.2	23.3	23.4	23.4	23.5	23.6
33.0	23.6	23.7	23.8	23.9	24.0	24.0	24.1	24.2	24.3	24.3	24.4	24.5	24.6
34.0	24.6	24.7	24.8	24.8	24.9	25.0	25.1	25.2	25.3	25.3	25.4	25.5	25.6
35.0	25.6	25.7	25.7	25.8	25.9	26.0	26.1	26.2	26.3	26.3	26.4	26.5	26.6
36.0	26.6	26.6	26.7	26.8	26.9	27.0	27.1	27.2	27.3	27.4	27.4	27.5	27.6
37.0	27.5	27.6	27.7	27.8	27.9	28.0	28.1	28.2	28.3	28.4	28.5	28.6	28.6
38.0	28.5	28.6	28.7	28.8	28.9	29.0	29.1	29.2	29.3	29.4	29.5	29.6	29.7
39.0	29.6	29.7	29.8	29.9	30.0	30.0	30.1	30.2	30.3	30.4	30.5	30.6	30.7
40.0	30.6	30.7	30.8	30.9	31.0	31.1	31.2	31.3	31.4	31.5	31.6	31.7	31.8
41.0	31.6	31.7	31.8	31.9	32.0	32.1	32.2	32.3	32.4	32.6	32.7	32.8	32.9
42.0	32.6	32.7	32.9	33.0	33.1	33.2	33.3	33.4	33.5	33.6	33.7	33.8	33.9
43.0	33.7	33.8	33.9	34.0	34.1	34.2	34.4	34.5	34.6	34.7	34.8	34.9	35.0
44.0	34.7	34.8	35.0	35.1	35.2	35.3	35.4	35.5	35.7	35.8	35.9	36.0	36.1
45.0	35.8	35.9	36.0	36.2	36.3	36.4	36.5	36.6	36.8	36.9	37.0	37.1	37.2
46.0	36.9	37.0	37.1	37.2	37.4	37.5	37.6	37.7	37.8	38.0	38.1	38.2	38.3
47.0	37.9	38.1	38.2	38.3	38.4	38.6	38.7	38.8	39.0	39.1	39.2	39.3	39.5
48.0	39.0	39.2	39.3	39.4	39.5	39.7	39.8	39.9	40.1	40.2	40.3	40.5	40.6
49.0	40.1	40.2	40.4	40.5	40.7	40.8	40.9	41.1	41.2	41.3	41.5	41.6	41.7
50.0	41.2	41.3	41.5	41.6	41.8	41.9	42.0	42.2	42.3	42.5	42.6	42.7	42.9
51.0	42.3	42.5	42.6	42.7	42.9	43.0	43.2	43.3	43.5	43.6	43.7	43.9	44.0
52.0	43.4	43.6	43.7	43.9	44.0	44.2	44.3	44.4	44.6	44.7	44.9	45.0	45.2
53.0	44.6	44.7	44.9	45.0	45.2	45.3	45.4	45.6	45.7	45.9	46.0	46.2	46.3

续表 N. 0.3

平均 回弹值 <i>R_m</i>	测区混凝土强度换算值 $f_{cu,i}^e$ (MPa)												
	超声波速 v_s (km/s)												
	3.18	3.20	3.22	3.24	3.26	3.28	3.30	3.32	3.34	3.36	3.38	3.40	3.42
54.0	45.7	45.8	46.0	46.1	46.3	46.4	46.6	46.8	46.9	47.1	47.2	47.4	47.5
55.0	46.8	47.0	47.1	47.3	47.4	47.6	47.8	47.9	48.1	48.2	48.4	48.5	48.7
56.0	48.0	48.1	48.3	48.4	48.6	48.8	48.9	49.1	49.2	49.4	49.6	49.7	49.9
57.0	49.1	49.3	49.4	49.6	49.8	49.9	50.1	50.3	50.4	50.6	50.7	50.9	51.1
58.0	50.3	50.4	50.6	50.8	50.9	51.1	51.3	51.4	51.6	51.8	51.9	52.1	52.3
59.0	51.4	51.6	51.8	51.9	52.1	52.3	52.5	52.6	52.8	53.0	53.1	53.3	53.5
60.0	52.6	52.8	52.9	53.1	53.3	53.5	53.7	53.8	54.0	54.2	54.4	54.5	54.7
61.0	53.8	54.0	54.1	54.3	54.5	54.7	54.9	55.0	55.2	55.4	55.6	55.7	55.9
62.0	55.0	55.1	55.3	55.5	55.7	55.9	56.1	56.2	56.4	56.6	56.8	57.0	57.2
63.0	56.1	56.3	56.5	56.7	56.9	57.1	57.3	57.5	57.6	57.8	58.0	58.2	58.4
64.0	57.3	57.5	57.7	57.9	58.1	58.3	58.5	58.7	58.9	59.1	59.3	59.4	59.6
65.0	58.5	58.7	58.9	59.1	59.3	59.5	59.7	59.9	60.1	60.3	60.5	60.7	60.9
66.0	59.7	59.9	60.2	60.4	60.6	60.8	61.0	61.2	61.3	61.5	61.7	61.9	62.1
67.0	61.0	61.2	61.4	61.6	61.8	62.0	62.2	62.4	62.6	62.8	63.0	63.2	63.4
68.0	62.2	62.4	62.6	62.8	63.0	63.2	63.4	63.6	63.8	64.1	64.3	64.5	64.7
69.0	63.4	63.6	63.8	64.1	64.3	64.5	64.7	64.9	65.1	65.3	65.5	65.7	65.9
70.0	64.6	64.9	65.1	65.3	65.5	65.7	65.9	66.2	66.4	66.6	66.8	67.0	67.2
71.0	65.9	66.1	66.3	66.5	66.8	67.0	67.2	67.4	67.6	67.9	68.1	68.3	68.5
72.0	67.1	67.4	67.6	67.8	68.0	68.3	68.5	68.7	68.9	69.1	69.4	69.6	69.8
73.0	68.4	68.6	68.8	69.1	69.3	69.5	69.8	70.0	70.2	70.4	70.7	70.9	71.1
74.0	69.6	69.9	70.1	70.3	70.6	70.8	71.0	71.3	71.5	71.7	72.0	72.2	72.4
75.0	70.9	71.1	71.4	71.6	71.8	72.1	72.3	72.6	72.8	73.0	73.3	73.5	73.7
76.0	72.2	72.4	72.6	72.9	73.1	73.4	73.6	73.9	74.1	74.3	74.6	74.8	75.0
77.0	73.4	73.7	73.9	74.2	74.4	74.7	74.9	75.2	75.4	75.6	75.9	76.1	76.4

续表 N. 0.3

平均 回弹值 R_m	测区混凝土强度换算值 $f_{cu,i}^e$ (MPa)												
	超声波速 v_s (km/s)												
3.18	3.20	3.22	3.24	3.26	3.28	3.30	3.32	3.34	3.36	3.38	3.40	3.42	
78.0	74.7	75.0	75.2	75.5	75.7	76.0	76.2	76.5	76.7	77.0	77.2	77.5	77.7
79.0	76.0	76.3	76.5	76.8	77.0	77.3	77.5	77.8	78.0	78.3	78.5	78.8	79.0
80.0	77.3	77.5	77.8	78.1	78.3	78.6	78.8	79.1	79.4	79.6	79.9	80.1	80.4
81.0	78.6	78.8	79.1	79.4	79.6	79.9	80.2	80.4	80.7	80.9	81.2	81.5	81.7
82.0	79.9	80.2	80.4	80.7	81.0	81.2	81.5	81.8	82.0	82.3	82.6	82.8	83.1
83.0	81.2	81.5	81.7	82.0	82.3	82.6	82.8	83.1	83.4	83.6	83.9	84.2	84.4
84.0	82.5	82.8	83.1	83.3	83.6	83.9	84.2	84.4	84.7	85.0	85.3	85.5	85.8
85.0	83.8	84.1	84.4	84.7	84.9	85.2	85.5	85.8	86.1	86.3	86.6	86.9	87.2
86.0	85.1	85.4	85.7	86.0	86.3	86.6	86.9	87.1	87.4	87.7	88.0	88.3	88.5
87.0	86.5	86.8	87.1	87.3	87.6	87.9	88.2	88.5	88.8	89.1	89.4	89.6	89.9
88.0	87.8	88.1	88.4	88.7	89.0	89.3	89.6	89.9	90.2	90.4	90.7	91.0	91.3
89.0	89.1	89.4	89.7	90.0	90.3	90.6	90.9	91.2	91.5	91.8	92.1	92.4	92.7
90.0	90.5	90.8	91.1	91.4	91.7	92.0	92.3	92.6	92.9	93.2	93.5	93.8	94.1
平均 回弹值 R_m	测区混凝土强度换算值 $f_{cu,i}^e$ (MPa)												
	超声波速 v_s (km/s)												
3.44	3.46	3.48	3.50	3.52	3.54	3.56	3.58	3.60	3.62	3.64	3.66	3.68	
28.0	—	—	—	20.0	20.0	20.1	20.2	20.2	20.3	20.3	20.4	20.5	20.5
29.0	20.7	20.8	20.9	20.9	21.0	21.1	21.1	21.2	21.3	21.3	21.4	21.4	21.5
30.0	21.7	21.8	21.8	21.9	22.0	22.0	22.1	22.2	22.2	22.3	22.4	22.4	22.5
31.0	22.7	22.7	22.8	22.9	23.0	23.0	23.1	23.2	23.2	23.3	23.4	23.4	23.5
32.0	23.7	23.7	23.8	23.9	24.0	24.0	24.1	24.2	24.2	24.3	24.4	24.5	24.5
33.0	24.7	24.7	24.8	24.9	25.0	25.0	25.1	25.2	25.3	25.3	25.4	25.5	25.6
34.0	25.7	25.7	25.8	25.9	26.0	26.1	26.1	26.2	26.3	26.4	26.5	26.5	26.6
35.0	26.7	26.8	26.8	26.9	27.0	27.1	27.2	27.3	27.3	27.4	27.5	27.6	27.7

续表 N.0.3

平均 回弹值 R_m	测区混凝土强度换算值 $f_{cu,i}^e$ (MPa)												
	超声波速 v_s (km/s)												
	3.44	3.46	3.48	3.50	3.52	3.54	3.56	3.58	3.60	3.62	3.64	3.66	3.68
36.0	27.7	27.8	27.9	28.0	28.0	28.1	28.2	28.3	28.4	28.5	28.6	28.6	28.7
37.0	28.7	28.8	28.9	29.0	29.1	29.2	29.3	29.4	29.4	29.5	29.6	29.7	29.8
38.0	29.8	29.9	30.0	30.1	30.2	30.2	30.3	30.4	30.5	30.6	30.7	30.8	30.9
39.0	30.8	30.9	31.0	31.1	31.2	31.3	31.4	31.5	31.6	31.7	31.8	31.9	32.0
40.0	31.9	32.0	32.1	32.2	32.3	32.4	32.5	32.6	32.7	32.8	32.9	33.0	33.1
41.0	33.0	33.1	33.2	33.3	33.4	33.5	33.6	33.7	33.8	33.9	34.0	34.1	34.2
42.0	34.0	34.2	34.3	34.4	34.5	34.6	34.7	34.8	34.9	35.0	35.1	35.2	35.3
43.0	35.1	35.2	35.4	35.5	35.6	35.7	35.8	35.9	36.0	36.1	36.2	36.3	36.4
44.0	36.2	36.3	36.5	36.6	36.7	36.8	36.9	37.0	37.1	37.2	37.4	37.5	37.6
45.0	37.3	37.5	37.3	37.7	37.8	37.9	38.0	38.2	38.3	38.4	38.5	38.6	38.7
46.0	38.5	38.6	38.7	38.8	38.9	39.1	39.2	39.3	39.4	39.5	39.6	39.8	39.9
47.0	39.6	39.7	39.8	39.9	40.1	40.2	40.3	40.4	40.6	40.7	40.8	40.9	41.0
48.0	40.7	40.8	41.0	41.1	41.2	41.3	41.5	41.6	41.7	41.8	42.0	42.1	42.2
49.0	41.8	42.0	42.1	42.2	42.4	42.5	42.6	42.8	42.9	43.0	43.1	43.3	43.4
50.0	43.0	43.1	43.3	43.4	43.5	43.7	43.8	43.9	44.1	44.2	44.3	44.5	44.6
51.0	44.1	44.3	44.4	44.6	44.7	44.8	45.0	45.1	45.2	45.4	45.5	45.6	45.8
52.0	45.3	45.5	45.6	45.7	45.9	46.0	46.2	46.3	46.4	46.6	46.7	46.8	47.0
53.0	46.5	46.6	46.8	46.9	47.1	47.2	47.3	47.5	47.6	47.8	47.9	48.1	48.2
54.0	47.7	47.8	48.0	48.1	48.2	48.4	48.5	48.7	48.8	49.0	49.1	49.3	49.4
55.0	48.8	49.0	49.1	49.3	49.4	49.6	49.8	49.9	50.1	50.2	50.4	50.5	50.6
56.0	50.0	50.2	50.3	50.5	50.7	50.8	51.0	51.1	51.3	51.4	51.6	51.7	51.9
57.0	51.2	51.4	51.6	51.7	51.9	52.0	52.2	52.3	52.5	52.7	52.8	53.0	53.1
58.0	52.4	52.6	52.8	52.9	53.1	53.3	53.4	53.6	53.7	53.9	54.1	54.2	54.4
59.0	53.6	53.8	54.0	54.2	54.3	54.5	54.7	54.8	55.0	55.1	55.3	55.5	55.6

续表 N. 0.3

平均 回弹值 R_m	测区混凝土强度换算值 $f_{cu,i}^e$ (MPa)												
	超声波速 v_s (km/s)												
	3.44	3.46	3.48	3.50	3.52	3.54	3.56	3.58	3.60	3.62	3.64	3.66	3.68
60.0	54.9	55.0	55.2	55.4	55.6	55.7	55.9	56.1	56.2	56.4	56.6	56.7	56.9
61.0	56.1	56.3	56.4	56.6	56.8	57.0	57.1	57.3	57.5	57.7	57.8	58.0	58.2
62.0	57.3	57.5	57.7	57.9	58.0	58.2	58.4	58.6	58.8	58.9	59.1	59.3	59.5
63.0	58.6	58.8	58.9	59.1	59.3	59.5	59.7	59.8	60.0	60.2	60.4	60.6	60.7
64.0	59.8	60.0	60.2	60.4	60.6	60.8	60.9	61.1	61.3	61.5	61.7	61.9	62.0
65.0	61.1	61.3	61.5	61.6	61.8	62.0	62.2	62.4	62.6	62.8	63.0	63.1	63.3
66.0	62.3	62.5	62.7	62.9	63.1	63.3	63.5	63.7	63.9	64.1	64.3	64.5	64.6
67.0	63.6	63.8	64.0	64.2	64.4	64.6	64.8	65.0	65.2	65.4	65.6	65.8	66.0
68.0	64.9	65.1	65.3	65.5	65.7	65.9	66.1	66.3	66.5	66.7	66.9	67.1	67.3
69.0	66.2	66.4	66.6	66.8	67.0	67.2	67.4	67.6	67.8	68.0	68.2	68.4	68.6
70.0	67.4	67.7	67.9	68.1	68.3	68.5	68.7	68.9	69.1	69.3	69.5	69.7	69.9
71.0	68.7	68.9	69.2	69.4	69.6	69.8	70.0	70.2	70.4	70.6	70.9	71.1	71.3
72.0	70.0	70.2	70.5	70.7	70.9	71.1	71.3	71.6	71.8	72.0	72.2	72.4	72.6
73.0	71.3	71.6	71.8	72.0	72.2	72.4	72.7	72.9	73.1	73.3	73.5	73.8	74.0
74.0	72.6	72.9	73.1	73.3	73.6	73.8	74.0	74.2	74.4	74.7	74.9	75.1	75.3
75.0	74.0	74.2	74.4	74.7	74.9	75.1	75.3	75.6	75.8	76.0	76.2	76.5	76.7
76.0	75.3	75.5	75.8	76.0	76.2	76.5	76.7	76.9	77.2	77.4	77.6	77.8	78.1
77.0	76.6	76.9	77.1	77.3	77.6	77.8	78.0	78.3	78.5	78.7	79.0	79.2	79.4
78.0	77.9	78.2	78.4	78.7	78.9	79.2	79.4	79.6	79.9	80.1	80.4	80.6	80.8
79.0	79.3	79.5	79.8	80.0	80.3	80.5	80.8	81.0	81.3	81.5	81.7	82.0	82.2
80.0	80.6	80.9	81.1	81.4	81.6	81.9	82.1	82.4	82.6	82.9	83.1	83.4	83.6
81.0	82.0	82.2	82.5	82.8	83.0	83.3	83.5	83.8	84.0	84.3	84.5	84.8	85.0
82.0	83.3	83.6	83.9	84.1	84.4	84.6	84.6	85.2	85.4	85.7	85.9	86.2	86.4
83.0	84.7	85.0	85.2	85.5	85.8	86.0	86.3	86.5	86.8	87.1	87.3	87.6	87.8

续表 N.0.3

平均 回弹值 R_m	测区混凝土强度换算值 $f_{cu,i}^e$ (MPa)												
	超声波速 v_s (km/s)												
3.44	3.46	3.48	3.50	3.52	3.54	3.56	3.58	3.60	3.62	3.64	3.66	3.68	
84.0	86.1	86.3	86.6	86.9	87.1	87.4	87.7	87.9	88.2	88.5	88.7	89.0	89.3
85.0	87.4	87.7	88.0	88.3	88.5	88.8	89.1	89.3	59.6	89.9	90.1	90.4	90.7
86.0	88.8	89.1	89.4	89.7	89.9	90.2	80.5	90.8	91.0	91.3	91.6	91.8	92.1
87.0	90.2	90.5	90.8	91.1	91.3	91.6	91.9	92.2	92.4	92.7	93.0	93.3	93.5
88.0	91.6	91.9	92.2	92.5	92.7	93.0	93.3	93.6	93.9	94.2	94.4	94.7	95.0
89.0	93.0	93.3	93.6	93.9	94.2	94.4	94.7	95.0	95.3	95.6	95.9	96.2	96.4
90.0	94.4	94.7	95.0	95.3	95.6	95.9	96.2	96.4	96.7	97.0	97.3	97.6	97.9
平均 回弹值 R_m	测区混凝土强度换算值 $f_{cu,i}^e$ (MPa)												
	超声波速 v_s (km/s)												
3.70	3.72	3.74	3.76	3.78	3.80	3.82	3.84	3.86	3.88	3.90	3.92	3.94	
28.0	20.6	20.6	20.7	20.8	20.8	20.9	20.9	21.0	21.1	21.1	21.2	21.2	21.3
29.0	21.6	21.6	21.7	21.8	21.8	21.9	21.9	22.0	22.1	22.1	22.2	22.3	22.3
30.0	22.6	22.6	22.7	22.8	22.8	22.9	23.0	23.0	23.1	23.2	23.2	23.3	23.4
31.0	23.6	23.7	23.7	23.8	23.9	23.9	24.0	24.1	24.1	24.2	24.3	24.3	24.4
32.0	24.6	24.7	24.8	24.8	24.9	25.0	25.0	25.1	25.2	25.2	25.3	25.4	25.5
33.0	25.6	25.7	25.8	25.9	25.9	26.0	26.1	26.2	26.2	26.3	26.4	26.5	26.5
34.0	26.7	26.8	26.8	26.9	27.0	27.1	27.2	27.2	27.3	27.4	27.5	27.5	27.6
35.0	27.7	27.8	27.9	28.0	28.1	28.1	28.2	28.3	28.4	28.5	28.5	28.6	28.7
36.0	28.8	28.9	29.0	29.1	29.1	29.2	29.3	29.4	29.5	29.6	29.6	29.7	29.8
37.0	29.9	30.0	30.1	30.1	30.2	30.3	30.4	30.5	30.6	30.7	30.7	30.8	30.9
38.0	31.0	31.1	31.2	31.2	31.3	31.4	31.5	31.6	31.7	31.8	31.9	32.0	32.0
39.0	32.1	32.2	32.3	32.3	32.4	32.5	32.6	32.7	32.8	32.9	33.0	33.1	33.2
40.0	33.2	33.3	33.4	33.5	33.6	33.7	33.7	33.8	33.9	34.0	34.1	34.2	34.3
41.0	34.3	34.4	34.5	34.6	34.7	34.8	34.9	35.0	35.1	35.2	35.3	35.4	35.5

续表 N. 0.3

平均 回弹值 R_m	测区混凝土强度换算值 $f_{cu,i}^e$ (MPa)												
	超声波速 v_s (km/s)												
	3.70	3.72	3.74	3.76	3.78	3.80	3.82	3.84	3.86	3.88	3.90	3.92	3.94
42.0	35.4	35.5	34.6	35.7	35.8	35.9	36.0	36.1	36.2	36.3	36.4	36.5	36.6
43.0	36.5	36.6	36.8	36.9	37.0	37.1	37.2	37.3	37.4	37.5	37.6	37.7	37.8
44.0	37.7	37.8	37.9	38.0	38.1	38.2	38.3	38.4	38.6	38.7	38.8	38.9	39.0
45.0	38.8	38.9	39.1	39.2	39.3	39.4	39.5	39.6	39.7	39.8	40.0	40.1	40.2
46.0	40.0	40.1	40.2	40.3	40.5	40.6	40.7	40.8	40.9	41.0	41.1	41.3	41.4
47.0	41.2	41.3	41.4	41.5	41.6	41.8	41.9	42.0	42.1	42.2	42.3	42.5	42.6
48.0	42.3	42.5	42.6	42.7	42.8	43.0	43.1	43.2	43.3	43.4	43.6	43.7	43.8
49.0	43.5	43.6	43.8	43.9	44.0	44.2	44.3	44.4	44.5	44.7	44.8	44.9	45.0
50.0	44.7	44.8	45.0	45.1	45.2	45.4	45.5	45.6	45.7	45.9	46.0	46.1	46.3
51.0	45.9	46.0	46.2	46.3	46.4	46.6	46.7	46.8	47.0	47.1	47.2	47.4	47.5
52.0	47.1	47.3	47.4	47.5	47.7	47.8	47.9	48.1	48.2	48.3	48.5	48.6	48.7
53.0	48.3	48.5	48.6	48.8	48.9	49.0	49.2	49.3	49.5	49.6	49.7	49.9	50.0
54.0	49.6	49.7	49.9	50.0	50.1	50.3	50.4	50.6	50.7	50.8	51.0	51.1	51.3
55.0	50.8	50.9	51.1	51.2	51.4	51.5	51.7	51.8	52.0	52.1	52.3	52.4	52.5
56.0	52.0	52.2	52.3	52.5	52.6	52.8	52.9	53.1	53.2	53.4	53.5	53.7	53.8
57.0	53.3	53.4	53.6	53.7	53.9	54.1	54.2	54.4	54.5	54.7	54.8	55.0	55.1
58.0	54.5	54.7	54.9	55.0	55.2	55.3	55.5	55.6	55.8	56.0	56.1	56.3	56.4
59.0	55.8	56.0	56.1	56.3	56.4	56.6	56.8	56.9	57.1	57.2	57.4	57.6	57.7
60.0	57.1	57.2	57.4	57.6	57.7	57.9	58.1	58.2	58.4	58.5	58.7	58.9	59.0
61.0	58.3	58.5	58.7	58.9	59.0	59.2	59.4	59.5	59.7	59.9	60.0	60.2	60.4
62.0	59.6	59.8	60.0	60.1	60.3	60.5	60.7	60.8	61.0	61.2	61.3	61.5	61.7
63.0	60.9	61.1	61.3	61.4	61.6	61.8	62.0	62.1	62.3	62.5	62.7	62.8	63.0
64.0	62.2	62.4	62.6	62.8	62.9	63.1	63.3	63.5	63.7	63.8	64.0	64.2	64.4
65.0	63.5	63.7	63.9	64.1	64.3	64.4	64.6	64.8	65.0	65.2	65.3	65.5	65.7

续表 N. 0.3

平均 回弹值 R_m	测区混凝土强度换算值 $f_{cu,i}^c$ (MPa)												
	超声波速 v_s (km/s)												
	3.70	3.72	3.74	3.76	3.78	3.80	3.82	3.84	3.86	3.88	3.90	3.92	3.94
66.0	64.8	65.0	65.2	65.4	65.6	65.8	66.0	66.1	66.3	66.5	66.7	66.9	67.1
67.0	66.1	66.3	66.5	66.7	66.9	67.1	67.3	67.5	67.7	67.9	68.1	68.2	68.4
68.0	67.5	67.7	67.9	68.1	68.3	68.4	68.6	68.8	69.0	69.2	69.4	69.6	69.8
69.0	68.8	69.0	69.2	69.4	69.6	69.8	70.0	70.2	70.4	70.6	70.8	71.0	71.2
70.0	70.1	70.3	70.5	70.8	71.0	71.2	71.4	71.6	71.8	72.7	72.2	72.4	72.6
71.0	71.5	71.7	71.9	72.1	72.3	72.5	72.7	72.9	73.1	73.3	73.5	73.7	73.9
72.0	72.8	73.0	73.3	73.5	73.7	73.9	74.1	74.3	74.5	74.7	74.9	75.1	75.3
73.0	74.2	74.4	74.6	74.8	75.1	75.3	75.5	75.7	75.9	76.1	76.3	76.5	76.7
74.0	75.6	75.8	76.0	76.2	76.4	76.6	76.9	77.1	77.3	77.5	77.7	77.9	78.2
75.0	76.9	77.1	77.4	77.6	77.8	78.0	78.3	78.5	78.7	78.9	79.1	79.4	79.6
76.0	78.3	78.5	78.8	79.0	79.2	79.4	79.7	79.9	80.1	80.3	80.6	80.8	81.0
77.0	79.7	79.9	80.1	80.4	80.6	80.8	81.1	81.3	81.5	81.7	82.0	82.2	82.4
78.0	81.1	81.3	81.5	81.8	82.0	82.2	82.5	82.7	82.9	83.2	83.4	83.6	83.9
79.0	82.5	82.7	82.9	83.2	83.4	83.7	83.9	84.1	84.4	84.6	84.8	85.1	85.3
80.0	84.1	84.3	84.6	84.8	85.1	85.3	85.6	85.8	86.0	86.3	86.5	86.8	
81.0	85.3	85.5	85.8	86.0	86.3	86.5	86.7	87.0	87.2	87.5	87.7	88.0	88.2
82.0	86.7	86.9	87.2	87.4	87.7	87.9	88.2	88.4	88.7	88.9	89.2	89.4	89.7
83.0	88.1	88.4	88.6	88.9	89.1	89.4	89.6	89.9	90.1	90.4	90.6	90.9	91.1
84.0	89.5	89.8	90.0	90.3	90.6	90.8	91.1	91.3	91.6	91.8	92.1	92.3	92.6
85.0	90.9	91.2	91.5	91.7	92.0	92.3	92.5	92.8	93.0	93.3	93.6	93.8	94.1
86.0	92.4	92.7	92.9	93.2	93.5	93.7	94.0	94.3	94.5	94.8	95.0	95.3	95.6
87.0	93.8	94.1	94.4	94.6	94.9	95.2	95.5	95.7	96.0	96.3	96.5	96.8	97.1
88.0	95.3	95.5	95.8	96.1	96.4	96.6	96.9	97.2	97.5	97.7	98.0	98.3	98.6
89.0	96.7	97.0	97.3	97.6	97.8	98.1	98.4	98.7	99.0	99.2	99.5	99.8	100.1

续表 N. 0.3

平均 回弹值 R_m	测区混凝土强度换算值 $f_{cu,i}^e$ (MPa)												
	超声波速 v_s (km/s)												
	3.70	3.72	3.74	3.76	3.78	3.80	3.82	3.84	3.86	3.88	3.90	3.92	3.94
90.0	98.2	98.5	98.7	99.0	99.3	99.6	99.9	100.2	100.4	100.7	101.0	101.3	101.6
平均 回弹值 R_m	测区混凝土强度换算值 $f_{cu,i}^e$ (MPa)												
	超声波速 v_s (km/s)												
	3.96	3.98	4.00	4.02	4.04	4.06	4.08	4.10	4.12	4.14	4.16	4.18	4.20
28.0	21.4	21.4	21.5	21.5	21.6	21.6	21.7	21.8	21.8	21.9	21.9	22.0	22.0
29.0	22.4	22.4	22.5	22.6	22.6	22.7	22.7	22.8	22.9	22.9	23.0	23.0	23.1
30.0	23.4	23.5	23.5	23.6	23.7	23.7	23.8	23.9	23.9	24.0	24.0	24.1	24.2
31.0	24.5	24.5	24.6	24.7	24.7	24.8	24.9	24.9	25.0	25.1	25.1	25.2	25.3
32.0	25.5	25.6	25.7	25.7	25.8	25.9	25.9	26.0	26.1	26.1	26.2	26.3	26.4
33.0	26.6	26.7	26.7	26.8	26.9	27.0	27.0	27.1	27.2	27.2	27.3	27.4	27.5
34.0	27.6	27.7	27.8	27.9	28.0	28.0	28.1	28.2	28.3	28.3	28.4	28.5	28.6
35.0	28.8	28.9	28.9	29.0	29.1	29.2	29.2	29.3	29.4	29.5	29.6	29.6	29.7
36.0	29.9	30.0	30.0	30.1	30.2	30.3	30.4	30.5	30.5	30.6	30.7	30.8	30.8
37.0	31.0	31.1	31.2	31.3	31.3	31.4	31.5	31.6	31.7	31.8	31.8	31.9	32.0
38.0	32.1	32.2	32.3	32.4	32.5	32.6	32.6	32.7	32.8	32.9	33.0	33.1	33.2
39.0	33.3	33.4	33.4	33.5	33.6	33.7	33.8	33.9	34.0	34.1	34.2	34.2	34.3
40.0	34.4	34.5	34.6	34.7	34.8	34.9	35.0	35.1	35.2	35.2	35.3	35.4	35.5
41.0	35.6	35.7	35.8	35.9	36.0	36.0	36.1	36.2	36.3	36.4	36.5	36.6	36.7
42.0	36.7	36.8	36.9	37.0	37.1	37.2	37.3	37.4	37.5	37.6	37.7	37.8	37.9
43.0	37.9	38.0	38.1	38.2	38.3	38.4	38.5	38.6	38.7	38.8	38.9	39.0	39.1
44.0	39.1	39.2	39.3	39.4	39.5	39.6	39.7	39.8	39.9	40.0	40.1	40.2	40.3
45.0	40.3	40.4	40.5	40.6	40.7	40.8	40.9	41.0	41.2	41.3	41.4	41.5	41.6
46.0	41.5	41.6	41.7	41.8	41.9	42.0	42.2	42.3	42.4	42.5	42.6	42.7	42.8
47.0	42.7	42.8	42.9	43.0	43.2	43.3	43.4	43.5	43.6	43.7	43.8	44.0	44.1

续表 N. 0.3

平均 回弹值 R_m	测区混凝土强度换算值 $f_{cu,i}^c$ (MPa)												
	超声波速 v_s (km/s)												
	3.96	3.98	4.00	4.02	4.04	4.06	4.08	4.10	4.12	4.14	4.16	4.18	4.20
48.0	43.9	44.0	44.2	44.3	44.4	44.5	44.6	44.7	44.9	45.0	45.1	45.2	45.3
49.0	45.1	45.3	45.4	45.5	45.6	45.8	45.9	46.0	46.1	46.2	46.4	46.5	46.6
50.0	46.4	46.5	46.6	46.8	46.9	47.0	47.1	47.3	47.4	47.5	47.6	47.8	47.9
51.0	47.6	47.8	47.9	48.0	48.1	48.3	48.4	48.5	48.7	48.8	48.9	49.0	49.2
52.0	48.9	49.0	49.1	49.3	49.4	49.5	49.7	49.8	49.9	50.1	50.2	50.3	50.5
53.0	50.1	50.3	50.4	50.6	50.7	50.8	51.0	51.1	51.2	51.4	51.5	51.6	51.8
54.0	51.4	51.6	51.7	51.8	52.0	52.1	52.2	52.4	52.5	52.7	52.8	52.9	53.1
55.0	52.7	52.8	53.0	53.1	53.3	53.4	53.5	53.7	53.8	54.0	54.1	54.2	54.4
56.0	54.0	54.1	54.3	54.4	54.6	54.7	54.9	55.0	55.1	55.3	55.4	55.6	55.7
57.0	55.3	55.4	55.6	55.7	55.9	56.0	56.2	56.3	56.5	56.6	56.8	56.9	57.1
58.0	56.6	56.7	56.9	57.0	57.2	57.3	57.5	57.6	57.8	57.9	58.1	58.2	58.4
59.0	57.9	58.0	58.2	58.4	58.5	58.7	58.8	59.0	59.1	59.3	59.4	59.6	59.7
60.0	59.2	59.4	59.5	59.7	59.8	60.0	60.2	60.3	60.5	60.6	60.8	60.9	61.1
61.0	60.5	60.7	60.8	61.0	61.2	61.3	61.5	61.7	61.8	62.0	62.1	62.3	62.5
62.0	61.9	62.0	62.2	62.4	62.5	62.7	62.9	63.0	63.2	63.4	63.5	63.7	63.8
63.0	63.2	63.4	63.5	63.7	63.9	64.0	64.2	64.4	64.6	64.7	64.9	65.1	65.2
64.0	64.5	64.7	64.9	65.1	65.2	65.4	65.6	65.8	65.9	66.1	66.3	66.4	66.2
65.0	65.9	66.1	66.2	66.4	66.6	66.8	67.0	67.1	67.3	67.5	67.7	67.8	68.0
66.0	67.2	67.4	67.6	67.8	68.0	68.2	68.3	68.5	68.7	68.9	69.1	69.2	69.4
67.0	68.6	68.8	69.0	69.2	69.4	69.5	69.7	69.9	70.1	70.3	70.5	70.6	70.8
68.0	70.0	70.2	70.4	70.6	70.7	70.9	71.1	71.3	71.5	71.7	71.9	72.1	72.2
69.0	71.4	71.6	71.8	71.9	72.1	72.3	72.5	72.7	72.9	73.1	73.3	73.5	73.7
70.0	72.8	73.0	73.2	73.3	73.5	73.7	73.9	74.1	74.3	74.5	74.7	74.9	75.1
71.0	74.1	74.4	74.6	74.8	75.0	75.2	75.4	75.6	75.8	75.9	76.1	76.3	76.5

续表 N. 0.3

平均 回弹值 R_m	测区混凝土强度换算值 $f_{cu,i}^e$ (MPa)													
	超声波速 v_s (km/s)													
3.96	3.98	4.00	4.02	4.04	4.06	4.08	4.10	4.12	4.14	4.16	4.18	4.20		
72.0	75.6	75.8	76.0	76.2	76.4	76.6	76.8	77.0	77.2	77.4	77.6	77.8	78.0	
73.0	77.0	77.2	77.4	77.6	77.8	78.0	78.2	78.4	78.6	78.8	79.0	79.2	79.4	
74.0	78.4	78.6	78.8	79.0	79.2	79.4	79.6	79.9	80.1	80.3	80.5	80.7	80.9	
75.0	79.8	80.0	80.2	80.4	80.7	80.9	81.1	81.3	81.5	81.7	81.9	82.2	82.4	
76.0	81.2	81.4	81.7	81.9	82.1	82.3	82.5	82.8	83.0	83.2	83.4	83.6	83.8	
77.0	82.7	82.9	83.1	83.3	83.5	83.8	84.0	84.2	84.4	84.7	84.9	85.1	85.3	
78.0	84.1	84.3	84.5	84.8	85.0	85.2	85.5	85.7	85.9	86.1	86.4	86.6	86.8	
79.0	85.5	85.8	86.0	86.2	86.5	86.7	86.9	87.2	87.4	87.6	87.8	88.1	88.3	
80.0	87.0	87.2	87.5	87.7	87.9	88.2	88.4	88.6	88.9	89.1	89.3	89.6	89.8	
81.0	88.4	88.7	88.9	89.2	89.4	89.6	89.9	90.1	90.4	90.6	90.8	91.1	91.3	
82.0	89.9	90.2	90.4	90.6	90.9	91.1	91.4	91.6	91.9	92.1	92.3	92.6	92.8	
83.0	91.4	91.6	91.9	92.1	92.4	92.6	92.9	93.1	93.4	93.6	93.8	94.1	94.3	
84.0	92.9	93.1	93.4	93.6	93.9	94.1	94.4	94.6	94.9	95.1	95.4	95.6	95.8	
85.0	94.3	94.6	94.9	95.1	95.4	95.6	95.9	96.1	96.4	96.6	96.9	97.1	97.4	
86.0	95.8	96.1	96.3	96.6	96.9	97.1	97.4	97.6	97.9	98.2	98.4	98.7	98.9	
87.0	97.3	97.6	97.8	98.1	98.4	98.6	98.9	99.2	99.4	99.7	99.9	100.2	100.5	
88.0	98.8	99.1	99.4	99.6	99.9	100.2	100.4	100.7	101.0	101.2	101.5	101.7	102.0	
89.0	100.3	100.6	100.9	101.1	101.4	101.7	102.0	102.2	102.5	102.8	103.0	103.3	103.6	
90.0	101.8	102.1	102.4	102.7	102.9	103.2	103.5	103.8	104.0	104.3	104.6	104.8	105.1	
平均 回弹值 R_m	测区混凝土强度换算值 $f_{cu,i}^e$ (MPa)													
	超声波速 v_s (km/s)													
4.22	4.24	4.26	4.28	4.30	4.32	4.34	4.36	4.38	4.40	4.42	4.44	4.46		
28.0	22.1	22.2	22.2	22.3	22.3	22.4	22.4	22.5	22.5	22.6	22.7	22.7	22.8	
29.0	23.2	23.2	23.3	23.3	23.4	23.5	23.5	23.6	23.6	23.7	23.7	23.8	23.9	

续表 N. 0.3

平均 回弹值 R_e	测区混凝土强度换算值 $f_{cu,i}^e$ (MPa)													
	超声波速 v_s (km/s)													
	4.22	4.24	4.26	4.28	4.30	4.32	4.34	4.36	4.38	4.40	4.42	4.44	4.46	
30.0	24.2	24.3	24.4	24.4	24.5	24.5	24.6	24.7	24.7	24.8	24.8	24.9	25.0	
31.0	25.3	25.4	25.4	25.5	25.6	25.6	25.7	25.8	25.8	25.9	26.0	26.0	26.1	
32.0	26.4	26.5	26.6	26.6	26.7	26.8	26.8	26.9	27.0	27.0	27.1	27.2	27.2	
33.0	27.5	27.6	27.7	27.7	27.8	27.9	27.9	28.0	28.1	28.2	28.2	28.3	28.4	
34.0	28.6	28.7	28.8	28.8	28.9	29.0	29.1	29.1	29.2	29.3	29.4	29.4	29.5	
35.0	29.8	29.9	29.9	30.0	30.1	30.2	30.2	30.3	30.4	30.5	30.5	30.6	30.7	
36.0	30.9	31.0	31.1	31.2	31.2	31.3	31.4	31.5	31.6	31.6	31.7	31.8	31.9	
37.0	32.1	32.2	32.2	32.3	32.4	32.5	32.6	32.7	32.7	32.8	32.9	33.0	33.1	
38.0	33.2	33.3	33.4	33.5	33.6	33.7	33.8	33.8	33.9	34.0	34.1	34.2	34.3	
39.0	34.4	34.5	34.6	34.7	34.8	34.9	34.9	35.0	35.1	35.2	35.3	35.4	35.5	
40.0	35.6	35.7	35.8	35.9	36.0	36.1	36.2	36.2	36.3	36.4	36.5	36.6	36.7	
41.0	36.8	36.9	37.0	37.1	37.2	37.3	37.4	37.5	37.6	37.6	37.7	37.8	37.9	
42.0	38.0	38.1	38.2	38.3	38.4	38.5	38.6	38.7	38.8	38.9	39.0	39.1	39.2	
43.0	39.2	39.3	39.4	39.5	39.6	39.7	39.8	39.9	40.0	40.1	40.2	40.3	40.4	
44.0	40.5	40.6	40.7	40.8	40.9	41.0	41.1	41.2	41.3	41.4	41.5	41.6	41.7	
45.0	41.7	41.8	41.9	42.0	42.1	42.2	42.3	42.4	42.5	42.6	42.7	42.8	42.9	
46.0	42.9	43.0	43.2	43.3	43.4	43.5	43.6	43.7	43.8	43.9	44.0	44.1	44.2	
47.0	44.2	44.3	44.4	44.5	44.6	44.7	44.9	45.0	45.1	45.2	45.3	45.4	45.5	
48.0	45.4	45.6	45.7	45.8	45.9	46.0	46.1	46.3	46.4	46.5	46.6	46.7	46.8	
49.0	46.7	46.8	47.0	47.1	47.2	47.3	47.4	47.5	47.7	47.8	47.9	48.0	48.1	
50.0	48.0	48.1	48.2	48.4	48.5	48.6	48.7	48.9	49.0	49.1	49.2	49.3	49.5	
51.0	49.3	49.4	49.5	49.7	49.8	49.9	50.0	50.2	50.3	50.4	50.5	50.7	50.8	
52.0	50.6	50.7	50.8	51.0	51.1	51.2	51.4	51.5	51.6	51.7	51.9	52.0	52.1	
53.0	51.9	52.0	52.2	52.3	52.4	52.6	52.7	52.8	52.9	53.1	53.2	53.3	53.5	

续表 N. 0.3

平均 回弹值 R_n	测区混凝土强度换算值 $f_{cu,i}^c$ (MPa)													
	超声波速 v_s (km/s)													
4.22	4.24	4.26	4.28	4.30	4.32	4.34	4.36	4.38	4.40	4.42	4.44	4.46		
54.0	53.2	53.3	53.5	53.6	53.7	53.9	54.0	54.1	54.3	54.4	54.6	54.7	54.8	
55.0	54.5	54.7	54.8	54.9	55.1	55.2	55.4	55.5	55.6	55.8	55.9	56.0	56.2	
56.0	55.9	56.0	56.1	56.3	56.4	56.6	56.7	56.8	57.0	57.1	57.3	57.4	57.5	
57.0	57.2	57.3	57.5	57.6	57.8	57.9	58.1	58.2	58.4	58.5	58.6	58.8	58.9	
58.0	58.5	58.7	58.8	59.0	59.1	59.3	59.4	59.6	59.7	59.9	60.0	60.2	60.3	
59.0	59.9	60.1	60.2	60.4	60.5	60.7	60.8	61.0	61.1	61.3	61.4	61.6	61.7	
60.0	61.3	61.4	61.6	61.7	61.9	62.0	62.2	62.3	62.5	62.7	62.8	63.0	63.1	
61.0	62.6	62.8	62.9	63.1	63.3	63.4	63.6	637.0	63.9	64.1	64.2	64.4	64.5	
62.0	64.0	64.2	64.3	64.5	64.7	64.8	65.0	65.1	65.3	65.5	65.6	65.8	65.9	
63.0	65.4	65.6	65.7	65.9	66.1	66.2	66.4	66.6	66.7	66.9	67.0	67.2	67.4	
64.0	66.8	67.0	67.1	67.3	67.5	67.6	67.8	68.0	68.1	68.3	68.5	68.6	68.8	
65.0	68.2	68.4	68.5	68.7	68.9	69.1	69.2	69.4	69.6	69.7	69.9	70.1	70.2	
66.0	69.6	69.8	69.9	70.1	70.3	70.5	70.7	70.8	71.0	71.2	71.4	71.5	71.7	
67.0	71.0	71.2	71.4	71.5	71.7	71.9	72.1	72.3	72.4	72.6	72.8	73.0	73.2	
68.0	72.4	72.6	72.8	73.0	73.2	73.3	73.5	73.7	73.9	74.1	74.3	74.4	74.6	
69.0	73.9	74.0	74.2	74.4	74.6	74.8	75.0	75.2	75.4	75.5	75.7	75.9	76.1	
70.0	75.3	75.5	75.7	75.9	76.1	76.2	76.4	76.6	76.8	77.0	77.2	77.4	77.6	
71.0	76.7	76.9	77.1	77.3	77.5	77.7	77.9	78.1	78.3	78.5	78.7	78.9	79.1	
72.0	78.2	78.4	78.6	78.8	79.0	79.2	79.4	79.6	79.8	80.0	80.2	80.4	80.6	
73.0	79.6	79.8	80.0	80.2	80.5	80.7	80.9	81.1	81.3	81.5	81.7	81.9	82.1	
74.0	81.1	81.3	81.5	81.7	81.9	82.1	82.3	82.5	82.7	83.0	83.2	83.4	83.6	
75.0	82.6	82.8	83.0	83.2	83.4	83.6	83.8	84.0	84.2	84.5	84.7	84.9	85.1	
76.0	84.1	84.3	84.5	84.7	84.9	85.1	85.3	85.5	85.8	86.0	86.2	86.4	86.6	
77.0	85.5	85.8	86.0	86.2	86.4	86.6	86.8	87.1	87.3	87.5	87.7	87.9	88.1	

续表 N. 0.3

平均 回弹值 R_m	测区混凝土强度换算值 $f_{cu,i}^e$ (MPa)													
	超声波速 v_s (km/s)													
	4.22	4.24	4.26	4.28	4.30	4.32	4.34	4.36	4.38	4.40	4.42	4.44	4.46	
78.0	87.0	87.2	87.5	87.7	87.9	88.1	88.3	88.6	88.8	89.0	89.2	89.4	89.7	
79.0	88.5	88.7	89.0	89.2	89.4	89.6	89.9	90.1	90.3	90.5	90.8	91.0	91.2	
80.0	90.0	90.3	90.5	90.7	90.9	91.2	91.4	91.6	91.8	92.1	92.3	92.5	92.7	
81.0	91.5	91.8	92.0	92.2	92.5	92.7	92.9	93.2	93.4	93.6	93.8	94.1	94.3	
82.0	93.0	93.3	93.5	93.8	94.0	94.2	94.5	94.7	94.9	95.2	95.4	95.6	95.9	
83.0	94.6	94.8	95.0	95.3	95.5	95.8	96.0	96.2	96.5	96.7	97.0	97.2	97.4	
84.0	96.1	96.3	96.6	96.8	97.1	97.3	97.6	97.8	98.0	98.3	98.5	98.8	99.0	
85.0	97.6	97.9	98.1	98.4	98.6	98.9	99.1	99.4	99.6	99.9	100.1	100.3	100.6	
86.0	99.2	99.4	99.7	99.9	100.2	100.4	100.7	100.9	101.2	101.4	101.7	101.9	102.2	
87.0	100.7	101.0	101.2	101.5	101.7	102.0	102.2	102.5	102.8	103.0	103.3	103.5	103.8	
88.0	102.3	102.5	102.8	103.0	103.3	103.6	103.8	104.1	104.3	104.6	104.9	105.1	105.4	
89.0	103.8	104.1	104.4	104.6	104.9	105.1	105.4	105.7	105.9	103.2	106.4	106.7	107.0	
90.0	105.4	105.7	105.9	106.2	106.5	106.7	107.0	107.3	107.5	107.8	108.1	108.3	108.6	
平均 回弹值 R_m	测区混凝土强度换算值 $f_{cu,i}^e$ (MPa)													
	超声波速 v_s (km/s)													
	4.48	4.50	4.52	4.54	4.56	4.58	4.60	4.62	4.64	4.66	4.68	4.70	4.72	
28.0	22.8	22.9	22.9	23.0	23.0	23.1	23.1	23.2	23.3	23.3	23.4	23.4	23.5	
29.0	23.9	24.0	24.0	24.1	24.1	24.2	24.3	24.3	24.4	24.4	24.5	24.5	24.6	
30.0	25.0	25.1	25.1	25.2	25.3	25.3	25.4	25.4	25.5	25.6	25.6	25.7	25.7	
31.0	26.1	26.2	26.3	26.3	26.4	26.5	26.5	26.6	26.6	26.7	26.8	26.8	26.9	
32.0	27.3	27.3	27.4	27.5	27.5	27.6	27.7	27.7	27.8	27.9	27.9	28.0	28.1	
33.0	28.4	28.5	28.6	28.6	28.7	28.8	28.8	28.9	29.0	29.0	29.1	29.2	29.2	
34.0	29.6	29.6	29.7	29.8	29.8	29.9	30.0	30.1	30.1	30.2	30.3	30.3	30.4	
35.0	30.8	30.8	30.9	31.0	31.1	31.1	31.2	31.3	31.3	31.4	31.5	31.6	31.6	

续表 N. 0.3

平均 回弹值 R_m	测区混凝土强度换算值 $f_{cu,i}^c$ (MPa)													
	超声波速 v_s (km/s)													
	4.48	4.50	4.52	4.54	4.56	4.58	4.60	4.62	4.64	4.66	4.68	4.70	4.72	
36.0	31.9	32.0	32.1	32.2	32.2	32.3	32.4	32.5	32.6	32.6	32.7	32.8	32.9	
37.0	33.1	33.2	33.3	33.4	33.5	33.5	33.6	33.7	33.8	33.8	33.9	34.0	34.1	
38.0	34.3	34.4	34.5	34.6	34.7	34.7	34.8	34.9	35.0	35.1	35.2	35.2	35.3	
39.0	35.6	35.6	35.7	35.8	35.9	36.0	36.4	36.1	36.2	36.3	36.4	36.5	36.6	
40.0	36.8	36.9	37.0	37.0	37.1	37.2	37.3	37.4	37.5	37.6	37.7	37.7	37.8	
41.0	38.0	38.1	38.2	38.3	38.4	38.5	38.6	38.6	38.7	38.8	38.9	39.0	39.1	
42.0	39.3	39.4	39.4	39.5	39.6	39.7	39.8	39.9	40.0	40.1	40.2	40.3	40.4	
43.0	40.5	40.6	40.7	40.8	40.9	41.0	41.1	41.2	41.3	41.4	41.5	41.6	41.7	
44.0	41.8	41.9	42.0	42.1	42.2	42.3	42.4	42.5	42.6	42.7	42.8	42.9	43.0	
45.0	43.1	43.2	43.3	43.4	43.5	43.6	43.7	43.8	43.9	44.0	44.1	44.2	44.3	
46.0	44.3	44.4	44.6	44.7	44.8	44.9	45.0	45.1	45.2	45.3	45.4	45.5	45.6	
47.0	45.6	45.7	45.9	46.0	46.1	46.2	46.3	46.4	46.5	46.6	46.7	46.8	46.9	
48.0	46.9	47.0	47.2	47.3	47.4	47.5	47.6	47.7	47.8	47.9	48.1	48.2	48.3	
49.0	48.2	48.4	48.5	48.6	48.7	48.8	48.9	49.1	49.2	49.3	49.4	49.5	49.6	
50.0	49.6	49.7	49.8	49.9	50.0	50.2	50.3	50.4	50.5	50.6	50.8	50.9	51.0	
51.0	50.9	51.0	51.1	51.3	51.4	51.5	51.6	51.8	51.9	52.0	52.1	52.2	52.4	
52.0	52.2	52.4	52.5	52.6	52.7	52.9	53.0	53.1	53.2	53.4	53.5	53.6	53.7	
53.0	53.6	53.7	53.8	54.0	54.1	54.2	54.4	54.5	54.6	54.7	54.9	55.0	55.1	
54.0	54.9	55.1	55.2	55.3	55.5	55.6	55.7	55.9	56.0	56.1	56.3	56.4	56.5	
55.0	56.3	56.4	56.6	56.7	56.9	57.0	57.1	57.3	57.4	57.5	57.7	57.8	57.9	
56.0	57.7	57.8	58.0	58.1	58.2	58.4	58.5	58.7	58.8	58.9	59.1	59.2	59.3	
57.0	59.1	59.2	59.4	59.5	59.6	59.8	59.9	60.1	60.2	60.3	60.5	60.6	60.8	
58.0	60.5	60.6	60.8	60.9	61.0	61.2	61.3	61.5	61.6	61.8	61.9	62.0	62.2	
59.0	61.9	62.0	62.2	62.3	62.5	62.6	62.7	62.9	63.0	63.2	63.3	63.5	63.6	

续表 N. 0.3

平均 回弹值 R_m	测区混凝土强度换算值 $f_{cu,i}^e$ (MPa)													
	超声波速 v_s (km/s)													
4.48	4.50	4.52	4.54	4.56	4.58	4.60	4.62	4.64	4.66	4.68	4.70	4.72		
60.0	63.3	63.4	63.6	63.7	63.9	64.0	64.2	64.3	64.5	64.6	64.8	64.9	65.1	
61.0	64.7	64.8	65.0	65.1	65.3	65.5	65.6	65.8	65.9	66.1	66.2	66.4	66.5	
62.0	66.1	66.3	66.4	66.6	66.7	66.9	67.1	67.2	67.4	67.5	67.7	67.8	68.0	
63.0	67.5	67.7	67.9	68.0	68.2	68.3	68.5	68.7	68.8	69.0	69.1	69.3	69.5	
64.0	69.0	69.1	69.3	69.5	69.6	69.8	70.0	70.1	70.3	70.5	70.6	70.8	70.9	
65.0	70.4	70.6	70.8	70.9	71.1	71.3	71.4	71.6	71.8	71.9	72.1	72.3	72.4	
66.0	71.9	72.0	72.2	72.4	72.6	72.7	72.9	73.1	73.2	73.4	73.6	73.8	73.9	
67.0	73.3	73.5	73.7	73.9	74.0	74.2	74.4	74.6	74.7	74.9	75.1	75.3	75.4	
68.0	74.8	75.0	75.2	75.3	75.5	75.7	75.9	76.1	76.2	76.4	76.6	76.8	76.9	
69.0	76.3	76.5	76.6	76.8	77.0	77.2	77.4	77.6	77.7	77.9	78.1	78.3	78.5	
70.0	77.8	77.9	78.1	78.3	78.5	78.7	78.9	79.1	79.2	79.4	79.6	79.8	80.0	
71.0	79.2	79.4	79.6	79.8	80.0	80.2	80.4	80.6	80.8	80.9	81.1	81.3	81.5	
72.0	80.7	80.9	81.1	81.3	81.5	81.7	81.9	82.1	82.3	82.5	82.7	82.9	83.0	
73.0	82.3	82.4	82.6	82.8	83.0	83.2	83.4	83.6	83.8	84.0	84.2	84.4	84.6	
74.0	83.8	84.0	84.2	84.4	84.6	84.8	85.0	85.2	85.4	85.6	85.8	86.0	86.2	
75.0	85.3	85.5	85.7	85.9	86.1	86.3	86.5	86.7	86.9	87.1	87.3	87.5	87.7	
76.0	86.8	87.0	87.2	87.4	87.6	87.8	88.0	88.3	88.5	88.7	88.9	89.1	89.3	
77.0	88.3	88.5	88.8	89.0	89.2	89.4	89.6	89.8	90.0	90.2	90.4	90.6	90.9	
78.0	89.9	90.1	90.3	90.5	90.7	90.9	91.2	91.4	91.6	91.8	92.0	92.2	92.4	
79.0	91.4	91.6	91.9	92.1	92.3	92.5	92.7	92.9	93.2	93.4	93.6	93.8	94.0	
80.0	93.0	93.2	93.4	93.6	93.9	94.1	94.3	94.5	94.7	95.0	95.2	95.4	95.6	
81.0	94.5	94.8	9.0	95.2	95.4	95.7	95.9	96.1	96.3	96.6	96.8	97.0	97.2	
82.0	96.1	96.3	96.6	96.8	97.0	97.2	97.5	97.7	97.9	98.2	98.4	98.6	98.8	
83.0	97.7	97.9	98.1	98.4	98.6	98.8	99.1	99.3	99.5	99.8	100.0	100.2	100.5	

续表 N. 0.3

平均 回弹值 R_m	测区混凝土强度换算值 $f_{cu,i}^e$ (MPa)												
	超声波速 v_s (km/s)												
	4.48	4.50	4.52	4.54	4.56	4.58	4.60	4.62	4.64	4.66	4.68	4.70	4.72
84.0	99.2	99.5	99.7	100.0	100.2	100.4	100.7	100.9	101.1	101.4	101.6	101.8	102.1
85.0	100.8	101.1	101.3	101.6	101.8	102.0	102.3	102.5	102.8	103.0	103.2	103.5	103.7
86.0	102.4	102.7	102.9	103.2	103.4	103.6	103.9	104.1	104.4	104.6	104.9	105.1	105.3
87.0	104.0	104.3	104.5	104.8	105.0	105.3	105.5	105.8	106.0	106.2	106.0	106.7	107.0
88.0	105.6	105.9	106.1	106.4	106.6	106.9	107.1	107.4	107.6	107.9	108.1	108.4	108.6
89.0	107.2	107.5	107.7	108.0	108.3	108.5	108.8	109.0	109.3	109.5	109.8	110.0	—
90.0	108.8	109.1	109.4	109.6	109.9	—	—	—	—	—	—	—	—
平均 回弹值 R_m	测区混凝土强度换算值 $f_{cu,i}^e$ (MPa)												
	超声波速 v_s (km/s)												
	4.74	4.76	4.78	4.80	4.82	4.84	4.86	4.88	4.90	4.92	4.94	4.96	4.98
28.0	23.5	23.6	23.6	23.7	23.7	23.8	23.8	23.9	23.9	24.0	24.1	24.1	24.2
29.0	24.7	24.7	24.8	24.8	24.9	24.9	25.0	25.0	25.1	25.2	25.2	25.3	25.3
30.0	25.8	25.9	25.9	26.0	26.0	26.1	26.1	26.2	26.3	26.3	26.4	26.4	26.5
31.0	27.0	27.0	27.1	27.1	27.2	27.3	27.3	27.4	27.4	27.5	27.6	27.6	27.7
32.0	28.1	28.2	28.3	28.3	28.4	28.4	28.5	28.6	28.6	28.7	28.8	28.8	28.9
33.0	29.3	29.4	29.4	29.5	29.6	29.6	29.7	29.8	29.8	29.9	30.0	30.0	30.1
34.0	30.5	30.6	30.6	30.7	30.8	30.8	30.9	31.0	31.0	31.1	31.2	31.2	31.3
35.0	31.7	31.8	31.9	31.9	32.0	32.1	32.1	32.2	32.3	32.4	32.4	32.5	32.6
36.0	32.9	33.0	33.1	33.2	33.2	33.3	33.4	33.4	33.5	33.6	33.7	33.7	33.8
37.0	34.2	34.2	34.3	34.4	34.5	34.5	34.6	34.7	34.8	34.8	34.9	35.0	35.1
38.0	35.4	35.5	35.6	35.6	35.7	35.8	35.9	36.0	36.0	36.1	36.2	36.3	36.4
39.0	36.6	36.7	36.8	36.9	37.0	37.1	37.1	37.2	37.3	37.4	37.5	37.6	37.6
40.0	37.9	38.0	38.1	38.2	38.3	38.3	38.4	38.5	38.6	38.7	38.8	38.9	38.9
41.0	39.2	39.3	39.4	39.5	39.5	39.6	39.7	39.8	39.9	40.0	40.1	40.2	40.2

表 N. 0.3

平均 回弹值 R_e	测区混凝土强度换算值 $f_{m,i}^c$ (MPa)													
	超声波速 v_s (km/s)													
	4.74	4.76	4.78	4.80	4.82	4.84	4.86	4.88	4.90	4.92	4.94	4.96	4.98	
42.0	40.5	40.6	40.7	40.7	40.8	40.9	41.0	41.1	41.2	41.3	41.4	41.5	41.6	
43.0	41.8	41.9	42.0	42.0	42.1	42.2	42.3	42.4	42.5	42.6	42.7	42.8	42.9	
44.0	43.1	43.2	43.3	43.4	43.5	43.6	43.7	43.7	43.8	43.9	44.0	44.1	44.2	
45.0	44.4	44.5	44.6	44.7	44.8	44.9	45.0	45.1	45.2	45.3	45.4	45.5	45.6	
46.0	45.7	45.8	45.9	46.0	46.1	46.2	46.3	46.4	46.5	46.6	46.7	46.8	46.9	
47.0	47.0	47.1	47.3	47.4	47.5	47.6	47.7	47.8	47.9	48.0	48.1	48.2	48.3	
48.0	48.4	48.5	48.6	48.7	48.8	48.9	49.0	49.2	49.3	49.4	49.5	49.6	49.7	
49.0	49.7	49.9	50.0	50.1	50.2	50.3	50.4	50.5	50.6	50.7	50.9	51.0	51.1	
50.0	51.1	51.2	51.3	51.4	51.6	51.7	51.8	51.9	52.0	52.1	52.3	52.4	52.5	
51.0	52.5	52.6	52.7	52.8	52.9	53.1	53.2	53.3	53.4	53.5	53.7	53.8	53.9	
52.0	53.9	54.0	54.1	54.2	54.3	54.5	54.6	57.7	54.8	54.9	55.1	55.2	55.3	
53.0	55.2	55.4	55.5	55.6	55.7	55.9	56.0	56.1	56.2	56.4	56.5	56.6	56.7	
54.0	56.6	56.8	56.9	57.0	57.2	57.3	57.4	57.5	57.7	57.8	57.9	58.0	58.2	
55.0	58.1	58.2	58.3	58.4	58.6	58.7	58.8	59.0	59.1	59.2	59.4	59.5	69.6	
56.0	59.5	59.6	59.7	59.9	60.0	60.1	60.3	60.4	60.5	60.7	60.8	60.9	61.1	
57.0	60.9	61.0	61.2	61.3	61.4	61.6	61.7	61.9	62.0	62.1	62.3	62.4	62.5	
58.0	62.3	62.5	62.6	62.8	62.9	63.0	63.2	63.3	63.5	63.6	63.7	63.9	64.0	
59.0	63.8	63.9	64.1	64.2	64.3	64.5	64.6	64.8	64.9	65.1	65.2	65.3	65.5	
60.0	65.2	65.4	65.5	65.7	65.8	66.0	66.1	66.3	66.4	66.5	66.7	66.8	67.0	
61.0	66.7	66.8	67.0	67.1	67.3	67.4	67.6	67.7	67.9	68.0	68.2	68.3	68.5	
62.0	68.1	68.3	68.5	68.6	68.8	68.9	69.1	69.2	69.4	69.5	69.7	69.8	70.0	
63.0	69.6	69.8	69.9	70.1	70.3	70.4	70.6	70.7	70.9	71.0	71.2	71.3	71.5	
64.0	71.1	71.3	71.4	71.6	71.7	71.9	72.1	72.2	72.4	72.5	72.7	72.9	73.0	
65.0	72.6	72.8	72.9	73.1	73.3	73.4	73.6	73.7	73.9	74.1	74.2	74.4	74.6	

续表 N. 3

平均 回弹值 R_m	测区混凝土强度换算值 $f_{cu,i}^e$ (MPa)													
	超声波速 v_s (km/s)													
	4.74	4.76	4.78	4.80	4.82	4.84	4.86	4.88	4.90	4.92	4.94	4.96	4.98	
66.0	74.1	74.3	74.4	74.6	74.8	74.9	75.1	75.3	75.4	75.6	75.8	75.9	76.1	
67.0	75.6	75.8	75.9	76.1	76.3	76.5	76.6	76.8	77.0	77.1	77.3	77.5	77.6	
68.0	77.1	77.3	77.5	77.6	77.8	78.0	78.2	78.3	78.5	78.7	78.8	79.0	79.2	
69.0	78.6	78.8	79.0	79.2	79.3	79.5	79.7	79.9	80.1	80.2	80.4	80.6	80.8	
70.0	80.2	80.3	80.5	80.7	80.9	81.1	81.2	81.4	81.6	81.8	82.0	82.1	82.3	
71.0	81.7	81.9	82.1	82.3	82.4	82.6	82.8	83.0	83.2	83.4	83.5	83.7	83.9	
72.0	83.2	83.4	83.6	83.8	84.0	84.2	84.4	84.6	84.7	84.9	85.1	85.3	85.5	
73.0	84.8	85.0	85.2	85.4	85.6	85.7	85.9	86.1	86.3	86.5	86.7	86.9	87.1	
74.0	86.3	86.5	86.7	86.9	87.1	87.3	87.5	87.7	87.9	88.1	88.3	88.5	88.7	
75.0	87.9	88.1	88.3	88.5	88.7	88.9	89.1	89.3	89.5	89.7	89.9	90.1	90.3	
76.0	89.5	89.7	89.9	90.1	90.3	90.5	90.7	90.9	91.1	91.3	91.5	91.7	91.9	
77.0	91.1	91.3	91.5	91.7	91.9	92.1	92.3	92.5	92.7	92.9	93.1	93.3	93.5	
78.0	92.6	92.9	93.1	93.3	93.5	93.7	93.9	94.1	94.3	94.5	94.7	94.9	95.1	
79.0	94.2	94.5	94.7	94.9	95.1	95.3	95.5	95.7	95.9	96.2	96.4	96.6	96.8	
80.0	95.8	96.1	96.3	96.5	96.7	96.9	97.1	97.4	97.6	97.8	98.0	98.2	98.4	
81.0	97.4	97.7	97.9	98.1	98.3	98.6	98.8	99.0	99.2	99.4	99.6	99.9	100.1	
82.0	99.1	99.3	99.5	99.7	100.0	100.2	100.4	100.6	100.8	101.1	101.3	101.5	101.7	
83.0	100.7	100.9	101.1	101.4	101.6	101.8	102.0	102.3	102.5	102.7	102.9	103.2	103.4	
84.0	102.3	102.5	102.8	103.0	103.2	103.5	103.7	103.9	104.2	104.4	104.6	104.8	105.1	
85.0	103.9	104.2	104.4	104.6	104.9	105.1	105.3	105.6	105.8	106.0	106.3	106.5	106.7	
86.0	105.6	105.8	106.1	106.3	106.5	106.8	107.0	107.2	107.5	107.7	108.0	108.2	108.4	
87.0	107.2	107.5	107.7	108.0	108.2	108.4	108.7	108.9	109.2	109.4	109.6	—	—	
88.0	108.9	109.1	109.4	109.6	109.9	—	—	—	—	—	—	—	—	

续表 N. 0.3

平均 回弹值 R_m	测区混凝土强度换算值 $f_{cu,i}^c$ (MPa)												
	超声波速 v_s (km/s)												
	5.00	5.02	5.04	5.06	5.08	5.10	5.12	5.14	5.16	5.18	5.20	5.22	5.24
28.0	24.2	24.3	24.3	24.4	24.4	24.5	24.5	24.6	24.6	24.7	24.7	24.8	24.8
29.0	25.4	25.4	25.5	25.5	25.6	25.6	25.7	25.8	25.8	25.9	25.9	26.0	26.0
30.0	26.6	26.6	26.7	26.7	26.8	26.8	26.9	27.0	27.0	27.1	27.1	27.2	27.2
31.0	27.7	27.8	27.9	27.9	28.0	28.0	28.1	28.2	28.1	28.3	28.3	28.4	28.5
32.0	28.9	29.0	29.1	29.1	29.2	29.3	29.3	29.4	29.4	29.5	29.6	29.6	29.7
33.0	30.2	30.2	30.3	30.4	30.4	30.5	30.6	30.6	30.7	30.7	30.8	30.9	30.9
34.0	31.4	31.4	31.5	31.6	31.6	31.7	31.8	31.8	31.9	32.0	32.0	32.1	32.2
35.0	32.6	32.7	32.8	32.8	32.9	33.0	33.1	33.1	33.2	33.3	33.3	33.4	33.5
36.0	33.9	34.0	34.0	34.1	34.2	34.3	34.3	34.4	34.5	34.5	34.6	34.7	34.8
37.0	35.2	35.2	35.3	35.4	35.5	35.5	35.6	35.7	35.8	35.8	35.9	36.0	36.1
38.0	36.4	36.5	36.6	36.7	36.7	36.8	36.9	37.0	37.1	37.1	37.2	37.3	37.4
39.0	37.7	37.8	37.9	38.0	38.0	38.1	38.2	38.3	38.4	38.4	38.5	38.6	38.7
40.0	39.0	39.1	39.2	39.3	39.4	39.4	39.4	39.6	39.7	39.8	39.9	39.9	40.0
41.0	40.3	40.4	40.5	40.6	40.7	40.8	40.8	40.9	41.0	41.1	41.2	41.3	41.4
42.0	41.7	41.7	41.8	41.9	42.0	42.1	42.2	42.3	42.4	42.5	42.5	42.6	42.7
43.0	43.0	43.1	43.2	43.3	43.4	43.4	43.5	43.6	43.7	43.8	43.9	44.0	44.1
44.0	44.3	44.4	44.5	44.6	44.7	44.8	44.9	45.0	45.1	45.2	45.3	45.4	45.5
45.0	45.7	45.8	45.9	46.0	46.1	46.2	46.3	46.4	46.5	46.6	46.7	46.8	46.8
46.0	47.0	47.1	47.2	47.3	47.4	47.5	47.6	47.7	47.8	47.9	48.0	48.1	48.2
47.0	48.4	48.5	48.6	48.7	48.8	48.9	49.0	49.1	49.2	49.3	49.4	49.6	49.7
48.0	49.8	49.9	50.0	50.1	50.2	50.3	50.4	50.5	50.7	50.8	50.9	51.0	51.1
49.0	51.2	51.3	51.4	51.5	51.6	51.7	51.9	52.0	52.1	52.2	52.3	52.4	52.5
50.0	52.6	52.7	52.8	52.9	53.0	53.2	53.3	53.4	53.5	53.6	53.7	53.8	53.9
51.0	54.0	54.1	54.2	54.4	54.5	54.6	54.7	54.8	54.9	55.0	55.2	55.3	55.4

续表 N. 0.3

平均 回弹值 R_m	测区混凝土强度换算值 $f_{cu,i}^c$ (MPa)												
	超声声速 v_s (km/s)												
	5.00	5.02	5.04	5.06	5.08	5.10	5.12	5.14	5.16	5.18	5.20	5.22	5.24
52.0	55.4	55.5	55.7	55.8	55.9	56.0	56.1	56.3	56.4	56.5	56.6	56.7	56.8
53.0	56.9	57.0	57.1	57.2	57.3	57.5	57.6	57.7	57.8	58.0	58.1	58.2	58.3
54.0	58.3	58.4	58.5	58.7	58.8	58.9	59.0	59.2	59.3	59.4	59.5	59.7	59.8
55.0	59.7	59.9	60.0	60.1	60.3	60.4	60.5	60.6	60.8	60.9	61.0	61.2	61.3
56.0	61.2	61.3	61.5	61.6	61.7	61.9	62.0	62.1	62.3	32.4	62.5	62.6	62.8
57.0	62.7	62.8	62.9	63.1	63.2	63.3	63.5	63.6	63.7	63.9	64.0	64.1	64.3
58.0	64.1	64.3	64.4	64.6	64.7	64.8	65.0	65.1	65.2	65.4	65.5	65.7	65.8
59.0	65.6	65.8	65.9	66.1	66.2	66.3	66.5	66.6	66.8	66.9	67.0	67.2	67.3
60.0	67.1	67.3	67.4	67.6	67.7	67.8	68.0	68.1	68.3	68.4	68.6	68.7	68.8
61.0	68.6	68.8	68.9	69.1	69.2	69.4	69.5	69.7	69.8	69.9	70.1	70.2	70.4
62.0	70.1	70.3	70.4	70.6	70.7	70.9	71.0	71.2	71.3	71.5	71.6	71.8	71.9
63.0	71.7	71.8	72.0	72.1	72.3	72.4	72.6	72.7	72.9	73.0	73.2	73.3	73.5
64.0	73.2	73.3	73.5	73.7	73.8	74.0	74.1	74.3	74.4	74.6	74.7	74.9	75.1
65.0	74.7	74.9	45.0	75.2	75.4	45.5	45.7	75.8	76.0	76.2	76.3	76.5	76.6
66.0	76.3	76.4	46.6	76.7	76.9	77.1	77.2	77.4	77.6	77.7	77.9	78.0	78.2
67.0	77.8	78.0	48.1	78.3	78.5	78.6	78.8	79.0	79.1	79.3	79.5	79.6	79.8
68.0	79.4	79.5	49.7	79.9	80.0	80.2	80.4	80.6	80.7	80.9	81.1	81.2	81.4
69.0	80.9	81.1	81.3	81.5	81.6	81.8	82.0	82.1	82.3	82.5	82.7	82.8	83.0
70.0	82.5	82.7	82.9	83.0	83.2	83.4	83.6	83.7	83.9	84.1	84.3	84.4	84.6
71.0	84.1	84.3	84.4	84.6	84.8	85.0	85.2	85.3	85.5	85.7	85.9	86.1	86.2
72.0	85.7	85.9	86.0	86.2	86.4	86.6	86.8	87.0	87.1	87.3	87.5	87.7	87.9
73.0	87.3	87.5	87.6	87.8	88.0	88.2	88.4	88.6	88.8	88.9	89.1	89.3	89.5
74.0	88.9	89.1	89.3	89.4	89.6	89.8	90.0	90.2	90.4	90.6	90.8	91.0	91.1
75.0	90.5	90.7	90.9	91.1	91.3	91.5	91.6	91.8	92.0	92.2	92.4	92.6	92.8

续表 N. 0.3

平均 回弹值 R_m	测区混凝土强度换算值 $f_{cu,i}^e$ (MPa)												
	超声波速 v_s (km/s)												
5.00	5.02	5.04	5.06	5.08	5.10	5.12	5.14	5.16	5.18	5.20	5.22	5.24	
76.0	92.1	92.3	92.5	92.7	92.9	93.1	93.3	93.5	93.7	93.9	94.1	94.3	94.5
77.0	93.7	93.9	94.1	94.3	94.5	94.7	94.9	95.1	95.3	95.5	95.7	95.9	96.1
78.0	95.4	95.6	95.8	96.0	96.2	96.4	96.6	96.8	97.0	97.2	97.4	97.6	97.8
79.0	97.0	97.2	97.4	97.9	97.8	98.0	98.2	98.4	98.7	98.9	99.1	99.3	99.5
80.0	98.6	98.9	99.1	99.3	99.5	99.7	99.9	100.1	100.3	100.5	100.7	101.0	101.2
81.0	100.3	100.5	100.7	100.9	101.2	101.4	101.6	101.8	102.0	102.2	102.4	102.6	102.9
82.0	102.0	102.2	102.4	102.6	102.8	103.0	103.3	103.5	103.7	103.9	104.1	104.3	104.6
83.0	103.6	103.8	104.1	104.3	104.5	104.7	105.0	105.2	105.4	105.6	105.8	106.1	106.3
84.0	105.3	105.5	105.7	106.0	106.2	106.4	106.6	106.9	107.1	107.3	107.5	107.8	108.0
85.0	107.0	107.2	107.4	107.7	107.9	108.1	108.4	108.6	108.8	109.0	109.3	109.5	109.7
86.0	108.7	108.9	109.1	109.4	109.6	—	—	—	—	—	—	—	—
平均 回弹值 R_m	测区混凝土强度换算值 $f_{cu,i}^e$ (MPa)												
	超声波速 v_s (km/s)												
5.26	5.28	5.30	5.32	5.34	5.36	5.38	5.40	5.42	5.44	5.46	5.48	5.50	
28.0	24.9	24.9	25.0	25.0	25.1	25.1	25.2	25.2	25.3	25.3	25.4	25.4	25.5
29.0	26.1	26.1	26.2	26.2	26.3	26.3	26.4	26.4	26.5	26.6	26.6	26.7	26.7
30.0	27.3	27.3	27.4	27.5	27.5	27.6	27.6	27.7	27.7	27.8	27.8	27.9	28.0
31.0	28.5	28.6	28.6	28.7	28.7	28.8	28.9	28.9	29.0	29.0	29.1	29.1	29.2
32.0	29.7	29.8	29.9	29.9	30.0	30.1	30.1	30.2	30.2	30.3	30.4	30.4	30.5
33.0	31.0	31.1	31.1	31.2	31.3	31.3	31.4	31.4	31.5	31.6	31.6	31.7	31.8
34.0	32.2	32.3	32.4	32.4	32.5	32.6	32.6	32.7	32.8	32.8	32.9	33.0	33.0
35.0	33.5	33.6	33.7	33.7	33.8	33.9	33.9	34.0	34.1	34.2	34.2	34.3	34.4
36.0	34.8	34.9	35.0	35.0	35.1	35.2	35.3	35.3	35.4	35.5	35.5	35.6	35.7
37.0	36.1	36.2	36.3	36.3	36.4	36.5	36.6	36.6	36.7	36.8	36.9	36.9	37.0

续表 N. 0.3

平均 回弹值 R_m	测区混凝土强度换算值 $f_{cu,i}^e$ (MPa)													
	超声波速 v_s (km/s)													
	5.26	5.28	5.30	5.32	5.34	5.36	5.38	5.40	5.42	5.44	5.46	5.48	5.50	
38.0	37.4	37.5	37.6	37.7	37.7	37.8	37.9	38.0	38.0	38.1	38.2	38.3	38.4	
39.0	38.8	38.8	38.9	39.0	39.1	39.2	39.2	39.3	39.4	39.5	39.6	39.6	39.7	
40.0	40.1	40.2	40.3	40.3	40.4	40.5	40.6	40.7	40.8	40.8	40.9	41.0	41.1	
41.0	41.4	41.5	41.6	41.7	41.8	41.9	42.0	42.0	42.1	42.2	42.3	42.4	42.5	
42.0	42.8	42.9	43.0	43.1	43.2	43.2	43.3	43.4	43.5	43.6	43.7	43.8	43.8	
43.0	44.2	44.3	44.4	44.4	44.5	44.6	44.7	44.8	44.9	45.0	45.1	45.2	45.2	
44.0	45.6	45.6	45.7	45.8	45.9	46.0	46.1	46.2	46.3	46.4	46.5	46.6	46.7	
45.0	46.9	47.0	47.1	47.2	47.3	47.4	47.5	47.6	47.7	47.8	47.9	48.0	48.1	
46.0	48.3	48.4	48.5	48.6	48.7	48.8	48.9	49.0	49.1	49.2	49.3	49.4	49.5	
47.0	49.8	49.9	50.0	50.1	50.2	50.3	50.4	50.5	50.6	50.7	50.8	50.9	51.0	
48.0	51.2	51.3	51.4	51.5	51.6	51.7	51.8	51.9	52.0	52.1	52.2	52.3	52.4	
49.0	52.6	52.7	52.8	52.9	53.0	53.1	53.3	53.4	53.5	53.6	53.7	53.8	53.9	
50.0	54.1	54.2	54.3	54.4	54.5	54.6	54.7	54.8	54.9	55.0	55.1	55.3	55.4	
51.0	55.5	55.6	55.7	55.8	56.0	56.1	56.2	56.3	56.4	56.5	56.6	56.7	56.9	
52.0	57.0	57.1	57.2	57.3	57.4	57.5	57.7	57.8	57.9	58.0	58.1	58.2	58.4	
53.0	58.4	58.6	58.7	58.8	58.9	59.0	59.1	59.3	59.4	59.5	59.6	59.7	59.9	
54.0	59.9	60.0	60.2	60.3	60.4	60.5	60.6	60.8	60.9	61.0	61.1	61.3	61.4	
55.0	61.4	61.5	61.7	61.8	61.9	62.0	62.2	62.3	62.4	62.5	62.7	62.8	62.9	
56.0	62.9	63.0	63.2	63.3	63.4	63.5	63.7	63.8	63.9	64.1	64.2	64.3	64.4	
57.0	64.4	64.5	4.7	64.8	64.9	65.1	65.2	65.3	65.5	65.6	65.7	65.8	66.0	
58.0	65.9	66.1	66.2	66.3	66.5	66.6	66.7	66.9	67.0	67.1	67.3	67.4	67.5	
59.0	67.5	67.6	67.7	67.9	68.0	68.1	68.3	68.4	68.5	68.7	68.8	69.0	69.1	
60.0	69.0	69.1	69.3	69.4	69.5	69.7	69.8	70.0	70.1	70.2	70.4	70.5	70.7	
61.0	70.5	70.7	70.8	71.0	71.1	71.2	71.4	71.5	71.7	71.8	72.0	72.1	72.2	

续表 N. 0.3

平均 回弹值 R_e	测区混凝土强度换算值 $f_{cu,i}^e$ (MPa)												
	超声波速 v_s (km/s)												
	5.26	5.28	5.30	5.32	5.34	5.36	5.38	5.40	5.42	5.44	5.46	5.48	5.50
62.0	72.1	72.2	72.4	72.5	72.7	72.8	73.0	73.1	73.3	73.4	73.5	73.7	73.8
63.0	73.6	73.8	73.9	74.1	74.2	74.4	74.5	74.7	74.8	75.0	75.1	75.3	75.4
64.0	75.2	75.4	75.5	75.7	75.8	76.0	76.1	76.3	76.4	76.6	76.7	76.9	77.0
65.0	76.8	76.9	77.1	77.3	77.4	77.6	77.7	77.9	78.0	78.2	78.3	78.5	78.7
66.0	78.4	78.5	78.7	78.8	79.0	79.2	79.3	79.5	79.6	79.8	80.0	80.1	80.3
67.0	80.0	80.1	80.3	80.5	80.6	80.8	80.9	81.1	81.3	81.4	81.6	81.7	81.9
68.0	81.6	81.7	81.9	82.1	82.2	82.4	82.6	82.7	82.9	83.1	83.2	83.4	83.5
69.0	83.2	83.3	83.5	83.7	83.8	84.0	84.2	84.4	84.5	84.7	84.9	85.0	85.2
70.0	84.8	85.0	85.1	85.3	85.5	85.7	85.8	86.0	86.2	86.3	86.5	86.7	86.9
71.0	86.4	86.6	86.8	86.9	87.1	87.3	87.5	87.6	87.8	88.0	88.2	88.3	88.5
72.0	88.0	88.2	88.4	88.6	88.8	88.9	89.1	89.3	89.5	89.7	89.8	90.0	90.2
73.0	89.7	89.9	90.1	90.2	90.4	90.6	90.8	91.0	91.1	91.3	91.5	91.7	91.9
74.0	91.3	91.5	91.7	91.9	92.1	92.3	92.4	92.6	92.8	93.0	93.2	93.4	93.6
75.0	93.0	93.2	93.4	93.6	93.7	93.9	94.1	94.3	94.5	94.7	94.9	95.1	95.2
76.0	94.6	94.8	95.0	95.2	95.4	95.6	95.8	96.0	96.2	96.4	96.6	96.8	97.0
77.0	96.3	96.5	96.7	96.9	97.1	97.3	97.5	97.7	97.9	98.1	98.3	98.5	98.7
78.0	98.0	98.2	98.4	98.6	98.8	99.0	99.2	99.4	99.6	99.8	100.0	100.2	100.4
79.0	99.7	99.9	100.1	100.3	100.5	100.7	100.9	101.1	101.3	101.5	101.7	101.9	102.1
80.0	101.4	101.6	101.8	102.0	102.2	102.4	102.6	102.8	103.0	103.2	103.4	103.6	103.8
81.0	103.4	103.3	103.5	103.7	103.9	104.1	104.3	104.5	104.8	105.0	105.2	105.4	105.6
82.0	104.8	105.0	105.2	105.4	105.6	105.8	106.1	106.3	106.5	106.7	106.9	107.1	107.3
83.0	106.5	106.7	106.9	107.1	107.4	107.6	107.8	108.0	108.2	108.4	108.7	108.9	109.1
84.0	108.2	108.4	108.7	108.9	109.1	109.3	109.5	109.8	—	—	—	—	—
85.0	109.9	—	—	—	—	—	—	—	—	—	—	—	—

续表 N. 0.3

平均 回弹值 R_m	测区混凝土强度换算值 $f_{cu,i}^c$ (MPa)												
	超声波速 v_s (km/s)												
	5.52	5.54	5.56	5.58	5.60	5.62	5.64	5.66	5.68	5.70	5.72	5.74	5.76
28.0	25.5	25.6	25.6	25.7	25.7	25.8	25.8	25.9	25.9	26.0	26.0	26.1	26.1
29.0	26.8	26.8	26.9	26.9	27.0	27.0	27.1	27.1	27.2	27.2	27.3	27.3	27.4
30.0	28.0	28.1	28.1	28.2	28.2	28.3	28.3	28.4	28.4	28.5	28.5	28.6	28.7
31.0	29.3	29.3	29.4	29.4	29.5	29.5	29.6	29.7	29.7	29.8	29.8	29.9	29.9
32.0	30.5	30.6	30.7	30.7	30.8	30.8	30.9	30.9	31.0	31.1	31.1	31.2	31.2
33.0	31.8	31.9	31.9	32.0	32.1	32.1	32.2	32.2	32.3	32.4	32.4	32.5	32.6
34.0	33.1	33.2	33.2	33.3	33.4	33.4	33.5	33.5	33.6	33.7	33.7	33.8	33.9
35.0	34.4	34.5	34.6	34.6	34.7	34.8	34.8	34.9	35.0	35.0	35.1	35.2	35.2
36.0	35.7	35.8	35.9	36.0	36.0	36.1	36.2	36.2	36.3	36.4	36.4	36.5	36.6
37.0	37.1	37.2	37.2	37.3	37.4	37.4	37.5	37.6	37.7	37.7	37.8	37.9	37.9
38.0	38.4	38.5	38.6	38.7	38.7	38.8	38.9	38.9	39.0	39.1	39.2	39.2	39.3
39.0	39.8	39.9	39.9	40.0	40.1	40.2	40.2	40.3	40.4	40.5	40.6	40.6	40.7
40.0	41.2	41.2	41.3	41.4	41.5	41.6	41.6	41.7	41.8	41.9	42.0	42.0	42.1
41.0	42.5	42.6	42.7	42.8	42.9	43.0	43.0	43.1	43.2	43.3	43.4	43.4	43.5
42.0	43.9	44.0	44.1	44.2	44.3	44.4	44.4	44.5	44.6	44.7	44.8	44.9	45.0
43.0	45.3	45.4	45.5	45.6	45.7	45.8	45.9	46.0	46.0	46.1	46.2	46.3	46.4
44.0	46.8	46.8	46.9	47.0	47.1	47.2	47.3	47.4	47.5	47.6	47.7	47.7	47.8
45.0	48.2	48.3	48.4	48.5	48.6	48.6	48.7	48.8	48.9	49.0	49.1	49.2	49.3
46.0	49.6	49.7	49.8	49.9	50.0	50.1	50.2	50.3	50.4	50.5	50.6	50.7	50.8
47.0	51.1	51.2	51.3	51.4	51.5	51.6	51.7	51.8	51.9	52.0	52.1	52.2	52.3
48.0	52.5	52.6	52.7	52.8	52.9	53.0	53.1	53.2	53.3	53.4	53.5	53.6	53.7
49.0	54.0	54.1	54.2	54.3	54.4	54.5	54.6	54.7	54.8	54.9	55.0	55.1	55.2
50.0	55.5	55.6	55.7	55.8	55.9	56.0	56.1	56.2	56.3	56.4	56.6	56.7	56.8
51.0	57.0	57.1	57.2	57.3	57.4	57.5	57.6	57.7	57.8	58.0	58.1	58.2	58.3

续表 N. 0.3

平均 回弹值 R_m	测区混凝土强度换算值 $f_{cu,i}^c$ (MPa)												
	超声波速 v_s (km/s)												
	5.52	5.54	5.56	5.58	5.60	5.62	5.64	5.66	5.68	5.70	5.72	5.74	5.76
52.0	58.5	58.6	58.7	58.8	58.9	59.0	59.1	59.3	59.4	59.5	59.6	59.7	59.8
53.0	60.0	60.1	60.2	60.3	60.4	60.6	60.7	60.8	60.9	61.0	61.1	61.3	61.4
54.0	61.5	61.6	61.7	61.9	62.0	62.1	62.2	62.3	62.4	62.6	62.7	62.8	62.9
55.0	63.0	63.1	63.3	63.4	63.5	63.6	63.8	63.9	64.0	64.1	64.2	64.4	64.5
56.0	64.6	64.7	64.8	64.9	65.1	65.2	65.3	65.4	65.6	65.7	65.8	65.9	66.1
57.0	66.1	66.2	66.4	66.5	66.6	66.7	66.9	67.0	67.1	67.3	67.4	67.5	67.6
58.0	67.7	67.8	67.9	68.1	68.2	68.3	68.5	68.6	68.7	68.8	69.0	69.1	69.2
59.0	69.2	69.4	69.5	69.6	69.8	69.9	70.0	70.2	70.3	70.4	70.6	70.7	70.8
60.0	70.8	70.9	71.1	71.2	71.4	71.5	71.6	71.8	71.9	72.0	72.2	72.3	72.4
61.0	72.4	72.5	72.7	72.8	72.9	73.1	73.2	73.4	73.5	73.6	73.8	73.9	74.1
62.0	74.0	74.1	74.3	74.4	74.6	74.7	74.8	85.0	75.1	75.3	75.4	75.6	75.7
63.0	75.6	75.7	75.9	76.0	76.2	76.3	76.5	76.6	76.8	76.9	77.0	77.2	77.3
64.0	77.2	77.3	77.5	77.6	77.8	77.9	78.1	78.2	78.4	78.5	78.7	78.8	79.0
65.0	78.8	79.0	79.1	79.3	79.4	79.6	79.7	79.9	80.0	80.2	80.3	80.5	80.6
66.0	80.4	80.6	80.7	80.9	81.1	81.2	81.4	81.5	81.7	81.8	82.0	82.1	82.3
67.0	82.1	82.2	82.4	82.5	82.7	82.9	83.0	83.2	83.3	83.5	83.7	83.8	84.0
68.0	83.7	83.9	84.0	84.2	84.4	84.5	84.7	84.8	85.0	85.2	85.3	85.5	85.7
69.0	85.4	85.5	85.7	85.9	86.0	86.2	86.4	86.5	86.7	86.9	87.0	87.2	87.3
70.0	87.0	87.2	87.4	87.5	87.7	87.9	88.0	88.2	88.4	88.5	88.7	88.9	89.0
71.0	88.7	88.9	89.0	89.2	89.4	89.6	89.7	89.9	90.1	90.2	90.4	90.6	90.7
72.0	90.4	90.5	90.7	90.9	91.1	91.2	91.4	91.6	91.8	91.9	92.1	92.3	92.5
73.0	92.0	92.2	92.4	92.6	92.8	92.9	93.1	93.3	93.5	93.7	93.8	94.0	94.2
74.0	93.7	93.9	94.1	94.3	94.5	94.6	94.8	95.0	95.2	95.4	95.6	95.7	95.9
75.0	95.4	95.6	95.8	96.0	96.2	96.4	96.5	96.7	96.9	97.1	97.3	97.5	97.7

续表 N. 0.3

平均 回弹值 R_m	测区混凝土强度换算值 $f_{cu,i}^e$ (MPa)													
	超声波速 v_s (km/s)													
	5.52	5.54	5.56	5.58	5.60	5.62	5.64	5.66	5.68	5.70	5.72	5.74	5.76	
76.0	97.1	97.3	97.5	97.7	97.9	98.1	98.3	98.5	98.7	98.8	99.0	99.2	99.4	
77.0	98.9	99.0	99.2	99.4	99.6	99.8	100.0	100.2	100.4	100.6	100.8	101.0	101.2	
78.0	100.6	100.8	101.0	101.2	101.4	101.6	101.8	101.9	102.1	102.3	102.5	102.7	109.0	
79.0	102.3	102.5	102.7	102.9	103.1	103.3	103.5	103.7	103.9	104.1	104.3	104.5	104.7	
80.0	104.0	104.2	104.4	104.7	104.9	105.1	105.3	105.5	105.7	105.9	106.1	106.3	106.5	
81.0	105.8	106.0	106.2	106.4	106.6	106.8	107.0	107.2	107.4	107.6	107.8	108.0	108.2	
82.0	107.5	107.7	108.0	108.2	108.4	108.6	108.8	109.0	109.2	109.4	109.6	109.8	—	
83.0	109.3	109.5	109.7	109.9	—	—	—	—	—	—	—	—	—	

附录 P 后装拔出法测强曲线的制定方法

- P. 0. 1** 后装拔出试验装置应符合本规程的有关规定。
- P. 0. 2** 混凝土所用的原材料品质指标应符合现行《铁路混凝土工程施工质量验收标准》TB 10424 相关标准的规定。
- P. 0. 3** 建立后装拔出法测强曲线所用的混凝土,不宜少于 8 个强度等级,每个强度等级混凝土成型立方体试件应不少于 6 组,每组由一个至少可布置 3 个测点的拔出试件和相应的 3 块立方体试件组成。
- P. 0. 4** 每组后装拔出试件和立方体试件,应采用相同混凝土拌和物,相同成型和养护方式。
- P. 0. 5** 拔出试验应按下列规定进行:
- 1 拔出试验的测点应布置在试件混凝土成型侧面。
 - 2 在每个后装拔出试件上,应进行不少于 3 个测点的拔出试验,取平均值作为该试件的后装拔出力计算值 F ,精确至 0.1 kN。
 - 3 3 块立方体试件的抗压强度代表值,应按现行《铁路混凝土强度检验评定标准》TB 10425 确定。
- P. 0. 6** 测强曲线的计算应按下列步骤进行:
- 1 将每组拔出试件的拔出力计算值及立方体试件的抗压强度代表值进行汇总,然后按最小二乘法原理进行回归分析。
 - 2 回归方程式见式(P. 0. 6—1)。
- $$f_{cu}^e = A \cdot F + B \quad (\text{P. 0. 6—1})$$
- 式中 f_{cu}^e ——混凝土抗压强度换算值(MPa),精确至 0.1 MPa;
 F ——后装拔出力(kN),精确至 0.1 kN;
 A, B ——后装拔出法测强曲线回归系数。
- 3** 回归曲线的相对标准差 e , 可按下式计算:

$$e_r = \sqrt{\frac{1}{n-1} \sum_{i=1}^n \left(\frac{f_{cu,i}^o}{f_{cu,i}} - 1 \right)^2} \times 100\% \quad (\text{P.0.6—2})$$

式中 e_r ——回归曲线相对标准差；

$f_{cu,i}$ ——第 i 组立方体试件抗压强度代表值 (MPa)，精确至 0.1 MPa；

$f_{cu,i}^o$ ——第 i 个后装拔出试件的抗压强度换算值 (MPa)，精确至 0.1 MPa，其可由第 i 个后装拔出试件的后装拔出力 F 按式 (P.0.6—1) 计算获得；

n ——建立后装拔出法测强曲线所用的试件总组数。

P.0.7 经式 (P.0.6—1) 和式 (P.0.6—2) 计算，回归曲线相对标准差不大于 12% 时方可使用。

P.0.8 拔出法测强曲线的使用，仅限于在建立该测强曲线时所试验的混凝土强度范围内，不得外推。

附录 Q 同条件养护试件法养护温度记录

Q.0.1 同条件养护试件法养护温度记录可按表 Q.0.1 填写。

表 Q.0.1 同条件养护试件法养护温度记录表

施工单位:

记录编号:

工程名称：

试件制作时间：

结构部位：

混凝土设计强度等级：

有核人。

共 页 第 页

附录 R 射钉法专用测强曲线的制定方法

R. 0.1 为建立混凝土强度与测钉射入深度间的关系,采用与喷射混凝土基本相同配合比成型 30 组边长 150 mm 立方体试件,每组 4 个,含测钉射入深度试验试件 1 个,抗压强度试件 3 个。试件强度应覆盖需检测构筑物混凝土强度的变化范围,试件采用与现场结构相同养护方式。

R. 0.2 测试测钉射入深度时,宜在混凝土试件的侧面布置 7 个测点,位置如图 R. 0.2 所示。测试时将试件放置于坚硬平地上,使测试面向上。测试结束后检查 7 个射入深度的极差,当极差超过 1.6 mm 时,应计算 7 个射入深度值的平均值,剔除离平均值最大的那个测值;若剩余射入深度值仍不满足要求,再按上述方法进行剔除,直至所有射入深度值满足要求且不少于 5 个。如有效射入深度值少于 5 个,需进行补测。

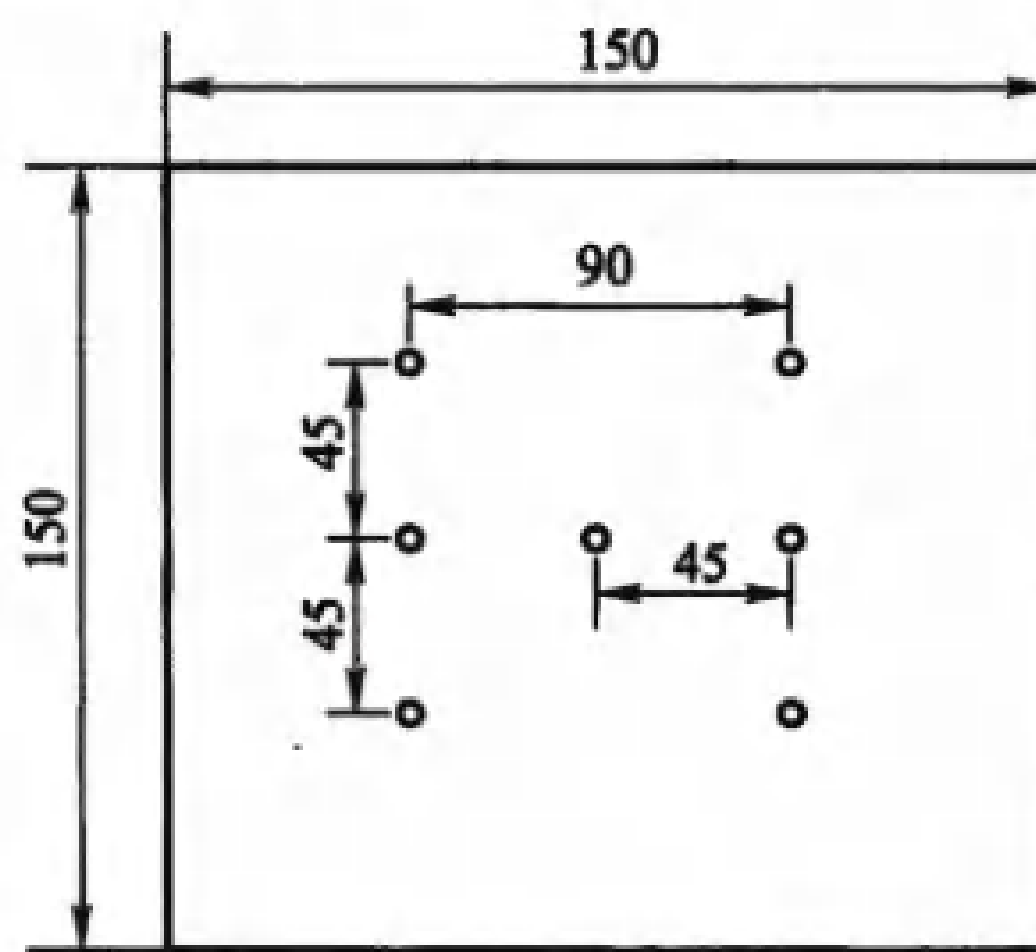


图 R. 0.2 试件测点平面布置图(单位:mm)

R. 0.3 测试不同组试件的立方体抗压强度标准值。

R.0.4 根据 30 组射入深度值和抗压强度值,采用最小二乘法原理进行回归分析,得到抗压强度推定公式:

$$f_{cu,e} = a + bL_e \quad (\text{R.0.4})$$

式中 $f_{cu,e}$ ——混凝土抗压强度推定值(MPa),精确至 0.1 MPa;

L_e ——测钉射入深度平均值(mm),精确至 0.01 mm;

a, b ——射钉法检测混凝土强度曲线回归系数。

R.0.5 计算回归方程式的强度平均相对误差和强度相对标准差,均应符合本规程第 4.6.2 条的规定。

R.0.6 当受检混凝土与建立曲线混凝土在骨料品种及级配、强度及混凝土干湿状态等因素有较大差异,或测钉装置与建立强度曲线时使用的测钉装置有变化时,应另建立条件相同的测强曲线。

附录 S 射钉法混凝土强度检测记录和报告

S. 0. 1 射钉法混凝土强度检测记录可按表 S. 0. 1 填写。

表 S. 0. 1 射钉法混凝土强度检测记录表

委托单位:

记录编号:

工程名称:

委托编号:

结构部位:

检测日期:

仪器名称		仪器型号		仪器编号		环境温度(℃)						
设计强度等级		龄期		施工日期/时间		检测日期/时间						
测区 位置	测区 编号	测点射入深度 L_i (mm)			测区换算强度 (MPa)							
		1	2	3	4	5	6	7	平均值			
	1											
	2											
	3											
	4											
	5											
	6											
无专用测强曲线时, 可参照如下回归方程计算: $f_{cu,e} = 27.48 - 2.51L_a$ 式中 $f_{cu,e}$ ——喷射混凝土强度测定推定值(MPa); L_a ——测钉射入深度平均值(mm)。												

检测:

计算:

复核:

S. 0. 2 射钉法混凝土强度检测报告可按表 S. 0. 2 填写。

表 S. 0.2 射钉法混凝土强度检测报告

委托单位:

报告编号:

工程名称:

记录编号:

结构部位:

报告日期:

设计强度等级	龄期	施工日期/时间	检测日期/时间
测区位置	测区平均射入深度 L_s (mm)	强度 (MPa)	备注
检测评定依据:	检测结论:		

检测:

复核:

批准:

单位(章)

附录 T 非金属超声波检测仪

T. 0. 1 超声波检测仪应具备下列功能：

1 应能配备不同频率范围的平面振动换能器和径向振动换能器。

2 实时显示和记录接收信号的时程曲线。

3 最小采样时间间隔应小于或等于 $0.1 \mu\text{s}$ 。

4 系统频带响应宽度应为 $1 \text{ kHz} \sim 250 \text{ kHz}$ 。

5 系统最大动态范围不得小于 80 dB 。

6 接收灵敏度(在信噪比为 3:1 时)不大于 $50 \mu\text{V}$ 。

7 声波幅值测量相对误差应小于 5%。

8 声波发射脉冲应为阶跃或矩形脉冲, 电压幅值应为 $200 \text{ V} \sim 1000 \text{ V}$ 。

9 电源电压波动范围在标称值 $\pm 10\%$ 的情况下能正常工作。

10 连续正常工作时间不少于 4 h。

T. 0. 2 超声波检测仪配套的换能器应符合下列规定：

1 平面换能器的频率宜选用 $20 \text{ kHz} \sim 250 \text{ kHz}$ 。

2 径向换能器的频率宜选用 $20 \text{ kHz} \sim 60 \text{ kHz}$, 直径不大于 32 mm 。

3 换能器的实测主频与标称频率相差应不大于 10%。

4 用于水中使用的换能器, 水密封性应在 1 MPa 水压下不渗水。

T. 0. 3 超声波检测仪宜在温度为 $-10 \text{ }^{\circ}\text{C} \sim 40 \text{ }^{\circ}\text{C}$ 、电源电压在 $220 \text{ V} \pm 22 \text{ V}$ 的环境条件下使用, 不得在有强腐蚀性气体环境或强电磁干扰的环境下工作。

T. 0. 4 超声波检测仪的维护应符合下列规定：

1 仪器使用完毕后,应清除传感器和导线上的油污、尘土,仪器各配件均应妥善放于仪器箱内,放于通风和干燥环境下,每隔3个月宜通电2 h。

2 仪器在使用及搬运过程中应防止冲击。

3 超声波检测仪校准周期宜为一年。

T. 0.5 当出现下列情况之一时,应对超声波检测仪进行校准:

1 新仪器启用前。

2 检测数据异常,无法进行调整。

3 经过维修或更换零配件。

4 遭受严重撞击或其他损害。

附录 U 地质雷达仪

U.0.1 地质雷达仪应符合下列规定:

- 1 系统增益不应低于 150 dB。
- 2 信噪比不应低于 60 dB。
- 3 模/数转换不应低于 16 位。
- 4 最小采样间隔不宜大于 0.5 ns。
- 5 信号叠加次数可选择。
- 6 实时滤波功能可选择。
- 7 地质雷达仪应具有点测与连续测量功能。
- 8 地质雷达仪应具有手动或自动位置标记功能。
- 9 地质雷达仪应具有现场数据处理功能。

U.0.2 雷达天线技术指标应符合下列规定:

- 1 雷达天线箱体应具有屏蔽功能。
- 2 单面检测时天线检测厚度应超过被检结构物厚度, 双面检测时天线检测厚度应超过被检结构物厚度的一半。
- 3 在满足探测深度的基础上, 应选用中心频率较高的天线。

U.0.3 介质参数标定应符合下列规定:

- 1 检测前应对混凝土的相对介电常数或电磁波速做现场标定, 每个结构物应不少于 1 处, 每处实测不少于 3 次, 取 3 次平均值为该结构物的相对介电常数或电磁波速。当结构物含水量变化较大时, 应适当增加标定点数。
- 2 标定方法可采用在已知厚度部位或材料与结构物相同的其他预制件上测量的方法, 或在结构物上双天线直达波法测量的方法, 或钻孔实测法。
- 3 标定参数时, 标定目标体的厚度不宜小于 15 cm, 且厚度已

知；标定记录中界面反射信号应清晰准确。

4 测区相对介电常数或电磁波速度的标定应按下列公式计算：

$$\varepsilon_r = \left(\frac{0.3t}{2d} \right)^2 \quad (\text{U.0.3—1})$$

$$v = \frac{2d}{t} \times 10^9 \quad (\text{U.0.3—2})$$

式中 ε_r ——相对介电常数；

v ——电磁波传播速度(m/s)；

t ——电磁波双程旅行时间(ns)；

d ——标定目标体厚度或距离(m)。

U.0.4 测量时窗长度应按下式确定：

$$\Delta T = \frac{2d \sqrt{\varepsilon_r}}{0.3} \times \alpha \quad (\text{U.0.4})$$

式中 ΔT ——测量时窗长度(ns)；

α ——时窗调整系数，一般取1.5~2.0。

U.0.5 扫描样点数应按下式确定：

$$S = 2 \times \Delta T \times f \times K \times 10^{-3} \quad (\text{U.0.5})$$

式中 S ——扫描样点数；

f ——天线中心的频率(MHz)；

K ——系数，一般取6~10。

U.0.6 布线应采用连续测量方式，扫描速度不得小于40道(线)/s；特殊地段或条件不允许时可采用点测方式，测量点距不得大于20 cm。

U.0.7 数据处理流程宜按图 U.0.7 进行。

U.0.8 数据处理应符合下列规定：

1 原始数据处理前应回放检验，数据记录应完整、雷达图像清晰、异常特征明显、里程记录准确。

2 确保位置标记准确、信号不失真等。



图 U.0.7 数据处理流程

附录 V 冲击回波测试仪

V.0.1 冲击回波测试仪应具有信号采集与数据分析功能。信号采集应包括信号激振、信号拾取、信号放大、模数转换等装置；数据分析宜包括数字信号显示、存储、分析、成像等功能。

V.0.2 冲击回波测试仪信号采集硬件性能应符合下列规定：

1 信号激振装置应能激发出不同频率的弹性波。单点式激振装置宜采用不同尺寸的钢球等作为冲击器。

2 信号拾取装置宜采用加速度传感器，应适用于频率在 0.2 kHz ~ 20 kHz 的信号的采样，可以采用符合频谱特性要求的非接触式动信号拾取方式。

3 信号放大装置宜采用电压输出放大器，最大增益倍率不应小于 40 dB，且增益倍率可调。

4 模数转换装置宜采用多通道 A/D 卡，分辨率不宜低于 16 bit，最大采样频率应不低于 500 kHz。

V.0.3 冲击回波测试仪应具备冲击弹性波波速、幅值、频率等特征参数分析的功能，并能数字化成像。

V.0.4 冲击回波测试仪宜在环境温度为 -10 ℃ ~ 40 ℃，低机械振动和低振幅电噪声干扰环境下使用，仪器不得在有强腐蚀性气体环境或强电磁干扰的环境下使用。

V.0.5 冲击回波测试仪的维护应符合下列规定：

1 仪器使用完毕后，应清除传感器、信号线缆上的油污、尘土，仪器各配件均应妥善放于仪器箱内，放于通风和干燥环境中，最长的充电间隔应不大于 60 d。

2 仪器在使用及搬运过程中应防止冲击。

3 冲击回波测试仪校准周期宜为一年。

V. 0.6 当出现下列情况之一时,应对冲击回波测试仪进行校准:

- 1** 新仪器启用前。
- 2** 检测数据异常,无法进行调整。
- 3** 经过维修或更换零配件。
- 4** 遭受严重撞击或其他损害。

附录 W 钢筋探测仪

W.0.1 钢筋探测仪性能指标应满足下列要求：

- 1 混凝土保护层厚度测量精度应不低于 1 mm。
- 2 钢筋间距的测量精度应不低于 3 mm。
- 3 钢筋直径的测量精度应不低于 1 mm。
- 4 在相邻钢筋间距与保护层厚度比值不小于 1 的条件下，钢筋探测仪对相邻的钢筋应能够分辨。
- 5 钢筋探测仪应能在 -10 ℃ ~ 40 ℃ 环境条件下正常使用。

W.0.2 钢筋探测仪校准周期宜为一年。发生下列情况之一时，应进行校准：

- 1 新仪器启用前。
- 2 检测数据异常，无法进行调整。
- 3 经过维修或更换零配件。
- 4 遭受严重撞击或其他损害。

W.0.3 钢筋探测仪校准应满足下列要求：

- 1 钢筋探测仪校准时，应对钢筋间距和混凝土保护层厚度两个检测项目进行校准。
- 2 校准前，应首先在校准试件各测试表面标记出钢筋的实际轴线位置，用游标卡尺量测外露钢筋在各测试面上的实际保护层厚度值，取其平均值，精确至 0.1 mm。并采用游标卡尺量测钢筋规格，精确至 0.1 mm，通过相关的钢筋产品标准查出相对应的公称直径。

3 校准时，钢筋探测仪探头应在校准试件上进行扫描，并标记出仪器所指定的钢筋轴线，采用直尺量测钢筋探测仪所测定的钢筋轴线与实际钢筋轴线的最大偏差。记录保护层厚度检测值。

对具有钢筋公称直径检测功能的,应进行公称直径检测。

4 钢筋探测仪检测值和实际量测值满足本规程第 W.0.1 条的要求时,应判定钢筋探测仪合格。当部分项目以及一定量程范围内符合要求时,应判定其相应部分合格,并应限定使用范围,指明其符合的项目和量程范围以及不符合的项目和量程范围。

附录 Y 钢筋锈蚀检测仪

Y.0.1 钢筋锈蚀检测仪(图 Y.0.1—1)应由铜-硫酸铜半电池(以下简称半电池)(图 Y.0.1—2)、电压表和导线构成。

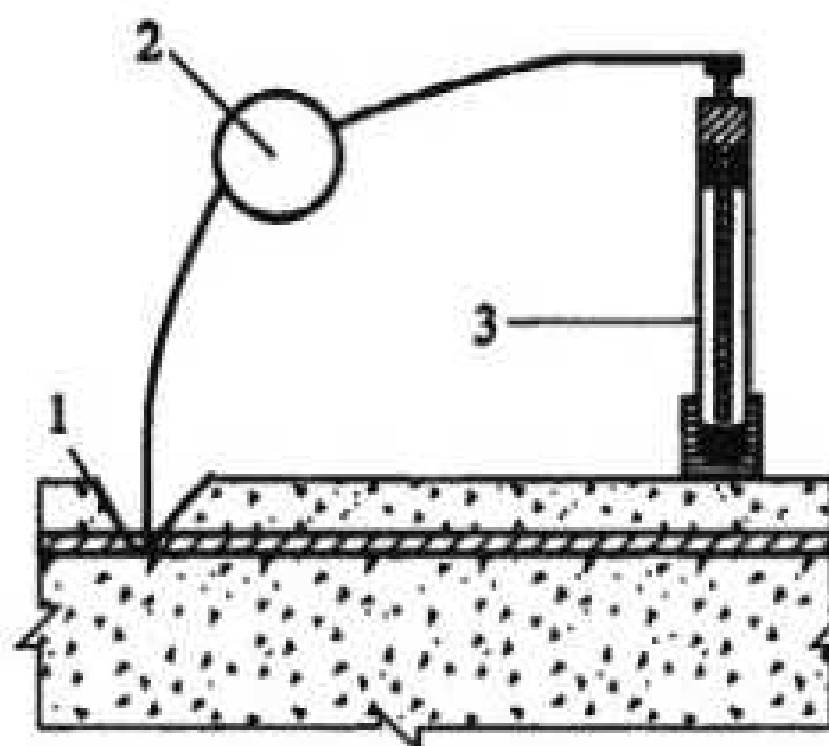


图 Y.0.1—1 钢筋锈蚀检测仪检测示意图
1—剥开或露筋位置;2—电压表;3—铜-硫酸铜半电池

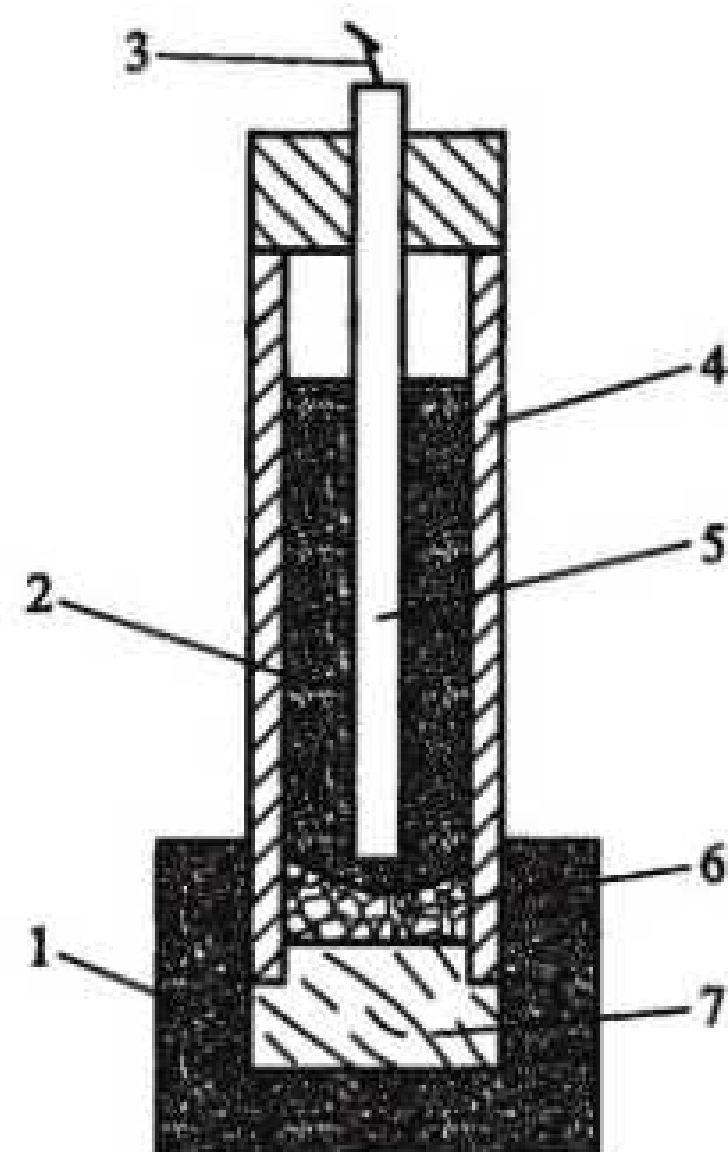


图 Y.0.1—2 铜-硫酸铜半电池剖面示意图
1—电连接垫(海绵);2—饱和硫酸铜溶液;3—与电压表导线连接的插头;
4—刚性管;5—铜棒;6—少许硫酸铜结晶体;7—多孔塞或软木塞

Y.0.2 钢筋锈蚀检测仪半电池电位测量的技术指标应满足下列要求：

- 1 半电池电位测量范围应为 $\pm 1\ 000\text{ mV}$ 。
- 2 半电池电位测量精度不应低于 1 mV 。

Y.0.3 电压表应具有采集、显示和存储数据的功能,满量程不宜小于 $1\ 000\text{ mV}$,在满量程范围内的测试允许误差为 $\pm 3\%$ 。

Y.0.4 用于连接电压表与混凝土中钢筋的导线宜为铜导线,其总长度不宜超过 150 m 、截面面积宜大于 0.75 mm^2 ,在使用长度内因电阻干扰所产生的测试回路电压降不应大于 0.1 mV 。

Y.0.5 饱和硫酸铜溶液应采用分析纯硫酸铜试剂晶体溶解于蒸馏水中制备。刚性管的底部应积有少量未溶解的硫酸铜结晶体,溶液应清澈且饱和。

Y.0.6 半电池的电连接垫应预先浸湿,多孔塞和混凝土构件表面应形成电通路。

Y.0.7 钢筋锈蚀检测仪使用后,应及时清洗刚性管、铜棒和多孔塞,并应密闭盖好多孔塞;铜棒可采用稀释的盐酸溶液轻轻擦洗,并用蒸馏水洗干净。不得用钢毛刷擦洗铜棒及刚性管。

Y.0.8 硫酸铜溶液使用达到6个月时宜给予更换,更换后宜用甘汞电极进行校准。在室温 $22\text{ }^\circ\text{C} \pm 1\text{ }^\circ\text{C}$ 时,铜-硫酸铜电极与甘汞电极之间的电位差应为 $68\text{ mV} \pm 10\text{ mV}$ 。

本规程用词说明

执行本规程条文时,对于要求严格程度的用词说明如下,以便在执行中区别对待:

1. 表示很严格,非这样做不可的用词:

正面词采用“必须”;反面词采用“严禁”。

2. 表示严格,在正常情况均应这样做的用词:

正面词采用“应”;反面词采用“不应”或“不得”。

3. 表示允许稍有选择,在条件许可时首先应这样做的用词:

正面词采用“宜”;反面词采用“不宜”。

4. 表示允许有选择,在一定条件下可以这样做的,采用“可”。

《铁路工程混凝土实体质量检测技术规程》

条文说明

本条文说明系对重点条文的编制依据、存在的问题以及在执行过程中应注意的事项等予以说明,不具备与规程正文同等的法律效力,仅供使用者作为理解和把握规程规定的参考。为减少篇幅,只列条文号,未抄录原条文。

1.0.2 本规程适用范围是按与铁路工程相关专业设计规范相配套的原则确定的,通常包括桥涵、隧道、路基、轨道等按铁路工程相关专业结构设计规范设计的混凝土工程,包括桥梁的梁体、墩身、承台,涵洞,隧道的初支、衬砌、仰拱、底板等,路基支挡结构及其附属结构,无砟轨道混凝土道床板、底座板等。

1.0.3 铁路混凝土工程涵盖面广,对于位于不同结构部位的混凝土缺陷,采用的检测方式不同,根据不同的检测目的、结构类型、结构状态等选用合适的检测方法。比如位于轨道板或道床板上的裂缝,采用比对卡或读数显微镜的方法可以对裂缝宽度进行测量;位于桥墩上的裂缝,当裂缝较大时,采用塞尺或宽度测量仪的方法可以对裂缝宽度进行测量;而位于梁体底板上的裂缝,由于距离较远,采用远距离数字摄影成像系统是合适的方法。结构状态主要考虑结构是否处于运营状态、结构是否受损(如撞击、火灾等)、结构受力状态、结构表面状态(如干燥、潮湿、在水中)等情况。

1.0.4 铁路工程混凝土结构实体质量检测优先选用无损检测方法,部分检测方式需要在结构部位取芯或钻孔,比如混凝土气泡间距系数检测、混凝土中有害成分检测等;有的需要剔凿确认,比如

混凝土中钢筋检测等；在取芯或钻孔时，尽量减少对结构的损伤，比如避免对受力钢筋造成破坏，避免从受力关键节点部位取芯；检测工作结束后，采用合适的材料及时修补破损部位，以免因检测破损影响结构混凝土的安全性和耐久性。

1.0.5 根据结构物各自的特点，检测过程中会存在高空作业、既有线作业等情况，安全防护不当时会造成人身伤亡、财产损失，故强调注意安全；同时，由于检测过程中会使用各种机械、设备，会存在废气、废液及废物排放，而且存在机械用润滑油、燃油泄漏等风险，故提出注意环保。

2.0.1 实体质量检测包括两个方面的内容：一是通过对混凝土结构实体实施原位检查、检验和测试直接获得检测数据；二是在实验室通过对结构实体取得的样品进行检验、测试获得检测数据。

2.0.10 拔出法包括后装拔出法和预埋拔出法。后装拔出法是在混凝土结构或构件表面钻孔、磨槽、嵌入锚固件并安装拔出仪进行拔出法检测；预埋拔出法是对预先埋置在混凝土中的锚盘进行拉拔测试。

2.0.12 射钉法检测混凝土抗压强度所用的射钉仪是由弹簧驱动的射钉仪。

3.1.2 在检定或校准周期内的仪器设备并不都处于正常状态，实施检测时，需要进行必要的核查。

3.1.3 检测单位在具备相应资质时，其对外出具的检验检测报告才合法有效。目前从事铁路工程检测的单位，一般为通过检验检测机构资质认定的单位，即具有 CMA 资质的单位。对人员能力的要求是为了进一步确保检测结果的准确性。

3.2.1 检测工作自身的质量有一套程序来保证，对于一般铁路混凝土结构现场检测工作，程序框图中描述的从接受委托到检测报告的各个阶段都是必不可少的。

3.2.2 了解结构或构件的状况和收集有关资料，不仅有利于较好地制定检测方案，而且有助于确定检测的内容和重点。现场调查

主要是了解被检测结构的现状缺陷或使用期间的加固维修及用途和荷载等变更情况,同时与委托方商定检测的目的、范围、内容和重点。

有关资料主要是指结构的设计图、设计变更、施工记录和验收资料、加固图和维修记录等。当缺乏有关资料时,向有关人员调查。当结构或构件受到灾害或邻近工程施工的影响时,确认结构受到损伤前的情况。

3.2.3 铁路工程混凝土结构实体质量检测的安全问题包括检测人员、检测仪器设备、受检结构、相邻构件安全以及对行车影响等问题。

3.2.4 实体质量检测的测区和测点有明晰的标注和编号,不仅方便检测机构内部的检查,也有利于相关方对检测工作的监督,同时便于对异常数据进行追踪和复检。保留时间根据工程具体情况确定,一般情况下不少于 30 d。

3.2.5 仪器自动记录时,将自动记录的数据转换成专用记录格式打印输出,是为了便于对原始记录长期保存;图像信息标明获取信息的位置和时间是为了保证原始记录的可追溯性。

3.2.6 现场取得的试样与结构实体上取样位置形成对应关系,才能根据试样的检测分析结果评价结构实体对应区域的性能。混淆现场取得的试样可能造成错误的判断;丢失现场取得的试样甚至引起异议导致全部检测无效。

3.2.7 为了避免人为随意舍弃数据,进行补充检测或复检时需要对补充检测或复检原因等进行必要的说明。

3.2.8 铁路工程混凝土实体质量检测工作不能对受检结构或构件造成安全隐患,因此混凝土结构现场检测工作结束后,需及时提出针对性因检测造成的结构或构件局部损伤的修补建议。

4.1.1 钻芯法对结构有一定的损伤,考虑结构的安全,规定对预应力混凝土结构需经设计单位允许方可钻取芯样。

4.1.2 当对其他非破损检测法的检测结果存在疑义时,可以利用

钻芯法对其进行验证。

4.1.3 钻芯法属局部破损检测法,在选择钻芯位置时要尽量选择在结构或构件受力较小的部位钻芯取样,尤其对于正在工作中的结构或构件更要特别注意,避免对结构或构件安全工作造成影响。由于受施工、养护或位置的影响,混凝土结构各部分的强度并不均匀一致,因此在选择钻芯位置时需考虑相关因素,确保取芯位置既有代表性又不对结构造成过大损伤。在钻芯过程中如果碰到钢筋、预埋件或管线,不仅容易损坏钻头,甚至取出的芯样不符合要求,还给修复工作带来困难。因此在取芯前,需根据结构图并借助钢筋保护层厚度测定仪等查明这些物体的位置。为了避免破坏隧道防水设施,隧道二衬混凝土的钻孔深度一般按设计厚度减去50 mm 考虑。

4.1.4 我国现行《钻芯法检测混凝土强度技术规程》中规定直径100 mm 且高径比(H/d)为1的芯样试件为标准芯样。不同尺寸芯样对比试验研究结果表明,在抗压试验中,使用直径为100 mm 的标准芯样试件样本的标准差相对较小,使用小直径芯样试件可能会造成样本的标准差增大,因此使用直径为100 mm 的标准芯样试件确定混凝土抗压强度值。相关试验结果表明,直径为70 mm ~ 75 mm 的芯样试件抗压强度值的平均值与100 mm 的标准芯样试件确定混凝土抗压强度值的平均值基本相当。因此,允许有条件地使用小直径芯样试件。

4.1.5 本条提出批量检测时标准芯样试件的最小样本容量,与《钻芯法检测混凝土强度技术规程》JGJ/T 384—2016 第6.3.1条“直径100 mm 的芯样试件的最小样本量不宜小于15个,小直径芯样试件的最小样本量不宜小于20个”的规定基本一致。

4.1.7 芯样试件中存在钢筋会对试验结果产生一定的影响,芯样中需尽量避免含有钢筋。由于在取芯过程中很难完全避免,所以对芯样中钢筋的直径、数量及方位提出了一些限制要求。

4.1.8 为保证结构或构件及时恢复正常受力分布状态,钻取芯样

后需根据工程实际需要对构件的孔洞及时进行修补。

4.1.9 为了保证芯样质量,除采用符合要求的钻芯机外,还需要采用金刚石钻头或人造金刚石薄壁钻头进行取样。若钻头胎体有裂缝、缺边、少角、倾斜及喇叭口变形或径向跳动过大,不仅降低钻头寿命,而且会影响钻芯质量。

4.1.17 提钻卸取芯样时,需要采取措施确保芯样完整,如使用专用自由钳拧卸钻头和扩孔器。不能敲打卸样,敲打可能会导致芯样受损。

4.1.18 将芯样取出并稍微晾干后,需要标上芯样的编号,并记录取芯构件名称、取芯位置、芯样长度及外观质量等,必要时拍摄影片。如发现不符合制作芯样条件,需另行钻取。芯样在搬运之前可以采用编织袋或土工布等软质材料仔细包装,以免碰坏。

4.1.20 试验表明,芯样试样两端面平行度对抗压强度影响显著,双端面磨平机加工试件能提高两端面平行度,优先采用双端面磨平机进行芯样加工。若采用其他方式磨平,需要经验丰富的专业人员认真细致的加工,以满足要求。由于端面经过修补处理的芯样试件很难保证其试验结果不受影响,一般情况下需要采用直接磨平的原芯样试件,当遇到特殊情况无法获得足够的两个端面均很完整的芯样试件时,方可进行适当修补。经修补处理后的芯样试件端面平整度和尺寸偏差要符合要求。

4.1.21 钻芯过程中,由于受到钻机振动、钻头偏摆等因素影响,芯样的直径在各个方向并不十分均匀,因此需用平均直径表示。对于直径为 100 mm 的芯样,当直径测量精度为 0.5 mm 时,其截面积的误差为 0.89%。为了使截面积误差限制在 1% 以内,规定平均直径精度为 0.5 mm。由于芯样长度对抗压强度的影响与截面面积相比要小,因此精度放宽到 1 mm。芯样端面与轴线的垂直度可以使用游标万能量角器进行测量。测量时将游标万能量角器的两只脚分别紧贴于芯样侧面和端面,测出其最大偏差,测完一个端面再测另一个端面。在测定平整度时,将钢板尺立起横放在芯样

端面上,然后慢慢旋转 360° ,用塞尺测量其最大缝隙。

4.1.22 将芯样端面平整度的允许偏差修改为与《混凝土物理力学性能试验方法标准》GB/T 50081—2019 中“试件承压面的平整度公差不得超过 $0.000\ 5d$ ”的规定一致,芯样试件端面与轴线垂直度的允许偏差修改为 $\pm 1^{\circ}$,其目的是减小测试偏差和样本的标准差。不经二次加工磨平的锯切芯样平整度一般会超差,其抗压强度比端面经过磨平机精细磨平加工后芯样试件的抗压强度一般要低 $10\% \sim 30\%$,当芯样试件端面平整度相差较大时,其抗压强度结果会降低的更多,没有代表性。因此,芯样试件尺寸偏差及外观质量不符合规定时,不能进行抗压强度测试。

4.1.23 芯样试件抗压状态需要根据构件所处环境的含水程度而决定。当结构或构件所处环境比较干燥时,由于芯样在钻取、锯切或端面补平后的养护过程中都是比较潮湿的,需要自然干燥一段时间后才能进行抗压试验。一般实验室很难做到恒温恒湿,因此为了取得一个统一的相对干燥的标准,规定芯样试件在室内自然风干 $24\ h$ 后进行抗压强度试验。当所处环境比较潮湿时,芯样试件在水中浸泡一定的时间后才能进行抗压强度试验。关于芯样试件浸泡水的温度,实际上除非水温过高或过低会对混凝土强度产生影响外,一般影响很小,可以将水温范围适当放宽,因此规定水温为 $20\ ^{\circ}\text{C} \pm 5\ ^{\circ}\text{C}$ 。关于芯样试件在水中浸泡时间的规定,主要是为了使芯样试件中的含水量达到饱和。

4.1.25 根据有关单位的试验研究结果,100 mm 标准芯样试件和公称直径 $70\ \text{mm} \sim 75\ \text{mm}$ 、高径比为 1:1 的芯样试件抗压强度与同条件养护同龄期 150 mm 立方体试块的抗压强度基本相当,因此芯样试件强度计算公式均采用式(4.1.25)。

4.1.26 本条对钻芯法确定单个构件或单个构件局部区域的混凝土强度推定值方法进行了规定。综合考虑检测结果的可靠性和普通构件或结构整体共同受力的实际情况,提出了分别适用于不同情况的两种确定混凝土强度推定值方法。该推定方法主要基于芯

样试件混凝土抗压强度最小值等于或大于设计混凝土抗压强度标准值的 85%，且所取芯样的抗压强度平均值不小于设计混凝土抗压强度标准值时，其混凝土构件不会有结构强度安全风险。采用该推定方法确定的混凝土强度推定值等于或大于设计混凝土抗压强度标准值评定为合格的混凝土结构或构件，实际上就是采用平均值和最小值双控。

4.1.27 本条对批量检测混凝土强度推定值的确定进行了规定：

1 批量检测混凝土强度推定区间的确定方法。由于抽样检测必然存在着抽样不确定性，给出确定的推定值必然与批量检测混凝土强度值的真值存在偏差，因此给出一个推定区间更为合理。推定区间是对批量检测混凝土相应强度真值的估计区间，计算上限值、下限值、平均值和标准差时均需要采用单个芯样试件混凝土强度值。按此规定给出的推定区间符合《建筑工程施工质量验收统一标准》GB 50300—2013 的相关规定，错判概率小于 0.05，漏判概率小于 0.10。

2 对推定区间进行控制，包括推定区间的置信度、上限值与下限值之差值 ΔK ， $\Delta K = (k_2 - k_1) S_{f_{cu}}$ 。减小样本的标准差、合理确定芯样试件的数量是满足推定区间要求的两个因素。

3 以批量检测混凝土强度推定区间的上限值作为混凝土工程施工质量的评定界限，符合《建筑工程施工质量验收统一标准》GB 50300—2013 关于错判概率不大于 0.05 的规定，芯样试件抗压强度值一般不会高出结构混凝土的实际强度，而是略低于实际强度。

4.1.28 异常数据的舍弃按一定的规则，本条提供了异常数据的舍弃标准。试验研究表明，芯样试件抗压强度样本的标准差一般大于立方体试块的标准差，小直径芯样试件抗压强度样本的标准差更大。因此，允许根据实际情况适当调整芯样试件抗压强度样本的标准差。调整要有试验依据，而且要事先将调整方法告知委托方。

4.2.1 回弹法是通过回弹仪检测混凝土表面的硬度来推算混凝土强度的方法,因此测试的结构或构件混凝土表面质量不允许存在明显缺陷,对检测结果有争议或怀疑时,采用钻芯法进行验证。当发现混凝土表面经受物理或化学作用产生损伤,有明显缺陷、遭受冻害、化学侵蚀、火灾和高温损伤时,不允许采用回弹法。

4.2.2 对比了不同标称动能回弹仪对不同强度等级混凝土强度的检测结果,试验结果表明:选用标称动能为 2.207 J 的回弹仪测试 50 MPa 以下的混凝土强度较为理想,与实体芯样强度接近,而测试 50 MPa 及以上混凝土的强度较实体芯样强度偏低 25% 以上;选用标称动能为 4.5 J 或 5.5 J 的回弹仪测试 50 MPa 及以上混凝土的强度较实体芯样强度偏差在 10% 以内,同时参照了《高强混凝土强度检测技术规程》JGJ/T 294—2013 中的相关规定。为提高回弹检测的准确性和可靠性,本规程作出该规定。

4.2.3 批量检测遵循“随机取样”原则,按批量检测的结构或构件,需符合强度等级相同,原材料、配合比、成型工艺和养护条件基本一致且龄期相近的规定。龄期相近是指结构或构件养护龄期已达到要求规定养护龄期,且最大龄期与最小龄期之间一般不超过要求规定的养护龄期。

4.2.5 检测的结构或构件的测区,标明清晰的编号,并将测区的位置、特点和外观质量在记录中描述,以便判断回弹值结果时参考。

4.2.6 目前绝大多数数字式回弹仪都是在传统机械构造和标准技术参数的基础上实现回弹仪数字化采样的。保留人工直读示值系统能使数字回弹仪的操作者在实际检测过程中随时核对采样值是否与指针示值相同,可以及时发现仪器采样系统的故障。

4.2.7 回弹仪需在 -4 ℃ ~ 40 ℃ 的环境温度中检测,否则会影响其性能。

4.2.8、4.2.9 为防止回弹仪在使用过程中出现非标准状态而作出的规定,并对率定试验的环境、温度、方法和取值作出规定。

4.2.10 ~ 4.2.12 对回弹仪常规保养的条件、步骤、方法及使用完毕后的维护存放作出了具体规定。

4.2.13 检测过程中回弹仪的纵轴线需要与混凝土的检测面垂直，并缓慢施压、快速复位，以保证读数准确。对于薄壁和小型构件，回弹时易发生颤动，造成能量损失，致使检测结果偏低，因此在检测前需以有效支撑加以固定。

4.2.14 本条规定了每个测区测点数量、位置和距外露钢筋与预埋件的最小距离。规定了同一测点只能弹击一次，以防重复弹击造成回弹值偏高。

4.2.15、4.2.16 本规程附录 E、附录 F 中的强度换算值是由平均回弹值和平均碳化深度确定，因此对每个测区碳化深度的测试数量、方法和取值作出规定。

4.2.17 每个测区 16 个测点的回弹值有一定离散性，因此规定测区平均回弹值剔除 3 个最大值和 3 个最小值，取剩余 10 个回弹值的平均值。

4.2.21、4.2.22 我国地域辽阔，铁路工程遍布各省区，施工环境变化较大，采用回弹法推算混凝土强度时，可以采用统一测强曲线。为了提高精度，需因地制宜，结合地区和单位的条件及施工水平，制定和采用专用测强曲线和地区测强曲线，并对测强曲线的强度误差值作出规定。当采用地区测强曲线和专用测强曲线时，需要与该曲线制定时的测试条件一致，并经常抽取一定数量同条件试件校核，当发现出现较大差异时，需及时查找原因，并停止使用。

4.2.23 本条规定了使用本规程附录 E 至附录 G 进行强度换算的情况。目前，铁路建设工程中大量使用引气剂来提高混凝土耐久性，特别是抗冻性。根据相关试验结果，混凝土入模含气量在 5.0% 及以下时，利用回弹法可以获得较为准确的强度值，故本条规定混凝土入模含气量不大于 5.0%。

4.2.24 本条规定了不能按本规程附录 E 至附录 G 进行测区混凝土强度换算的 4 款条件，如采用特种工艺成型的混凝土（加压振

动或离心成型工艺)超出了该测强曲线范围。因此,当具有该 4 款条件之一时,按本规程附录 D 制定专用测强曲线或通过试验修正。

4.2.28 按单个结构或构件检测时,因样本太少,取最小值,批量检测结构或构件时,则按常规公式计算。

4.2.29 当测区间的标准差过大时,说明已出现某些偶然因素,不属于同一母体,因此不能按批进行推定。

4.3.8 测试时需要保证换能器与混凝土耦合良好,必要时对混凝土表面进行特殊处理。声时测量后按照测距计算出声速,要求在声时读数时,重复测试误差不超过 $\pm 1\%$,超声测距测试误差不超过 $\pm 1\%$,只有按此要求才能保证声速的误差不超过 $\pm 2\%$ 。声时测读保留小数点后一位数字,声速测读保留小数点后两位数字。为准确测量超声声时,构件检测时,需在构件相对面布置测区,测区尺寸位置需准确,超声测试时才能保证收、发换能器轴线在同一直线上。

4.3.11 由于顶面强度低,底面强度高,因此规定对不同浇筑面所测的声速值进行修正。

4.3.13、4.3.14 在结构或构件测区所取得的回弹值和超声声速值修正后,优先采用专用测强曲线或地区测强曲线确定混凝土强度值。如无该类曲线,经附录 M 验证后可以按附录 N 或按式(4.3.14—1)至式(4.3.14—3)计算确定。

4.3.17 各测区间的标准差过大,则说明已有某些偶然因素在起作用,这些测区不能认为是属于同一母体,不能按批进行推定。本规程规定了按批检测时的离散性界限,超过此界限则逐个检测,以找出确切的问题部位和原因。

4.4.1 本条对拔出法混凝土强度的适用范围作出了明确规定。要求被检测结构表层与内部质量一致,目的是使检测结果能准确反映结构实体的实际质量情况。

4.4.11 为保证量测精度,本规程规定了拔出仪每年至少校准一次。由于油缸和活塞之间存在摩擦力,而且摩擦力的大小随着仪器使用次数、油的黏度及更换零件等因素会有变化,更换油、零件

及维修都会影响拔出力的量测精度。

4.4.12 钻孔垂直度偏差直接影响测试精度,因此本条对垂直度偏差提出了限值。磨槽时将磨槽机的定位圆盘紧靠混凝土表面回转,目的是保证以混凝土表面为基准面的锚固深度在同一平面内。同时试验表明,锚固深度和磨槽质量对检测结果影响较大,故对成孔尺寸进行要求。

4.4.21 为了避免预埋件螺纹锈蚀,无法进行试验,需在混凝土拆模后,预先将定位杆旋松。

4.4.22 加荷速度过快会导致测试结果偏高,而加荷速度过慢会导致测试结果偏低,因此需按规定的加荷速度进行操作。

4.4.26 当单个构件 3 个拔出力中最大或最小拔出力与中间值之差小于中间值的 15% 时,说明构件混凝土强度的均匀性较好,且测试误差较小,不必加测。为提高保证率,将最小值作为该构件拔出力计算值。当单个构件 3 个拔出力中最大或最小拔出力与中间值之差大于中间值的 15% 时,说明构件混凝土强度的均匀性较差或测试误差较大。为证实最小拔出力的真实性,消除试验误差,因此在最小拔出力测点附近加测 2 个测点,此时拔出力计算值的取值方法仍然是本着提高保证率的原则确定的。

4.4.30 按批抽样检测的构件,当其全部测点混凝土强度换算值的标准差 S 或变异系数 δ 过大时,全部测点不能视为同一批构件,因此不能按同批构件进行推定。

4.5.1 桥梁的梁体、墩台身,隧道的仰拱、衬砌及底板等都属于重要部位,需要制作同条件养护试件。

4.5.3 同条件养护试件的取样需均匀分布于工程施工周期内,同一强度等级的同条件养护试件,其留置的组数根据混凝土工程量和重要性确定,一般不少于 5 组,对于一次性浇筑量较小的混凝土结构或构件可以适当减少留置的组数,一般不少于 2 组。

4.5.6 同条件养护试件的等效养护龄期需要根据同条件养护试件强度与在标准养护条件下 28 d、56 d 龄期试件强度相等的原则确定。

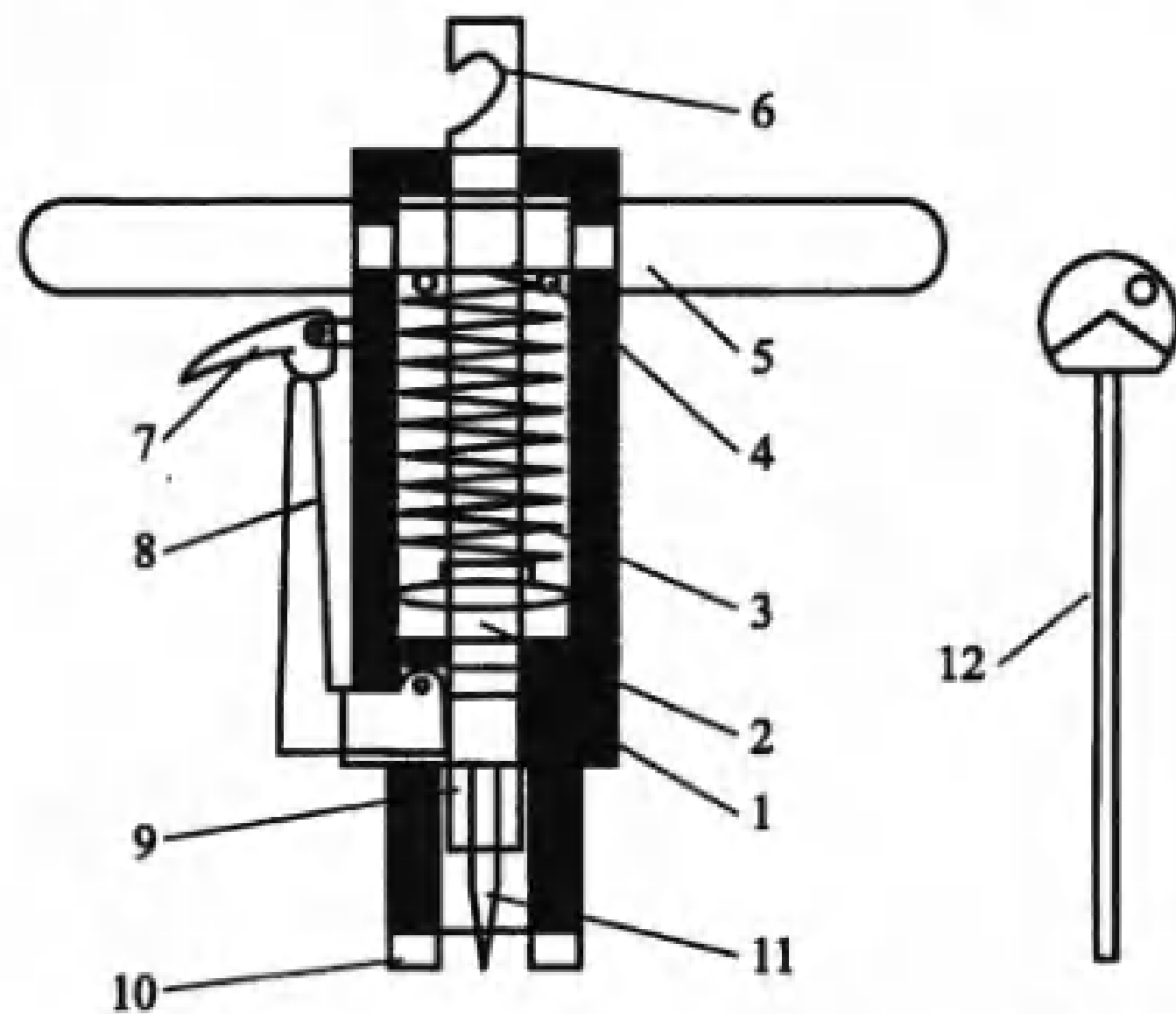
4.5.7 同条件养护试件的日平均温度逐日累计达到 $600\text{ }^{\circ}\text{C}\cdot\text{d}$ 、 $1200\text{ }^{\circ}\text{C}\cdot\text{d}$ 前后, 其强度发展趋于稳定, 考虑现场实际操作, 按日平均温度逐日累计达到 $580\text{ }^{\circ}\text{C}\cdot\text{d}$ ~ $620\text{ }^{\circ}\text{C}\cdot\text{d}$ 、 $1180\text{ }^{\circ}\text{C}\cdot\text{d}$ ~ $1220\text{ }^{\circ}\text{C}\cdot\text{d}$ 时所对应的龄期进行试验。

4.5.11 参照《混凝土结构工程施工质量验收规范》GB 50204—2015, 同条件养护试件的强度代表值除以 0.88 系数, 更科学合理。

4.6.2 研究表明, 喷射混凝土结构强度离散性相比普通混凝土要大, 因此采用射钉法检测喷射混凝土 24 h 强度时需要建立专用测强曲线。

4.6.3、4.6.4 规定了射钉法检测喷射混凝土强度检测点和测区布置等要求。

4.6.6 射钉仪由主机、加力杆、深度测量尺、测钉座螺母旋紧扳手、测钉量规及附件等组成, 如说明图 4.6.6 所示。



说明图 4.6.6 射钉法混凝土强度检测仪结构图

1—主机; 2—射钉杆; 3—工作弹簧; 4—调整螺母; 5—把手; 6—加力槽;
7—扳机; 8—挂钩; 9—测钉座; 10—扁头; 11—测钉; 12—加力杆

4.6.12 隧道喷射混凝土施工较为复杂, 地质条件的差异, 钢筋及预埋件较多, 而且混凝土靠空气压力喷射到岩面上, 难免产生孔洞

或蜂窝现象,混凝土达不到理想的密实程度,导致检测数据离散性较大。因此,规定了测钉射入到钢筋或预埋件上、骨料、蜂窝或孔隙内时得到的异常值舍弃。

4.6.13 由于喷射混凝土早期强度增长特别快,正常情况下1d强度能达到设计强度的40%以上,因此本条要求测试时间在规定时间内的1h内完成。

4.6.15 根据现场试验成果,射钉仪使用说明书推荐公式计算的结构混凝土强度值明显高于同条件养护标准试件抗压强度值,最大差值为3.8MPa,偏差为标准试件强度值的27.9%。同时射钉法的测试受混凝土原材料、配合比和作业方式等影响,检测结果偏差较大,故在现场测试前,需要建立专用测强曲线。

5.1.1 混凝土外观缺陷包括的内容比较多,结合铁路行业特点,本规程主要针对裂缝、表层损伤、蜂窝、麻面、表面疏松、孔洞、露筋的检测进行了规定。

5.2.1~5.2.3 裂缝表面宽度测量有多种方法,目前使用较多的是人工操作裂缝宽度测量仪,而数字摄影成像系统(采用激光、红外、高清相机等)作为一种快速普查手段,也逐渐得以广泛应用,目前主要厂家设备的检测精度基本均为0.2mm,该裂缝宽度正好是非预应力混凝土裂缝宽度限值,对于定位精度的要求,主要便于对普查发现的严重裂缝的准确定位复测和处理。各种检测方法特点见说明表5.2.1。

说明表5.2.1 裂缝宽度检测方法及特点

序号	检测方法	特点
1	塞尺	效率较高、精细测量
2	比对卡	效率较高、精细测量
3	读数显微镜(刻度放大镜)	效率较高、精细测量
4	宽度测量仪	效率较高、精细测量
5	数字摄影成像系统	效率高、快速普查、粗测

5.2.6 裂缝通常不规则,有些裂缝不为直线,这种情况下以其中的拐点为分界点,分段测量其长度后汇总,并做好详细记录;有些裂缝存在分叉,这种情况下以分叉点为分界点,分别编号,分别测量相应的长度并做好详细记录;有些裂缝呈网状,这种情况下以网节点为分界点,分别编号,分别测量相应的长度并做好详细记录。

5.2.8 在检测裂缝深度时,由于测点位置的不同,深度会有所不同,在检测时测点越多,越能准确描述裂缝深度状况。过多的测点会增加现场工作量,为便于操作,在裂缝长度范围内等分确定测点,通常在中点、 $1/4$ 位置、 $3/4$ 位置处布置测点,采用深度尺、超声波法进行检测时,测点数量适当增加,采用钻芯法进行检测时,测点数量根据构件本身的特点进行确定。

5.2.9 超声波法测量混凝土裂缝深度的方法主要参考了《混凝土结构现场检测技术标准》GB/T 50784—2013、《超声法检测混凝土缺陷技术规程》CECS 21:2000、《水运工程混凝土结构实体检测技术规程》JTS 239—2015 等标准。

5.2.15 采用双面穿透斜测法检测时,换能器移动的间距越小越好,间距过小会增加工作量。现场检测时,先采用大间距确定裂缝的大致深度,再采用小间距进一步获取较为精确的数值。

5.2.16 当发射换能器、接收换能器的连线通过裂缝时,由于混凝土失去了连续性,超声波需要绕过裂缝从而产生很大的衰减,接收到的首波信号很微弱,其波幅和频率与不过裂缝的测点相比较,存在显著差异。根据波幅、声时和主频率的突变,便可以判定裂缝的深度以及是否在所处断面内贯通。

5.2.17 《超声法检测混凝土缺陷技术规程》CECS 21:2000 中规定:孔深应比裂缝预计深度深 700 mm,测试孔的间距宜为 2 000 mm。从实际应用看,孔深 500 mm 已经可以获取足够多的测点数据,而测试孔间距过大,中间其他干扰因素会增加,故调整为:比裂缝预计深度深 500 mm,两个对应测试孔的间距不宜小于 1 000 mm。

5.2.19 从提高对裂缝深度判识准确性的角度出发,测点间距越

小越好,目前各厂家径向换能器自身的长度均在 100 mm 左右,低于 100 mm 的测点间距意义不大,故将测点间距规定为 100 mm ~ 200 mm。

5.2.21 钻芯施工前,查阅结构设计资料了解受力钢筋或结构预埋件布置,或采用钢筋探测仪大体检测钢筋位置及间距,避免钻芯时钻到受力钢筋。

5.2.22 当钻孔法无法取得完整芯样时,采用如孔内电视等方式进行测量。对于不同的部位,在采用孔内电视时,需考虑其设备进入的可行性。

5.3.2 被测结构允许钻芯时,钻芯位置一般选择具有代表性的部位,且尽量避开存在掉块的部位,当需要在掉块的位置钻芯时,要详细记录该现象,并通过与周围未发生掉块的部位比较确认掉块厚度,在后续计算伤损层厚度时加上相应掉块厚度。

采用钻芯法对伤损层厚度进行检测时,由于伤损部分混凝土与正常混凝土密实状态不同,芯样浸水后,伤损部分混凝土吸水率高于正常部分混凝土,其达到干燥状态所需的时间比正常部分混凝土所需时间长,在一定的干燥时间内,正常部分混凝土与伤损部分混凝土之间会出现湿润分界线,通过测量该分界线至芯样外表面的最大距离,得到伤损层厚度值。

5.3.3 超声波法测量混凝土表层伤损方法主要参考了《混凝土结构现场检测技术标准》GB/T 50784—2013、《超声法检测混凝土缺陷技术规程》CECS 21:2000、《水运工程混凝土结构实体检测技术规程》JTS 239—2015 等标准。

5.3.5 测点数越多,得到的伤损混凝土与未伤损混凝土的 l 与 t 回归直线方程越接近超声波在被测混凝土内传播的真实情况。

6.1.1 因施工或混凝土工作性能不佳造成的混凝土内部缺陷,均表现为不密实与空洞。混凝土内部不密实区与空洞,无砟轨道充填层离缝、软弱层,预应力管道压浆不密实等都属于混凝土结构内部缺陷。

6.1.2 采用平面换能器超声波检测、地质雷达检测及冲击回波法检测,均要求混凝土检测表面清洁、平整。当混凝土表面不平时,打磨平整。采用径向换能器超声波检测对测孔有要求,对混凝土表面无要求。

6.1.6 完整的检测报告或成果,包括测位选择方式、测试位置、检测对象外观情况、缺陷性质及缺陷分布情况等信息,供审核、复查及再现时使用。缺陷分布绘图时,首先按比例绘制结构物检测面轮廓图,将实测的各测线(点)绘制在图上,然后标出异常线(点)的位置及范围。

6.2.1 检测混凝土内部缺陷时,首先要制定检测方案,合理选取检测方法、仪器型号、检测面、测线(点)间距、测线角度,适宜的检测方案有利于提高检测效率与缺陷检出率。

6.2.2 当混凝土有一对或两对检测面时,用超声波法(两个平面换能器)进行检测;当混凝土只有一个检测面时,选择超声波法(一个平面换能器和一个径向换能器)、地质雷达法、冲击回波法进行检测;当混凝土没有合适的检测面时,钻检测孔用超声波法(两个及两个以上径向换能器)进行检测。

6.2.3 不同检测方法结论不一致时,同种检测方法不同仪器检测结论不一致时,同一仪器重复检测后对缺陷判定仍有困难时,对检测结论有怀疑时,在有争议部位钻芯或钻孔,以验证混凝土内部缺陷。

6.2.4 为了得到临界声速值,同条件正常混凝土的测点数必须达到20个,以便于采用数理统计方法进行计算。

6.2.5 采用斜测法时,若角度过大,换能器接收灵敏度低,因此规定斜测最大角度不超过40°。

6.2.6 换能器之间距离增大时,换能器灵敏度会降低。当换能器灵敏度过低时,通过钻检测孔减小换能器之间的距离,提高换能器灵敏度。钻孔的位置在异常区域附近,钻孔深度根据情况而定,不能穿透构件。当采用2个以上径向换能器检测时,根据结构物尺寸或缺陷情况对称布置测孔。

6.2.9 假定相邻两测点混凝土均匀性一致,则相邻两测点声速值相近,若发现相邻两测点声速值有异常,为避免误判,在异常点部位再重复检测两次。

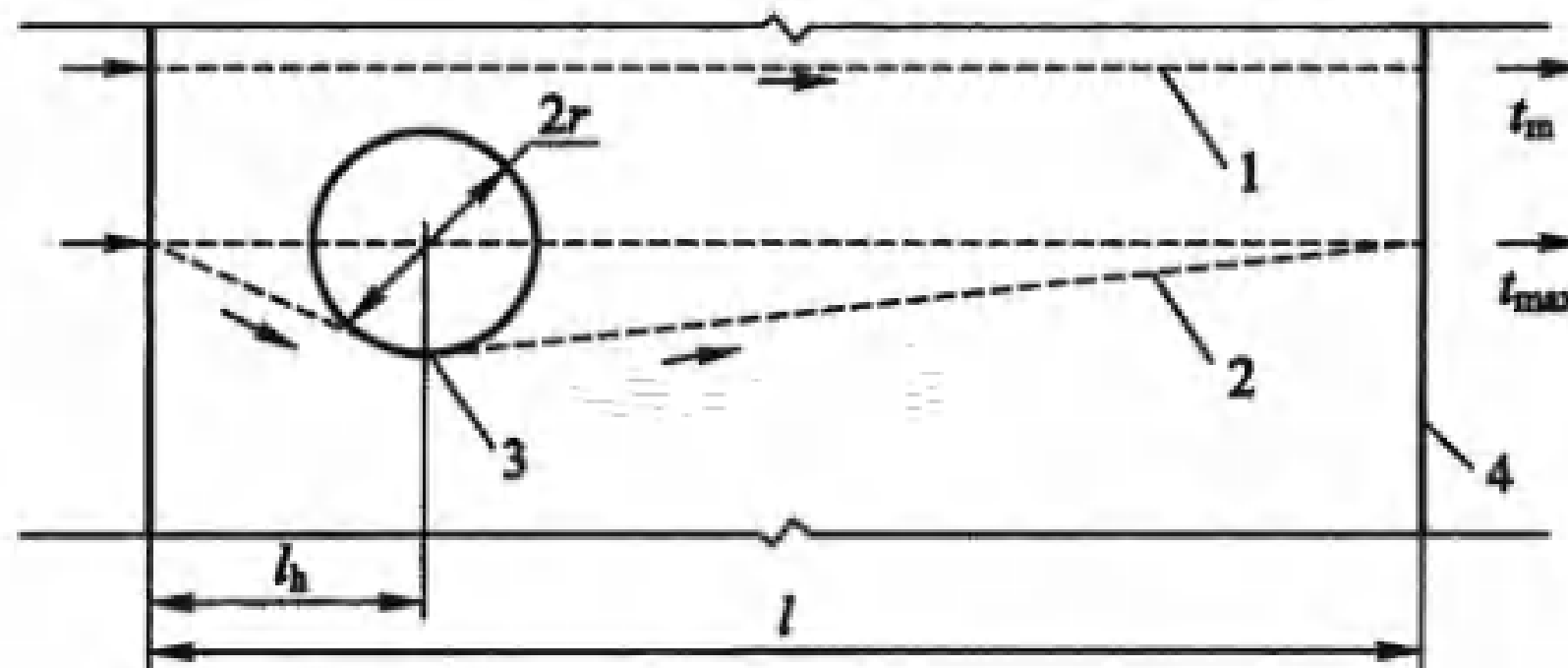
6.2.11 混凝土声速值正常的波动与离散是客观存在的,为探测缺陷,就必须从大量波动与离散的数据中,辨别出哪些是异常数据。本条判定方法的基本依据是:混凝土质量服从正态分布,混凝土质量与混凝土声速值具有强相关性,推出混凝土声速值也服从正态分布。每一正常的不含有异常值的测量值出现频率为 $\frac{1}{n}$ (n 为参与统计测点总数),含有异常值的测量值出现的频率小于 $\frac{1}{n}$,故能求出相对应 $\frac{1}{n}$ 的概率所对应的正态分布分位数来作为判断是否是缺陷的临界值。实际计算时,将声速值从大到小排列,用公式 $v_{01} = m_x - \lambda_1 \cdot S_x$ 和 $v_{02} = m_x + \lambda_1 \cdot S_x$,按照异常小与异常大交替剔除,每次只剔除一个,再对剩余数据重新计算直至全部数据大于 v_{01} ,且小于 v_{02} ,此时 v_{01} 值就是判定声速异常的概率法统计值。

当判定出现异常值,混凝土存在空洞或不密实区时,为了能确定空洞及不密实区范围,需进一步判断相邻点异常情况。相邻点异常值判定依据:设A、B出现异常值概率均为 p ,独立事件同时发生的概率为 p^2 ,相邻点有四种情况(上、下、左、右),任意两相邻点均发生的概率为 $4p^2$,每一正常的不含有异常值的测量值出现频率为 $\frac{1}{n}$, $4p^2 = \frac{1}{n}$,得到 $p = \frac{1}{2}\sqrt{\frac{1}{n}}$,概率对应的正态分布分位数就是条文所列的相邻异常临界值判定系数 λ_2 ,同理当相邻点有两种情况(左、右或上、下), $p = \sqrt{\frac{1}{2n}}$,概率对应的正态分布分位数就是条文所列的相邻异常临界值判定系数 λ_3 。

由式(6.2.11—5)或式(6.2.11—6)计算得到的 v_{03} 即为相邻点声速临界值,若结构或构件中异常点任一相邻测点小于等于 v_{03} ,则判定该相邻测点为异常值。

6.2.12 超声波检测声学参数包括声速、波幅、主频值等,除声速值外,波幅、主频值等声学参数的异常值也能用于辅助判定混凝土空洞、不密实区的位置和范围,波幅、主频值异常点判定参考本规程第6.2.11条。波幅临界值还有一种计算方法,即以“波幅平均值减去6 dB”作为波幅临界值,在《铁路工程基桩检测技术规程》TB 10218—2019、《建筑基桩检测技术规范》JGJ 106—2014中均采用了该方法。

6.2.13 当结构物只有一对可供测试的表面,空洞位于测距中心时按照式(6.2.13)计算;当有两对检测面时,按下列方法估算空洞尺寸(原理如说明图6.2.13所示):设检测距离为 l ,空洞中心(在另一对测试面上声时最长的测点位置)距离为 l_h ,声波在空洞附近无缺陷混凝土中传播的时间平均值为 t_m ,绕空洞传播的时间(空洞处的最大声时)为 t_{max} ,空洞半径为 r ,设 $X = (t_{max} - t_m) / t_m \times 100\%$, $Y = l_h / l$, $Z = r / l$ 。根据 X , Y 值,由说明表6.2.13查得空洞半径 r 与测距 l 的比值 Z ,再计算空洞的大致半径 r 。



说明图6.2.13 空洞尺寸估算原理图

1—超声波在混凝土中传播路径;2—超声波经过空洞时最远传播路径;
3—空洞;4—混凝土

说明表 6.2.13 空洞半径

X、Y值										Z
Y	0.10 (0.90)	0.15 (0.85)	0.20 (0.80)	0.25 (0.75)	0.30 (0.70)	0.35 (0.65)	0.40 (0.60)	0.45 (0.55)	0.5	
X	1.42	1	0.78	0.67	0.6	0.55	0.52	0.5	0.5	0.05
	3.77	2.56	2.02	1.72	1.53	1.41	1.34	1.3	1.28	0.08
	6.26	4.06	3.18	2.69	2.4	2.21	2.09	2.03	2	0.1
	—	5.97	4.62	3.9	3.46	3.19	3.02	2.92	2.89	0.12
	—	8.39	6.36	5.34	4.73	4.35	4.12	3.99	3.94	0.14
	—	—	8.44	7.03	6.21	5.7	5.39	5.22	5.16	0.16
	—	—	10.9	8.98	7.91	7.25	6.84	6.62	6.55	0.18
	—	—	13.9	11.2	9.38	9	8.48	8.2	8.11	0.2
	—	—	—	13.8	12	10.9	10.3	9.95	9.84	0.22
	—	—	—	16.8	14.4	13.1	12.3	11.9	11.8	0.24
	—	—	—	—	17.1	15.5	14.5	14	13.3	0.26
	—	—	—	—	20.1	18.1	16.9	16.3	16.1	0.28
	—	—	—	—	23.6	21	19.6	18.8	18.6	0.3

当被测部位只有一对测试面时,只能按式(6.2.13)估算空洞半径。实践证明,由式(6.2.13)计算所得空洞尺寸比查表所得空洞尺寸略大一些。

6.2.14 电磁波在介质中传播有反射和吸收现象,强反射或强吸收对雷达探测都是不利的。掺钢纤维的部位、钢筋交错密排部位、混凝土含水量大的部位等均为强反射或强吸收介质。

电磁波从波阻抗为 Z_1 介质垂直进入波阻抗为 Z_2 的介质时,反射系数 $R = \frac{Z_2 - Z_1}{Z_2 + Z_1}$,透射系数 $T = \frac{2Z_2}{Z_2 + Z_1}$,当 Z_2 为理想导体,即波阻抗为 0 时, $R = 1, T = 0$,电磁波全部反射。当电磁波从混凝土传播到金属物体表面时,大部分电磁波会被反射,因此埋设的钢板、钢筋、钢架、钢管、电缆电线管等均为强反射介质。布置测线时尽量远离强反射部位。

研究表明,电磁场沿传播方向按指数规律衰减,衰减快慢由衰减系数 b 决定,含水混凝土中衰减系数 $b \propto \frac{\sigma}{\sqrt{\epsilon_r}}$,不同含水状态下混凝土介电常数 ϵ_r 变化范围都在同一数量级,而电导率 σ 变化范围达到几个数量级,混凝土中电磁波衰减的主要因素是混凝土电导率,含水状态下混凝土电导率高。含水状态下的混凝土为强吸收介质,测线布置时避开含水段落。

6.2.15 地质雷达测线布置要依检测目的、结构物大小而定,按从大到小、从整体到局部的原则布置,测线离结构物边缘的距离不小于结构物厚度,若能忽略侧面反射或能区分侧面反射与缺陷反射时,测线靠近结构物边缘,要保证天线边缘不超过结构物边缘。

对结构物整体检测时,先在施工薄弱环节处及有病害记录的部位布置 1 条测线,后布置其他测线;无薄弱环节及病害记录部位时,在结构物中线布置 1 条测线,其余在两侧对称布置。

6.2.16、6.2.17 地质雷达设置采集参数时,采样频率越高、采集点数越多、采样间隔越小、叠加次数越多,所用采集时间就越长,天线移动速率就需越慢。

地质雷达检测时,天线保持匀速移动,尤其当采用时间触发采集时更要如此。检测中图像出现延时、卡顿等异常情况时,说明设置参数与天线移动速率不匹配,需重新设置采集参数,重新开始检测。

里程及干扰物标记是一项非常重要的工作,标记不准确或标记混乱,都会影响缺陷位置判定。在检测过程中要及时记录干扰物(如渗水、电缆、铁架等)及其位置,以便在分析判断时区分异常干扰。

充分了解检测对象,推断结构物可能存在的缺陷类型,都利于对缺陷定性或定量地判定。

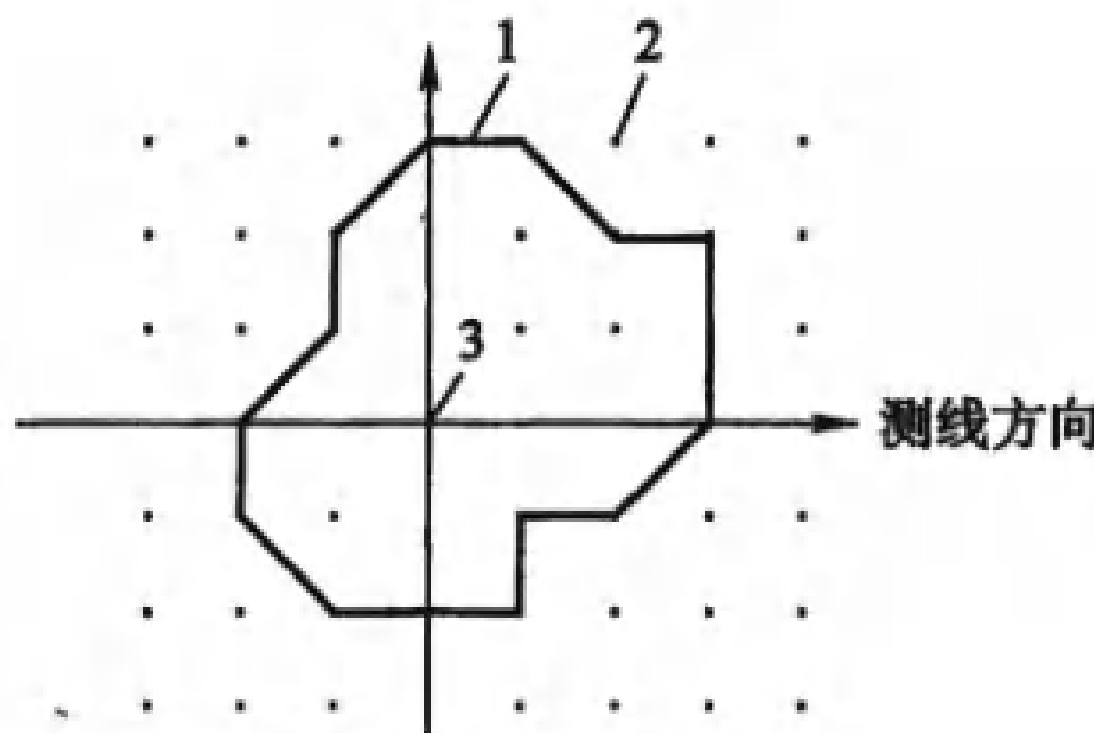
6.2.19 受检构件测点(线)距构件的变截面或边缘的最小距离大于沿冲击方向构件的厚度,有利于区分检测底面与变截面或侧面的回波。对比正常部位混凝土与缺陷部位混凝土信号幅值,有利于发现缺陷、判定缺陷类型和确定缺陷范围。

6.2.21 传感器与冲击点距离要保证纵波到达第一个传感器前,S波(横波)与P波(纵波)分离开,同时也要保证纵波到达第二个传感器引起的振幅要足够强,以利于识别波至时间。测量精度取决于采样间隔与距离 L , L 越大精度越高;由于波的衰减,如果 L 太大,会导致质点的位移太小难于探测,当 $L=300\text{ mm}$ 时,能同时满足测试的精确性和可靠性要求,故规定两传感器间距不小于 300 mm 。

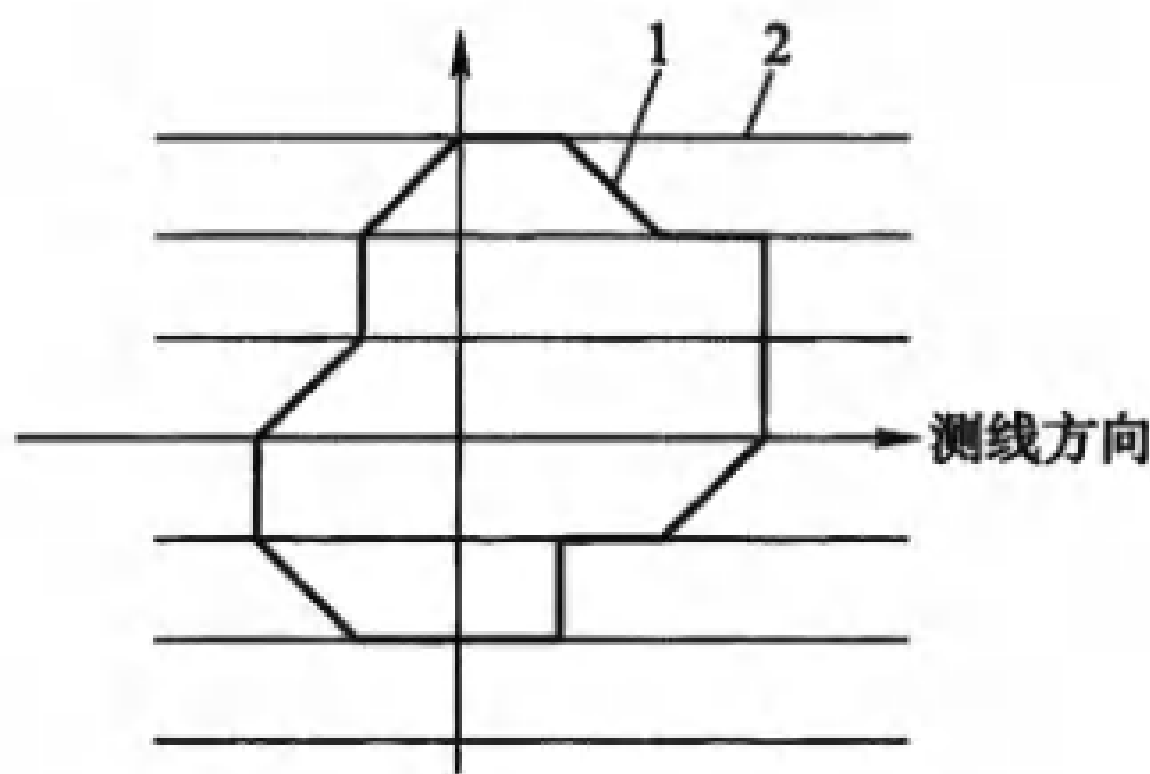
冲击波在不同形状的混凝土构件中传播都有不同的响应,与截面形状相关的系数值即为构件截面形状系数,该值通过试验确定,参考国内外相关研究:板类(长、宽不小于厚度的6倍)取0.96,圆柱类取0.92,方形梁取0.87,长方形梁或柱取0.90,空心圆筒类取0.96。

6.2.22 为保证传感器与混凝土测点表面紧贴,传感器与混凝土表面采用耦合剂粘贴。实际测试时,传感器与混凝土之间的耦合剂尽量薄,保证传感器与混凝土测点耦合良好。

6.2.23 确定衬砌背后缺陷范围,采用单点式冲击检测时,以检测时确定的缺陷部位为原点,每间距 10 cm 向四周布置网格测点,从内向外依次检测,连接缺陷测点边缘包括的区域即为缺陷区域。如缺陷范围较大时,测点间距适当增大,缺陷边缘测点间距不超过 10 cm 。单点式冲击检测确定衬砌背后缺陷范围示意如说明图6.2.23—1所示。采用扫描式冲击检测时,以测线方向为横轴,每间距 10 cm 向两侧布置测线,从内向外依次检测,连接缺陷测点边缘包括的区域即为缺陷区域。如缺陷范围较大时,测线间距适当增大,在缺陷边缘测线间距不超过 10 cm 。扫描式冲击检测确定衬砌背后缺陷范围示意如说明图6.2.23—2所示。



说明图 6.2.23—1 单点式冲击检测确定衬砌背后缺陷范围示意图
1—缺陷边缘连接线;2—网格测点;3—原点



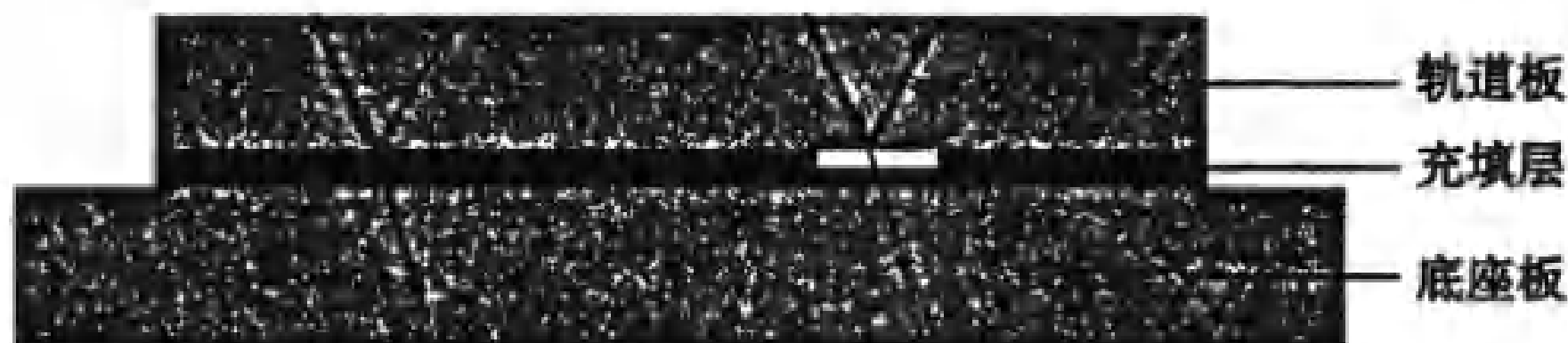
说明图 6.2.23—2 扫描式冲击检测确定衬砌背后缺陷范围示意图
1—缺陷边缘连接线;2—测线

隧道衬砌背后缺陷检测前,现场检测确定完全密实和完全脱空条件下的相对振幅阀值,通过检测部位的相对振幅与完全密实和完全脱空条件下的相对阀值比较,推定衬砌背后密实程度。当相对振幅小于完全密实时的相对振幅时,判定为无缺陷;当相对振幅大于或等于完全脱空条件下的相对阀值时,则判定该部位有明显缺陷;当检测部位相对振幅小于完全脱空条件下相对振幅阀值且大于完全密实条件下相对阀值时,判定该测点为疑似缺陷部位,经加密检测等手段进一步判定其密实程度。

6.2.24 若采集到无效波段,及时检查并排除混凝土表面、仪器等影响因素,重新进行测试。

6.3.1 目前,板式无砟轨道充填层主要有CRTS I型、CRTS II型板式无砟轨道的水泥乳化沥青砂浆层和CRTS III型板式无砟轨道的自密实混凝土充填层,主要检测充填层离缝、软弱层等病害。

6.3.4 超声波反射法是利用大功率聚焦超声波在无砟轨道中的传递特性,当聚焦超声波(频率为20 kHz~100 kHz)在混凝土传播过程中遇到混凝土介质发生变化,也就是超声波波阻抗发生变化,则会产生反射超声回波。充填层与轨道板粘结越好,则产生的回波能量越小;充填层与轨道板粘结越差,则产生的回波能量越大;当充填层与轨道板之间存在离缝时,就会产生最大的回波能量。检测原理示意如说明图6.3.4所示。

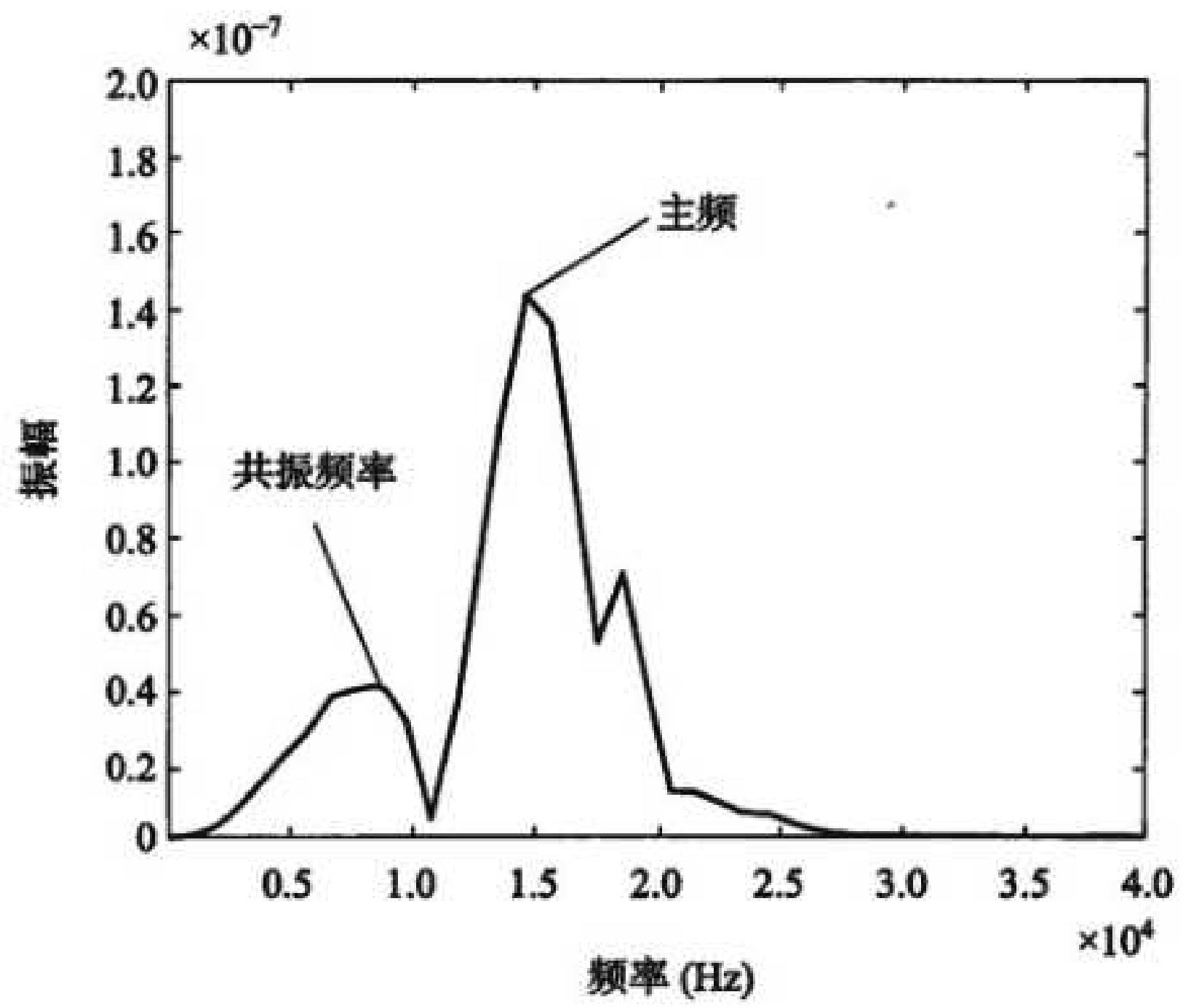
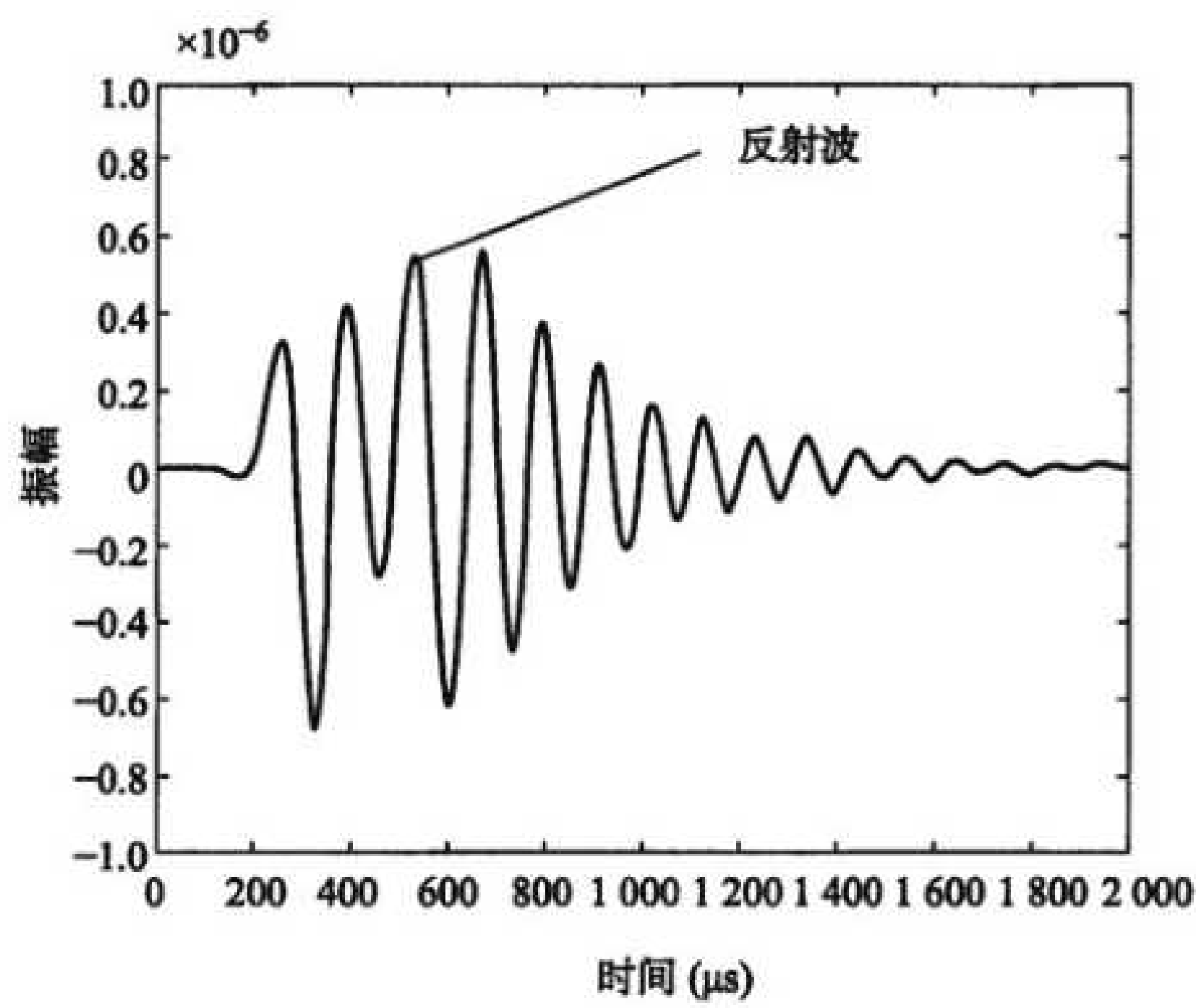


说明图 6.3.4 检测原理示意图

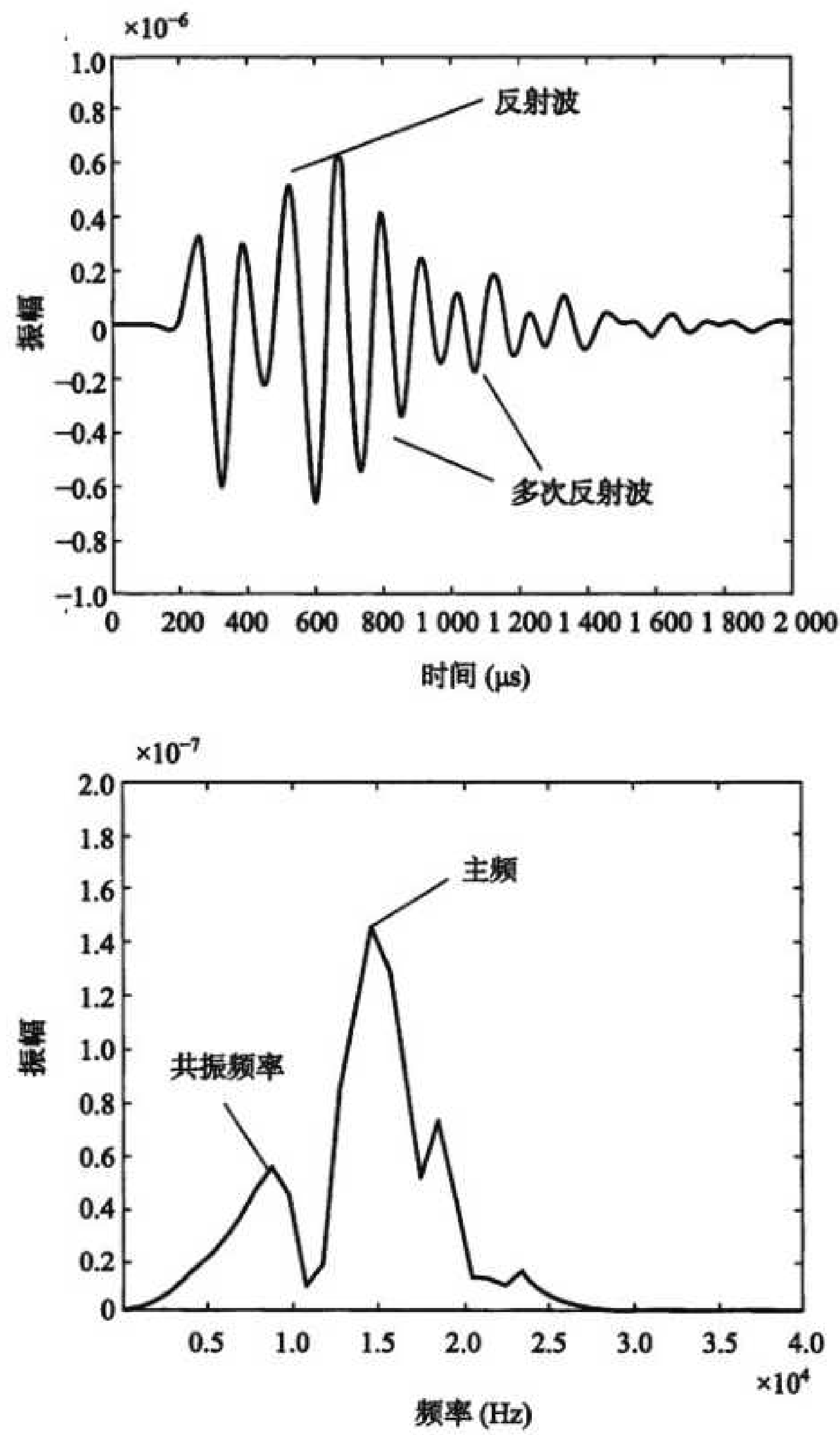
6.3.8 根据波阻抗的反射系数来评价无砟轨道充填层的粘结质量。超声波在混凝土传播过程中若遇到波阻抗发生变化($Z = \rho v S$, ρ, v, S 分别为混凝土密度、速度、面积),则会产生超声反射;波阻抗变化越大,则产生的超声反射信号越强;当充填层与轨道板离缝时,就会产生较大的回波,离缝越严重,则产生的回波越强。

6.3.9 通过分析反射波的时域频域变化规律,得出充填层粘结良好、粘结较差、充填层离缝时的信号变化,如说明图6.3.9—1~说明图6.3.9—3所示。

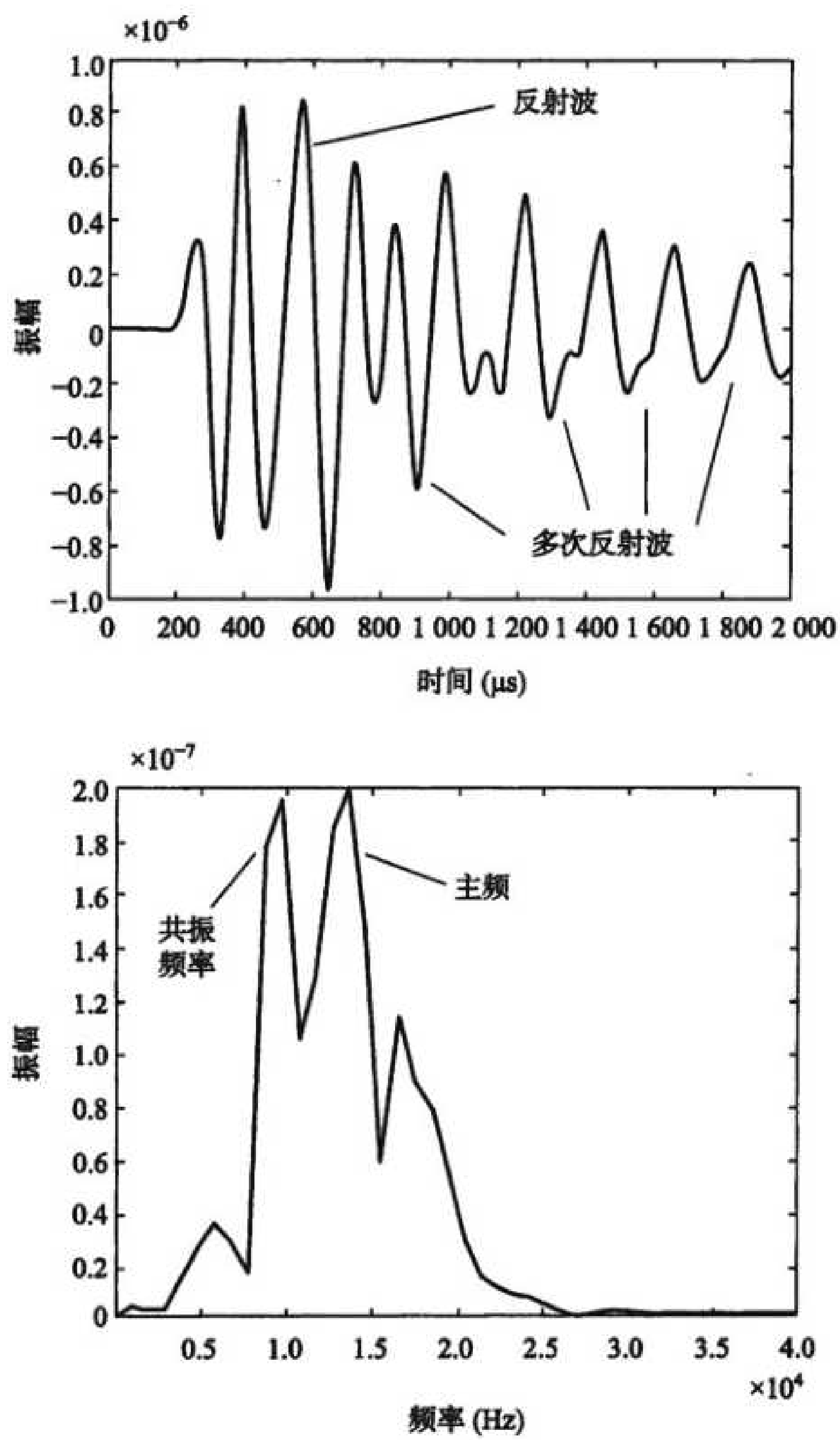
6.3.10 冲击回波法测试充填层内部缺陷是基于阻抗变化测试的,用一个小锤或冲击器作为激振源在轨道板表面冲击来产生压缩波,然后用放置在冲击器附近的接收传感器接收反射回来的压缩波。经过分析后计算无砟轨道充填层的离缝、软弱层等病害。无砟轨道充填层离缝检测示意如说明图6.3.10所示。



说明图 6.3.9—1 充填层粘结良好时典型测试信号及其频谱



说明图 6.3.9—2 充填层粘结较差时典型测试信号及其频谱



说明图 6.3.9—3 充填层完全离缝时典型测试信号及其频谱



说明图 6.3.10 无砟轨道充填层离缝检测示意图

6.4.2 定位检测精度高,且能够给出缺陷位置以便修补,所以在满足检测条件时优先选用。

6.4.3 经过试验确定,注浆材料注浆 7 d 后,材料的弹性波速值达到材料最终弹性波速的 95% 以上,对检测评价结果的误差影响不到 1%。因此,一般在注浆 7 d 后进行检测。

6.4.4 抽样检测一般选择弯曲较大孔道的锚头两端、负弯矩、起弯点等容易出现不密实的位置,抽样方式及测试位置主要考虑了泌水和气泡的影响。在进、出浆口,弯曲孔道的起弯点,反弯点顶部,平直孔道的各个位置容易出现压浆缺陷。一般定位检测的测点间距按 100 mm ~ 200 mm 布置。

6.4.5 冲击回波定位检测时,为了可靠地拾取弹性波信号,需要保障传感器前端与构件表面密切接触,避免点接触或线接触;为保证检测结果的可靠性,该方法适宜检测厚度不超过 800 mm 构件内的预应力孔道。

6.4.7 冲击回波定位检测法的基本原理,即等效波速法。根据冲击回波在构件中的传播时间来判定测点处预应力孔道的压浆密实性。若测点处孔道压浆密实性较好,则传播时间接近构件混凝土的传播时间;相反,若测点处孔道压浆密实性较差,则传播时间将大于构件混凝土的传播时间。

6.4.10 为了提高定性检测的精度,在预应力孔道两端分别激振检测,即交替原激振端与接收端,使原接收端成为新的激振端,原激振端成为新的接收端。

6.4.11 冲击弹性波定性检测法包括全长衰减法、全长波速法与传递函数法。

全长衰减法：根据冲击弹性波在传播过程中的能量衰减来判定预应力孔道整体的压浆密实性。若孔道整体压浆密实性较好，则能量在传播过程中逸散多、衰减大、振幅比小；相反，若孔道整体压浆密实性较差，则能量在传播过程中逸散少、衰减小、振幅比大。检测结果以全长衰减法分项注浆指数 I_{EA} 来量化表达。

全长波速法：根据冲击弹性波在传播过程中的波速大小来判定预应力孔道整体的压浆密实性。若孔道整体注浆密实性较好，则波速在传播过程中接近混凝土波速；相反，若孔道整体注浆密实性较差，则波速在传播过程中接近钢绞线波速。检测结果以全长波速法分项注浆指数 I_{PV} 来量化表达。

传递函数法：根据冲击弹性波在传播过程中的频率变化来判定预应力孔道端部的注浆密实性。若接收端频率大于激振端频率，则接收端孔道注浆密实性较差；若激振端频率明显偏高或偏低，则激振端孔道注浆密实性也较差。检测结果以传递函数法分项注浆指数 I_{TF} 来量化表达。

7.1.1 国家标准《普通混凝土长期性能和耐久性能试验方法标准》GB/T 50082—2009 是针对混凝土材料性能的检测，要求使用标准状态下的试件。实体质量检测是对结构实体中混凝土性能进行检测，现场检测所用试件不具备标准养护条件，有些试件尺寸与试验方法标准规定的尺寸不完全一致，检测时混凝土龄期一般不是标准养护龄期，只能测定混凝土在检测龄期时的实际性能参数。

7.1.3 试件尺寸与骨料最大粒径的关系对试验结果的影响较大。铁路混凝土骨料最大一般不超过 31.5 mm，芯样最小直径不小于 70 mm。

7.1.4 取样检测铁路工程混凝土耐久性，一般不进行批量检测。现场查勘时，根据混凝土的质量状况进行归并分类，根据约定抽样

原则在不同质量类别的混凝土区域布置受检区域，并预先确认检测结果的代表性。

7.2.1 混凝土本身呈碱性，碳化后失去碱性，利用浓度为 1%~2% 的酚酞酒精溶液遇碱变色的性质来测定混凝土的碳化深度。

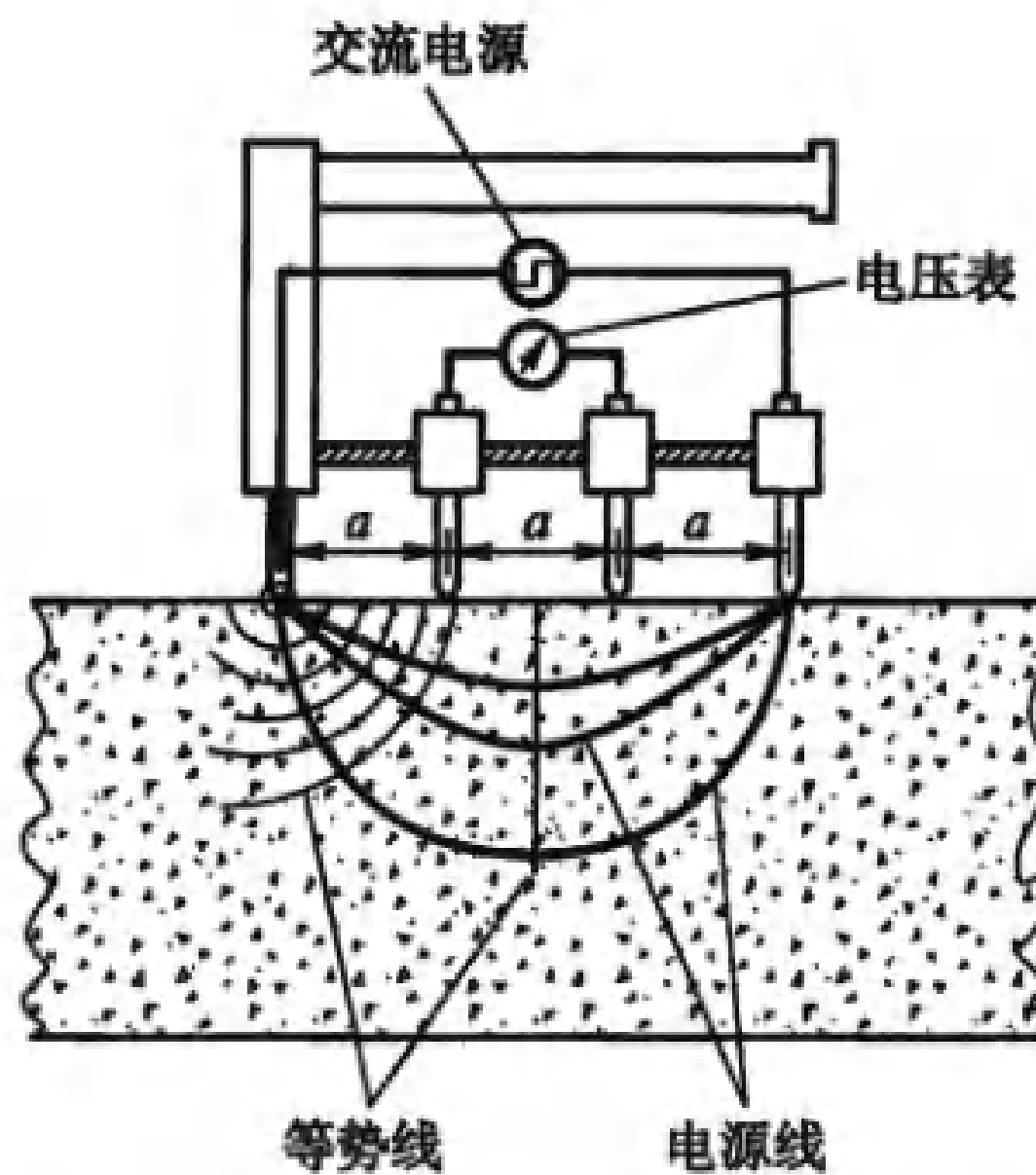
7.2.2 现场检测是从被检混凝土结构上凿出具有一定深度的测坑或测孔，这样做是为了形成容易测量的新生表面。选择位置时对混凝土表面状况有一定的要求，同时要求避开有裂缝和孔洞的区域。

7.3.1 混凝土气泡间距系数试验方法主要参考《铁路混凝土》TB/T 3275—2018 的相关规定。直线导线法的原理是在硬化混凝土中取任意直线，某一组分在此直线上所截取的线段长度总和与此直线全长的比值，即为该组分在混凝土中的体积含量。通过测定硬化混凝土中气泡的数量、体积含量，计算混凝土的气泡间距系数、气泡比表面积和含气量。

7.4.4 采用表面电迁移等无损方法测试实体混凝土结构的氯离子扩散系数，其测试原理为通过溶液电导率与氯离子浓度的关系公式换算出外室溶液的氯离子浓度。在稳态阶段内，测定单位时间氯离子的迁移量来计算混凝土保护层的氯离子扩散系数，进而评价混凝土保护层的抗氯离子渗透性。

7.5.1 表面电阻率法采用四根等距排列的探头贴合混凝土表面进行测试，外侧两根探头提供交流电压，并测得回路电流值大小，内侧两根探头的作用则是测定其间电压，通过电压值和电流值求出混凝土表面电阻率，如说明图 7.5.1 所示。

这种测试方法适用于测量混凝土试块或结构的电阻率，测试时让探头上的 4 个探针与混凝土表面接触，表面电阻率测定仪向探头上的两个外侧探针施加交流电位差，在混凝土中产生电流。测量两个外侧探针之间的电流和两个内侧探针之间的电位差，使用外侧探针之间的电流、内侧探针之间的电位差以及描述试样的受影响区域的参数来计算混凝土的电阻率。混凝土表面电阻率（单位为 $k\Omega \cdot cm$ ）与其渗透性有关。



说明图 7.5.1 四电极法检测混凝土表面电阻率示意图
 a —探头间距

8.1.3 受检区域样品采集的标准,《混凝土结构现场检测技术标准》GB/T 50784—2013 已对混凝土结构有害物质含量及其作用效应检验时采样标准有规定,在采集过程中尽量保持混凝土处于正常工作状态,避免对结构产生较严重的危害。

8.1.4 对于从外部“渗入”的有害物质,分层检测有害物质含量,得到有害物质的分布梯度和渗入规律,便于进行混凝土耐久性评估。为确保数据的准确性,进行分层切割时,每层切割位置、切割厚度等切割规则保持一致。

8.2.5 硝酸银溶液作为测定氯离子含量的主要试剂,其溶液浓度对氯离子含量测定有重要影响,标定硝酸银溶液的浓度对检测精度提升有很大作用。硝酸银溶液浓度标定计算公式中, V_2 为空白试验中硝酸银溶液的用量,用以消除水中存在的氯离子对标定精度产生的误差。

8.3.1 混凝土中的碱主要指氧化钾和氧化钠。试验中分别测定氧化钾和氧化钠的质量分数,并在计算过程中,按氧化钠与氧化钾的摩尔质量比例将氧化钾含量换算为氧化钠质量分数计算总碱含

量,0.658为氧化钠与氯化钾的摩尔质量之比。

8.5.1 碱骨料反应会对混凝土结构引起严重危害,当混凝土碱含量检测值超过相应规范要求时,进行碱活性骨料检测,并确定骨料碱活性的类别及定量评价骨料碱活性。

8.5.6 若骨料样品中含有碱-硅酸反应活性矿物时,快速砂浆棒法可以对其碱活性大小进行检验,检测周期较短,养护龄期仅需14 d。《普通混凝土长期性能和耐久性能试验方法标准》GB/T 50082—2009规定的棱柱体法检测周期长达52周。

9.1.1 钢筋在混凝土结构中属于隐蔽工程,检测前需充分了解设计资料以及委托单位意图,有助于检测人员制定较完善的检测方案,取得准确的检测结果。

9.1.2 在对既有建筑进行检测时,构件通常具有饰面层,需将饰面层清除后再进行检测。对于设计和验收来说,需要检测的是钢筋的混凝土保护层厚度,不清除饰面层难以得到准确的检测值。

9.1.3 原位实测法指剔除混凝土保护层后在原位对钢筋进行的直接检测方法。间接检测方法具有方便、快捷、对结构无损伤等特点,其准确性依赖于特定的条件。实际结构千变万化,为保证检测结果的可靠性,需进行验证并根据验证结果进行修正。

9.1.4 铁磁性物质会对仪器造成干扰,对于混凝土保护层厚度的检测具有很大的影响。

9.2.2 当混凝土保护层厚度值过小时,有些钢筋探测仪无法进行检测或示值偏差较大,一般采用在探头下附加垫块来人为增大保护层厚度进行检测,以减小偏差。

9.2.5 由于混凝土介电常数受含水率影响大,当采用基于电磁波发射法的地质雷达法检测混凝土保护层厚度时,需要采用原位实测法的实测值对这些方法的检测结果进行验证,并进行修正。

地质雷达法的特点是一次扫描后能形成被测部位的断面图像,因此可以进行快速、大面积的扫描。因为地质雷达法需要利用雷达波(电磁波的一种)在混凝土中的传播速度来推算其传播距

离,而雷达波在混凝土中的传播速度和其介电常数有关,故为达到检测所需的精度要求,需进行介电常数或传播速度的测定。地质雷达天线中心频率的选择,需既能满足分辨率的要求又能满足检测深度的要求。根据保护层厚度、钢筋直径等的不同,选择适宜的天线中心频率。

9.2.7 地质雷达法确定保护层厚度的计算方法参考了《混凝土中钢筋检测技术标准》JGJ/T 152—2019 的相关规定。

9.3.5 此规定的主要目的是尽量避开干扰,降低影响因素。为保证检测精度,对检测数据的重复性要求较高,也是为了避免错判。

9.3.7 在用游标卡尺进行钢筋直径实测时,需根据相关的钢筋产品标准如《钢筋混凝土用钢 第2部分:热轧带肋钢筋》GB 1499.2—2018 等来确定量测部位,并根据量测结果通过产品标准查出其对应的公称直径。

9.3.8 对于结构及构件来说,其钢筋即使仅仅相差一个规格,都会对结构安全带来重大影响,因此必须慎重对待。当前的技术手段还不能完全满足对钢筋公称直径进行非破损检测的要求,采用局部剔凿实测相结合的办法是很有必要的。

9.4.1 半电池电位法是一种电化学方法。考虑在一般的建筑物中,混凝土结构及构件中钢筋腐蚀通常是由自然电化学腐蚀引起的,因此采用测量电化学参数来进行判断。在本规程中规定了一种半电池,即铜-硫酸铜半电池;同时将混凝土与混凝土中的钢筋看作是另一个半电池。测量时,将铜-硫酸铜半电池与钢筋混凝土相连接检测钢筋的电位,根据研究积累的经验来判断钢筋的锈蚀性状。所以这种方法适用于已硬化混凝土中钢筋的半电池电位的检测,不受混凝土构件尺寸和钢筋保护层厚度的限制。

9.4.3 为了便于操作,建议测区面积不大于 $5\text{ m} \times 5\text{ m}$ 。一般碰到尺寸较大结构及构件时,如隧道二衬,测区面积控制在 $5\text{ m} \times 5\text{ m}$,测点间距取大值,如 $500\text{ mm} \times 500\text{ mm}$;而构件尺寸相对较小时,如墩、柱等,测区面积相应较小,测点间距取小值,如 $100\text{ mm} \times$

100 mm。

9.4.4 当混凝土表面有隔离层介质隔离时,为了能让 2 个半电池形成通路,清除隔离层介质。为了保证半电池的电连接垫与测点处混凝土有良好接触,测点处混凝土表面需平整、清洁。如果表面有水泥浮浆或其他杂物时,用砂轮或钢丝刷打磨,将其清除掉。

9.4.5 选定好被测构件后,用钢筋探测仪扫描钢筋的分布情况,在合适的位置凿出 2 处钢筋。用万用表测量这 2 根钢筋是否连通,用以验证测区内的钢筋(钢筋网)是否与连接点的钢筋形成通路。然后选择其中 1 根钢筋用于连接电压表。

9.4.11 采用电位等值线图,可以较直观地反映不同锈蚀性状的钢筋分布情况。半电池电位法检测结果评判采用《Standard Test Method for Half-Cell Potentials of Uncoated Reinforcing Steel in Concrete》ASTM C876-91(Reapproved 1999)和《混凝土中钢筋检测技术标准》JGJ/T 152—2019 中的判据。经过大量工程检测实践,证明该评判方法是可行的。